

Relazione Finale delle Procedure

Robotica Industriale 2020/2021

Questo PDF è una raccolta, commentata, delle procedure assegnate a lezione durante l'anno scolastico indicato sopra. La stesura delle procedure è stata fatta personalmente, confrontando risultati e ragionamenti con alcuni colleghi. In particolare, c'è stata collaborazione con:

Lorenzo Rossi

Alessandro Lomazzo

Gianluca Coccia

COGNOME E NOME DEL PADRE E DELLA MADRE O DI CHI NE FA LE VECI FATHER AND MOTHER'S-TUTOR'S NAME	
CODICE FISCALE FISCAL CODE FFCNDR97E01H501N	ESTREMITÀ ATTO DI NASCITA 00303.1.A66
INDIRIZZO DI RESIDENZA / RESIDENCE VIA DEL MURO LINARI, 21/T ROMA (RM)	
C<ITACA63937ER9<<<<<<<<<<<<<<<< 9705010M3005017ITA<<<<<<<<<<<<<6 EFFICACE<<ANDREA<<<<<<<<<<<<<<<<	

REPUBBLICA ITALIANA
MINISTERO DELL'INTERNO

CARTA DI IDENTITÀ / IDENTITY CARD
COMUNE DI / MUNICIPALITY
ROMA

CA63937ER

COGNOME / SURNAME
EFFICACE
NOME / NAME
ANDREA
LUOGO E DATA DI NASCITA
PLACE AND DATE OF BIRTH
ROMA (RM) 01.05.1997

SESSO SEX	STATURA HEIGHT
M	178

EMISSIONE / ISSUING
30.07.2019
FIRMA DEL TITOLARE
HOLDER'S SIGNATURE

CITTADINANZA
NATIONALITY
ITA
SCADENZA / EXPIRY
01.05.2030
656029

Procedura 1

Scrivere tre procedure per il calcolo di matrici di rotazione nello spazio di un angolo θ attorno agli assi x, y, z

```
(%i1) Rx(theta):=matrix([1,0,0],
                        [0,cos(theta),-sin(theta)],
                        [0,sin(theta),cos(theta)])
```

```
(%o1) Rx(ϑ):=⎛ 1  0  0 ⎞
             ⎜ 0 cos(ϑ) -sin(ϑ) ⎟
             ⎜ 0 sin(ϑ)  cos(ϑ) ⎟
```

```
(%i2) Ry(theta):=matrix([cos(theta),0,sin(theta)],
                        [0,1,0],
                        [-sin(theta),0,cos(theta)])
```

```
(%o2) Ry(ϑ):=⎛ cos(ϑ)  0  sin(ϑ) ⎞
             ⎜ 0      1  0      ⎟
             ⎜ -sin(ϑ) 0  cos(ϑ) ⎟
```

```
(%i3) Rz(theta):=matrix([cos(theta),-sin(theta),0],
                        [sin(theta),cos(theta),0],
                        [0,0,1])
```

```
(%o3) Rz(ϑ):=⎛ cos(ϑ) -sin(ϑ)  0 ⎞
             ⎜ sin(ϑ)  cos(ϑ)  0 ⎟
             ⎜ 0      0      1 ⎟
```

Procedura 2

Scrivere una procedura per il calcolo di $R_a(\theta)$, dove $a \in \{x, y, z\}$.

Se l'asse cercato non esiste, segnalare l'errore.

```
(%i4) rotationSolver(axis, angle):=block(
    if(axis#x and axis#y and axis#z) then (
        error("Axis not valid, select one from {x,y,z}")),
    if(axis = x) then return(Rx(angle)),
    if(axis = y) then return(Ry(angle)),
    if(axis = z) then return(Rz(angle))
)$
```

```
(%i5) rotationSolver(x,alpha)
```

```
(%o5) ⎛ 1  0  0 ⎞
     ⎜ 0 cos(α) -sin(α) ⎟
     ⎜ 0 sin(α)  cos(α) ⎟
```

```
(%i6) rotationSolver(y, beta)
```

```
(%o6) ⎛ cos(β)  0  sin(β) ⎞
     ⎜ 0      1  0      ⎟
     ⎜ -sin(β) 0  cos(β) ⎟
```

```
(%i7) rotationSolver(z, gamma)
```

```
(%o7) ⎛ cos(γ) -sin(γ)  0 ⎞
     ⎜ sin(γ)  cos(γ)  0 ⎟
     ⎜ 0      0      1 ⎟
```

```
(%i8) rotationSolver(k, zita)
```

```

Axis not valid, select one from {x,y,z}
#0: rotationSolver(axis=k,angle=zita)
-- an error. To debug this try: debugmode(true);

```

Procedura 3

*Dimostrare che $R_x(\alpha)R_y(\beta) \neq R_y(\beta)R_x(\alpha)$ per valori generici di α e β .
Ritorna vero se il prodotto non commuta.*

```

(%i9) commutationTest():=block(
    if(rotationSolver(x,alpha).rotationSolver(y,beta)#rotationSolver(y,
    beta).rotationSolver(x,alpha)) then
        return(true)
    else return(false)
)$
(%i10) commutationTest()
(%o10) true

```

Procedura 4

Utilizzando le procedure precedenti, calcolare $R_z(\gamma) \forall \gamma$, tale che

$$R_z(\gamma) = R_x\left(\pm\frac{\pi}{2}\right)R_y(\gamma)R_x\left(\mp\frac{\pi}{2}\right)$$

Verificare poi la correttezza del risultato ottenuto.

```

(%i11) zRotation():=block(
    [xSx,xRx,Ry,Ryn,out1,out2, zeros,Rz],
    zeros:matrix([0,0,0],[0,0,0],[0,0,0]),
    xSx:rotationSolver(x,%pi/2),
    xRx:rotationSolver(x,-%pi/2),
    Ry:rotationSolver(y,gamma),
    Ryn:rotationSolver(y,-gamma),
    out1:xSx.Ry.xRx,
    out2:xRx.Ryn.xSx,
    print(R[z](gamma),"=",xSx,Ry,xRx,"=",out1),
    print(R[z](-gamma),"=",xRx,Ryn,xSx,"=",out2),
    Rz:rotationSolver(z,gamma),
    print(R[z](gamma),"=",Rz),
    if (out1-Rz = zeros and out2-Rz = zeros) then return(true) else
    return(false)
)$
(%i12) zRotation()

```

$$\begin{aligned}
 R_z(\gamma) &= \begin{pmatrix} 1 & 0 & 0 \\ 0 & 0 & -1 \\ 0 & 1 & 0 \end{pmatrix} \begin{pmatrix} \cos(\gamma) & 0 & \sin(\gamma) \\ 0 & 1 & 0 \\ -\sin(\gamma) & 0 & \cos(\gamma) \end{pmatrix} \begin{pmatrix} 1 & 0 & 0 \\ 0 & 0 & 1 \\ 0 & -1 & 0 \end{pmatrix} = \begin{pmatrix} \cos(\gamma) & -\sin(\gamma) & 0 \\ \sin(\gamma) & \cos(\gamma) & 0 \\ 0 & 0 & 1 \end{pmatrix} \\
 R_z(-\gamma) &= \begin{pmatrix} 1 & 0 & 0 \\ 0 & 0 & 1 \\ 0 & -1 & 0 \end{pmatrix} \begin{pmatrix} \cos(\gamma) & 0 & -\sin(\gamma) \\ 0 & 1 & 0 \\ \sin(\gamma) & 0 & \cos(\gamma) \end{pmatrix} \begin{pmatrix} 1 & 0 & 0 \\ 0 & 0 & -1 \\ 0 & 1 & 0 \end{pmatrix} = \begin{pmatrix} \cos(\gamma) & -\sin(\gamma) & 0 \\ \sin(\gamma) & \cos(\gamma) & 0 \\ 0 & 0 & 1 \end{pmatrix} \\
 R_z(\gamma) &= \begin{pmatrix} \cos(\gamma) & -\sin(\gamma) & 0 \\ \sin(\gamma) & \cos(\gamma) & 0 \\ 0 & 0 & 1 \end{pmatrix}
 \end{aligned}$$

```

(%o12) true

```

Procedura 5

Data una matrice A $n \times n$ scrivere una procedura che controlla se è quadrata e calcola la matrice di rotazione tramite trasformata di Laplace.

$$R_v(\theta) = e^{S(v)\theta}$$

Definisco procedura per creare la matrice antisimmetrica $S(v)$, dato un vettore v .

```
(%i13) S(v):=block(
    [s1,s2,s3,S],
    s1:matrix([0],[v[3,1]],[-v[2,1]]),
    s2:matrix([-v[3,1]],[0],[v[1,1]]),
    s3:matrix([v[2,1]],[-v[1,1]],[0]),
    S:s1,
    S:addcol(S,s2),
    S:addcol(S,s3),
    return(S)
)$
```

Calcolo S con $v = (1, 0, 0)^T$. Mi aspetto che la matrice di rotazione sia quindi del tipo:

$$R_x(\theta) = \begin{pmatrix} 1 & 0 & 0 \\ 0 & \cos(\vartheta) & -\sin(\vartheta) \\ 0 & \sin(\vartheta) & \cos(\vartheta) \end{pmatrix}$$

```
(%i14) S[v]:S(matrix([1],[0],[0]))
```

```
(%o14)  $\begin{pmatrix} 0 & 0 & 0 \\ 0 & 0 & -1 \\ 0 & 1 & 0 \end{pmatrix}$ 
```

Definisco procedura per calcolare la dimensione della matrice.

```
(%i15) size(M):=[length(M), length(transpose(M))]+$
```

Definisco procedura per il calcolo di e^{At} tramite trasformata di Laplace.

```
(%i16) expLaplace(M):=block(
    [dim, I, sAi, sAiT],
    dim:size(M),
    if(dim[1]#dim[2]) then error("Matrix not Square"),
    I:ident(dim[1]),
    sAi:invert(s*I-M),
    sAiT:sAi,
    for i:1 thru dim[1] do(
        for j:1 thru dim[2] do(
            sAiT[i,j]:ilt(sAi[i,j],s,theta)
        )
    ),
    return(expand(trigreduce(trigsimp(sAiT))))
)$
```

Eseguo il calcolo della matrice esponenziale.

```
(%i17) expLaplace(S[v])
```

```
(%o17)  $\begin{pmatrix} 1 & 0 & 0 \\ 0 & \cos(\vartheta) & -\sin(\vartheta) \\ 0 & \sin(\vartheta) & \cos(\vartheta) \end{pmatrix}$ 
```

Procedura 6

Scrivere una procedura che utilizzando la forma canonica calcoli la matrice di rotazione attorno all'asse rappresentato dal versore v , di un angolo θ , tale che:

$$S(v) = V \cdot \Lambda \cdot V^{-1}$$

$$R_v(\theta) = V \cdot e^{\Lambda \theta} \cdot V$$

```
(%i18) expVect(M):=block(
  [dim, V, eigVec, Vi, D, expD, res],
  dim:size(M),
  if(dim[1]#dim[2]) then error("Matrix not Square"),
  V:zeromatrix(dim[1],0),
  eigVec:eigenvalues(M),
  for i:1 thru dim[1] do(
    V:addcol(V, transpose(matrix(eigVec[2][i][1]))))
  ),
  Vi:invert(V),
  D:Vi.M.V,
  expD:D,
  for i:1 thru dim[1] do(
    expD[i,i]:exp(expD[i,i]*theta)
  ),
  res:V.expD.Vi,
  return(expand(demoivre(res)))
)$
```

Per il calcolo della matrice esponenziale, uso lo stesso vettore v della *Procedura 5*.

```
(%i19) expVect(S[v])
```

```
(%o19) 
$$\begin{pmatrix} 1 & 0 & 0 \\ 0 & \cos(\vartheta) & -\sin(\vartheta) \\ 0 & \sin(\vartheta) & \cos(\vartheta) \end{pmatrix}$$

```

Procedura 7

Scrivere una procedura che calcoli il prodotto vettoriale $v \times w$ come prodotto matriciale

$$v \times w = S(v) \cdot w$$

Implemento il prodotto $S(v) \cdot w$

```
(%i20) antiSimProduct(v,w):=block(
  [S,Sw],
  S:S(v),
  Sw:S.w,
  return(Sw)
)$
```

Testo la procedura con il prodotto vettoriale standard.

```
(%i21) vectProduct(v,w):=block(
  [M,res,det],
  M:matrix([e[1][1],e[2][1],e[3][1]]),
  M:addrow(M,transpose(v),transpose(w)),
  res:zeromatrix(3,1),
  res[1][1]:M[2][2]*M[3][3]-M[2][3]*M[3][2],
  res[2][1]:-(M[2][1]*M[3][3]-M[2][3]*M[3][1]),
  res[3][1]:M[2][1]*M[3][2]-M[2][2]*M[3][1],
  return(res)
)$
(%i22) v:matrix([v[1]], [v[2]], [v[3]])$
(%i23) w:matrix([w[1]], [w[2]], [w[3]])$
```

```

(%i24) prova:antiSimProduct(v,w)

(%o24) 
$$\begin{pmatrix} v_2 w_3 - w_2 v_3 \\ w_1 v_3 - v_1 w_3 \\ v_1 w_2 - w_1 v_2 \end{pmatrix}$$


(%i25) prova:vectProduct(v,w)

(%o25) 
$$\begin{pmatrix} v_2 w_3 - w_2 v_3 \\ w_1 v_3 - v_1 w_3 \\ v_1 w_2 - w_1 v_2 \end{pmatrix}$$


(%i26) testProduct(v,w):=block(
[anti, vect],
    anti:antiSimProduct(v,w),
    vect:vectProduct(v,w),
    if(zeromatrix(3,1) = anti-vect) then true
    else false
)$

(%i27) testProduct(v,w)

(%o27) true

```

Procedura 8

Scrivere una procedura che implementi la formula di Rodrigues

$$R_v(\theta) = I + S^2(v)(1 - \cos(\theta)) + S(v)\sin(\theta)$$

```

(%i28) rodrigues(v,theta):=block([S,I,S2],
    S:S(v),
    I:ident(size(v)[1]),
    S2:S.S,
    rodr:I+S2*(1-cos(theta))+S*sin(theta),
    return(expand(trigreduce(rodr)))
)$

Definisco vettore v di test.
(%i29) v:matrix([1],[0],[0])$
(%i30) rodrigues(v,theta)

(%o30) 
$$\begin{pmatrix} 1 & 0 & 0 \\ 0 & \cos(\vartheta) & -\sin(\vartheta) \\ 0 & \sin(\vartheta) & \cos(\vartheta) \end{pmatrix}$$


(%i31) rodriguesTest(v,theta):=block(
[rodr, expLap, dim, S],
    rodr:rodrigues(v,theta),
    S:S(v),
    expLap:expLaplace(S),
    dim:size(v)[1],
    if(zeromatrix(dim,dim) = rodr-expLap) then true
    else false
)$

(%i32) rodriguesTest(v,theta)

(%o32) true

```


Procedura 9

Utilizzando la formula di Rodrigues, calcolare Asse ed Angolo di rotazione.

Definisco procedura per la verifica delle proprietà di rotazione.

```
(%i33) isRot(M):=block(
    [det, Mi, I,dim, MMi, symMMi, symDet],
    dim:size(M),
    if dim[1]#dim[2] then error("Matrix Not Square"),
    I:ident(dim[1]),
    Mi:transpose(M),
    det:trigsimp(trigexpand(trigreduce(determinant(M)))),
    MMi:trigsimp(trigexpand(trigreduce(M.Mi))),
    if((det = 1 or det = -1) and I = MMi) then true
    else false
)$
```

Definisco la procedura per calcolare la norma di un vettore.

```
(%i34) norm(v):=block(
    [dim, len],
    len:0,
    dim:size(v)[1],
    for i:1 thru dim do(
        len:len+v[i]^2
    ),
    len:sqrt(len),
    return(expand(trigsimp(len)))
)$
```

Definisco la procedura per determinare l'asse.

```
(%i35) getAxis(R):=block(
    [I, v, ker, dim],
    dim:size(R),
    I:ident(dim[1]),
    if(isRot = false) then
        error("La matrice inserita non è di rotazione.")
    else (
        ker:transpose(adjoint(I-R)),
        zero:zeromatrix(dim[1],1),
        for i:1 thru dim[1] do(
            if(matrix(ker[i])#transponse(zero)) then
                v:ker[i],
                return(trigsimp(trigexpand(trigreduce(v/norm(v)))))
        )
    )
)$
```

Definisco la procedura per determinare l'angolo.


```
(%i36) getAngle(R):=block(
  [Rplus, Rminus, S1, S2, dim, Rt, v, c, s],
  dim:size(R),
  Rt:transpose(R),
  I:ident(dim[1]),
  Rminus:trigsimp((R-Rt)/2),
  Rplus:trigsimp((R+Rt)/2-I),
  v:transpose(matrix(getAxis(trigsimp(R)))),
  S1:S(v), s:0, c:0,
  if(isRot(R) = false) then
    error("La matrice inserita non è di rotazione."),
  for i:1 thru dim[1] do(
    for j:1 thru dim[2] do(
      if(S1[i][j]#0) then
        s:Rminus[i][j]/S1[i][j],
        return(s)
    )
  ),
  S2:S1.S1,
  for i:1 thru dim[1] do(
    for j:1 thru dim[2] do(
      if(S2[i][j]#0) then
        c:1-Rplus[i][j]/S2[i][j],
        return(c)
    )
  ),
  return(atan2(expand(s),expand(c)))
)$
```

Definisco matrice di test.

```
(%i37) R:matrix([0,1,0],[0,0,-1],[-1,0,0])$
```

Definisco procedura per calcolare la lista di parametri per descrivere la rotazione.

```
(%i38) getRotationData(R):=block(
  [v, Theta, param],
  v:getAxis(R),
  Theta:getAngle(R),
  param:[v,Theta],
  return(param)
)$
```

```
(%i39) getRotationData(R)
```

```
(%o39)  $\left[ \left[ \frac{1}{\sqrt{3}}, \frac{1}{\sqrt{3}}, -\frac{1}{\sqrt{3}} \right], \frac{2\pi}{3} \right]$ 
```

Procedura 10

Scrivere una procedura che implementi la parametrizzazione di Cayley:

$$R_v(\theta) = (I + S_v)(I - S_v)^{-1}$$

Dove S è una matrice antisimmetrica.

Definisco procedura per implementare cayley.

```
(%i40) cayley(S):=block(
    [cay, I, dim],
    dim:size(S),
    I:ident(dim[1]),
    cay:(I+S).(invert(I-S)),
    return(cay)
)$
```

Definisco matrice di tes con $v = (1, 0, 0)^T$

```
(%i41) S:S(matrix([1],[0],[0]))$
```

```
(%i42) cayley(S)
```

```
(%o42)  $\begin{pmatrix} 1 & 0 & 0 \\ 0 & 0 & -1 \\ 0 & 1 & 0 \end{pmatrix}$ 
```

Procedura 11

Utilizzare le procedure 8 e 9 in cascata: dato asse ed angolo calcolare $R_v(\theta)$ tramite formula di Rodrigues e poi verificare il risultato estraendo asse ed angolo dalla matrice di rotazione ottenuta.

```
(%i43) rodriguesCascade(v, theta):=block(
    [rod, rodInv],
    rod:rodrigues(v,theta),
    print("R[v](theta) = ",rod),
    rodInv:getRotationData(rod),
    print("[asse, angolo] = ",rodInv),
    if(transpose(matrix(rodInv[1])) = v and rodInv[2] = theta) then true
    else false
)$
```

Definisco vettore ed angolo per testare la procedura.

```
(%i44) v:transpose(1/sqrt(3)*matrix([1,1,-1]))$
```

```
(%i45) tht:%pi*2/3$
```

```
(%i46) rodriguesCascade(v,tht)
```

$$R[v](\theta) = \begin{pmatrix} 0 & 1 & 0 \\ 0 & 0 & -1 \\ -1 & 0 & 0 \end{pmatrix}$$

$$[asse, angolo] = \left[\left[\frac{1}{\sqrt{3}}, \frac{1}{\sqrt{3}}, -\frac{1}{\sqrt{3}} \right], \frac{2\pi}{3} \right]$$

```
(%o46) true
```

Per le procedure successive sono state utilizzate le seguenti funzioni, prese da quelle svolte in precedenza.

Funzioni di utility

1) Determinare le dimensioni di una matrice.

```
(%i1) size(M):=[length(M), length(transpose(M))]
```

2) Calcolare la matrice antisimmetrica dato un vettore di \mathbb{R}^3

```
(%i2) S(v):=block([s1,s2,s3,S],
    s1:matrix([0],[v[3,1]],[-v[2,1]]),
    s2:matrix([-v[3,1]],[0],[v[1,1]]),
    s3:matrix([v[2,1]],[-v[1,1]],[0]),
    S:s1, S:addcol(S,s2), S:addcol(S,s3),
    return(S))
```

3) Calcolare la matrice di rotazione $R_v(\theta)$ attorno un asse v di un angolo ϑ , in \mathbb{R}^3

```
(%i3) rodrigues(v,theta):=block([S,I,S2],
    S:S(v), I:ident(size(v)[1]), S2:S.S,
    rodr:I+S2*(1-cos(theta))+S*sin(theta),
    return(trigsimp(trigexpand(trigreduce(rodr)))))
```

4) Calcolare la matrice di rotazione $R_x(\theta)$ in \mathbb{R}^2

```
(%i4) rot2(theta):=block([rot2],
    rot2:matrix([cos(theta), -sin(theta)],[sin(theta), cos(theta)]),
    return(rot2))
```

5) Calcolare matrice di rotazione tramite esponenziale di matrice.

```
(%i5) expLaplace(M, theta):=block(
    [dim, I, sAi, sAiT],
    dim:size(M),
    if(dim[1]#dim[2]) then error("Matrix not Square"),
    I:ident(dim[1]),
    sAi:invert(s*I-M),
    sAiT:sAi,
    for i:1 thru dim[1] do(
        for j:1 thru dim[2] do(
            sAiT[i,j]:ilt(sAi[i,j],s,theta)
        )
    ),
    return(expand(trigreduce(trigsimp(sAiT))))
)
```

5) Nelle procedure, quando necessario, è stata applicata la ridefinizione della notazione seno e coseno nella forma:

$$\cos(\theta_1 + \dots + \theta_n) = c_{1\dots n}$$

$$\sin(\theta_1 + \dots + \theta_n) = s_{1\dots n}$$

6) Nelle procedure è stato inserito come argomento la lunghezza dei link dei robot, indicando con L le lunghezze dei link che vengono orientati lungo l'asse Z e con D quelle dei link orientati lungo l'asse X

Procedura 12

Verificare i calcoli della cinematica nel piano.

Calcolare la cinematica di un robot significa determinare le coordinate del punto terminale, detto anche *end-effector*, rispetto alle variabili di giunto del robot. Il numero e il tipo di variabili dipendono dai gradi di libertà del robot stesso.

Robot 1 DOF: *prismatico*

Assumiamo traslazione lungo l'asse e_i

```
(%i6) prism(q1,ei):=block(
    [R, Tr, T01, ex, ey], ex:matrix([1],[0]), ey:matrix([0],[1]),
    if(ei#ex and ei#ey) then
        error("L'asse inserito non è né X né Y"),
    R:ident(2),
    T01:R,
    Tr:q1*ei,
    T01:addcol(T01,Tr),
    T01:addrow(T01,matrix([0,0,1]))
)$
```

Definisco l'asse su cui fare la traslazione.

```
(%i7) e[x]:matrix([1],[0])$
```

```
(%i8) prism(q[1],e[x])
```

$$(\%o8) \begin{pmatrix} 1 & 0 & q_1 \\ 0 & 1 & 0 \\ 0 & 0 & 1 \end{pmatrix}$$

Robot 1 DOF: *rotoidale*

Assumiamo che la coordinata dell'end-effector sia la lunghezza del link del robot L

```
(%i9) roto(q1,L):=block(
    [R, Tr, T01],
    R:rot2(q1),
    R:addcol(R, matrix([0],[0])),
    R:addrow(R,matrix([0,0,1])),
    Tr:prism(L,matrix([1],[0])),
    T01:R.Tr,
    return(T01)
)$
```

```
(%i10) roto(q[1],L)
```

$$(\%o10) \begin{pmatrix} \cos(q_1) & -\sin(q_1) & \cos(q_1)L \\ \sin(q_1) & \cos(q_1) & \sin(q_1)L \\ 0 & 0 & 1 \end{pmatrix}$$

Robot 2 DOF: *rotoidale + rotoidale*

```
(%i11) roto2(q1, q2, L1, L2):=block(
    [T01, T12, T02],
    T01:roto(q1,L1),
    T12:roto(q2,L2),
    T02:T01.T12,
    return(trigreduce(T02))
)$
```

```
(%i12) roto2(q[1],q[2],L[1],L[2])
```

$$(\%o12) \begin{pmatrix} \cos(q_2 + q_1) & -\sin(q_2 + q_1) & L_2 \cos(q_2 + q_1) + L_1 \cos(q_1) \\ \sin(q_2 + q_1) & \cos(q_2 + q_1) & L_2 \sin(q_2 + q_1) + L_1 \sin(q_1) \\ 0 & 0 & 1 \end{pmatrix}$$

Robot 3 DOF: *rotoidale + rotoidale + rotoidale*

```
(%i13) roto3(q1,q2,q3,L1,L2,L3):=block(
    [T01, T12, T23, T03],
    T01:roto(q1,L1),
    T12:roto(q2,L2),
    T23:roto(q3,L3),
    T03:T01.T12.T23,
    T03:trigreduce(expand(T03)),
    let(cos(q1+q2+q3),c[123]),
    let(sin(q1+q2+q3),s[123]),
    return(letsimp(T03))
)$
(%i14) roto3(q[1],q[2],q[3],L[1],L[2],L[3])
```

$$(\%o14) \begin{pmatrix} c_{123} & -s_{123} & L_2 \cos(q_2 + q_1) + L_1 \cos(q_1) + L_3 c_{123} \\ s_{123} & c_{123} & L_2 \sin(q_2 + q_1) + L_1 \sin(q_1) + L_3 s_{123} \\ 0 & 0 & 1 \end{pmatrix}$$

Robot Cartesiano: *prismatico + prismatico*

Il robot cartesiano monta due giunti prismatici lungo gli assi coordinati x e y .

Nella seguente procedura è implementata la configurazione con asse y come base e asse x come end-effector.

```
(%i15) cartesiano(q1, q2):=block(
    [T01, T12, T02],
    T01:prism(q1,matrix([0],[1])),
    T12:prism(q2,matrix([1],[0])),
    T02:T01.T12,
    return(T02)
)$
(%i16) cartesiano(q[1],q[2])
```

$$(\%o16) \begin{pmatrix} 1 & 0 & q_2 \\ 0 & 1 & q_1 \\ 0 & 0 & 1 \end{pmatrix}$$

Robot 2 DOF: *rotoidale + prismatico*

Il robot di questo tipo visto a lezione vede il giunto prismatico muoversi lungo l'asse y .

```
(%i17) rotoprism(q1,q2,L1):=block(
    [T01, T12, T02],
    T01:roto(q1,L1),
    T12:prism(q2,matrix([0],[1])),
    T02:T01.T12,
    return(T02)
)$
(%i18) rotoprism(theta[1],q[2],L[1])
```

$$(\%o18) \begin{pmatrix} \cos(\vartheta_1) & -\sin(\vartheta_1) & L_1 \cos(\vartheta_1) - q_2 \sin(\vartheta_1) \\ \sin(\vartheta_1) & \cos(\vartheta_1) & L_1 \sin(\vartheta_1) + q_2 \cos(\vartheta_1) \\ 0 & 0 & 1 \end{pmatrix}$$

Robot 2 DOF: *prismatico + rotoidale*

Il robot di questo tipo visto a lezione vede il giunto prismatico muoversi lungo l'asse x

```
(%i19) prismroto(q1,q2,L2):=block(
    [T01, T12, T02],
    T01:prism(q1,matrix([1],[0])),
    T12:roto(q2,L2),
    T02:T01.T12,
    return(T02)
)$
```

```
(%i20) prismroto(q[1], q[2], L[2])
```

```
(%o20) 
$$\begin{pmatrix} \cos(q_2) & -\sin(q_2) & L_2 \cos(q_2) + q_1 \\ \sin(q_2) & \cos(q_2) & L_2 \sin(q_2) \\ 0 & 0 & 1 \end{pmatrix}$$

```

Procedura 13

Scrivere una procedura che, dati asse v , angolo ϑ e spostamento d , generi la corrispondente matrice di avvitamento:

$$Av(v, \theta, d) = \begin{pmatrix} e^{S_v(\theta)} & dv \\ 0 & 1 \end{pmatrix}$$

```
(%i21) Av(v, theta, d):=block(
    [exp, S, dv, row, T],
    S:S(v),
    exp:expLaplace(S, theta),
    row:matrix([0,0,0,1]),
    dv:d*v,
    T:addcol(exp, dv),
    T:addrow(T,row),
    return(trigsimp(trigrat(trigreduce(trigexpand(T))))))
)$
```

Definisco vettore di simbolico.

```
(%i22) assume(v[1]^2+v[2]^2+v[3]^2>0)$
```

```
(%i23) v:matrix([v[1]], [v[2]], [v[3]])$
```

Calcolo matrice di avvitamento simbolica. Output soppresso per leggibilità.

```
(%i24) Av(v,theta,d)$
```

Procedura 14

Utilizzando la procedura 13, calcolare

$$Av(z, \theta, d)$$

$$Av(x, \alpha, a)$$

```
(%i25) Avz(theta,d):=block(
    [z, Av],
    z:matrix([0],[0],[1]),
    Av:Av(z,theta,d),
    return(Av)
)$
```

```
(%i26) Avz(theta,d)
```

```
(%o26) 
$$\begin{pmatrix} \cos(\vartheta) & -\sin(\vartheta) & 0 & 0 \\ \sin(\vartheta) & \cos(\vartheta) & 0 & 0 \\ 0 & 0 & 1 & d \\ 0 & 0 & 0 & 1 \end{pmatrix}$$

```

```
(%i27) Avx(alpha,a):=block(
    [x,Av],
    x:matrix([1],[0],[0]),
    Av:Av(x,alpha,a),
    return(Av)
)$
```

```
(%i28) Avx(alpha,a)
```

```
(%o28) 
$$\begin{pmatrix} 1 & 0 & 0 & a \\ 0 & \cos(\alpha) & -\sin(\alpha) & 0 \\ 0 & \sin(\alpha) & \cos(\alpha) & 0 \\ 0 & 0 & 0 & 1 \end{pmatrix}$$

```

Procedura 15

Utilizzare la procedura precedente, calcolare

$$Q_{i-1,i} = \text{Av}(z, \theta_i, d_i) \text{Av}(x, \alpha_i, a_i)$$

```
(%i29) Qi1_i(thetai,di,alphai,ai):=block(
    [Avz,Avx],
    Avz:Avz(thetai,di),
    Avx:Avx(alphai,ai),
    Q:Avz.Avx,
    return(Q)
)$
```

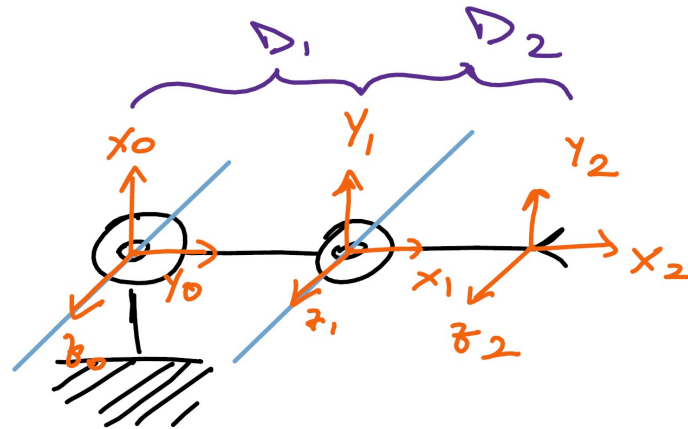
```
(%i30) Qi1_i(theta[i],d[i],alpha[i],a[i])
```

```
(%o30) 
$$\begin{pmatrix} \cos(\vartheta_i) & -\cos(\alpha_i) \sin(\vartheta_i) & \sin(\alpha_i) \sin(\vartheta_i) & a_i \cos(\vartheta_i) \\ \sin(\vartheta_i) & \cos(\alpha_i) \cos(\vartheta_i) & -\sin(\alpha_i) \cos(\vartheta_i) & a_i \sin(\vartheta_i) \\ 0 & \sin(\alpha_i) & \cos(\alpha_i) & d_i \\ 0 & 0 & 0 & 1 \end{pmatrix}$$

```


Robot 2 DOF Planare

Il robot planare a due gradi di libertà vede due giunti di tipo rotoidale a pivot. L'applicazione dell'algoritmo di Denavit-Hartenberg è illustrato in figura.



	θ	d	α	a
1	q_1	0	0	L_1
2	q_2	0	0	L_2

Tabella 1. D - H per Robot 2 DoF Planare

```
(%i9) twoDofPlanar(q1,q2,L1,L2):=block(
    [Q01, Q12, Q02],
    Q01:Q(q1,0,0,L1),
    Q12:Q(q2,0,0,L2),
    Q02:trigreduce(Q01.Q12),
    return(Q02)
)$
(%i10) DH:twoDofPlanar(q[1],q[2],L[1],L[2])$
(%i11) ridef(DH, q[1],q[2])
```

```
(%o11) 
$$\begin{pmatrix} c_{12} & -s_{12} & 0 & L_2 c_{12} + L_1 c_1 \\ s_{12} & c_{12} & 0 & L_2 s_{12} + L_1 s_1 \\ 0 & 0 & 1 & 0 \\ 0 & 0 & 0 & 1 \end{pmatrix}$$

```

Cinematica Inversa di Posizione:

Poiché abbiamo a disposizione solo due gradi di libertà, la cinematica inversa di posizione ci fornisce tutti i parametri necessari per studiare il problema della cinematica inversa del 2DoF Planare.

Dalla cinematica diretta risulta che:

$$d = \begin{pmatrix} x \\ y \\ z \end{pmatrix} = \begin{pmatrix} L_2 c_{12} + L_1 c_1 \\ L_2 s_{12} + L_1 s_1 \\ 0 \end{pmatrix} \rightarrow \begin{pmatrix} x \\ y \end{pmatrix} = R(q_1 + q_2) \begin{pmatrix} L_2 \\ 0 \end{pmatrix} + R(q_1) \begin{pmatrix} L_1 \\ 0 \end{pmatrix}$$

Poiché $R(q_1 + q_2) = R(q_1)R(q_2)$ possiamo raccogliere $R(q_1)$ e sfruttare la proprietà che le rotazioni non modificano la norma:

$$\begin{aligned} \left\| \begin{pmatrix} x \\ y \end{pmatrix} \right\|_2 &= \left\| R(q_2) \begin{pmatrix} L_2 \\ 0 \end{pmatrix} + \begin{pmatrix} L_1 \\ 0 \end{pmatrix} \right\|_2 \\ x^2 + y^2 &= \begin{pmatrix} L_2 & 0 \end{pmatrix} R(q_2)^T R(q_2) \begin{pmatrix} L_2 \\ 0 \end{pmatrix} + \begin{pmatrix} L_1 & 0 \end{pmatrix} \begin{pmatrix} L_1 \\ 0 \end{pmatrix} + 2 \begin{pmatrix} L_1 & 0 \end{pmatrix} R(q_2) \begin{pmatrix} L_2 \\ 0 \end{pmatrix} \\ x^2 + y^2 &= L_2^2 + L_1^2 + 2L_1L_2\cos(q_2) \\ \cos(q_2) &= \frac{x^2 + y^2 - L_2^2 - L_1^2}{2L_1L_2} = c_2 \end{aligned}$$

Poiché $-1 \leq c_2 \leq 1$, otteniamo le disequazioni dello spazio operativo del 2DOF:

$$\begin{aligned} -1 &\leq \frac{x^2 + y^2 - L_2^2 - L_1^2}{2L_1L_2} \leq 1 \\ L_2^2 + L_1^2 - 2L_1L_2 &\leq x^2 + y^2 \leq 2L_1L_2 + L_2^2 + L_1^2 \\ (L_1 - L_2)^2 &\leq x^2 + y^2 \leq (L_1 + L_2)^2 \end{aligned}$$

Queste disequazioni descrivono una corona circolare di circonferenze $r_1 = |L_1 - L_2|$ e $r_2 = L_1 + L_2$, all'interno della quale il robot può operare.

Possiamo dedurre quindi l'espressione per $\sin(q_2)$:

$$\sin(q_2) = s_2 = \pm \sqrt{1 - c_2^2} = \pm \sqrt{1 - \left(\frac{x^2 + y^2 - L_2^2 - L_1^2}{2L_1L_2} \right)^2}$$

Possiamo capire che se $\left| \frac{x^2 + y^2 - L_2^2 - L_1^2}{2L_1L_2} \right| = 1$ abbiamo una soluzione singolare che coincide con $s_2 = 0$, ovvero con la posizione del secondo link completamente allungata o sovrapposta al primo. Tali posizioni coincidono con i bordi delle circonferenze della corona.

Inoltre, se $L_1 = L_2$ abbiamo infinite soluzioni.

Se $\left| \frac{x^2 + y^2 - L_2^2 - L_1^2}{2L_1L_2} \right| \neq 1$, abbiamo due soluzioni per q_2 :

$$q_2 = \text{atan2} \left(\pm \sqrt{1 - \left(\frac{x^2 + y^2 - L_2^2 - L_1^2}{2L_1L_2} \right)^2}, \frac{x^2 + y^2 - L_2^2 - L_1^2}{2L_1L_2} \right)$$

La matrice di rotazione R_2 è nota, pertanto:

$$\begin{pmatrix} x \\ y \end{pmatrix} = \begin{pmatrix} c_1 & -s_1 \\ s_1 & c_1 \end{pmatrix} \begin{pmatrix} L_2 c_2 + L_1 \\ s_2 L_2 \end{pmatrix} = \begin{pmatrix} c_1 & -s_1 \\ s_1 & c_1 \end{pmatrix} \begin{pmatrix} A \\ B \end{pmatrix}$$

Risolvendo in funzione di q_1 :

$$\begin{pmatrix} c_1 \\ s_1 \end{pmatrix} = \frac{1}{A^2 + B^2} \begin{pmatrix} A & B \\ -B & A \end{pmatrix} \begin{pmatrix} x \\ y \end{pmatrix}$$

Poiché $A^2 + B^2 > 0$, deduciamo che

$$q_1 = \text{atan2}(s_1, c_1) = \text{atan2}(-Bx + Ay, Ax + By)$$

$$\text{con } A = L_2 \cos(q_2) + L_1, B = L_2 \sin(q_2)$$

```
(%i12) posInv(x,y,L1,L2):=block(
  [q1, s1, c1, q2, s2, c2,Pdes, des, sist, tn1, tn2],
  Pdes:matrix([x,y]).matrix([x],[y]),
  des:x^2+y^2,
  if(des>(L1+L2)^2 or des<(L1-L2)^2) then
    error("Spazio Operativo Violato"),
  c2:(des-L1^2-L2^2)/(2*L1*L2),
  s2:sqrt(1-c2^2),
  q2:[atan2(s2,c2),atan2(-s2,c2)],
  print(q[2],"=",q2),
  tn1:rot2(q2[1]).matrix([L2],[0])+matrix([L1],[0]),
  tn2:rot2(q2[2]).matrix([L2],[0])+matrix([L1],[0]),
  s1:[-tn1[2][1]*x+tn1[1][1]*y,-tn2[2][1]*x+tn2[1][1]*y],
  c1:[tn1[1][1]*x+tn1[2][1]*y,tn2[1][1]*x+tn2[2][1]*y],
  q1:[atan2(s1[1],c1[1]),atan2(s1[2],c1[2])],
  print(q[1],"=",q1),
  return([matrix([q1[1]], [q2[1]]),matrix([q1[2]], [q2[2]])])
)$
```

```
(%i13) posInv(x,y,L[1],L[2])$
```

$$\begin{aligned}
q_2 &= \left[\text{atan2} \left(\sqrt{1 - \frac{(y^2 + x^2 - L_2^2 - L_1^2)^2}{4 L_1^2 L_2^2}}, \frac{y^2 + x^2 - L_2^2 - L_1^2}{2 L_1 L_2} \right), \right. \\
&\quad \left. - \text{atan2} \left(\sqrt{1 - \frac{(y^2 + x^2 - L_2^2 - L_1^2)^2}{4 L_1^2 L_2^2}}, \frac{y^2 + x^2 - L_2^2 - L_1^2}{2 L_1 L_2} \right) \right] \\
q_1 &= \left[- \text{atan2} \left(L_2 x \sqrt{1 - \frac{(y^2 + x^2 - L_2^2 - L_1^2)^2}{4 L_1^2 L_2^2}} - y \left(\frac{y^2 + x^2 - L_2^2 - L_1^2}{2 L_1} + L_1 \right), \right. \right. \\
&\quad \left. L_2 y \sqrt{1 - \frac{(y^2 + x^2 - L_2^2 - L_1^2)^2}{4 L_1^2 L_2^2}} + x \left(\frac{y^2 + x^2 - L_2^2 - L_1^2}{2 L_1} + L_1 \right) \right), \\
&\quad \left. \text{atan2} \left(L_2 x \sqrt{1 - \frac{(y^2 + x^2 - L_2^2 - L_1^2)^2}{4 L_1^2 L_2^2}} + y \left(\frac{y^2 + x^2 - L_2^2 - L_1^2}{2 L_1} + L_1 \right), x \left(\frac{y^2 + x^2 - L_2^2 - L_1^2}{2 L_1} + \right. \right. \right. \\
&\quad \left. \left. L_1 \right) - L_2 y \sqrt{1 - \frac{(y^2 + x^2 - L_2^2 - L_1^2)^2}{4 L_1^2 L_2^2}} \right) \right]
\end{aligned}$$

```
(%i14) sol:posInv(1,1,1,1)
```

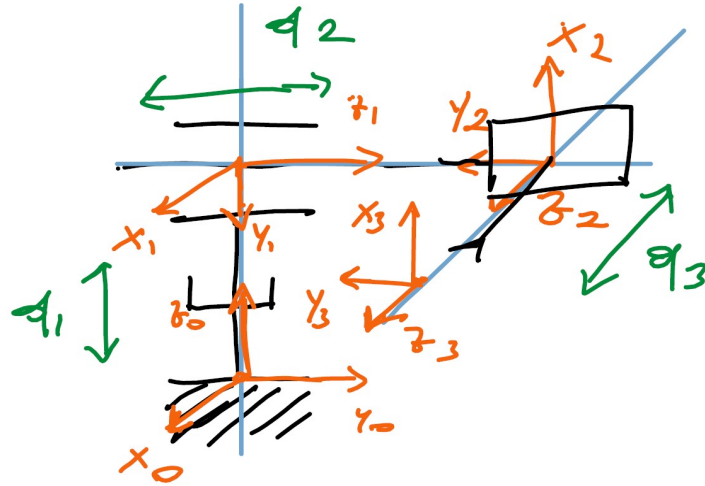
$$q_2 = \left[\frac{\pi}{2}, -\frac{\pi}{2} \right]$$

$$q_1 = \left[0, \frac{\pi}{2} \right]$$

```
(%o14)  $\left[ \begin{pmatrix} 0 \\ \frac{\pi}{2} \end{pmatrix}, \begin{pmatrix} \frac{\pi}{2} \\ -\frac{\pi}{2} \end{pmatrix} \right]$ 
```

Robot Cartesiano

Il robot cartesiano visto a lezione ha un giunto teleferico per il posizionamento verticale e due gradi di libertà, dati da un giunto trapezoidale e un secondo giunto teleferico, che permettono all'end-effector di raggiungere tutti i punti del piano cartesiano individuato dalla lunghezza dei suoi link. L'algoritmo di Denavit-Hartenberg è applicato come in figura.



	θ	d	α	a
1	0	q_1	$-\frac{\pi}{2}$	0
2	$-\frac{\pi}{2}$	q_2	$-\frac{\pi}{2}$	0
3	0	q_3	0	0

Tabella 1. D - H per Robot Cartesiano

```
(%i8) cartesiano(q1,q2,q3):=block(
  [Q01, Q12, Q23, Q03],
  Q01:Q(0,q1,-%pi/2,0),
  Q12:Q(-%pi/2, q2, -%pi/2, 0),
  Q23:Q(0,q3,0,0),
  Q03:trigreduce(Q01.Q12).Q23,
  return(Q03)
)$
```

```
(%i9) DH:cartesiano(q[1],q[2],q[3])
```

$$(\%o9) \begin{pmatrix} 0 & 0 & 1 & q_3 \\ 0 & -1 & 0 & q_2 \\ 1 & 0 & 0 & q_1 \\ 0 & 0 & 0 & 1 \end{pmatrix}$$

Cinematica Inversa di Posizione:

Dalla cinematica diretta risulta evidente che:

$$\begin{cases} x = q_3 \\ y = q_2 \\ z = q_1 \end{cases}$$

Tale soluzione è unica e ci dice che lo spazio di lavoro, a meno di fine corsa dei giunti, è tutto \mathbb{R}^3 .

```
(%i10) posInv(x,y,z):=block(
  [q1, q2, q3],
  q1:z,
  q2:y,
  q3:x,
  return([q1,q2,q3])
)$
(%i11) posInv(x,y,z)
```

```
(%o11) [z, y, x]
```

Cinematica Inversa di Orientamento.

Poiché la matrice di rotazione del robot cartesiano presenta una singolarità per la terna $\{z, y, x\}$, data dal valore $-s_y = 1$, adottiamo una terna nautica di tipo $\{x, z, y\}$ che non presenta il termine singolare. Tale scelta è puramente arbitraria e basata su conti preliminari.

$$R_{\{x,z,y\}} = R_x(\alpha) \cdot R_z(\gamma) \cdot R_y(\beta) = \begin{pmatrix} c_\beta c_\gamma & -s_\gamma & s_\beta c_\gamma \\ c_\alpha c_\beta s_\gamma + s_\alpha s_\beta & c_\alpha c_\gamma & c_\alpha s_\beta s_\gamma - s_\alpha c_\beta \\ s_\alpha c_\beta s_\gamma - c_\alpha s_\beta & s_\alpha c_\gamma & s_\alpha s_\beta s_\gamma + c_\alpha c_\beta \end{pmatrix}$$

Dalla cinematica diretta si vede che la matrice di rotazione è:

$$R = \begin{pmatrix} 0 & 0 & 1 \\ 0 & -1 & 0 \\ 1 & 0 & 0 \end{pmatrix}$$

Da cui:

$$-s_\gamma = 0 \rightarrow c_\gamma = \pm \sqrt{1 - s_\gamma^2} = \pm 1 \rightarrow \gamma = \text{atan2}(0, \pm 1) = \begin{cases} 0 \\ \pi \end{cases}$$

$$\begin{cases} c_\alpha c_\gamma = -1 \\ s_\alpha c_\gamma = 0 \end{cases} \rightarrow \begin{cases} \pm c_\alpha = -1 \rightarrow c_\alpha = \mp 1 \\ s_\alpha = 0 \end{cases} \rightarrow \alpha = \text{atan2}(0, \mp 1) = \begin{cases} \pi \\ 0 \end{cases}$$

$$\begin{cases} c_\beta c_\gamma = 0 \\ s_\beta c_\gamma = 1 \end{cases} \rightarrow \begin{cases} c_\beta = 0 \\ \pm s_\beta = 1 \rightarrow s_\beta = \pm 1 \end{cases} \rightarrow \beta = \text{atan2}(\pm 1, 0) = \begin{cases} \frac{\pi}{2} \\ -\frac{\pi}{2} \end{cases}$$

Abbiamo quindi una soluzione per un γ fissato. Riassumendo:

$$\begin{pmatrix} \pi \\ \frac{\pi}{2} \\ 0 \end{pmatrix}, \begin{pmatrix} 0 \\ -\frac{\pi}{2} \\ \pi \end{pmatrix}$$

```
(%i12) R(alpha,beta,gamma):=rodrigues(matrix([1],[0],[0]),alpha).
  rodrigues(matrix([0],[0],[1]),gamma).
  rodrigues(matrix([0],[1],[0]),beta)$
```

```
(%i13) orientInv(R):=block(
  [cx, sx, cy, sy, cz, sz, x, y, z],
  sz:R[1][2],
  if(sz=1 or sz=-1) then
    error("Caso Singolare, cambiare terna"),
  cz:sqrt(1-sz^2),
  z:[atan2(sz,cz),atan2(sz,-cz)],
  print(phi[Z],"=",z),
  cy:R[1][1],
  sy:[R[1][3]/cos(z[1]),R[1][3]/cos(z[2])],
  y:[atan2(sy[1],cy),atan2(sy[2],cy)],
  print(phi[Y],"=",y),
  cx:[R[2][2]/cos(z[1]),R[2][2]/cos(z[2])],
  sx:0,
  x:[atan2(sx,cx[1]),atan2(sx,cx[2])],
  print(phi[X],"=",x),
  return([matrix([x[1]], [y[1]], [z[1]]),
    matrix([x[2]], [y[2]], [z[2]])])
)$
```

```
(%i14) R:submatrix(4,DH,4)
```

$$(\%o14) \begin{pmatrix} 0 & 0 & 1 \\ 0 & -1 & 0 \\ 1 & 0 & 0 \end{pmatrix}$$

```
(%i15) orientInv(R)
```

$$\varphi_Z = [0, \pi]$$

$$\varphi_Y = \left[\frac{\pi}{2}, -\frac{\pi}{2} \right]$$

$$\varphi_X = [\pi, 0]$$

$$(\%o15) \left[\begin{pmatrix} \frac{\pi}{2} \\ \frac{\pi}{2} \\ 0 \end{pmatrix}, \begin{pmatrix} 0 \\ -\frac{\pi}{2} \\ \pi \end{pmatrix} \right]$$

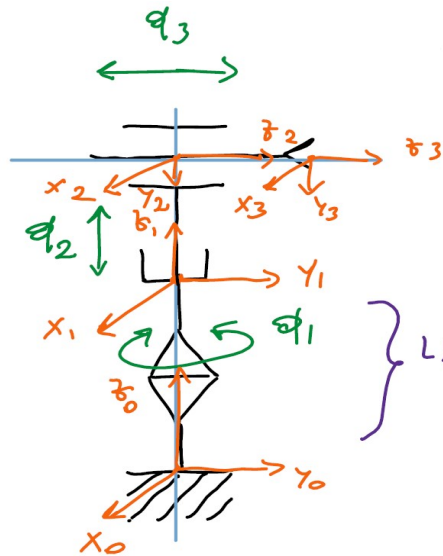
```
(%i16) R(%pi,%pi/2,0)
```

$$(\%o16) \begin{pmatrix} 0 & 0 & 1 \\ 0 & -1 & 0 \\ 1 & 0 & 0 \end{pmatrix}$$

```
(%i17)
```

Robot Cilindrico

Il robot cilindrico vede un giunto rotoidale di tipo pivot, un giunto lineare teleferico e uno trapezoidale. Il suo spazio di lavoro è formato dal luogo geometrico dei punti di un cilindro. L'applicazione dell'algoritmo di Denavit-Hartenberg è illustrata in figura.



	θ	d	α	a
1	q_1	L_1	0	0
2	0	q_2	$-\frac{\pi}{2}$	0
3	0	q_3	0	0

Tabella 1. D - H per Robot Cilindrico

```
(%i9) cilindrico(q1,q2,q3,L1):=block(
  [Q01, Q12, Q23, Q03],
  Q01:Q(q1,L1,0,0),
  Q12:Q(0,q2,-%pi/2,0),
  Q23:Q(0,q3,0,0),
  Q03:Q01.Q12.Q23,
  return(Q03)
)$
(%i10) DH:cilindrico(q[1],q[2],q[3],L[1])$
(%i19) ridef(DH,2)
```

$$(\%o19) \begin{pmatrix} \cos(q_1) & 0 & -\sin(q_1) & -q_3 \sin(q_1) \\ \sin(q_1) & 0 & \cos(q_1) & q_3 \cos(q_1) \\ 0 & -1 & 0 & q_2 + L_1 \\ 0 & 0 & 0 & 1 \end{pmatrix}$$

Cinematica Inversa di Posizione:

Dalla cinematica diretta capiamo che la posizione dell'end-effector è descritta da:

$$\begin{cases} x = -q_3 \sin(q_1) \\ y = q_3 \cos(q_1) \\ z = q_2 + L_1 \end{cases}$$

Poiché z ed L_1 devono essere noti, abbiamo una possibile soluzione per q_2 :

$$q_2 = z - L_1$$

Quadrando e sommando le prime due equazioni otteniamo:

$$x^2 + y^2 = q_3^2 (s_1^2 + c_1^2) = q_3^2$$

Questa equazione, insieme a quella su q_2 , ci permette di determinare lo spazio operativo del robot, che corrisponde ad un cilindro con circonferenza ed altezza variabili, determinati nella realtà dai fine corsa dei due giunti prismatici.

Risolviendo per trovare q_3 , determiniamo le condizioni di singolarità:

$$q_3 = \pm \sqrt{x^2 + y^2}$$

$$\text{se } q_3 \neq 0 \rightarrow x^2 + y^2 \neq 0 \rightarrow x \neq 0 \text{ oppure } y \neq 0 \rightarrow 2 \text{ soluzioni generiche}$$

Se $x^2 + y^2 \neq 0$, la soluzione trovata di q_3 è ammissibile, quindi:

$$\begin{cases} c_1 = \frac{y}{q_3} \\ s_1 = \frac{-x}{q_3} \end{cases} \rightarrow q_1 = \text{atan2}\left(\frac{-x}{q_3}, \frac{y}{q_3}\right)$$

$$\text{se } q_3 = 0 \rightarrow x^2 + y^2 = 0 \rightarrow \text{soluzione singolare}$$

La configurazione assunta dal robot in posizione singolare coincide con l'asse del cilindro, che comporta infinite soluzioni di q_1 .

Riassumendo:

$$\begin{pmatrix} \text{atan2}\left(\frac{-x}{q_3}, \frac{y}{q_3}\right) \\ z - L_1 \\ \sqrt{x^2 + y^2} \end{pmatrix}, \begin{pmatrix} \text{atan2}\left(\frac{-x}{q_3}, \frac{y}{q_3}\right) \\ z - L_1 \\ \sqrt{x^2 + y^2} \end{pmatrix}$$

```
(%i12) posInv(x,y,z,L1):=block(
  [q1, q2, q3, sist, des],
  des:trigsimp(x^2+y^2),
  sist:[z=q2+L1],
  q2:map(rhs,solve(sist,q2))[1],
  print(q[2],"=", q2),
  sist:[des=q3^2],
  q3:map(rhs, solve(sist,q3)),
  print(q[3],"=",q3),
  if(des = 0) then (
    error("Spazio Operativo Violato: q[1] ha infinite soluzioni")
  ) else (
    q1:[atan2(-x/q3[1],y/q3[1]), atan2(-x/q3[2],y/q3[2])],
  ),
  print(q[1],"=",q1),
  return([matrix([q1[1]], [q2], [q3[1]]),matrix([q1[2]], [q2], [q3[2]])])
)$
```

(%i13) posInv(5,10,15,L[1])

$$q_2 = 15 - L_1$$

$$q_3 = \begin{bmatrix} -5^{\frac{3}{2}}, 5^{\frac{3}{2}} \end{bmatrix}$$

$$q_1 = \left[\pi - \arctan\left(\frac{1}{2}\right), -\arctan\left(\frac{1}{2}\right) \right]$$

(%o13) $\left[\begin{pmatrix} \pi - \arctan\left(\frac{1}{2}\right) \\ 15 - L_1 \\ -5^{\frac{3}{2}} \end{pmatrix}, \begin{pmatrix} -\arctan\left(\frac{1}{2}\right) \\ 15 - L_1 \\ 5^{\frac{3}{2}} \end{pmatrix} \right]$

(%i15) test:cilindrico(%pi-atan((1/2)),15-L[1],-5^((3/2)),L[1])

(%o15) $\begin{pmatrix} -\frac{2}{\sqrt{5}} & 0 & -\frac{1}{\sqrt{5}} & 5 \\ \frac{1}{\sqrt{5}} & 0 & -\frac{2}{\sqrt{5}} & 10 \\ 0 & -1 & 0 & 15 \\ 0 & 0 & 0 & 1 \end{pmatrix}$

Cinematica Inversa di Orientamento:

In questo caso non siamo in condizione singolare per la terna $\{z, y, x\}$, quindi:

$$R_{\{z,y,x\}}(\phi) = R_z(\gamma)R_y(\beta)R_x(\alpha) = \begin{pmatrix} c_\beta c_\gamma & s_\alpha s_\beta c_\gamma - c_\alpha s_\gamma & s_\alpha s_\gamma + c_\alpha s_\beta c_\gamma \\ c_\beta s_\gamma & s_\alpha s_\beta s_\gamma + c_\alpha c_\gamma & c_\alpha s_\beta s_\gamma - s_\alpha c_\gamma \\ -s_\beta & s_\alpha c_\beta & c_\alpha c_\beta \end{pmatrix}$$

Dalla cinematica diretta, la matrice di rotazione è:

$$R = \begin{pmatrix} c_1 & 0 & -s_1 \\ s_1 & 0 & c_1 \\ 0 & -1 & 0 \end{pmatrix}$$

Osserviamo che l'affermazione sulla non singolarità è confermata, poiché $-s_\beta = 0 \neq \pm 1$.
Pertanto:

$$-s_\beta = 0 \rightarrow c_\beta = \pm \sqrt{1 - s_\beta^2} = \pm 1 \rightarrow \beta = \begin{cases} 0 \\ \pi \end{cases}$$

Scrivendo gli altri due sistemi di equazioni troviamo:

$$\begin{cases} c_\beta c_\gamma = c_1 \\ c_\beta s_\gamma = s_1 \end{cases} \rightarrow \begin{cases} \pm c_\gamma = c_1 \rightarrow c_\gamma = \pm c_1 \\ \pm s_\gamma = s_1 \rightarrow s_\gamma = \pm s_1 \end{cases} \rightarrow \gamma = \text{atan2}(\pm s_1, \pm c_1) = \begin{cases} q_1 \\ q_1 + \pi \end{cases}$$

$$\begin{cases} s_\alpha c_\beta = -1 \\ c_\alpha c_\beta = 0 \end{cases} \rightarrow \begin{cases} \pm s_\alpha = -1 \rightarrow s_\alpha = \mp 1 \\ \pm c_\alpha = 0 \rightarrow c_\alpha = 0 \end{cases} \rightarrow \alpha = \text{atan2}(\mp 1, 0) = \begin{cases} -\frac{\pi}{2} \\ \frac{\pi}{2} \end{cases}$$

Riassumendo:

$$\begin{pmatrix} -\frac{\pi}{2} \\ 0 \\ q_1 \end{pmatrix}, \begin{pmatrix} \frac{\pi}{2} \\ \pi \\ q_1 + \pi \end{pmatrix}$$

(%i26) R(alpha,beta,gamma):=rodrigues(matrix([0],[0],[1]),gamma).
rodrigues(matrix([0],[1],[0]),beta).rodrigues(matrix([1],[0],[0]),alpha)\$

```
(%i21) orientInv(R):=block(
  [cx, sx, cy, sy, cz, sz, x, y, z],
  sy:R[3][1],
  cy:sqrt(1-sy^2),
  y:[atan2(sy,cy),atan2(sy,-cy)],
  print(phi[Y],"=",y),
  sx:[R[3][2]/cos(y[1]),R[3][2]/cos(y[2])],
  cx:R[3][3],
  x:[atan2(sx[1],cx),atan2(sx[2],cx)],
  print(phi[X],"=",x),
  cz:[R[1][1]/cos(y[1]),R[1][1]/cos(y[2])],
  sz:[R[2][1]/cos(y[1]),R[2][1]/cos(y[2])],
  z:[atan2(sz[1],cz[1]),atan2(sz[2],cz[2])],
  print(phi[Z],"=",z),
  return([matrix([x[1]], [y[1]], [z[1]]),
          matrix([x[2]], [y[2]], [z[2]])])
)$
```

```
(%i22) R:submatrix(4,test,4)
```

$$(\%o22) \begin{pmatrix} -\frac{2}{\sqrt{5}} & 0 & -\frac{1}{\sqrt{5}} \\ \frac{1}{\sqrt{5}} & 0 & -\frac{2}{\sqrt{5}} \\ 0 & -1 & 0 \end{pmatrix}$$

```
(%i23) orientInv(R)
```

$$\varphi_Y = [0, \pi]$$

$$\varphi_X = \left[-\frac{\pi}{2}, \frac{\pi}{2}\right]$$

$$\varphi_Z = \left[\pi - \arctan\left(\frac{1}{2}\right), -\arctan\left(\frac{1}{2}\right)\right]$$

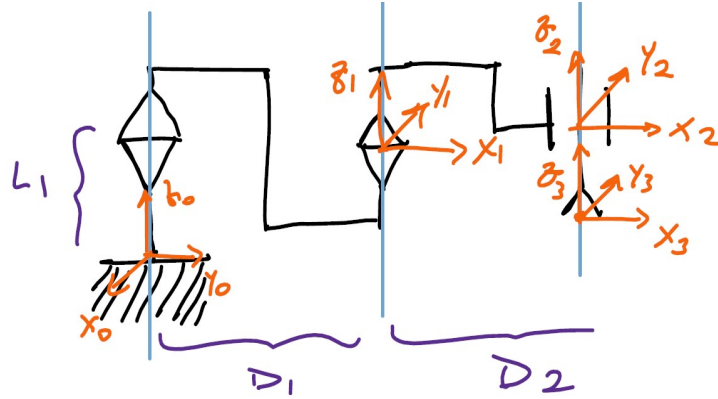
$$(\%o23) \left[\begin{pmatrix} -\frac{\pi}{2} \\ 0 \\ \pi - \arctan\left(\frac{1}{2}\right) \end{pmatrix}, \begin{pmatrix} \frac{\pi}{2} \\ \pi \\ -\arctan\left(\frac{1}{2}\right) \end{pmatrix} \right]$$

```
(%i27) R(-(pi/2), 0, pi-atan((1/2)))
```

$$(\%o27) \begin{pmatrix} -\frac{2}{\sqrt{5}} & 0 & -\frac{1}{\sqrt{5}} \\ \frac{1}{\sqrt{5}} & 0 & -\frac{2}{\sqrt{5}} \\ 0 & -1 & 0 \end{pmatrix}$$

Robot Scara

Il robot scara è formato da due giunti rotoidali, e da uno lineare trapezoidale. L'applicazione dell'algoritmo di Denavit-Hartenberg è illustrata in figura.



	θ	d	α	a
1	q_1	L_1	0	D_1
2	q_2	0	0	D_2
3	0	q_3	0	0

Tabella 1. D - H per Robot SCARA

```
(%i9) scara(q1,q2,q3,L1,D1,D2):=block(
  [Q01, Q12, Q23, Q03],
  Q01:Q(q1,L1,0,D1),
  Q12:Q(q2,0,0,D2),
  Q23:Q(0,q3,0,0),
  Q03:expand(trigreduce(Q01.Q12)).Q23,
  return(Q03)
)$
(%i10) DH:scara(q[1],q[2],q[3],L[1],D[1],D[2])$
(%i11) ridef(DH,q[1],q[2],q[3])
```

$$(\%o11) \begin{pmatrix} c_{12} & -s_{12} & 0 & D_2 c_{12} + D_1 c_1 \\ s_{12} & c_{12} & 0 & D_2 s_{12} + D_1 s_1 \\ 0 & 0 & 1 & q_3 + L_1 \\ 0 & 0 & 0 & 1 \end{pmatrix}$$

Cinematica Inversa di Posizione:

Dalla cinematica diretta abbiamo che:

$$\begin{cases} x = D_2 c_{12} + D_1 c_1 \\ y = D_2 s_{12} + D_1 s_1 \\ z = q_3 + L_1 \end{cases}$$

Poiché z e L_1 sono noti, possiamo definire una soluzione per q_3 :

$$q_3 = z - L_1$$

Nota 1. E' possibile notare che questa soluzione dipende dalla posizione del SdR inerziale definito durante la procedura di DH. Difatti, posizionando il centro del SdR 0 al centro del primo giunto piuttosto che sulla base, la soluzione diventa $q_3 = z$.

Prendendo le prime due equazioni e riscrivendole sottoforma di prodotto tra matrici, possiamo raccogliere rispetto a q_1 e scrivere:

$$\begin{pmatrix} x \\ y \end{pmatrix} = R(q_1 + q_2) \begin{pmatrix} D_2 \\ 0 \end{pmatrix} + R(q_1) \begin{pmatrix} D_1 \\ 0 \end{pmatrix} = R(q_1) \left\{ R(q_2) \begin{pmatrix} D_2 \\ 0 \end{pmatrix} + \begin{pmatrix} D_1 \\ 0 \end{pmatrix} \right\}$$

Nota 2. *E' possibile notare che risolvere questo sistema di equazioni coincide con il problema della cinematica inversa del robot 2DoF-Planare*

Poiché moltiplicare per $R(q_1)$ non altera la norma, abbiamo che:

$$\begin{aligned} \left\| \begin{pmatrix} x \\ y \end{pmatrix} \right\|_2 &= \left\| R(q_2) \begin{pmatrix} D_2 \\ 0 \end{pmatrix} + \begin{pmatrix} D_1 \\ 0 \end{pmatrix} \right\|_2 \\ x^2 + y^2 &= \begin{pmatrix} D_2 & 0 \end{pmatrix} R(q_2)^T R(q_2) \begin{pmatrix} D_2 \\ 0 \end{pmatrix} + \begin{pmatrix} D_1 & 0 \end{pmatrix} \begin{pmatrix} D_1 \\ 0 \end{pmatrix} + 2 \begin{pmatrix} D_1 & 0 \end{pmatrix} R(q_2) \begin{pmatrix} D_2 \\ 0 \end{pmatrix} \\ x^2 + y^2 &= D_2^2 + D_1^2 + 2D_1D_2\cos(q_2) \\ \cos(q_2) &= \frac{x^2 + y^2 - D_2^2 - D_1^2}{2D_1D_2} = c_2 \end{aligned}$$

Poiché $-1 \leq c_2 \leq 1$, otteniamo le disequazioni dello spazio operativo del 2DOF:

$$\begin{aligned} -1 &\leq \frac{x^2 + y^2 - D_2^2 - D_1^2}{2D_1D_2} \leq 1 \\ D_2^2 + D_1^2 - 2D_1D_2 &\leq x^2 + y^2 \leq 2D_1D_2 + D_2^2 + D_1^2 \\ (D_1 - D_2)^2 &\leq x^2 + y^2 \leq (D_1 + D_2)^2 \end{aligned}$$

Queste disequazioni descrivono una corona circolare di circonferenze $r_1 = |D_1 - D_2|$ e $r_2 = D_1 + D_2$, all'interno della quale il robot può operare.

Possiamo dedurre quindi l'espressione per $\sin(q_2)$:

$$\sin(q_2) = s_2 = \pm \sqrt{1 - c_2^2} = \pm \sqrt{1 - \left(\frac{x^2 + y^2 - D_2^2 - D_1^2}{2D_1D_2} \right)^2}$$

Possiamo capire che se $\left| \frac{x^2 + y^2 - D_2^2 - D_1^2}{2D_1D_2} \right| = 1$ abbiamo una soluzione singolare che coincide con $s_2 = 0$, ovvero con la posizione del secondo link completamente allungata o sovrapposta al primo. Tali posizioni coincidono con i bordi delle circonferenze della corona.

Inoltre, se $D_1 = D_2$ abbiamo infinite soluzioni.

Se $\left| \frac{x^2 + y^2 - D_2^2 - D_1^2}{2D_1D_2} \right| \neq 1$, abbiamo due soluzioni per q_2 :

$$q_2 = \text{atan2} \left(\pm \sqrt{1 - \left(\frac{x^2 + y^2 - D_2^2 - D_1^2}{2D_1D_2} \right)^2}, \frac{x^2 + y^2 - D_2^2 - D_1^2}{2D_1D_2} \right)$$

La matrice di rotazione R_2 è nota, pertanto:

$$\begin{pmatrix} x \\ y \end{pmatrix} = \begin{pmatrix} c_1 & -s_1 \\ s_1 & c_1 \end{pmatrix} \begin{pmatrix} L_2c_2 + L_1 \\ s_2L_2 \end{pmatrix} = \begin{pmatrix} c_1 & -s_1 \\ s_1 & c_1 \end{pmatrix} \begin{pmatrix} A \\ B \end{pmatrix}$$

Risolvendo in funzione di q_1 :

$$\begin{pmatrix} c_1 \\ s_1 \end{pmatrix} = \frac{1}{A^2 + B^2} \begin{pmatrix} A & B \\ -B & A \end{pmatrix} \begin{pmatrix} x \\ y \end{pmatrix}$$

Poiché $A^2 + B^2 > 0$, deduciamo che

$$q_1 = \text{atan2}(s_1, c_1) = \text{atan2}(-Bx + Ay, Ax + By)$$

$$\text{con } A = D_2 \cos(q_2) + D_1, B = D_2 \sin(q_2)$$

Riassumendo:

$$\sin(q_1) = \mp D_2 x \sqrt{1 - \left(\frac{x^2 + y^2 - D_2^2 - D_1^2}{2D_1 D_2} \right)^2} + y \left(\frac{x^2 + y^2 - D_2^2 - D_1^2}{2D_1} + D_1 \right)$$

$$\cos(q_1) = D_2 x \left(\frac{x^2 + y^2 - D_2^2 - D_1^2}{2D_1} + D_1 \right) + y \sqrt{1 - \left(\frac{x^2 + y^2 - D_2^2 - D_1^2}{2D_1 D_2} \right)^2}$$

$$q_2 = \text{atan2} \left(\pm \sqrt{1 - \left(\frac{x^2 + y^2 - D_2^2 - D_1^2}{2D_1 D_2} \right)^2}, \frac{x^2 + y^2 - D_2^2 - D_1^2}{2D_1 D_2} \right)$$

$$q_3 = z - L_1$$

```
(%i12) posInv(x,y,z,L1,D1,D2):=block(
  [q1, s1, c1, q2, s2, c2, q3, quad, sist, a],
  q3:z-L1,
  quad:x^2+y^2,
  if(quad>(D1+D2)^2 or quad<(D1-D2)^2) then
    error("Spazio Operativo Violato"),
  c2:(x^2+y^2-D1^2-D2^2)/(2*D1*D2),
  s2:sqrt(1-c2^2),
  q2:[atan2(s2,c2),atan2(-s2,c2)],
  /*a:ratsubst(a,c2,c2),
  s2:sqrt(1-a^2),
  q2:[atan2(s2,a),atan2(-s2,a)],*/
  A:[(cos(q2[1])*D2)+D1, (cos(q2[2])*D2)+D1],
  B:[sin(q2[1])*D2, sin(q2[2])*D2],
  c1:[A[1]*x+B[1]*y, A[2]*x+B[2]*y],
  s1:[-B[1]*x+A[1]*y, -B[2]*x+A[2]*y],
  q1:[atan2(s1[1],c1[1]),atan2(s1[2],c1[2])],
  return([matrix([q1[1]], [q2[1]], [q3]),matrix([q1[2]], [q2[2]], [q3])])
)$
```

```
(%i13) posInv(x,y,z, L[1], D[1], D[2])
```

$$\begin{aligned} & \left[\left(-\text{atan2} \left(D_2 x \sqrt{1 - \frac{(y^2 + x^2 - D_2^2 - D_1^2)^2}{4 D_1^2 D_2^2}} - y \left(\frac{y^2 + x^2 - D_2^2 - D_1^2}{2 D_1} + D_1 \right), \right. \right. \right. \\ & D_2 y \sqrt{1 - \frac{(y^2 + x^2 - D_2^2 - D_1^2)^2}{4 D_1^2 D_2^2}} + x \left(\frac{y^2 + x^2 - D_2^2 - D_1^2}{2 D_1} + D_1 \right) \Big); \text{atan2} \left(\sqrt{1 - \frac{(y^2 + x^2 - D_2^2 - D_1^2)^2}{4 D_1^2 D_2^2}}, \right. \\ & \left. \left. \frac{y^2 + x^2 - D_2^2 - D_1^2}{2 D_1 D_2} \right); z - L_1 \right), \left(\text{atan2} \left(D_2 x \sqrt{1 - \frac{(y^2 + x^2 - D_2^2 - D_1^2)^2}{4 D_1^2 D_2^2}} + y \left(\frac{y^2 + x^2 - D_2^2 - D_1^2}{2 D_1} + D_1 \right), \right. \right. \\ & \left. \left. x \left(\frac{y^2 + x^2 - D_2^2 - D_1^2}{2 D_1} + D_1 \right) - D_2 y \sqrt{1 - \frac{(y^2 + x^2 - D_2^2 - D_1^2)^2}{4 D_1^2 D_2^2}} \right); -\text{atan2} \left(\sqrt{1 - \frac{(y^2 + x^2 - D_2^2 - D_1^2)^2}{4 D_1^2 D_2^2}}, \right. \right. \\ & \left. \left. \frac{y^2 + x^2 - D_2^2 - D_1^2}{2 D_1 D_2} \right); z - L_1 \right) \Big] \end{aligned}$$

```
(%i34) sol:=posInv(1,1,1,1,1,1)
```

$$(\%o34) \left[\begin{pmatrix} 0 \\ \frac{\pi}{2} \\ 0 \end{pmatrix}, \begin{pmatrix} \frac{\pi}{2} \\ -\frac{\pi}{2} \\ 0 \end{pmatrix} \right]$$

Verifico il risultato della cinematica inversa

```
(%i35) testPos(sol,L1,D1,D2):=block([i,t],
  for i:1 thru length(sol) do(
    t:scara(sol[i][1][1],sol[i][2][1],sol[i][3][1],L1,D1,D2),
    print("sol[" ,i," ][1]=" ,transpose(sol[i]),"->" ,t)
  )
)$
```

```
(%i38) testPos(sol,1,1,1)
```

$$\text{sol}[1][1] = \begin{pmatrix} 0 & \frac{\pi}{2} & 0 \end{pmatrix} \rightarrow \begin{pmatrix} 0 & -1 & 0 & 1 \\ 1 & 0 & 0 & 1 \\ 0 & 0 & 1 & 1 \\ 0 & 0 & 0 & 1 \end{pmatrix}$$

$$\text{sol}[2][1] = \begin{pmatrix} \frac{\pi}{2} & -\frac{\pi}{2} & 0 \end{pmatrix} \rightarrow \begin{pmatrix} 1 & 0 & 0 & 1 \\ 0 & 1 & 0 & 1 \\ 0 & 0 & 1 & 1 \\ 0 & 0 & 0 & 1 \end{pmatrix}$$

```
(%o38) done
```

Cinematica Inversa di Orientamento:

La soluzione della cinematica diretta non è singolare per la terna $\{z, y, x\}$, ovvero:

$$R_{\{z,y,x\}}(\phi) = R_z(\gamma)R_y(\beta)R_x(\alpha) = \begin{pmatrix} c_\beta c_\gamma & s_\alpha s_\beta c_\gamma - c_\alpha s_\gamma & s_\alpha s_\gamma + c_\alpha s_\beta c_\gamma \\ c_\beta s_\gamma & s_\alpha s_\beta s_\gamma + c_\alpha c_\gamma & c_\alpha s_\beta s_\gamma - s_\alpha c_\gamma \\ -s_\beta & s_\alpha c_\beta & c_\alpha c_\beta \end{pmatrix}$$

La matrice di rotazione della cinematica diretta è:

$$R = \begin{pmatrix} c_{12} & -s_{12} & 0 \\ s_{12} & c_{12} & 0 \\ 0 & 0 & 1 \end{pmatrix}$$

Si nota subito che:

$$-s_\beta = 0 \neq \pm 1 \rightarrow c_\beta = \pm \sqrt{1-s_\beta} = \pm 1 \rightarrow \beta = \text{atan2}(0, \pm 1) = \begin{cases} 0 \\ \pi \end{cases}$$

Non siamo in configurazione singolare, quindi tale soluzione è ammissibile. Pertanto:

$$\begin{cases} c_\beta c_\gamma = c_{12} \\ c_\beta s_\gamma = s_{12} \end{cases} \rightarrow \begin{cases} \pm c_\gamma = c_{12} \rightarrow c_\gamma = \pm c_{12} \\ \pm s_\gamma = s_{12} \rightarrow s_\gamma = \pm s_{12} \end{cases} \rightarrow \gamma = \text{atan2}(\pm s_{12}, \pm c_{12}) = \begin{cases} q_1 + q_2 \\ q_1 + q_2 + \pi \end{cases}$$

$$\begin{cases} s_\alpha c_\beta = 0 \\ c_\alpha c_\beta = 1 \end{cases} \rightarrow \begin{cases} \pm s_\alpha = 0 \rightarrow s_\alpha = 0 \\ \pm c_\alpha = 1 \rightarrow c_\alpha = \pm 1 \end{cases} \rightarrow \alpha = \text{atan2}(0, \pm 1) = \begin{cases} 0 \\ \pi \end{cases}$$

Riassumendo:

$$\begin{pmatrix} 0 \\ 0 \\ q_1 + q_2 \end{pmatrix}, \begin{pmatrix} \pi \\ \pi \\ q_1 + q_2 + \pi \end{pmatrix}$$

```
(%i37) R(alpha,beta,gamma):=rodrigues(matrix([0],[0],[1]),gamma).
  rodrigues(matrix([0],[1],[0]),beta).rodrigues(matrix([1],[0],[0]),alpha)$
```



```
(%i17) orientInv(R):=block(
  [Rzxy, cx, sx, Phix, cy, sy, Phiy, cz, sz, Phiz],
  sy:-R[3][1],
  if(sy=1 or sy=-1) then error("Terna singolare, vincolo violato."),
  cy:sqrt(1-sy^2),
  Phiy:[atan2(sy,cy), atan2(sy,-cy)],
  print(phi[y], "=", Phiy),
  sx:[R[3][2]/cos(Phiy[1]), R[3][2]/cos(Phiy[2])],
  cx:[R[3][3]/cos(Phiy[1]), R[3][3]/cos(Phiy[2])],
  Phix:[atan2(sx[1],cx[1]),atan2(sx[1],cx[2])],
  print(phi[x], "=", Phix),
  cz:[R[1][1]/cos(Phiy[1]), R[1][1]/cos(Phiy[2])],
  sz:[R[2][1]/cos(Phiy[1]), R[2][1]/cos(Phiy[2])],
  Phiz:[atan2(sz[1],cz[1]),atan2(sz[2],cz[2])],
  print(phi[z], "=", Phiz),
  return([matrix([Phix[1]], [Phiy[1]], [Phiz[1]]),
          matrix([Phix[2]], [Phiy[2]], [Phiz[2]])])
)$
```

```
(%i40) T:scara(0, (%pi/2), 0,L[1],D[1],D[2])
```

$$(\%o40) \begin{pmatrix} 0 & -1 & 0 & D_1 \\ 1 & 0 & 0 & D_2 \\ 0 & 0 & 1 & L_1 \\ 0 & 0 & 0 & 1 \end{pmatrix}$$

```
(%i42) orientInv(submatrix(4,T,4))
```

$$\begin{aligned} \varphi_y &= [0, \pi] \\ \varphi_x &= [0, \pi] \\ \varphi_z &= \left[\frac{\pi}{2}, -\frac{\pi}{2} \right] \end{aligned}$$

$$(\%o42) \left[\begin{pmatrix} 0 \\ 0 \\ \frac{\pi}{2} \end{pmatrix}, \begin{pmatrix} \pi \\ \pi \\ -\frac{\pi}{2} \end{pmatrix} \right]$$

```
(%i43) R(0,0,%pi/2)
```

$$(\%o43) \begin{pmatrix} 0 & -1 & 0 \\ 1 & 0 & 0 \\ 0 & 0 & 1 \end{pmatrix}$$

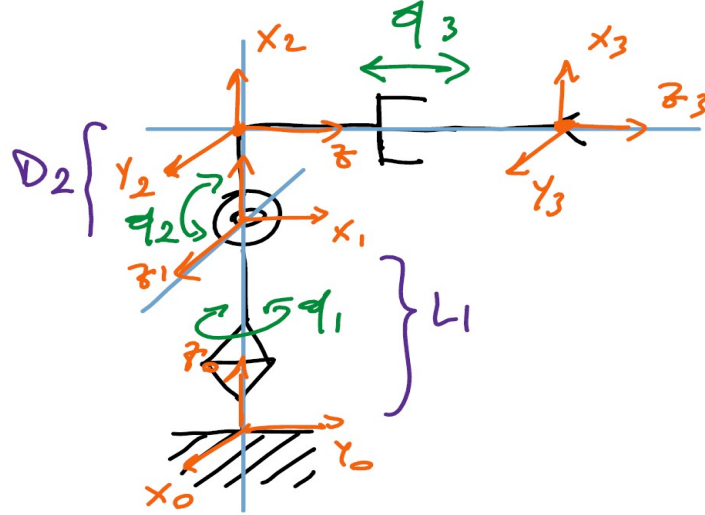
```
(%i44) R(%pi,%pi,-%pi/2)
```

$$(\%o44) \begin{pmatrix} 0 & -1 & 0 \\ 1 & 0 & 0 \\ 0 & 0 & 1 \end{pmatrix}$$

Robot Sferico (di primo tipo)

Il robot sferico di primo tipo è formato da due giunti rotoidali di tipo pivot e uno lineare trapezoidale. Il suo spazio di lavoro è formato dal luogo geometrico di punti di una sfera di raggio variabile, dipendente dalla variabile del giunto lineare.

L'algoritmo di Denavit-Hartenberg è applicato come in figura.



	θ	d	α	a
1	q_1	L_1	$\frac{\pi}{2}$	0
2	q_2	0	$\frac{\pi}{2}$	L_2
3	0	q_3	0	0

Tabella 1. D - H per Robot Sferico di Primo Tipo

```
(%i9) sferico(q1,q2,q3,L1,L2):=block(
    [Q01, Q12, Q23, Q03],
    Q01:Q(q1, L1, %pi/2, 0),
    Q12:Q(q2, 0, %pi/2, L2),
    Q23:Q(0, q3, 0, 0),
    Q03:Q01.Q12.Q23,
    return(Q03)
)$
(%i10) DH:sferico(q[1],q[2],q[3],L[1],L[2])$
(%i11) rdef(DH,q[1],q[2],q[3])
```

$$(\%o11) \begin{pmatrix} c_1 c_2 & s_1 & c_1 s_2 & c_1 s_2 q_3 + c_1 L_2 c_2 \\ s_1 c_2 & -c_1 & s_1 s_2 & s_1 s_2 q_3 + s_1 L_2 c_2 \\ s_2 & 0 & -c_2 & -c_2 q_3 + L_2 s_2 + L_1 \\ 0 & 0 & 0 & 1 \end{pmatrix}$$

Cinematica Inversa di Posizione:

Dalla cinematica diretta abbiamo che:

$$\begin{cases} x = c_1 s_2 q_3 + c_1 L_2 c_2 = c_1 (s_2 q_3 + L_2 c_2) \\ y = s_1 s_2 q_3 + s_1 L_2 c_2 = s_1 (s_2 q_3 + L_2 c_2) \\ z = -c_2 q_3 + L_2 s_2 + L_1 \end{cases}$$

Sommando i quadrati delle prime due equazioni, otteniamo:

$$x^2 + y^2 = (c_1^2 + s_1^2)(s_2 q_3 + L_2 c_2)^2 = (s_2 q_3 + L_2 c_2)^2$$

Possiamo allora scrivere il seguente sistema:

$$\begin{cases} c_2 q_3 - L_2 s_2 = L_1 - z \\ s_2 q_3 + L_2 c_2 = \pm \sqrt{x^2 + y^2} \end{cases} \rightarrow \begin{pmatrix} c_2 & -s_2 \\ s_2 & c_2 \end{pmatrix} \begin{pmatrix} q_3 \\ L_2 \end{pmatrix} = \begin{pmatrix} L_1 - z \\ \pm \sqrt{x^2 + y^2} \end{pmatrix}$$

Osserviamo che:

$$\begin{pmatrix} c_2 & -s_2 \\ s_2 & c_2 \end{pmatrix} = R(q_2)$$

Pertanto il prodotto a primo membro non altera la norma e possiamo uguagliarle:

$$q_3^2 + L_2^2 = (L_1 - z)^2 + x^2 + y^2$$

Questa equazione ci permette di definire lo spazio operativo: una sfera di raggio $r = \sqrt{q_3^2 + L_2^2}$, con centro in $\{0, 0, L_1\}$.

Nota 1. Poiché r dipende da q_3 nella realtà si ha una sfera cava, dovuta ai fine corsa del terzo giunto del robot:

$$r = \begin{cases} L_2 & q_3 = 0 \\ +\infty & q_3 = +\infty \\ \sqrt{q_3^2 + L_2^2} & \text{altrimenti} \end{cases}$$

Abbiamo una soluzione per q_3 :

$$q_3 = \pm \sqrt{(L_1 - z)^2 + x^2 + y^2 - L_2^2}$$

La condizione per la singolarità si ha per $q_3 = 0$, ovvero sul bordo interno della sfera cava, definita dall'equazione:

$$x^2 + y^2 + (L_1 - z)^2 = L_2^2$$

Se $q_3 \neq 0$, il suo valore è ora noto, così come quello del vettore $\begin{pmatrix} L_1 - z \\ \pm \sqrt{x^2 + y^2} \end{pmatrix}$.

Per semplicità sia:

$$\begin{aligned} A_1 &= q_3 & A_2 &= L_2 \\ B_1 &= L_1 - z & B_2 &= \sqrt{x^2 + y^2} \end{aligned}$$

Allora:

$$\begin{pmatrix} c_2 & -s_2 \\ s_2 & c_2 \end{pmatrix} \begin{pmatrix} A_1 \\ A_2 \end{pmatrix} = \begin{pmatrix} B_1 \\ B_2 \end{pmatrix} \rightarrow \begin{pmatrix} A_1 & -A_2 \\ A_2 & A_1 \end{pmatrix} \begin{pmatrix} c_2 \\ s_2 \end{pmatrix} = \begin{pmatrix} B_1 \\ B_2 \end{pmatrix}$$

Poiché la matrice A è costituita da elementi che si annullano solo in condizione singolare, tale matrice è sempre invertibile, il che ci permette di definire una soluzione per tale sistema:

$$\begin{pmatrix} c_2 \\ s_2 \end{pmatrix} = \frac{1}{A_1^2 + A_2^2} \begin{pmatrix} A_1 & A_2 \\ -A_2 & A_1 \end{pmatrix} \begin{pmatrix} B_1 \\ B_2 \end{pmatrix}$$

Poiché $\det(A) > 0$, possiamo semplificarlo nella soluzione di q_2 :

$$q_2 = \text{atan2}(-A_2 B_1 + A_1 B_2, A_1 B_1 + A_2 B_2)$$

Supponiamo ora $s_2 q_3 + L_2 c_2 \neq 0$. Se $x^2 + y^2 \neq 0$, possiamo trovare una soluzione per q_1 :

$$c_1 = \frac{x}{\sqrt{x^2 + y^2}}, s_1 = \frac{y}{\sqrt{x^2 + y^2}} \rightarrow q_1 = \text{atan2}(y, x) \quad \text{dove } \sqrt{x^2 + y^2} > 0$$

Riassumendo, abbiamo due soluzioni per un valore di q_3 fissato:

$$\begin{pmatrix} \text{atan2}(y, x) \\ \text{atan2}(-L_2(L_1 - z) + q_3 \sqrt{x^2 + y^2}, q_3(L_1 - z) + L_2 \sqrt{x^2 + y^2}) \\ \pm \sqrt{x^2 + y^2 + (L_1 - z)^2 - L_2^2} \end{pmatrix}$$

```
(%i43) posInv(x,y,z, L1, L2):=block(
  [q1, q2, q3, pdes, A1, A2, B1, B2],
  pdes:x^2+y^2,
  if(pdes+(L1-z)^2-L2^2<0 or pdes=0) then
    error("Spazio Operativo violato"),
  q3:trigsimp([sqrt(pdes+(L1-z)^2-L2^2),
    -sqrt(pdes+(L1-z)^2-L2^2)]),
  /*print(q[3],"=",trigsimp(q3)),*/
  A1:[q3[1],q3[2]],A2:L2,
  B1:L1-z, B2:sqrt(pdes),
  c2:[A1[1]*B1+A2*B2,A1[2]*B1+A2*B2],
  s2:[-A2*B1+A1[1]*B2,-A2*B1+A1[2]*B2],
  q2:[atan2(s2[1],c2[1]),atan2(s2[2],c2[2])],
  /*print(q[2],"=",trigsimp(q2)),*/
  c1:x,s1:y,
  q1:atan2(y,x),
  /*print(q[1],"=",trigsimp(q1)),*/
  return([matrix([q1],[q2[1]],[q3[1]]),matrix([q1],[q2[2]],[q3[2]])])
)$

(%i44) posInv(1,1,1,1,1)
```

$$(\%o44) \left[\begin{pmatrix} \frac{\pi}{4} \\ \frac{\pi}{4} \\ 1 \end{pmatrix}, \begin{pmatrix} \frac{\pi}{4} \\ -\frac{\pi}{4} \\ -1 \end{pmatrix} \right]$$

```
(%i45) T:sferico(%pi/4,%pi/4,1,1,1)
```

$$(\%o45) \begin{pmatrix} \frac{1}{2} & \frac{1}{\sqrt{2}} & \frac{1}{2} & 1 \\ \frac{1}{2} & -\frac{1}{\sqrt{2}} & \frac{1}{2} & 1 \\ \frac{1}{\sqrt{2}} & 0 & -\frac{1}{\sqrt{2}} & 1 \\ 0 & 0 & 0 & 1 \end{pmatrix}$$

Cinematica Inversa di Orientamento:

La soluzione della cinematica diretta potrebbe presentare una singolarità per la terna $\{z, y, x\}$:

$$R_{\{z,y,x\}}(\phi) = R_z(\gamma)R_y(\beta)R_x(\alpha) = \begin{pmatrix} c_\beta c_\gamma & s_\alpha s_\beta c_\gamma - c_\alpha s_\gamma & s_\alpha s_\gamma + c_\alpha s_\beta c_\gamma \\ c_\beta s_\gamma & s_\alpha s_\beta s_\gamma + c_\alpha c_\gamma & c_\alpha s_\beta s_\gamma - s_\alpha c_\gamma \\ -s_\beta & s_\alpha c_\beta & c_\alpha c_\beta \end{pmatrix}$$

La matrice di rotazione della cinematica diretta è:

$$R = \begin{pmatrix} c_1 c_2 & s_1 & c_1 s_2 \\ s_1 c_2 & -c_1 & s_1 s_2 \\ s_2 & 0 & -c_2 \end{pmatrix}$$

Se $-s_\beta = s_2 = \pm 1$ siamo in un caso singolare, ovvero $\beta = q_2 = \pm \frac{\pi}{2}$.

Supponiamo quindi $q_2 \neq \pm \frac{\pi}{2}$.

$$s_\beta = -s_2 \rightarrow c_\beta = \pm \sqrt{1 - s_\beta^2} = \pm \sqrt{1 - s_2^2} = \pm c_2 \rightarrow \beta = \text{atan2}(-s_2, \pm c_2) = \begin{cases} -q_2 \\ q_2 + \pi \end{cases}$$

Allora:

$$\begin{cases} c_\beta c_\gamma = c_1 c_2 \\ c_\beta s_\gamma = s_1 c_2 \end{cases} \rightarrow \begin{cases} \pm c_2 c_\gamma = c_1 c_2 \rightarrow c_\gamma = \pm c_1 \\ \pm c_2 s_\gamma = s_1 c_2 \rightarrow s_\gamma = \pm s_1 \end{cases} \rightarrow \gamma = \text{atan2}(\pm s_1, \pm c_1) = \begin{cases} q_1 \\ q_1 + \pi \end{cases}$$

$$\begin{cases} s_\alpha c_\beta = 0 \\ c_\alpha c_\beta = -c_2 \end{cases} \rightarrow \begin{cases} s_\alpha = 0 \\ \pm c_2 c_\alpha = -c_2 \rightarrow c_\alpha = \mp 1 \end{cases} \rightarrow \alpha = \text{atan2}(0, \mp 1) = \begin{cases} \pi \\ 0 \end{cases}$$

In condizione di non singolarità abbiamo quindi due soluzioni generali

$$\begin{pmatrix} \pi \\ -q_2 \\ q_1 \end{pmatrix}, \begin{pmatrix} 0 \\ q_2 + \pi \\ q_1 + \pi \end{pmatrix}$$

```
(%i47) R(alpha,beta,gamma):=rodrigues(matrix([0],[0],[1]),gamma).
      rodrigues(matrix([0],[1],[0]),beta).rodrigues(matrix([1],[0],[0]),alpha)$
(%i48) orientInv(R):=block(
  [cx, sx, Phix, cy, sy, Phiy, cz, sz, Phiz],
  sy:-R[3][1],
  if(sy=1 or sy=-1) then
    error("Condizione Singolare"),
  cy:sqrt(1-sy^2),
  Phiy:[atan2(sy,cy),atan2(sy,-cy)],
  /*print(phi[y], "=", Phiy),*/
  sx:[R[3][2]/cos(Phiy[1]), R[3][2]/cos(Phiy[2])],
  cx:[R[3][3]/cos(Phiy[1]), R[3][3]/cos(Phiy[2])],
  Phix:[atan2(sx[1],cx[1]),atan2(sx[2],cx[2])],
  /*print(phi[x], "=", Phix),*/
  cz:[R[1][1]/cos(Phiy[1]),R[1][1]/cos(Phiy[2])],
  sz:[R[2][1]/cos(Phiy[1]),R[2][1]/cos(Phiy[2])],
  Phiz:[atan2(sz[1],cz[1]),atan2(sz[2],cz[2])],
  /*print(phi[z], "=", Phiz),*/
  return(matrix([Phix[1]], [Phiy[1]], [Phiz[1]]),
    matrix([Phix[2]], [Phiy[2]], [Phiz[2]]))
)$
(%i49) R:=submatrix(4,T,4)
```

$$(\%o49) \begin{pmatrix} \frac{1}{2} & \frac{1}{\sqrt{2}} & \frac{1}{2} \\ \frac{1}{2} & -\frac{1}{\sqrt{2}} & \frac{1}{2} \\ \frac{1}{\sqrt{2}} & 0 & -\frac{1}{\sqrt{2}} \end{pmatrix}$$

```
(%i50) orientInv(R)
```

$$(\%o50) \left[\begin{pmatrix} \pi \\ -\frac{\pi}{4} \\ \frac{\pi}{4} \end{pmatrix}, \begin{pmatrix} 0 \\ -\frac{3\pi}{4} \\ -\frac{3\pi}{4} \end{pmatrix} \right]$$

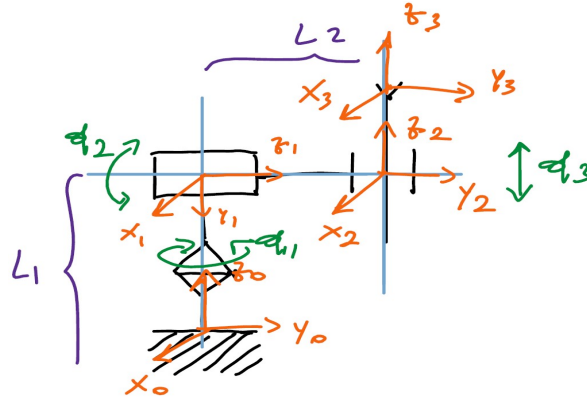
Verifica

```
(%i53) [R(%pi,-%pi/4,%pi/4),R(0,-3*%pi/4,-3*%pi/4)]
```

$$(\%o53) \left[\begin{pmatrix} \frac{1}{2} & \frac{1}{\sqrt{2}} & \frac{1}{2} \\ \frac{1}{2} & -\frac{1}{\sqrt{2}} & \frac{1}{2} \\ \frac{1}{\sqrt{2}} & 0 & -\frac{1}{\sqrt{2}} \end{pmatrix}, \begin{pmatrix} \frac{1}{2} & \frac{1}{\sqrt{2}} & \frac{1}{2} \\ \frac{1}{2} & -\frac{1}{\sqrt{2}} & \frac{1}{2} \\ \frac{1}{\sqrt{2}} & 0 & -\frac{1}{\sqrt{2}} \end{pmatrix} \right]$$

Robot Sferico - Stanford (di secondo tipo)

Il robot sferico di Stanford è formato da un giunto rotoidale pivot, uno rotoidale a cerniera e uno lineare trapezoidale. L'applicazione dell'algoritmo di Denavit-Hartenberg è illustrato in figura.



	θ	d	α	a
1	q_1	L_1	$-\frac{\pi}{2}$	0
2	q_2	L_2	$\frac{\pi}{2}$	0
3	0	q_3	0	0
3'	$-\frac{\pi}{2}$	q_3	0	0

Tabella 1. D - H per il Robot Sferico di Stanford a 3 DoF.

Procedura con le prime tre righe della tabella.

```
(%i9) stanford(q1,q2,q3,L1,L2):=block(
    [Q01, Q12, Q23, Q03],
    Q01:Q(q1, L1, -%pi/2, 0),
    Q12:Q(q2, L2, %pi/2, 0),
    Q23:Q(0, q3, 0, 0),
    Q03:Q01.Q12.Q23,
    return(Q03)
)$
```

Procedura con la riga 3', utile per il problema di cinematica inversa di orientamento

```
(%i10) stanford1(q1,q2,q3,L1,L2):=block(
    [Q01, Q12, Q23, Q03],
    Q01:Q(q1, L1, -%pi/2, 0),
    Q12:Q(q2, L2, %pi/2, 0),
    Q23:Q(-%pi/2, q3, 0, 0),
    Q03:Q01.Q12.Q23,
    return(Q03)
)$
(%i11) DH:stanford(q[1],q[2],q[3],L[1],L[2])$
(%i12) DH1:stanford1(q[1],q[2],q[3],L[1],L[2])$
(%i13) [ridef(DH,q[1],q[2],q[3]),ridef(DH1,q[1],q[2],q[3])]
```

$$(\%o13) \left[\begin{pmatrix} c_1 c_2 & -s_1 & c_1 s_2 & c_1 s_2 q_3 - s_1 L_2 \\ s_1 c_2 & c_1 & s_1 s_2 & s_1 s_2 q_3 + c_1 L_2 \\ -s_2 & 0 & c_2 & c_2 q_3 + L_1 \\ 0 & 0 & 0 & 1 \end{pmatrix}, \begin{pmatrix} s_1 & c_1 c_2 & c_1 s_2 & c_1 s_2 q_3 - s_1 L_2 \\ -c_1 & s_1 c_2 & s_1 s_2 & s_1 s_2 q_3 + c_1 L_2 \\ 0 & -s_2 & c_2 & c_2 q_3 + L_1 \\ 0 & 0 & 0 & 1 \end{pmatrix} \right]$$

Cinematica Inversa di Posizione:

Dalla cinematica diretta, la posizione dell'end-effector è:

$$\begin{cases} x = c_1 s_2 q_3 - s_1 L_2 \\ y = s_1 s_2 q_3 + c_1 L_2 \\ z = c_2 q_3 + L_1 \end{cases}$$

Dalle prime due equazioni, possiamo scrivere il seguente sistema:

$$\begin{pmatrix} x \\ y \end{pmatrix} = \begin{pmatrix} c_1 & -s_1 \\ s_1 & c_1 \end{pmatrix} \begin{pmatrix} q_3 s_2 \\ L_2 \end{pmatrix}$$

Osserviamo che:

$$\begin{pmatrix} c_1 & -s_1 \\ s_1 & c_1 \end{pmatrix} = R(q_1)$$

Moltiplicare per $R(q_1)$ non altera la norma, pertanto possiamo definire un nuovo sistema con il quadrato della terza equazione:

$$\begin{cases} x^2 + y^2 = q_3^2 s_2^2 + L_2^2 \\ z = q_3 c_2 + L_1 \end{cases} \rightarrow \begin{cases} x^2 + y^2 = q_3^2 s_2^2 + L_2^2 \\ (z - L_1)^2 = q_3^2 c_2^2 \end{cases}$$

Da cui:

$$x^2 + y^2 + (z - L_1)^2 = q_3^2 s_2^2 + q_3^2 c_2^2 + L_2^2 = q_3^2 (s_2^2 + c_2^2) + L_2^2 = q_3^2 + L_2^2$$

Abbiamo quindi l'equazione dello spazio operativo del robot:

$$x^2 + y^2 + (z - L_1)^2 = q_3^2 + L_2^2$$

Che corrisponde ad una sfera cava di raggio dipendente da q_3 pari a $r = \sqrt{q_3^2 + L_2^2}$ e centrata in $\{0, 0, L_1\}$. Valgono le stesse considerazioni del robot sferico di tipo 1.

La soluzione per q_3 è quindi:

$$q_3 = \pm \sqrt{x^2 + y^2 + (z - L_1)^2 - L_2^2}$$

Se $q_3 = 0$ siamo nel caso singolare, sul bordo della sfera interna, definita dall'equazione:

$$x^2 + y^2 + (z - L_1)^2 = L_2^2$$

Se $q_3 \neq 0$ il suo valore è noto e quindi:

$$c_2 = \frac{z - L_1}{\pm q_3}$$

$$s_2 = \pm \sqrt{\frac{x^2 + y^2 - L_2^2}{q_3^2}}$$

$$q_2 = \text{atan2} \left(\pm \sqrt{\frac{x^2 + y^2 - L_2^2}{q_3^2}}, \pm \frac{z - L_1}{q_3} \right)$$

Nota 1. Osserviamo che deve valere $x^2 + y^2 - L_2^2 \geq 0$, ovvero $x^2 + y^2 \geq L_2^2$.

In particolare se $x^2 + y^2 = L_2^2$, abbiamo un cilindro cavo che limita lo spazio operativo del robot.

Per q_2 noto, possiamo esprimere le prime due equazioni sottoforma di prodotto di matrici:

$$\begin{pmatrix} x \\ y \end{pmatrix} = \begin{pmatrix} q_3 s_2 & -L_2 \\ L_2 & q_3 s_2 \end{pmatrix} \begin{pmatrix} c_1 \\ s_1 \end{pmatrix}$$

Poiché $\begin{pmatrix} q_3 s_2 & -L_2 \\ L_2 & q_3 s_2 \end{pmatrix} \neq 0$ sempre in condizione di non singolarità:

$$\begin{pmatrix} c_1 \\ s_1 \end{pmatrix} = \frac{1}{q_3^2 s_2^2 + L_2^2} \begin{pmatrix} q_3 s_2 & L_2 \\ -L_2 & q_3 s_2 \end{pmatrix} \begin{pmatrix} x \\ y \end{pmatrix}$$

Osservando che $q_3^2 s_2^2 + L_2^2 > 0$, allora:

$$c_1 = q_3 s_2 x + L_2 y, s_1 = -L_2 x + q_3 s_2 y \rightarrow q_1 = \text{atan2}(-L_2 x + q_3 s_2 y, q_3 s_2 x + L_2 y)$$

Riassumendo:

$$\begin{pmatrix} \text{atan2}(-L_2 x + q_3 s_2 y, q_3 s_2 x + L_2 y) \\ \text{atan2}\left(\pm \sqrt{\frac{x^2 + y^2 - L_2^2}{q_3^2}}, \pm \frac{z - L_1}{q_3}\right) \\ \pm \sqrt{x^2 + y^2 + (z - L_1)^2 - L_2^2} \end{pmatrix}$$

```
(%i14) posInv(x,y,z, L1, L2):=block(
  [q1, c2, s2, q2, q3, pdes, det],
  pdes:trigsimp(x^2+y^2),
  if(pdes+(z-L1)^2-L2^2<0 or pdes=0 or pdes<L2^2) then
    error("Spazio Operativo violato"),
  q3:sqrt(pdes+(z-L1)^2-L2^2),
  q3:[q3,-q3],
  /*print(q[3], "=", q3),*/
  c2: [(z-L1)/q3[1], (z-L1)/q3[2]],
  s2:sqrt((pdes-L2^2)/q3[1]^2),
  s2:[s2,-s2],
  q2:[atan2(s2[1],c2[1]),atan2(s2[2],c2[2])],
  /*print(q[2], "=", q2),*/
  c1:[q3[1]*s2[1]*x+L2*y,q3[2]*s2[2]*x+L2*y],
  s1:[-L2*x+q3[1]*s2[1]*y,-L2*x+q3[2]*s2[2]*y],
  q1:[atan2(s1[1],c1[1]),atan2(s1[2],c1[2])],
  /*print(q[1], "=", q1),*/
  return([matrix([q1[1]], [q2[1]], [q3[1]]),
    matrix([q1[2]], [q2[2]], [q3[2]])])
)$
```

```
(%i15) posInv(10,5,5,10,5)
```

$$(\%o15) \left[\begin{pmatrix} 0 \\ \pi - \arctan(2) \\ 5^{\frac{3}{2}} \end{pmatrix}, \begin{pmatrix} 0 \\ -\arctan(2) \\ -5^{\frac{3}{2}} \end{pmatrix} \right]$$

```
(%i16) T:stanford1(0,%pi-atan(2),sqrt(5)^3,10,5)
```

$$(\%o16) \begin{pmatrix} 0 & -\frac{1}{\sqrt{5}} & \frac{2}{\sqrt{5}} & 10 \\ -1 & 0 & 0 & 5 \\ 0 & -\frac{2}{\sqrt{5}} & -\frac{1}{\sqrt{5}} & 5 \\ 0 & 0 & 0 & 1 \end{pmatrix}$$

Cinematica inversa di Orientamento.

Dalla cinematica diretta osserviamo che la notazione $\{z, y, x\}$ è sempre non singolare nel caso in cui si usa la soluzione con la riga 3'. Pertanto usiamo questa terna:

$$R_{\{z,y,x\}}(\phi) = R_z(\gamma)R_y(\beta)R_x(\alpha) = \begin{pmatrix} c_\beta c_\gamma & s_\alpha s_\beta c_\gamma - c_\alpha s_\gamma & s_\alpha s_\gamma + c_\alpha s_\beta c_\gamma \\ c_\beta s_\gamma & s_\alpha s_\beta s_\gamma + c_\alpha c_\gamma & c_\alpha s_\beta s_\gamma - s_\alpha c_\gamma \\ -s_\beta & s_\alpha c_\beta & c_\alpha c_\beta \end{pmatrix}$$

Dalla cinematica diretta vediamo che la matrice di rotazione è:

$$R = \begin{pmatrix} s_1 & c_1 c_2 & c_1 s_2 \\ -c_1 & s_1 c_2 & s_1 s_2 \\ 0 & -s_2 & c_2 \end{pmatrix}$$

Allora:

$$-s_\beta = 0 \neq \pm 1 \rightarrow c_\beta = \pm \sqrt{1 - s_\beta^2} = \pm 1 \rightarrow \beta = \text{atan2}(0, \pm 1) = \begin{cases} 0 \\ \pi \end{cases}$$

Da cui:

$$\begin{aligned} & \begin{cases} c_\beta c_\gamma = s_1 \\ c_\beta s_\gamma = -c_1 \end{cases} \rightarrow \begin{cases} \pm c_\gamma = s_1 \rightarrow c_\gamma = \pm s_1 \\ \pm s_\gamma = -c_1 \rightarrow s_\gamma = \mp c_1 \end{cases} \\ & \gamma = \text{atan2}(\mp c_1, \pm s_1) = \text{atan2}\left(\mp \sin\left(q_1 + \frac{\pi}{2}\right), \mp \cos\left(q_1 + \frac{\pi}{2}\right)\right) = \begin{cases} q_1 + \frac{3\pi}{2} \\ q_1 + \frac{\pi}{2} \end{cases} \\ & \begin{cases} s_\alpha c_\beta = -s_2 \\ c_\alpha c_\beta = c_2 \end{cases} \rightarrow \begin{cases} \pm s_\alpha = -s_2 \rightarrow s_\alpha = \mp s_2 \\ \pm c_\alpha = c_2 \rightarrow c_\alpha = \pm c_2 \end{cases} \rightarrow \alpha = \text{atan2}(\mp s_2, \pm c_2) = \begin{cases} -q_2 \\ \pi - q_2 \end{cases} \end{aligned}$$

Riassumendo:

$$\begin{pmatrix} -q_2 \\ 0 \\ q_1 + \frac{3\pi}{2} \end{pmatrix}, \begin{pmatrix} \pi - q_2 \\ \pi \\ q_1 + \frac{\pi}{2} \end{pmatrix}$$

```
(%i17) R(alpha,beta,gamma):=rodrigues(matrix([0],[0],[1]),gamma).
      rodrigues(matrix([0],[1],[0]),beta).rodrigues(matrix([1],[0],[0]),alpha)$
```

```
(%i18) orientInv(R):=block(
  [cx, sx, Phix, cy, sy, Phiy, cz, sz, Phiz],
  sy:R[3][1],
  cy:sqrt(1-sy^2),
  Phiy:[atan2(sy,cy), atan2(sy, -cy)],
  /*print(phi[y], "=", Phiy),*/
  sx:[R[3][2]/cos(Phiy[1]),R[3][2]/cos(Phiy[2])],
  cx:[R[3][3]/cos(Phiy[1]),R[3][3]/cos(Phiy[2])],
  Phix:[atan2(sx[1],cx[1]),atan2(sx[2],cx[2])],
  /*print(phi[x], "=", Phix),*/
  sz:[R[2][1]/cos(Phiy[1]),R[2][1]/cos(Phiy[2])],
  cz:[R[1][1]/cos(Phiy[1]),R[1][1]/cos(Phiy[2])],
  Phiz:[atan2(sz[1],cz[1]),atan2(sz[2],cz[2])],
  /*print(phi[z], "=", Phiz),*/
  return([matrix([Phix[1]],[Phiy[1]],[Phiz[1]]),
          matrix([Phix[2]],[Phiy[2]],[Phiz[2]])])
)$
```

```
(%i19) R:=submatrix(4,T,4)
```

$$(\%o19) \begin{pmatrix} 0 & -\frac{1}{\sqrt{5}} & \frac{2}{\sqrt{5}} \\ -1 & 0 & 0 \\ 0 & -\frac{2}{\sqrt{5}} & -\frac{1}{\sqrt{5}} \end{pmatrix}$$

```
(%i20) orientInv(R)
```

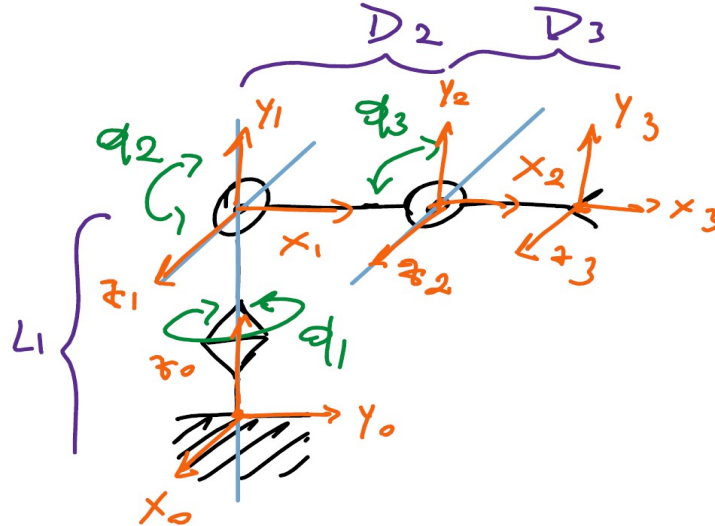
$$(\%o20) \left[\begin{pmatrix} \arctan(2) - \pi \\ 0 \\ -\frac{\pi}{2} \end{pmatrix}, \begin{pmatrix} \arctan(2) \\ \pi \\ \frac{\pi}{2} \end{pmatrix} \right]$$

```
(%i21) [R(atan(2)-%pi,0,-%pi/2),R(atan(2),%pi,%pi/2)]
```

$$(\%o21) \left[\begin{pmatrix} 0 & -\frac{1}{\sqrt{5}} & \frac{2}{\sqrt{5}} \\ -1 & 0 & 0 \\ 0 & -\frac{2}{\sqrt{5}} & -\frac{1}{\sqrt{5}} \end{pmatrix}, \begin{pmatrix} 0 & -\frac{1}{\sqrt{5}} & \frac{2}{\sqrt{5}} \\ -1 & 0 & 0 \\ 0 & -\frac{2}{\sqrt{5}} & -\frac{1}{\sqrt{5}} \end{pmatrix} \right]$$

Robot Antropomorfo

Il robot antropomorfo è formato da tre giunti di tipo rotoidali. Il vantaggio del robot antropomorfo è quello di riprodurre movimenti simili a quelli di un braccio umano. L'applicazione dell'algoritmo di Denavit-Hartenberg è illustrata in figura.



	θ	d	α	a
1	q_1	L_1	$\frac{\pi}{2}$	0
2	q_2	0	0	D_2
3	q_3	0	0	D_3

Tabella 1. D - H per Robot Antropomorfo

```
(%i9) antropomorfo(q1,q2,q3,L1,D2,D3):=block(
  [Q01, Q12, Q23, Q03],
  Q01:Q(q1,L1,%pi/2,0),
  Q12:Q(q2,0,0,D2),
  Q23:Q(q3,0,0,D3),
  Q03:Q01.trigreduce(Q12.Q23),
  return(Q03)
)$

(%i10) DH:antropomorfo(q[1],q[2],q[3],L[1],D[2],D[3])$
(%i11) ridef(DH, q[1],q[2],q[3])
```

$$(\%o11) \begin{pmatrix} c_1 c_{23} & -c_1 s_{23} & s_1 & c_1 D_3 c_{23} + c_1 D_2 c_2 \\ s_1 c_{23} & -s_1 s_{23} & -c_1 & s_1 D_3 c_{23} + s_1 D_2 c_2 \\ s_{23} & c_{23} & 0 & D_3 s_{23} + D_2 s_2 + L_1 \\ 0 & 0 & 0 & 1 \end{pmatrix}$$

Cinematica Inversa di Posizione:

Date tre coordinate $\{x, y, z\}$, determinare le variabili di giunto necessarie a raggiungere quella posizione.

Dalla cinematica diretta abbiamo che:

$$\begin{cases} x = c_1 D_3 c_{23} + c_1 D_2 c_2 \\ y = s_1 D_3 c_{23} + s_1 D_2 c_2 \\ z = D_3 s_{23} + D_2 s_2 + L_1 \end{cases}$$

Dalle prime due equazioni:

$$\begin{cases} x = c_1(D_3 c_{23} + D_2 c_2) \\ y = s_1(D_3 c_{23} + D_2 c_2) \end{cases}$$

Sommando i quadrati, otteniamo:

$$x^2 + y^2 = (c_1^2 + s_1^2)(D_3 c_{23} + D_2 c_2)^2 = (D_3 c_{23} + D_2 c_2)^2$$

$$D_3 c_{23} + D_2 c_2 = \pm \sqrt{x^2 + y^2}$$

Mettendo insieme alla terza equazione:

$$\begin{cases} D_3 c_{23} + D_2 c_2 = \pm \sqrt{x^2 + y^2} \\ D_3 s_{23} + D_2 s_2 = z - L_1 \end{cases}$$

Possiamo riscrivere sottoforma di prodotto matriciale:

$$\begin{pmatrix} c_{23} & -s_{23} \\ s_{23} & c_{23} \end{pmatrix} \begin{pmatrix} D_3 \\ 0 \end{pmatrix} + \begin{pmatrix} c_2 & -s_2 \\ s_2 & c_2 \end{pmatrix} \begin{pmatrix} D_2 \\ 0 \end{pmatrix} = \begin{pmatrix} \pm \sqrt{x^2 + y^2} \\ z - L_1 \end{pmatrix}$$

Scomponendo la matrice R_{23} , possiamo raccogliere in q_2 ed ottenere:

$$R(q_2) \left\{ R(q_3) \begin{pmatrix} D_3 \\ 0 \end{pmatrix} + \begin{pmatrix} D_2 \\ 0 \end{pmatrix} \right\} = \begin{pmatrix} \pm \sqrt{x^2 + y^2} \\ z - L_1 \end{pmatrix}$$

Poiché $R(q_2)$ è di rotazione, il prodotto per questa non altera la norma, pertanto:

$$\begin{aligned} & ((D_3 \ 0) R(q_3)^T + (D_2 \ 0)) \left(R(q_3) \begin{pmatrix} D_3 \\ 0 \end{pmatrix} + \begin{pmatrix} D_2 \\ 0 \end{pmatrix} \right) \\ &= (D_3 \ 0) R(q_3)^T R(q_3) \begin{pmatrix} D_3 \\ 0 \end{pmatrix} + (D_2 \ 0) \begin{pmatrix} D_2 \\ 0 \end{pmatrix} + 2(D_2 \ 0) R(q_3) \begin{pmatrix} D_3 \\ 0 \end{pmatrix} = \\ &= D_3^2 + D_2^2 + 2D_2 D_3 c_3 = x^2 + y^2 + (z - L_1)^2 \end{aligned}$$

Da cui:

$$c_3 = \frac{x^2 + y^2 + (z - L_1)^2 - D_3^2 - D_2^2}{2D_2 D_3}$$

Poiché $-1 \leq c_3 \leq 1$, abbiamo la condizione:

$$-1 \leq \frac{x^2 + y^2 + (z - L_1)^2 - D_3^2 - D_2^2}{2D_2 D_3} \leq 1$$

$$D_3^2 + D_2^2 - 2D_2 D_3 \leq x^2 + y^2 + (z - L_1)^2 \leq D_3^2 + D_2^2 + 2D_2 D_3$$

$$(D_3 - D_2)^2 \leq x^2 + y^2 + (z - L_1)^2 \leq (D_3 + D_2)^2$$

Lo spazio operativo del robot è quindi una sfera cava centrata in $\{0, 0, L_1\}$, di raggio

$$|D_3 - D_2| \leq r \leq D_3 + D_2$$

In condizione singolare, il robot si trova vicino ai bordi delle sfere che definiscono lo spazio operativo.

Se siamo in condizione di non singolarità:

$$s_3 = \pm \sqrt{1 - c_3^2} \rightarrow q_3 = \text{atan2}(\pm s_3, c_3)$$

Se ora q_3 è noto, anche $R(q_3)$ è nota. Riscriviamo il prodotto matriciale precedente:

$$\begin{pmatrix} c_2 & -s_2 \\ s_2 & c_2 \end{pmatrix} \begin{pmatrix} c_3 D_3 + D_2 \\ s_3 D_3 \end{pmatrix} = \begin{pmatrix} \pm \sqrt{x^2 + y^2} \\ z - L_1 \end{pmatrix}$$

$$\begin{pmatrix} c_3 D_3 + D_2 & -s_3 D_3 \\ s_3 D_3 & c_3 D_3 + D_2 \end{pmatrix} \begin{pmatrix} c_2 \\ s_2 \end{pmatrix} = \begin{pmatrix} \pm \sqrt{x^2 + y^2} \\ z - L_1 \end{pmatrix}$$

Definiamo anche le seguenti sostituzioni:

$$\begin{aligned} A_1 &= c_3 D_3 + D_2 & A_2 &= s_3 D_3 \\ B_1 &= \sqrt{x^2 + y^2} & B_2 &= z - L_1 \end{aligned}$$

Quindi:

$$\begin{pmatrix} A_1 & -A_2 \\ A_2 & A_1 \end{pmatrix} \begin{pmatrix} c_2 \\ s_2 \end{pmatrix} = \begin{pmatrix} \pm B_1 \\ B_2 \end{pmatrix}$$

In condizioni di non singolarità, la matrice A ha sempre determinante diverso da zero (in particolare è sempre maggiore di zero), pertanto è invertibile e il sistema ha soluzione in quanto A è invertibile:

$$\begin{pmatrix} c_2 \\ s_2 \end{pmatrix} = \frac{1}{A_1^2 + A_2^2} \begin{pmatrix} A_1 & A_2 \\ -A_2 & A_1 \end{pmatrix} \begin{pmatrix} \pm B_1 \\ B_2 \end{pmatrix}$$

Allora possiamo dare una soluzione per q_2 :

$$q_2 = \text{atan2}(\pm A_2 B_1 + A_1 B_2, \pm A_1 B_1 + A_2 B_2)$$

Riprendendo le prime due equazioni, abbiamo:

$$\begin{cases} x = c_1 (D_3 c_{23} + D_2 c_2) \\ y = s_1 (D_3 c_{23} + D_2 c_2) \end{cases}$$

Se ora sia q_2 che q_3 sono note, $(D_3 c_{23} + D_2 c_2)$ è noto. Pertanto:

$$c_1 = \frac{x}{(D_3 c_{23} + D_2 c_2)}$$

$$s_1 = \frac{y}{(D_3 c_{23} + D_2 c_2)}$$

$$q_1 = \text{atan2}(s_1, c_1)$$

Riassumendo, notiamo che abbiamo due coppie di soluzioni per un q_3 fissato, dovute alla variazione di segno in q_2 .

$$\begin{pmatrix} \text{atan2}\left(\frac{y}{(D_3 c_{23} + D_2 c_2)}, \frac{x}{(D_3 c_{23} + D_2 c_2)}\right) \\ \text{atan2}\left(\pm s_3 D_3 \sqrt{x^2 + y^2} + (c_3 D_3 + D_2)(z - L_1), \pm (c_3 D_3 + D_2) \sqrt{x^2 + y^2} + s_3 D_3 (z - L_1)\right) \\ \text{atan2}\left(\sqrt{1 - \left(\frac{x^2 + y^2 + (z - L_1)^2 - D_3^2 - D_2^2}{2D_2 D_3}\right)^2}, \frac{x^2 + y^2 + (z - L_1)^2 - D_3^2 - D_2^2}{2D_2 D_3}\right) \end{pmatrix}$$

$$\begin{pmatrix} \text{atan2}\left(\frac{y}{(D_3 c_{23} + D_2 c_2)}, \frac{x}{(D_3 c_{23} + D_2 c_2)}\right) \\ \text{atan2}\left(\pm s_3 D_3 \sqrt{x^2 + y^2} + (c_3 D_3 + D_2)(z - L_1), \pm (c_3 D_3 + D_2) \sqrt{x^2 + y^2} + s_3 D_3 (z - L_1)\right) \\ \text{atan2}\left(-\sqrt{1 - \left(\frac{x^2 + y^2 + (z - L_1)^2 - D_3^2 - D_2^2}{2D_2 D_3}\right)^2}, \frac{x^2 + y^2 + (z - L_1)^2 - D_3^2 - D_2^2}{2D_2 D_3}\right) \end{pmatrix}$$

```
(%i12) posInv(x,y,z,L1,D2,D3):=block(
  [c1, s1, c2, s2, c3, s3, pdes, cond, q1, q2, q3, A,B,C,D, tn],
  pdes:x^2+y^2,
  cond:pdes+(z-L1)^2,
  if(cond>(D2+D3)^2 or cond<(D2-D3)^2 or (x=0 and y=0)) then
    error("Spazio Operativo Violato"),
  c3:(cond-D3^2-D2^2)/(2*D2*D3),
  s3:sqrt(1-c3^2),
  q3:[atan2(s3,c3),atan2(-s3,c3)],
  A:[sqrt(pdes),-sqrt(pdes)],B:z-L1,
  C:[cos(q3[1])*D3+D2,cos(q3[2])*D3+D2],
  D:[sin(q3[1])*D3,sin(q3[2])*D3], det:[C[1]^2+D[1]^2,
  C[2]^2+D[2]^2],
  c2:[(C[1]*A[1]+D[1]*B)/det[1],(C[1]*A[2]+D[1]*B)/det[1],
  (C[2]*A[1]+D[2]*B)/det[2],(C[2]*A[2]+D[2]*B)/det[2]],
  s2:[(-D[1]*A[1]+C[1]*B)/det[1],(-D[1]*A[2]+C[1]*B)/det[1],
  (-D[2]*A[1]+C[2]*B)/det[2],(-D[2]*A[2]+C[2]*B)/det[2]],
  q2:[atan2(s2[1],c2[1]),atan2(s2[2],c2[2]),
  atan2(s2[3],c2[3]),atan2(s2[4],c2[4])],
  tn:[D3*cos(q3[1]+q2[1])+D2*cos(q2[1]),
  D3*cos(q3[1]+q2[2])+D2*cos(q2[2]),
  D3*cos(q3[2]+q2[3])+D2*cos(q2[3]),
  D3*cos(q3[2]+q2[4])+D2*cos(q2[4])],
  c1:[x/tn[1],x/tn[2],x/tn[3],x/tn[4]],
  s1:[y/tn[1],y/tn[2],y/tn[3],y/tn[4]],
  q1:[atan2(s1[1],c1[1]),atan2(s1[2],c1[2]),
  atan2(s1[3],c1[3]),atan2(s1[4],c1[4])],
  M:append([matrix([q1[1]], [q2[1]], [q3[1]]),
  matrix([q1[2]], [q2[2]], [q3[1]]),
  matrix([q1[3]], [q2[3]], [q3[2]]),
  matrix([q1[4]], [q2[4]], [q3[2]])]),
  return(M)
)$
```

Output soppresso per leggibilità.

```
(%i13) posInv(x,y,z,L[1],D[2],D[3])$
```

```
(%i14) sol:posInv(1,1,1,1,1,1)
```

$$(\%o14) \left[\begin{pmatrix} \frac{\pi}{4} \\ -\frac{\pi}{4} \\ \frac{\pi}{2} \end{pmatrix}, \begin{pmatrix} -\frac{3\pi}{4} \\ \frac{3\pi}{4} \\ \frac{\pi}{2} \end{pmatrix}, \begin{pmatrix} \frac{\pi}{4} \\ \frac{\pi}{4} \\ -\frac{\pi}{2} \end{pmatrix}, \begin{pmatrix} -\frac{3\pi}{4} \\ -\frac{3\pi}{4} \\ -\frac{\pi}{2} \end{pmatrix} \right]$$

Ottengo 4 soluzioni, raggruppate a due a due per un q_3 fissato.

```
(%i15) testPos(sol,L1,D2,D3):=block([t],
  for i:1 thru length(sol) do(
    t:antropomorfo(sol[i][1][1],sol[i][2][1],sol[i][3][1],L1,D2,D3),
    print("sol",[i],"= ",transpose(sol[i]),"->",t)
  )
)$
```

```
(%i16) testPos(sol,1,1,1)
```

$$\begin{aligned} \text{sol [1]} &= \begin{pmatrix} \frac{\pi}{4} & -\frac{\pi}{4} & \frac{\pi}{2} \end{pmatrix} \rightarrow \begin{pmatrix} \frac{1}{2} & -\frac{1}{2} & \frac{1}{\sqrt{2}} & 1 \\ \frac{1}{2} & -\frac{1}{2} & -\frac{1}{\sqrt{2}} & 1 \\ \frac{1}{\sqrt{2}} & \frac{1}{\sqrt{2}} & 0 & 1 \\ 0 & 0 & 0 & 1 \end{pmatrix} \\ \text{sol [2]} &= \begin{pmatrix} -\frac{3\pi}{4} & \frac{3\pi}{4} & \frac{\pi}{2} \end{pmatrix} \rightarrow \begin{pmatrix} \frac{1}{2} & -\frac{1}{2} & -\frac{1}{\sqrt{2}} & 1 \\ \frac{1}{2} & -\frac{1}{2} & \frac{1}{\sqrt{2}} & 1 \\ -\frac{1}{\sqrt{2}} & -\frac{1}{\sqrt{2}} & 0 & 1 \\ 0 & 0 & 0 & 1 \end{pmatrix} \\ \text{sol [3]} &= \begin{pmatrix} \frac{\pi}{4} & \frac{\pi}{4} & -\frac{\pi}{2} \end{pmatrix} \rightarrow \begin{pmatrix} \frac{1}{2} & \frac{1}{2} & \frac{1}{\sqrt{2}} & 1 \\ \frac{1}{2} & \frac{1}{2} & -\frac{1}{\sqrt{2}} & 1 \\ -\frac{1}{\sqrt{2}} & \frac{1}{\sqrt{2}} & 0 & 1 \\ 0 & 0 & 0 & 1 \end{pmatrix} \\ \text{sol [4]} &= \begin{pmatrix} -\frac{3\pi}{4} & -\frac{3\pi}{4} & -\frac{\pi}{2} \end{pmatrix} \rightarrow \begin{pmatrix} \frac{1}{2} & \frac{1}{2} & -\frac{1}{\sqrt{2}} & 1 \\ \frac{1}{2} & \frac{1}{2} & \frac{1}{\sqrt{2}} & 1 \\ \frac{1}{\sqrt{2}} & -\frac{1}{\sqrt{2}} & 0 & 1 \\ 0 & 0 & 0 & 1 \end{pmatrix} \end{aligned}$$

```
(%o16) done
```

Cinematica inversa di orientamento:

La soluzione della cinematica diretta potrebbe presentare una singolarità per la terna $\{z, y, x\}$:

$$R_{\{z,y,x\}}(\phi) = R_z(\gamma)R_y(\beta)R_x(\alpha) = \begin{pmatrix} c_\beta c_\gamma & s_\alpha s_\beta c_\gamma - c_\alpha s_\gamma & s_\alpha s_\gamma + c_\alpha s_\beta c_\gamma \\ c_\beta s_\gamma & s_\alpha s_\beta s_\gamma + c_\alpha c_\gamma & c_\alpha s_\beta s_\gamma - s_\alpha c_\gamma \\ -s_\beta & s_\alpha c_\beta & c_\alpha c_\beta \end{pmatrix}$$

Dalla cinematica diretta, la matrice di rotazione vale:

$$R = \begin{pmatrix} c_1 c_{23} & -c_1 s_{23} & s_1 \\ s_1 c_{23} & -s_1 s_{23} & -c_1 \\ s_{23} & c_{23} & 0 \end{pmatrix}$$

La terna $\{z, y, x\}$ non è singolare se il termine $s_{23} = \sin(q_2 + q_3) \neq \pm 1$.
Supponiamo di non essere in condizioni di singolarità.

$$-s_\beta = s_{23} \rightarrow s_\beta = -s_{23} \rightarrow c_\beta = \pm \sqrt{1 - s_\beta^2} = \pm \sqrt{1 - s_{23}^2} = \pm c_{23}$$

$$\beta = \text{atan2}(-s_{23}, \pm c_{23}) = \begin{cases} -(q_2 + q_3) \\ \pi + q_2 + q_3 \end{cases}$$

$$\begin{cases} c_\beta c_\gamma = c_1 c_{23} \\ c_\beta s_\gamma = s_1 c_{23} \end{cases} \rightarrow \begin{cases} \pm c_{23} c_\gamma = c_1 c_{23} \rightarrow c_\gamma = \pm c_1 \\ \pm c_{23} s_\gamma = s_1 c_{23} \rightarrow s_\gamma = \pm s_1 \end{cases} \rightarrow \gamma = \text{atan2}(\pm s_1, \pm c_1) = \begin{cases} q_1 \\ q_1 + \pi \end{cases}$$

$$\begin{cases} s_\alpha c_\beta = c_{23} \\ c_\alpha c_\beta = 0 \end{cases} \rightarrow \begin{cases} \pm c_{23} s_\alpha = c_{23} \rightarrow s_\alpha = \pm 1 \\ \pm c_{23} c_\alpha = 0 \rightarrow c_\alpha = 0 \end{cases} \rightarrow \alpha = \text{atan2}(\pm 1, 0) = \begin{cases} \frac{\pi}{2} \\ -\frac{\pi}{2} \end{cases}$$

Riassumendo:

$$\begin{pmatrix} \frac{\pi}{2} \\ -(q_2 + q_3) \\ q_1 \end{pmatrix}, \begin{pmatrix} -\frac{\pi}{2} \\ \pi + q_2 + q_3 \\ q_1 + \pi \end{pmatrix}$$

```
(%i17) R(alpha,beta,gamma):=block([R],
  R:rodrigues(matrix([0],[0],[1]),gamma).
  rodrigues(matrix([0],[1],[0]),beta).rodrigues(matrix([1],[0],[0]),
  alpha),return(R)
)$

(%i18) orientInv(R):=block(
  [cx, sx, cy, sy, cz, sz, Phix, Phiy, Phiz],
  sy:-R[3][1],
  if(sy=1 or sy=-1) then
    error("La configurazione data è singolare"),
  cy:trigsimp(sqrt(1-sy^2)),
  Phiy:[atan2(sy,cy),atan2(sy,-cy)],
  /*print(phi[y],"=",Phiy),*/
  sx:[R[3][2]/cy,-R[3][2]/cy],
  cx:R[3][3],
  Phix:[atan2(sx[1],cx),atan2(sx[2],cx)],
  /*print(phi[x],"=",Phix),*/
  cz:[R[1][1]/cy,-R[1][1]/cy],
  sz:[R[2][1]/cy,-R[2][1]/cy],
  Phiz:[atan2(sz[1],cz[1]),atan2(sz[2],cz[2])],
  /*print(phi[z],"=",Phiz),*/
  return([matrix([Phix[1]],[Phiy[1]],[Phiz[1]]),
    matrix([Phix[2]],[Phiy[2]],[Phiz[2]])])
)$

(%i19) R:submatrix(4,antropomorfo((%pi/4), -(%pi/4), (%pi/2),1,1,1),4)
```


$$(\%o19) \begin{pmatrix} \frac{1}{2} & -\frac{1}{2} & \frac{1}{\sqrt{2}} \\ \frac{1}{2} & -\frac{1}{2} & -\frac{1}{\sqrt{2}} \\ \frac{1}{\sqrt{2}} & \frac{1}{\sqrt{2}} & 0 \end{pmatrix}$$

(%i20) orientInv(R)

$$(\%o20) \left[\begin{pmatrix} \frac{\pi}{2} \\ -\frac{\pi}{4} \\ \frac{\pi}{4} \end{pmatrix}, \begin{pmatrix} -\frac{\pi}{2} \\ -\frac{3\pi}{4} \\ -\frac{3\pi}{4} \end{pmatrix} \right]$$

(%i21) [R(%pi/2,-%pi/4,%pi/4),R(-%pi/2,-3*%pi/4,-3*%pi/4)]

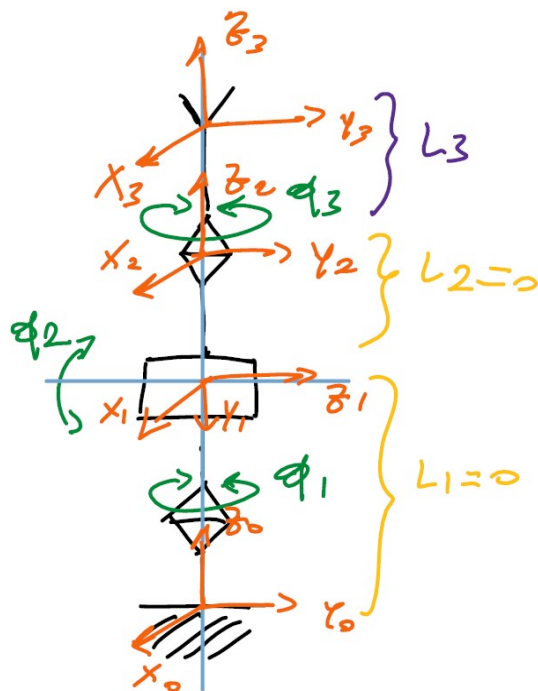
$$(\%o21) \left[\begin{pmatrix} \frac{1}{2} & -\frac{1}{2} & \frac{1}{\sqrt{2}} \\ \frac{1}{2} & -\frac{1}{2} & -\frac{1}{\sqrt{2}} \\ \frac{1}{\sqrt{2}} & \frac{1}{\sqrt{2}} & 0 \end{pmatrix}, \begin{pmatrix} \frac{1}{2} & -\frac{1}{2} & \frac{1}{\sqrt{2}} \\ \frac{1}{2} & -\frac{1}{2} & -\frac{1}{\sqrt{2}} \\ \frac{1}{\sqrt{2}} & \frac{1}{\sqrt{2}} & 0 \end{pmatrix} \right]$$

(%i22)

Polso Sferico

E' l'effettivo attuatore in grado di orientare l'end-effector. E' formato da tre giunti di tipo rotoidale, il primo e l'ultimo di tipo pivot, il secondo a cerniera.

L'algoritmo di Denavit-Hartenberg è applicato come in figura.



	θ	d	α	a
1	q_1	0	$-\frac{\pi}{2}$	0
2	q_2	0	$\frac{\pi}{2}$	0
3	q_3	L_3	0	0

Tabella 1. D - H per il Polso Sferico

Cinematica Diretta:

```
(%i9) polso(q1,q2,q3,L3):=block(
    [Q01, Q12, Q23, Q03],
    Q01:Q(q1,0,-%pi/2,0),
    Q12:Q(q2,0,%pi/2,0),
    Q23:Q(q3,L3,0,0),
    Q03:Q01.Q12.Q23,
    return(Q03)
)$
(%i10) polso:polso(q[1], q[2], q[3], L[3])$
(%i11) ridef(polso,q[1],q[2],q[3])
```

$$(\%o11) \begin{pmatrix} c_1 c_2 c_3 - s_1 s_3 & -c_1 c_2 s_3 - s_1 c_3 & c_1 s_2 & c_1 s_2 L_3 \\ c_1 s_3 + s_1 c_2 c_3 & c_1 c_3 - s_1 c_2 s_3 & s_1 s_2 & s_1 s_2 L_3 \\ -s_2 c_3 & s_2 s_3 & c_2 & c_2 L_3 \\ 0 & 0 & 0 & 1 \end{pmatrix}$$

Cinematica Inversa di Orientamento:

In quanto parte terminale di un robot, calcoliamo solo l'orientamento del polso.

Dalla cinematica diretta si può vedere che la matrice di rotazione ha la stessa struttura di una matrice di rotazione costruita sulla terna $\{z, y, z\}$.

$$R_{\{z,y,z\}}(\phi) = R_z(\gamma)R_y(\beta)R_z(\alpha) = \begin{pmatrix} c_\alpha c_\beta c_\gamma - s_\alpha s_\gamma & -c_\alpha c_\beta s_\gamma - s_\alpha c_\gamma & c_\alpha s_\beta \\ c_\alpha s_\gamma + s_\alpha c_\beta c_\gamma & c_\alpha c_\gamma - s_\alpha c_\beta s_\gamma & s_\alpha s_\beta \\ -s_\beta c_\gamma & s_\beta s_\gamma & c_\beta \end{pmatrix}$$

tale matrice è non singolare per $\cos(\beta) \neq \pm 1$.

Supposto di non essere in condizioni di singolarità:

$$c_\beta = c_2 \longrightarrow s_2 = \pm \sqrt{1 - c_2^2} \longrightarrow \beta = \text{atan2}(\pm s_2, c_2)$$

Da cui:

$$\begin{cases} c_\alpha s_\beta = c_1 s_2 \\ s_\alpha s_\beta = s_1 s_2 \end{cases} \longrightarrow \begin{cases} \pm c_\alpha s_2 = c_1 s_2 \longrightarrow c_\alpha = \pm c_1 \\ \pm s_\alpha s_2 = s_1 s_2 \longrightarrow s_\alpha = \pm s_1 \end{cases} \longrightarrow \alpha = \text{atan2}(\pm s_1, \pm c_1)$$

$$\begin{cases} -s_\beta c_\gamma = -s_2 s_3 \\ s_\beta s_\gamma = s_2 s_3 \end{cases} \longrightarrow \begin{cases} \mp s_2 c_\gamma = -s_2 s_3 \longrightarrow c_\gamma = \pm c_3 \\ \pm s_2 s_\gamma = s_2 s_3 \longrightarrow s_\gamma = \pm s_3 \end{cases} \longrightarrow \gamma = \text{atan2}(\pm s_3, \pm c_3)$$

```
(%i12) R(alpha,beta,gamma):=block([R],
R:rodrigues(matrix([0],[0],[1]),alpha).rodrigues(matrix([0],[1],[0]),
beta).rodrigues(matrix([0],[0],[1]),gamma),return(R)
)$

(%i13) orientInv(alpha,beta,gamma):=block(
[q1, q2, q3, ca, sa, cb, sb, cg, sg, sol, R],
R:R(alpha,beta,gamma),
cb:R[3][3], sb:sqrt(1-cb^2),
q2:[atan2(sb,cb), atan2(-sb,cb)],
cg:-R[3][1]/sb, sg:R[3][2]/sb,
q3:[atan2(sg,cg),atan2(-sg,-cg)],
ca:R[1][3]/sb, sa:R[2][3]/sb,
q1:[atan2(sa,ca),atan2(-sa,-ca)],
sol:[matrix([q1[1]], [q2[1]], [q3[1]]),
matrix([q1[2]], [q2[2]], [q3[2]])],
return(sol)
)$

(%i14) orientInv(alpha,beta,gamma)
```

$$(\%o14) \left[\begin{pmatrix} \text{atan2}\left(\frac{\sin(\alpha) \sin(\beta)}{\sqrt{1 - \cos(\beta)^2}}, \frac{\cos(\alpha) \sin(\beta)}{\sqrt{1 - \cos(\beta)^2}}\right) \\ \text{atan2}\left(\sqrt{1 - \cos(\beta)^2}, \cos(\beta)\right) \\ \text{atan2}\left(\frac{\sin(\beta) \sin(\gamma)}{\sqrt{1 - \cos(\beta)^2}}, \frac{\sin(\beta) \cos(\gamma)}{\sqrt{1 - \cos(\beta)^2}}\right) \end{pmatrix}, \begin{pmatrix} -\text{atan2}\left(\frac{\sin(\alpha) \sin(\beta)}{\sqrt{1 - \cos(\beta)^2}}, -\frac{\cos(\alpha) \sin(\beta)}{\sqrt{1 - \cos(\beta)^2}}\right) \\ -\text{atan2}\left(\sqrt{1 - \cos(\beta)^2}, \cos(\beta)\right) \\ -\text{atan2}\left(\frac{\sin(\beta) \sin(\gamma)}{\sqrt{1 - \cos(\beta)^2}}, -\frac{\sin(\beta) \cos(\gamma)}{\sqrt{1 - \cos(\beta)^2}}\right) \end{pmatrix} \right]$$

```
(%i15) sol:orientInv(0, %pi/2, %pi/4)
```

$$(\%o15) \left[\begin{pmatrix} 0 \\ \frac{\pi}{2} \\ \frac{\pi}{4} \end{pmatrix}, \begin{pmatrix} \pi \\ -\frac{\pi}{2} \\ -\frac{3\pi}{4} \end{pmatrix} \right]$$

```
(%i22) testOrient(sol,L3):=block(
  for i:1 thru length(sol) do(
    t:polso(sol[i][1][1],sol[i][2][1],sol[i][3][1],L3),
      print("sol[" ,i,"]=",transpose(sol[i]),"->",t)
    )
  )$
```

```
(%i23) testOrient(sol,L3)
```

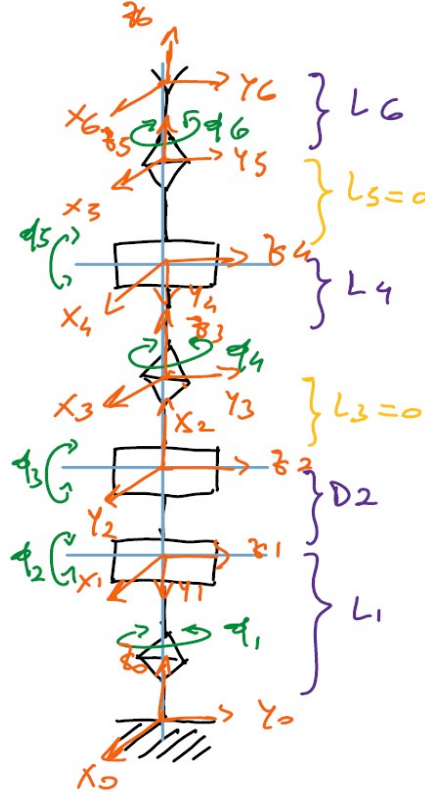
$$\text{sol}[1] = \begin{pmatrix} 0 & \frac{\pi}{2} & \frac{\pi}{4} \end{pmatrix} \rightarrow \begin{pmatrix} 0 & 0 & 1 & L3 \\ \frac{1}{\sqrt{2}} & \frac{1}{\sqrt{2}} & 0 & 0 \\ -\frac{1}{\sqrt{2}} & \frac{1}{\sqrt{2}} & 0 & 0 \\ 0 & 0 & 0 & 1 \end{pmatrix}$$

$$\text{sol}[2] = \begin{pmatrix} \pi & -\frac{\pi}{2} & -\frac{3\pi}{4} \end{pmatrix} \rightarrow \begin{pmatrix} 0 & 0 & 1 & L3 \\ \frac{1}{\sqrt{2}} & \frac{1}{\sqrt{2}} & 0 & 0 \\ -\frac{1}{\sqrt{2}} & \frac{1}{\sqrt{2}} & 0 & 0 \\ 0 & 0 & 0 & 1 \end{pmatrix}$$

```
(%o23) done
```

Robot PUMA

Il robot PUMA ha 6 DOF di tipo rotoidale. I primi tre determinano la posizione dell'end-effector, gli ultimi tre invece l'orientamento dello stesso, dato dal polso sferico. L'algoritmo di Denavit-Hartenberg è applicato come in figura.



	θ	d	α	a
1	q_1	L_1	$-\frac{\pi}{2}$	0
2	q_2	0	0	D_2
3	q_3	0	$\frac{\pi}{2}$	0
4	q_4	L_4	$-\frac{\pi}{2}$	0
5	q_5	0	$\frac{\pi}{2}$	0
6	q_6	L_6	0	0

Tabella 1. D - H per robot P.U.M.A.

Cinematica diretta dei primi tre gradi di libertà.

```
(%i9) Q03(q1,q2,q3,L1,D2):=block([Q01, Q12, Q23, Q03],
    Q01:Q(q1,L1,-%pi/2,0),Q12:Q(q2,0,0,D2),Q23:Q(q3,0,%pi/2,0),
    Q03:Q01.trigreduce(Q12.Q23),return(Q03))$
(%i10) Q03:Q03(q[1],q[2],q[3],L[1],D[2])$
```

```
(%i11) rdef(Q03,q[1],q[2],q[3],0,0,0)
```

$$(\%o11) \begin{pmatrix} c_1 c_{23} & -s_1 & c_1 s_{23} & c_1 D_2 c_2 \\ s_1 c_{23} & c_1 & s_1 s_{23} & s_1 D_2 c_2 \\ -s_{23} & 0 & c_{23} & L_1 - D_2 s_2 \\ 0 & 0 & 0 & 1 \end{pmatrix}$$

Cinematica diretta del polso sferico.

```
(%i12) Q36(q4,q5,q6,L4,L6):=block([Q34, Q45, Q56, Q36],
    Q34:Q(q4,L4,-%pi/2,0),Q45:Q(q5,0,%pi/2,0),Q56:Q(q6,L6,0,0),
    Q36:Q34.Q45.Q56,return(Q36))$
(%i13) Q36:Q36(q[4],q[5],q[6],L[4],L[6])$
(%i14) rdef(Q36,0,0,0,q[4],q[5],q[6])
```

$$(\%o14) \begin{pmatrix} c_4 c_5 c_6 - s_4 s_6 & -c_4 c_5 s_6 - s_4 c_6 & c_4 s_5 & c_4 s_5 L_6 \\ c_4 s_6 + s_4 c_5 c_6 & c_4 c_6 - s_4 c_5 s_6 & s_4 s_5 & s_4 s_5 L_6 \\ -s_5 c_6 & s_5 s_6 & c_5 & c_5 L_6 + L_4 \\ 0 & 0 & 0 & 1 \end{pmatrix}$$

Calcolo la cinematica diretta completa:

```
(%i15) puma(q1,q2,q3,q4,q5,q6,L1,D2,L4,L6):=block([Q03, Q36, Q06],
    Q03:Q03(q1,q2,q3,L1,D2),
    Q36:Q36(q4,q5,q6,L4,L6),
    Q06:Q03.Q36,
    return(Q06)
)$
(%i16) Q06:puma(q[1],q[2],q[3],q[4],q[5],q[6],L[1],D[2],L[4],L[6])$
(%i17) V:rdef(Q06,q[1],q[2],q[3],q[4],q[5],q[6])
```

$$(\%o17) (-c_1 s_5 c_6 s_{23} - c_1 s_4 s_6 c_{23} + c_1 c_4 c_5 c_6 c_{23} - s_1 c_4 s_6 - s_1 s_4 c_5 c_6, c_1 s_5 s_6 s_{23} - c_1 c_4 c_5 s_6 c_{23} - c_1 s_4 c_6 c_{23} + s_1 s_4 c_5 s_6 - s_1 c_4 c_6, c_1 c_5 s_{23} + c_1 c_4 s_5 c_{23} - s_1 s_4 s_5, c_1 c_5 L_6 s_{23} + c_1 L_4 s_{23} + c_1 c_4 s_5 L_6 c_{23} - s_1 s_4 s_5 L_6 + c_1 D_2 c_2; -s_1 s_5 c_6 s_{23} - s_1 s_4 s_6 c_{23} + s_1 c_4 c_5 c_6 c_{23} + c_1 c_4 s_6 + c_1 s_4 c_5 c_6, s_1 s_5 s_6 s_{23} - s_1 c_4 c_5 s_6 c_{23} - s_1 s_4 c_6 c_{23} - c_1 s_4 c_5 s_6 + c_1 c_4 c_6, s_1 c_5 s_{23} + s_1 c_4 s_5 c_{23} + c_1 s_4 s_5, s_1 c_5 L_6 s_{23} + s_1 L_4 s_{23} + s_1 c_4 s_5 L_6 c_{23} + c_1 s_4 s_5 L_6 + s_1 D_2 c_2; s_4 s_6 s_{23} - c_4 c_5 c_6 s_{23} - s_5 c_6 c_{23}, c_4 c_5 s_6 s_{23} + s_4 c_6 s_{23} + s_5 s_6 c_{23}, c_5 c_{23} - c_4 s_5 s_{23}, -c_4 s_5 L_6 s_{23} + c_5 L_6 c_{23} + L_4 c_{23} - D_2 s_2 + L_1; 0, 0, 0, 1)$$

Cinematica Inversa Completa:

Per i robot a 6 gradi di libertà, il problema della cinematica inversa completa è complesso, ma si può semplificare verificando la *condizione di disaccoppiamento polso-struttura portante*. Se la condizione è verificata è possibile calcolare separatamente il problema della cinematica inversa per i tre DOF rotoidali iniziali e poi quelli del polso.

Deve valere quindi: $d_{36} = R_{36}d_1 + d_0$ dove d_0 e d_1 sono vettori costanti.

Ossia:

$$\begin{pmatrix} c_4 s_5 L_6 \\ s_4 s_5 L_6 \\ c_5 L_6 + L_4 \end{pmatrix} = \begin{pmatrix} c_4 c_5 c_6 - s_4 s_6 & -c_4 c_5 s_6 - s_4 c_6 & c_4 s_5 \\ c_4 s_6 + s_4 c_5 c_6 & c_4 c_6 - s_4 c_5 s_6 & s_4 s_5 \\ -s_5 c_6 & s_5 s_6 & c_5 \end{pmatrix} d_1 + d_0$$

Da una semplice ispezione visiva, si può notare che

$$d_0 = \begin{pmatrix} 0 \\ 0 \\ L_4 \end{pmatrix}, d_1 = \begin{pmatrix} 0 \\ 0 \\ L_6 \end{pmatrix}$$

Pertanto si ha che:

$$\begin{pmatrix} c_4 s_5 L_6 \\ s_4 s_5 L_6 \\ c_4 L_6 + L_4 \end{pmatrix} = R_{3,6} \cdot \begin{pmatrix} 0 \\ 0 \\ L_6 \end{pmatrix} + \begin{pmatrix} 0 \\ 0 \\ L_4 \end{pmatrix}$$

Come terna per le matrici di rotazione, useremo una terna newtoniana del tipo $\{z, y, z\}$:

$$R_{\{z, y, z\}}(\phi) = R_z(\gamma) R_y(\beta) R_z(\alpha) = \begin{pmatrix} c_\alpha c_\beta c_\gamma - s_\alpha s_\gamma & -c_\alpha c_\beta s_\gamma - s_\alpha c_\gamma & c_\alpha s_\beta \\ c_\alpha s_\gamma + s_\alpha c_\beta c_\gamma & c_\alpha c_\gamma - s_\alpha c_\beta s_\gamma & s_\alpha s_\beta \\ -s_\beta c_\gamma & s_\beta s_\gamma & c_\beta \end{pmatrix}$$

Siano R e P matrice di orientamento e vettore di posizione desiderati, rispettivamente. Sappiamo che vale:

$$\begin{cases} R = R_{03} R_{36} \\ P = R_{03} d_{36} + d_{03} \end{cases}$$

Poiché vale la proprietà di disaccoppiamento: $d_{36} = R_{36} d_1 + d_0$
Sostituendo:

$$P = R_{03} R_{36} d_1 + R_{03} d_0 + d_{03} = R d_1 + R_{03} d_0 + d_{03}$$

Definiamo ora le coordinate del “polso” del robot come:

$$\hat{P} = \begin{pmatrix} \hat{x} \\ \hat{y} \\ \hat{z} \end{pmatrix} = P - R d_1 = R_{03} d_0 + d_{03}$$

Poiché le coordinate $\{x, y, z\}$ sono note, come l’ultima colonna di R , conosciamo il valore di \hat{P}

$$\begin{pmatrix} \hat{x} \\ \hat{y} \\ \hat{z} \end{pmatrix} = P - R d_1 = \begin{pmatrix} x \\ y \\ z \end{pmatrix} - R \begin{pmatrix} 0 \\ 0 \\ L_6 \end{pmatrix} = \begin{pmatrix} x \\ y \\ z \end{pmatrix} - \begin{pmatrix} c_\alpha s_\beta \\ s_\alpha s_\beta \\ c_\beta \end{pmatrix} L_6$$

$$\begin{pmatrix} \hat{x} \\ \hat{y} \\ \hat{z} \end{pmatrix} = \begin{pmatrix} x - L_6 c_\alpha s_\beta \\ y - L_6 s_\alpha s_\beta \\ z - L_6 c_\beta \end{pmatrix}$$

Questo significa che possiamo risolvere il sistema descritto dall’equazione:

$$\hat{P} = R_{03} d_0 + d_{03}$$

$$\begin{pmatrix} \hat{x} \\ \hat{y} \\ \hat{z} \end{pmatrix} = \begin{pmatrix} L_4 c_1 s_{23} + c_1 D_2 c_2 \\ L_4 s_1 s_{23} + s_1 D_2 c_2 \\ L_4 c_{23} - D_2 s_2 + L_1 \end{pmatrix}$$

Per semplicità, verrà mantenuta una forma simbolica per le coordinate di \hat{P} .

Dalle prime due equazioni, possiamo raccogliere in q_1 e trovare un termine comune:

$$\begin{cases} \hat{x} = c_1 (L_4 s_{23} + D_2 c_2) = c_1 k \\ \hat{y} = s_1 (L_4 s_{23} + D_2 c_2) = s_1 k \end{cases}, k = L_4 s_{23} + D_2 c_2$$

Calcolando il quadrato e la loro somma si ha:

$$\hat{x}^2 + \hat{y}^2 = k^2 (c_1^2 + s_1^2) = k^2 = (L_4 s_{23} + D_2 c_2)^2$$

Riscriviamo ora la terza nella seguente forma:

$$\hat{z} - L_1 = L_4 c_{23} - D_2 s_2$$

Mettendo a sistema:

$$\begin{cases} \hat{z} - L_1 = L_4 c_{23} - D_2 s_2 \\ \pm \sqrt{\hat{x}^2 + \hat{y}^2} = L_4 s_{23} + D_2 c_2 \end{cases}$$

In forma matriciale possiamo individuare due matrici di rotazione $R(q_2 + q_3)$ e $R(q_2)$:

$$\begin{pmatrix} \hat{z} - L_1 \\ \pm \sqrt{\hat{x}^2 + \hat{y}^2} \end{pmatrix} = R_{23} \begin{pmatrix} L_4 \\ 0 \end{pmatrix} + R_2 \begin{pmatrix} 0 \\ D_2 \end{pmatrix} = R_2 \left\{ R_3 \begin{pmatrix} L_4 \\ 0 \end{pmatrix} + \begin{pmatrix} 0 \\ D_2 \end{pmatrix} \right\}$$

Poiché R_2 è matrice di rotazione, questa è isometrica. Pertanto possiamo eguagliare le norme:

$$\hat{x}^2 + \hat{y}^2 + (\hat{z} - L_1)^2 = D_2^2 + L_4^2 + 2D_2L_4s_3$$

Da cui:

$$s_3 = \frac{\hat{x}^2 + \hat{y}^2 + (\hat{z} - L_1)^2 - D_2^2 - L_4^2}{2D_2L_4}$$

$$c_3 = \pm \sqrt{1 - s_3^2}$$

$$q_3 = \text{atan2}(s_3, \pm c_3)$$

Poiché $-1 \leq s_3 \leq 1$:

$$-1 \leq \frac{\hat{x}^2 + \hat{y}^2 + (\hat{z} - L_1)^2 - D_2^2 - L_4^2}{2D_2L_4} \leq 1$$

$$D_2^2 + L_4^2 - 2D_2L_4 \leq \hat{x}^2 + \hat{y}^2 + (\hat{z} - L_1)^2 \leq 2D_2L_4 + D_2^2 + L_4^2$$

$$(D_2 - L_4)^2 \leq \hat{x}^2 + \hat{y}^2 + (\hat{z} - L_1)^2 \leq (D_2 + L_4)^2$$

Questa disequazione definisce lo spazio operativo del robot, identificando una sfera cava di centro in $\{0, 0, L_1\}$ e con raggio $|D_2 - L_4| \leq r \leq D_2 + L_4$

In condizioni di singolarità, abbiamo una soluzione degenera per q_3 :

$$q_3 = \begin{cases} \text{atan2}(1, 0) = \frac{\pi}{2} & \text{se } s_3 = 1 \\ \text{atan2}(-1, 0) = -\frac{\pi}{2} & \text{se } s_3 = -1 \end{cases}$$

Se q_3 è noto, il sistema di equazioni precedenti può essere riscritto come:

$$\begin{pmatrix} \hat{z} - L_1 \\ \pm \sqrt{\hat{x}^2 + \hat{y}^2} \end{pmatrix} = \begin{pmatrix} c_2 & -s_2 \\ s_2 & c_2 \end{pmatrix} \begin{pmatrix} c_3L_4 \\ s_3L_4 + D_2 \end{pmatrix}$$

Siano ora:

$$A_1 = \hat{z} - L_1 \quad A_2 = \sqrt{\hat{x}^2 + \hat{y}^2}$$

$$B_1 = c_3L_4 \quad B_2 = s_3L_4 + D_2$$

$$\begin{pmatrix} A_1 \\ \pm A_2 \end{pmatrix} = \begin{pmatrix} B_1 & -B_2 \\ B_2 & B_1 \end{pmatrix} \begin{pmatrix} c_2 \\ s_2 \end{pmatrix}$$

Poiché la matrice B ha sempre determinante diverso da zero, è invertibile. Quindi:

$$\begin{pmatrix} c_2 \\ s_2 \end{pmatrix} = \frac{1}{B_1^2 + B_2^2} \begin{pmatrix} B_1 & B_2 \\ -B_2 & B_1 \end{pmatrix} \begin{pmatrix} A_1 \\ \pm A_2 \end{pmatrix}$$

Poiché $\det(B) > 0$, possiamo scrivere:

$$q_2 = \text{atan2}(s_2, c_2) = \text{atan2}(-B_2A_1 \pm B_1A_2, B_1A_1 \pm B_2A_2)$$

Fissato un valore di q_3 si hanno quindi due soluzioni di q_2 .

Noti ora q_2 e q_3 , conosciamo il termine k . Pertanto, ricordando che:

$$\begin{pmatrix} \hat{x} \\ \hat{y} \end{pmatrix} = \begin{pmatrix} c_1 \\ s_1 \end{pmatrix} k \longrightarrow c_1 = \frac{\hat{x}}{k} \quad s_1 = \frac{\hat{y}}{k}$$

$$q_1 = \text{atan2}(s_1, c_1) = \text{atan2}\left(\frac{\hat{y}}{k}, \frac{\hat{x}}{k}\right) \quad \text{dove } k = L_4 s_{23} + D_2 c_2$$

Riassumendo:

$$\begin{pmatrix} \text{atan2}\left(\frac{\hat{y}}{L_4 s_{23} + D_2 c_2}, \frac{\hat{x}}{L_4 s_{23} + D_2 c_2}\right) \\ \text{atan2}\left(-(s_3 L_4 + D_2)(z - L_1) \pm c_3 L_4 \sqrt{\hat{x}^2 + \hat{y}^2}, c_3 L_4 (z - L_1) \pm (s_3 L_4 + D_2) \sqrt{\hat{x}^2 + \hat{y}^2}\right) \\ \text{atan2}\left(\frac{\hat{x}^2 + \hat{y}^2 + (\hat{z} - L_1)^2 - D_2^2 - L_4^2}{2D_2 L_4}, \sqrt{1 - \left(\frac{\hat{x}^2 + \hat{y}^2 + (\hat{z} - L_1)^2 - D_2^2 - L_4^2}{2D_2 L_4}\right)^2}\right) \end{pmatrix}$$

$$\begin{pmatrix} \text{atan2}\left(\frac{\hat{y}}{L_4 s_{23} + D_2 c_2}, \frac{\hat{x}}{L_4 s_{23} + D_2 c_2}\right) \\ \text{atan2}\left(-(s_3 L_4 + D_2)(z - L_1) \pm c_3 L_4 \sqrt{\hat{x}^2 + \hat{y}^2}, c_3 L_4 (z - L_1) \pm (s_3 L_4 + D_2) \sqrt{\hat{x}^2 + \hat{y}^2}\right) \\ \text{atan2}\left(\frac{\hat{x}^2 + \hat{y}^2 + (\hat{z} - L_1)^2 - D_2^2 - L_4^2}{2D_2 L_4}, -\sqrt{1 - \left(\frac{\hat{x}^2 + \hat{y}^2 + (\hat{z} - L_1)^2 - D_2^2 - L_4^2}{2D_2 L_4}\right)^2}\right) \end{pmatrix}$$

In condizione non singolare abbiamo quindi due coppie di soluzioni, per un totale di quattro.

Risolviamo ora le equazioni per gli ultimi tre gradi di libertà.

Ricordando che:

$$R = R_{03} R_{36}$$

E che R_{03} è ora nota, per le proprietà delle matrici di rotazione possiamo scrivere:

$$R_{36} = R_{03}^T R = \begin{pmatrix} \hat{r}_{11} & \hat{r}_{12} & \hat{r}_{13} \\ \hat{r}_{21} & \hat{r}_{22} & \hat{r}_{23} \\ \hat{r}_{31} & \hat{r}_{32} & \hat{r}_{33} \end{pmatrix} = \begin{pmatrix} c_4 c_5 c_6 - s_4 s_6 & -c_4 c_5 s_6 - s_4 c_6 & c_4 s_5 \\ c_4 s_6 + s_4 c_5 c_6 & c_4 c_6 - s_4 c_5 s_6 & s_4 s_5 \\ -s_5 c_6 & s_5 s_6 & c_5 \end{pmatrix}$$

Ne deduciamo che:

$$c_5 = \hat{r}_{33} \longrightarrow s_5 = \pm \sqrt{1 - c_5^2} = \pm \sqrt{1 - \hat{r}_{33}^2} \longrightarrow q_5 = \text{atan2}\left(\pm \sqrt{1 - \hat{r}_{33}^2}, \hat{r}_{33}\right)$$

$$\begin{cases} c_4 s_5 = \hat{r}_{13} \\ s_4 s_5 = \hat{r}_{23} \end{cases} \longrightarrow \begin{cases} \pm c_4 s_5 = \hat{r}_{13} \longrightarrow c_4 = \frac{\hat{r}_{13}}{\pm \sqrt{1 - \hat{r}_{33}^2}} \\ \pm s_4 s_5 = \hat{r}_{23} \longrightarrow s_4 = \frac{\hat{r}_{23}}{\pm \sqrt{1 - \hat{r}_{33}^2}} \end{cases} \longrightarrow q_4 = \text{atan2}\left(\pm \frac{\hat{r}_{23}}{\sqrt{1 - \hat{r}_{33}^2}}, \pm \frac{\hat{r}_{13}}{\sqrt{1 - \hat{r}_{33}^2}}\right)$$

$$\begin{cases} -s_5 c_6 = \hat{r}_{31} \\ s_5 s_6 = \hat{r}_{32} \end{cases} \longrightarrow \begin{cases} \mp s_5 c_6 = \hat{r}_{31} \longrightarrow c_6 = \frac{\hat{r}_{31}}{\pm \sqrt{1 - \hat{r}_{33}^2}} \\ \pm s_5 s_6 = \hat{r}_{32} \longrightarrow s_6 = \frac{\hat{r}_{32}}{\pm \sqrt{1 - \hat{r}_{33}^2}} \end{cases} \longrightarrow q_6 = \text{atan2}\left(\pm \frac{\hat{r}_{32}}{\sqrt{1 - \hat{r}_{33}^2}}, \mp \frac{\hat{r}_{31}}{\sqrt{1 - \hat{r}_{33}^2}}\right)$$

```

(%i18) R(alpha,beta,gamma):=block([R],
  R:rodrigues(matrix([0],[0],[1]),gamma).rodrigues(matrix([0],[1],[0]),
  beta).rodrigues(matrix([0],[0],[1]),alpha),return(R)
)$

(%i19) strutturaInv(x,y,z,R,L1,D2,L4,L6):=block(
[P, xh, yh, zh, Ph, R3, q1, q2, q3, s1, c1, s2, c2, c3, s3, A1, A2,
B1, B2, sol03],
P:matrix([x],[y],[z]), /*R:R(alpha,beta,gamma),*/
/*print(R),*/
Ph:P-R.matrix([0],[0],[L6]),
/*print(Ph),*/
xh:Ph[1][1], yh:Ph[2][1], zh:Ph[3][1],
s3:trigsimp((xh^2+yh^2+(zh-L1)^2-D2^2-L4^2)/(2*D2*L4)),
if (s3>1 or s3<-1) then error("Spazio operativo violato"),
c3:sqrt(1-s3^2), q3:[atan2(s3,c3), atan2(s3, -c3)],
A1:zh-L1, A2:sqrt(xh^2+yh^2),
B1:[c3*L4,-c3*L4], B2:D2+s3*L4,
s2:[-B2*A1+B1[1]*A2,-B2*A1-B1[1]*A2,
-B2*A1+B1[2]*A2,-B2*A1-B1[2]*A1],
c2:[B1[1]*A1+B2*A2,B1[1]*A1-B2*A2,
B1[2]*A1+B2*A2,B1[2]*A1-B2*A2],
q2:[atan2(s2[1],c2[1]),atan2(s2[2],c2[2]),
atan2(s2[3],c2[3]),atan2(s2[4],c2[4])],
k:[sin(q3[1]+q2[1])*L4+D2*cos(q2[1]),
sin(q3[1]+q2[2])*L4+D2*cos(q2[2]),
sin(q3[2]+q2[3])*L4+D2*cos(q2[3]),
sin(q3[2]+q2[4])*L4+D2*cos(q2[4])],
q1:[], sol03:[],
for i:1 thru 4 do(
  c1:xh/k[i], s1:yh/k[i],
  q1:append(q1,[atan2(s1,c1)])
),
sol03:ratsimp([[q1[1],q2[1],q3[1]],[q1[2],q2[2],q3[1]],
[q1[3],q2[3],q3[2]],[q1[4],q2[4],q3[2]]]),
return(sol03)
)$

```

```

(%i20) polsoInv(sol03,R,L1,D2,L4,L6):=block(
[R36, R03, R03t, c4, s4, c5, s5, c6, s6, sol, sol36, sol06, i, valid, t],
  R03:[submatrix(4,Q03(sol03[1][1],sol03[1][2],sol03[1][3],L1,D2),4),
    submatrix(4,Q03(sol03[2][1],sol03[2][2],sol03[2][3],L1,D2),4),
    submatrix(4,Q03(sol03[3][1],sol03[3][2],sol03[3][3],L1,D2),4),
    submatrix(4,Q03(sol03[4][1],sol03[4][2],sol03[4][3],L1,D2),4)],
  R03t:[0,0,0,0],Rh:[0,0,0,0],
  for i:1 thru 4 do(
    R03t[i]:transpose(R03[i]),
    Rh[i]:R03t[i].R
  ),
  sol:[], sol36:[], valid:[], t:1,
  for i:1 thru length(Rh) do block(
    c5:Rh[i][3][3], s5:sqrt(1-c5^2), q5:[atan2(s5,c5), atan2(-s5,c5)],
    if(s5=0) then(
      /*print("Trovata configurazione singolare per i=",i),*/
      return()),
    c4:[Rh[i][1][3]/sin(q5[1]), Rh[i][1][3]/sin(q5[2])],
    s4:[Rh[i][2][3]/sin(q5[1]), Rh[i][2][3]/sin(q5[2])],
    q4:[atan2(s4[1],c4[1]), atan2(s4[2],c4[2])],
    c6:[-Rh[i][3][1]/sin(q5[1]),-Rh[i][3][1]/sin(q5[1])],
    s6:[Rh[i][3][2]/sin(q5[1]),Rh[i][3][2]/sin(q5[1])],
    q6:[atan2(s6[1],c6[1]),atan2(s6[2],c6[2])],
    sol36:append(sol36,[[matrix([q4[1]], [q5[1]], [q6[1]]),
      matrix([q4[2]], [q5[2]], [q6[2]])]]),
    valid:append(valid,[i]),
  return([sol36,valid])

)$

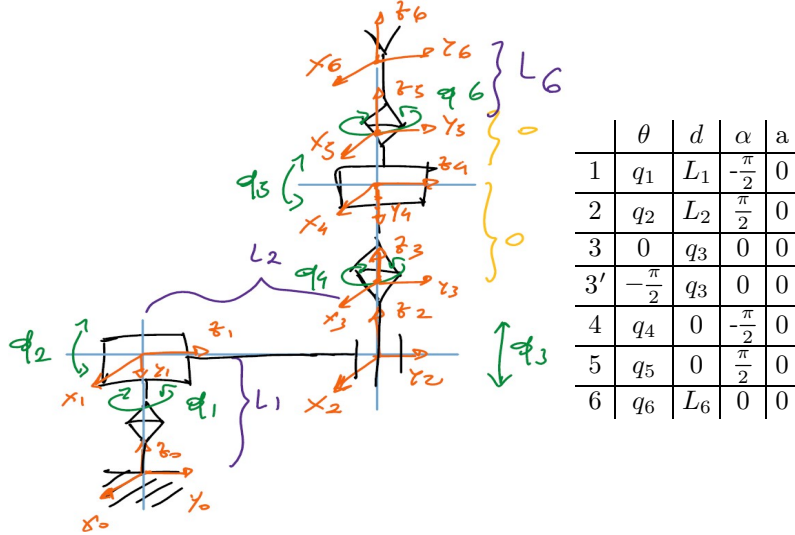
(%i21) cinInv(x,y,z,R,L1,D2,L4,L6):=block(
[sol03,sol36,sol06:[],i,t,valid],
sol03:strutturaInv(x,y,z,R,L1,D2,L4,L6),
t:polsoInv(sol03,R,L1,D2,L4,L6),
sol36:t[1],
valid:t[2],
t:0,
for i:1 thru length(valid) do(
  t:valid[i],
  sol:[[append(matrix(
    [sol03[t][1]], [sol03[t][2]], [sol03[t][3]]),sol36[i][1]),
    append(matrix(
    [sol03[t][1]], [sol03[t][2]], [sol03[t][3]]),sol36[i][2])]],
  sol06:append(sol06,sol)
),
return(sol06)
)$

```

Robot Stanford Completo

Il robot sferico di Standford è formato da un giunto rotoidale pivot, uno rotoidale a cerniera e uno lineare trapezoidale. Nella sua versione completa a 6 gradi di libertà, un polso sferico è collegato al giunto numero 3.

L'algoritmo di Denavit-Hartenberg è applicato come in figura.



Per semplificare il calcolo della cinematica inversa separo la matrice della cinematica completa nei dividendo i primi tre gradi di libertà dai secondi tre. Inoltre, verrà usata la riga 3' per non rendere mai singolare la terna $\{z, x, y\}$.

```
(%i9) Q03(q1,q2,q3,L1,L2):=block([Q01, Q12, Q23, Q03],
    Q01:Q(q1,L1,-%pi/2,0),
    Q12:Q(q2,L2,%pi/2,0),
    Q23:Q(-%pi/2,q3,0,0),
    Q03:Q01.Q12.Q23,
    return(Q03))$
```

```
(%i10) rdef(Q03:Q03(q[1],q[2],q[3],L[1],L[2]),q[1],q[2],q[3],0,0,0)
```

$$(\%o10) \begin{pmatrix} s_1 & c_1 c_2 & c_1 s_2 & c_1 s_2 q_3 - s_1 L_2 \\ -c_1 & s_1 c_2 & s_1 s_2 & s_1 s_2 q_3 + c_1 L_2 \\ 0 & -s_2 & c_2 & c_2 q_3 + L_1 \\ 0 & 0 & 0 & 1 \end{pmatrix}$$

```
(%i11) Q36(q4,q5,q6,L6):=block([Q34, Q45, Q56, Q36],
    Q34:Q(q4,0,-%pi/2,0),Q45:Q(q5,0,%pi/2,0),Q56:Q(q6,L6,0,0),
    Q36:Q34.Q45.Q56,return(Q36))$
```

```
(%i12) rdef(Q36:Q36(q[4],q[5],q[6],L[6]),0,0,0,q[4],q[5],q[6])
```

$$(\%o12) \begin{pmatrix} c_4 c_5 c_6 - s_4 s_6 & -c_4 c_5 s_6 - s_4 c_6 & c_4 s_5 & c_4 s_5 L_6 \\ c_4 s_6 + s_4 c_5 c_6 & c_4 c_6 - s_4 c_5 s_6 & s_4 s_5 & s_4 s_5 L_6 \\ -s_5 c_6 & s_5 s_6 & c_5 & c_5 L_6 \\ 0 & 0 & 0 & 1 \end{pmatrix}$$

Calcolo finalmente la cinematica diretta per lo stanford a 6DOF.

```
(%i13) stanford6dof(q1,q2,q3,q4,q5,q6,L1,L2,L6):=block(
    [Q03, Q36, Q06],
    Q03:Q03(q1,q2,q3,L1,L2),
    Q36:Q36(q4,q5,q6,L6),
    Q06:Q03.Q36,
    return(Q06)
)$
```

```
(%i22) DH:stanford6dof(q[1],q[2],q[3],q[4],q[5],q[6],L[1],L[2],L[6])$
(%i23) ridef(DH,q[1],q[2],q[3],q[4],q[5],q[6])
```

```
(%o23) (-s1 s4 s6 + c1 c2 c4 s6 - c1 s2 s5 c6 + c1 c2 s4 c5 c6 + s1 c4 c5 c6, c1 s2 s5 s6 - c1 c2 s4 c5 s6 -
s1 c4 c5 s6 - s1 s4 c6 + c1 c2 c4 c6, c1 c2 s4 s5 + s1 c4 s5 + c1 s2 c5, c1 c2 s4 s5 L6 + s1 c4 s5 L6 +
c1 s2 c5 L6 + c1 s2 q3 - s1 L2; c1 s4 s6 + s1 c2 c4 s6 - s1 s2 s5 c6 + s1 c2 s4 c5 c6 - c1 c4 c5 c6,
s1 s2 s5 s6 - s1 c2 s4 c5 s6 + c1 c4 c5 s6 + c1 s4 c6 + s1 c2 c4 c6, s1 c2 s4 s5 - c1 c4 s5 + s1 s2 c5,
s1 c2 s4 s5 L6 - c1 c4 s5 L6 + s1 s2 c5 L6 + s1 s2 q3 + c1 L2; -s2 c4 s6 - c2 s5 c6 - s2 s4 c5 c6, c2 s5 s6 +
s2 s4 c5 s6 - s2 c4 c6, c2 c5 - s2 s4 s5, -s2 s4 s5 L6 + c2 c5 L6 + c2 q3 + L1; 0, 0, 0, 1)
```

Cinematica Inversa Completa:

Per i robot a 6 gradi di libertà, il problema della cinematica inversa completa è complesso, ma si può semplificare verificando la *condizione di disaccoppiamento polso-struttura portante*. Se la condizione è verificata è possibile calcolare separatamente il problema della cinematica inversa per i tre DOF rotoidali iniziali e poi quelli del polso.

Deve valere quindi: $d_{36} = R_{36}d_1 + d_0$ dove d_0 e d_1 sono vettori costanti. Per semplicità verifico se esiste una soluzione per il sistema dato dall'equazione $d_{36} = R_{36}d_1$. Se la soluzione esiste, allora il vettore costante d_1 soddisfa la condizione di disaccoppiamento. Se non c'è soluzione, il modo più facile per verificare la condizione tramite il vettore costante d_0 è controllare manualmente.

```
(%i15) disaccoppiamento(Q36):=block(
[d0, d1, R36, d36, sist, tdx],
d0:matrix([a0],[b0],[c0]),d1:matrix([a1],[b1],[c1]),
R36:ident(3),
for i:1 thru 3 do(
for j:1 thru 3 do(
R36[i][j]:Q36[i][j]
)
),
d36:matrix([Q36[1][4]],[Q36[2][4]],[Q36[3][4]]),
tdx:R36.d1,
sist:[d36[1][1]=tdx[1][1],
d36[2][1]=tdx[2][1],
d36[3][1]=tdx[3][1]],
d1:map(rhs, solve(sist, [a1,b1,c1])[1]),
d1:matrix([d1[1]],[d1[2]],[d1[3]]),

if(d1#zeromatrix(3,1)) then (
d0:zeromatrix(3,1),
print(d[0],"=",d0, d[1],"=",d1),
print("La struttura portante è disaccoppiata dal polso"),
return(true)
)else(
print("La struttura portante non è disaccoppiata dal polso"),
return(false)
)
)$
(%i16) disaccoppiamento(Q36)
```

$$d_0 = \begin{pmatrix} 0 \\ 0 \\ 0 \end{pmatrix} d_1 = \begin{pmatrix} 0 \\ 0 \\ L_6 \end{pmatrix}$$

La struttura portante è disaccoppiata dal polso

```
(%o16) true
```

Abbiamo verificato che la condizione di disaccoppiamento è valida e possiamo quindi procedere nel seguente modo.

Scegliamo $\{z, y, z\}$ come terna per la matrice di orientamento:

$$R_{\{z, y, z\}}(\phi) = R_z(\gamma)R_y(\beta)R_z(\alpha) = \begin{pmatrix} c_\alpha c_\beta c_\gamma - s_\alpha s_\gamma & -c_\alpha c_\beta s_\gamma - s_\alpha c_\gamma & c_\alpha s_\beta \\ c_\alpha s_\gamma + s_\alpha c_\beta c_\gamma & c_\alpha c_\gamma - s_\alpha c_\beta s_\gamma & s_\alpha s_\beta \\ -s_\beta c_\gamma & s_\beta s_\gamma & c_\beta \end{pmatrix}$$

Abbiamo verificato che vale: $d_{36} = R_{36}d_1 + d_0$ dove d_0 e d_1 sono vettori costanti.

In particolare:

$$d_0 = 0 \quad d_1 = (0 \ 0 \ L_6)^T$$

Pertanto si ha che:

$$\begin{pmatrix} c_4 s_5 L_6 \\ s_4 s_5 L_6 \\ c_5 L_6 \end{pmatrix} = R_{3,6} \cdot \begin{pmatrix} 0 \\ 0 \\ L_6 \end{pmatrix}$$

Siano R e P matrice di orientamento e vettore di posizione desiderati, rispettivamente.

Sappiamo che vale:

$$\begin{cases} R = R_{03}R_{36} \\ P = R_{03}d_{36} + d_{03} \end{cases}$$

Dalla proprietà di disaccoppiamento:

$$P = R_{03}R_{36}d_1 + R_{03}d_0 + d_{03} = Rd_1 + R_{03}d_0 + d_{03} = Rd_1 + d_{03}$$

Definiamo ora le coordinate del “polso” del robot come:

$$\hat{P} = \begin{pmatrix} \hat{x} \\ \hat{y} \\ \hat{z} \end{pmatrix} = P - Rd_1 = d_{03}$$

Poiché le coordinate $\{x, y, z\}$ sono note, come l'ultima colonna di R , conosciamo il valore di \hat{P}

$$\begin{pmatrix} \hat{x} \\ \hat{y} \\ \hat{z} \end{pmatrix} = P - Rd_1 = \begin{pmatrix} x \\ y \\ z \end{pmatrix} - R \begin{pmatrix} 0 \\ 0 \\ L_6 \end{pmatrix} = \begin{pmatrix} x \\ y \\ z \end{pmatrix} - \begin{pmatrix} c_\alpha s_\beta \\ s_\alpha s_\beta \\ c_\beta \end{pmatrix} L_6$$

$$\begin{pmatrix} \hat{x} \\ \hat{y} \\ \hat{z} \end{pmatrix} = \begin{pmatrix} x - L_6 c_\alpha s_\beta \\ y - L_6 s_\alpha s_\beta \\ z - L_6 c_\beta \end{pmatrix}$$

Questo significa che possiamo risolvere il sistema descritto dall'equazione:

$$\hat{P} = d_{03}$$

$$\begin{pmatrix} \hat{x} \\ \hat{y} \\ \hat{z} \end{pmatrix} = \begin{pmatrix} c_1 s_2 q_3 - s_1 L_2 \\ s_1 s_2 q_3 + c_1 L_2 \\ c_2 q_3 + L_1 \end{pmatrix}$$

Per semplicità, verrà mantenuta una forma simbolica per le coordinate di \hat{P} .

Considerando le prime due equazioni in forma matriciale, possiamo individuare $R(q_1)$:

$$\begin{pmatrix} \hat{x} \\ \hat{y} \end{pmatrix} = \begin{pmatrix} c_1 & -s_1 \\ s_1 & c_1 \end{pmatrix} \begin{pmatrix} s_2 q_3 \\ L_2 \end{pmatrix}$$

Poiché il prodotto per $R(q_1)$ non altera la norma in quanto è una matrice isometrica:

$$\hat{x}^2 + \hat{y}^2 = s_2^2 q_3^2 + L_2^2$$

Sommandola al quadrato della terza equazione, troviamo:

$$\hat{x}^2 + \hat{y}^2 + (\hat{z} - L_1)^2 - L_2^2 = q_3^2 (c_2^2 + s_2^2) = q_3^2$$

Abbiamo quindi una soluzione per q_3 :

$$q_3 = \pm \sqrt{\hat{x}^2 + \hat{y}^2 + (\hat{z} - L_1)^2 - L_2^2}$$

Sempre dalla terza equazione possiamo trovare una soluzione per q_2 :

$$c_2 = \pm \frac{\hat{z} - L_1}{q_3} \longrightarrow s_2 = \pm \sqrt{1 - c_2^2} = \pm \sqrt{\frac{\hat{x}^2 + \hat{y}^2 - L_2^2}{q_3^2}} \longrightarrow q_2 = \text{atan2}(\pm s_2, \pm c_2)$$

Per q_2 noto, possiamo esprimere il prodotto matriciale precedente come:

$$\begin{pmatrix} \hat{x} \\ \hat{y} \end{pmatrix} = \begin{pmatrix} s_2 q_3 & -L_2 \\ L_2 & s_2 q_3 \end{pmatrix} \begin{pmatrix} c_1 \\ s_1 \end{pmatrix} = \begin{pmatrix} A_1 & -A_2 \\ A_2 & A_1 \end{pmatrix} \begin{pmatrix} c_1 \\ s_1 \end{pmatrix}$$

La matrice A ha determinante diverso da zero e in particolare maggiore di zero. Questo significa che tale sistema ha una soluzione e possiamo trovare una soluzione per q_1

$$\begin{pmatrix} c_1 \\ s_1 \end{pmatrix} = \frac{1}{A_1^2 + A_2^2} \begin{pmatrix} A_1 & A_2 \\ -A_2 & A_1 \end{pmatrix} \begin{pmatrix} \hat{x} \\ \hat{y} \end{pmatrix}$$

$$q_1 = \text{atan2}(-A_2 \hat{x} + A_1 \hat{y}, A_1 \hat{x} + A_2 \hat{y})$$

Nota 1. Per quanto riguarda lo spazio operativo, valgono le stesse considerazioni dello Stanford a 3DoF

Risolviamo ora le equazioni per gli ultimi tre gradi di libertà.
Ricordando che:

$$R = R_{03} R_{36}$$

E che R_{03} è ora nota, per le proprietà delle matrici di rotazione possiamo scrivere:

$$R_{36} = R_{03}^T R = \begin{pmatrix} \hat{r}_{11} & \hat{r}_{12} & \hat{r}_{13} \\ \hat{r}_{21} & \hat{r}_{22} & \hat{r}_{23} \\ \hat{r}_{31} & \hat{r}_{32} & \hat{r}_{33} \end{pmatrix} = \begin{pmatrix} c_4 c_5 c_6 - s_4 s_6 & -c_4 c_5 s_6 - s_4 c_6 & c_4 s_5 \\ c_4 s_6 + s_4 c_5 c_6 & c_4 c_6 - s_4 c_5 s_6 & s_4 s_5 \\ -s_5 c_6 & s_5 s_6 & c_5 \end{pmatrix}$$

Ne deduciamo che:

$$c_5 = \hat{r}_{33} \longrightarrow s_5 = \pm \sqrt{1 - c_5^2} = \pm \sqrt{1 - \hat{r}_{33}^2} \longrightarrow q_5 = \text{atan2}\left(\pm \sqrt{1 - \hat{r}_{33}^2}, \hat{r}_{33}\right)$$

$$\begin{cases} c_4 s_5 = \hat{r}_{13} \\ s_4 s_5 = \hat{r}_{23} \end{cases} \longrightarrow \begin{cases} \pm c_4 s_5 = \hat{r}_{13} \longrightarrow c_4 = \frac{\hat{r}_{13}}{\pm \sqrt{1 - \hat{r}_{33}^2}} \\ \pm s_4 s_5 = \hat{r}_{23} \longrightarrow s_4 = \frac{\hat{r}_{23}}{\pm \sqrt{1 - \hat{r}_{33}^2}} \end{cases} \longrightarrow q_4 = \text{atan2}\left(\pm \frac{\hat{r}_{23}}{\sqrt{1 - \hat{r}_{33}^2}}, \pm \frac{\hat{r}_{13}}{\sqrt{1 - \hat{r}_{33}^2}}\right)$$

$$\begin{cases} -s_5 c_6 = \hat{r}_{31} \\ s_5 s_6 = \hat{r}_{32} \end{cases} \longrightarrow \begin{cases} \mp s_5 c_6 = \hat{r}_{31} \longrightarrow c_6 = \frac{\hat{r}_{31}}{\pm \sqrt{1 - \hat{r}_{33}^2}} \\ \pm s_5 s_6 = \hat{r}_{32} \longrightarrow s_6 = \frac{\hat{r}_{32}}{\pm \sqrt{1 - \hat{r}_{33}^2}} \end{cases} \longrightarrow q_6 = \text{atan2}\left(\pm \frac{\hat{r}_{32}}{\sqrt{1 - \hat{r}_{33}^2}}, \mp \frac{\hat{r}_{31}}{\sqrt{1 - \hat{r}_{33}^2}}\right)$$

```

(%i17) R(alpha,beta,gamma):=block([R],
  R:rodrigues(matrix([0],[0],[1]),alpha).rodrigues(matrix([0],[1],[0]),
  beta).rodrigues(matrix([0],[0],[1]),gamma),return(R)
)$

(%i18) cinInv(x,y,z,alpha,beta,gamma,L1,L2,L6):=block(
[P, xh, yh, zh, Ph, R, q1, q2, q3, q4, q5, q6, s1, c1, s2, c2, c4, s4, c5,
s5, c6, s6, det, sol],
  P:matrix([x],[y],[z]),
  R:R(alpha,beta,gamma),
  Ph:P-R.matrix([0],[0],[1])*L6,
  print("Orientamento Desiderato R[z,y,z]= ",R),
  print("Posizione Desiderata dell'End-Effector P= ",P),
  xh:Ph[1][1],yh:Ph[2][1],zh:Ph[3][1],
  q3:sqrt(yh^2+xh^2+(zh-L1)^2-L2^2),
  q3:[q3, -q3], /*print(q3,"= ",q3),*/
  c2:[(zh-L1)/q3[1],(zh-L1)/q3[2]],
  s2:[sqrt(xh^2+yh^2-L2^2)/q3[1],sqrt(xh^2+yh^2-L2^2)/q3[2]],
  q2:[atan2(s2[1],c2[1]),atan2(s2[2],c2[2])],
  /*print(cos(q2),"= ",c2),print(sin(q2),"= ",s2),
  print(q2,"=",q2),*/
  det:xh^2+yh^2,
  c1:[(q3[1]*s2[1]*xh+yh*L2)/det,(q3[2]*s2[2]*xh+yh*L2)/det],
  s1:[(q3[1]*yh*s2[1]-xh*L2)/det,(q3[2]*yh*s2[2]-xh*L2)/det],
  q1:[atan2(s1[1],c1[1]),atan2(s1[2],c1[2])],
  /*print(cos(q1),"= ",c1),print(sin(q1),"= ",s1),
  print(q1,"=",q1),*/
  R03t:[transpose(submatrix(4,Q03(q1[1],q2[1],q3[1],L1,L2),4)),
        transpose(submatrix(4,Q03(q1[2],q2[2],q3[2],L1,L2),4))],
  Rh:[R03t[1].R,R03t[2].R], sol:[],
  for i:1 thru 2 do(
    c5:Rh[i][3][3],
    s5:sqrt(1-c5^2),s5:[s5,-s5],
    q5:[atan2(s5[1],c5),atan2(s5[2],c5)],
    c6:[-Rh[i][3][1]/s5[1],-Rh[i][3][1]/s5[2]],
    s6:[Rh[i][3][2]/s5[1],Rh[i][3][2]/s5[2]],
    q6:[atan2(s6[1],c6[1]),atan2(s6[2],c6[2])],
    c4:[Rh[i][1][3]/s5[1],Rh[i][1][3]/s5[2]],
    s4:[Rh[i][2][3]/s5[1],Rh[i][2][3]/s5[2]],
    q4:[atan2(s4[1],c4[1]),atan2(s4[2],c4[2])],
    sol:append(sol,
      [matrix([q1[i]],[q2[i]],[q3[i]],[q4[1]],[q5[1]],[q6[1]]),
       matrix([q1[i]],[q2[i]],[q3[i]],[q4[2]],[q5[2]],[q6[2]])]),
  ),
  return(sol)
)$

(%i62)
(%i19) sol:cinInv(3,2,1,%pi/2,%pi/2,%pi,1,1,1)

```

$$\text{Orientamento Desiderato } R[z,y,z] = \begin{pmatrix} 0 & 1 & 0 \\ 0 & 0 & 1 \\ 1 & 0 & 0 \end{pmatrix}$$

$$\text{Posizione Desiderata dell'End-Effector } P = \begin{pmatrix} 3 \\ 2 \\ 1 \end{pmatrix}$$

$$(\%o19) \left[\begin{pmatrix} 0 \\ \frac{\pi}{2} \\ 3 \\ \pi \\ \frac{\pi}{2} \\ \frac{\pi}{2} \end{pmatrix}, \begin{pmatrix} 0 \\ \frac{\pi}{2} \\ 3 \\ 0 \\ -\frac{\pi}{2} \\ -\frac{\pi}{2} \end{pmatrix}, \begin{pmatrix} 0 \\ -\frac{\pi}{2} \\ -3 \\ \pi \\ \frac{\pi}{2} \\ -\frac{\pi}{2} \end{pmatrix}, \begin{pmatrix} 0 \\ -\frac{\pi}{2} \\ -3 \\ 0 \\ -\frac{\pi}{2} \\ \frac{\pi}{2} \end{pmatrix} \right]$$

```
(%i20) test(sol,L1,L2,L6):=block([t],
  for i:1 thru length(sol) do(
    t:stanford6dof(sol[i][1][1],sol[i][2][1],sol[i][3][1],
      sol[i][4][1],sol[i][5][1],sol[i][6][1],L1,L2,L6),
    print("sol",[i],"= ",transpose(sol[i]),"->",t)
  )
)$
(%i21) test(sol,1,1,1)
```

$$\begin{aligned} \text{sol}[1] &= \begin{pmatrix} 0 & \frac{\pi}{2} & 3 & \pi & \frac{\pi}{2} & \frac{\pi}{2} \end{pmatrix} \rightarrow \begin{pmatrix} 0 & 1 & 0 & 3 \\ 0 & 0 & 1 & 2 \\ 1 & 0 & 0 & 1 \\ 0 & 0 & 0 & 1 \end{pmatrix} \\ \text{sol}[2] &= \begin{pmatrix} 0 & \frac{\pi}{2} & 3 & 0 & -\frac{\pi}{2} & -\frac{\pi}{2} \end{pmatrix} \rightarrow \begin{pmatrix} 0 & 1 & 0 & 3 \\ 0 & 0 & 1 & 2 \\ 1 & 0 & 0 & 1 \\ 0 & 0 & 0 & 1 \end{pmatrix} \\ \text{sol}[3] &= \begin{pmatrix} 0 & -\frac{\pi}{2} & -3 & \pi & \frac{\pi}{2} & -\frac{\pi}{2} \end{pmatrix} \rightarrow \begin{pmatrix} 0 & 1 & 0 & 3 \\ 0 & 0 & 1 & 2 \\ 1 & 0 & 0 & 1 \\ 0 & 0 & 0 & 1 \end{pmatrix} \\ \text{sol}[4] &= \begin{pmatrix} 0 & -\frac{\pi}{2} & -3 & 0 & -\frac{\pi}{2} & \frac{\pi}{2} \end{pmatrix} \rightarrow \begin{pmatrix} 0 & 1 & 0 & 3 \\ 0 & 0 & 1 & 2 \\ 1 & 0 & 0 & 1 \\ 0 & 0 & 0 & 1 \end{pmatrix} \end{aligned}$$

```
(%o21) done
(%i22)
```

**Problema dell'Orientamento Inverso per Strutture Portanti
con Terne di Eulero**

1. Robot Cartesiano

La matrice di rotazione nella cinematica diretta è:

$$R = \begin{pmatrix} 0 & 0 & 1 \\ 0 & -1 & 0 \\ 1 & 0 & 0 \end{pmatrix}$$

Scegliamo la terna $\{z, y, z\}$:

$$R_{\{z, y, z\}}(\phi) = R_z(\gamma)R_y(\beta)R_z(\alpha) = \begin{pmatrix} c_\alpha c_\beta c_\gamma - s_\alpha s_\gamma & -c_\alpha c_\beta s_\gamma - s_\alpha c_\gamma & c_\alpha s_\beta \\ c_\alpha s_\gamma + s_\alpha c_\beta c_\gamma & c_\alpha c_\gamma - s_\alpha c_\beta s_\gamma & s_\alpha s_\beta \\ -s_\beta c_\gamma & s_\beta s_\gamma & c_\beta \end{pmatrix}$$

Vediamo che la scelta di tale terna non è mai singolare:

$$c_\beta = 0 \neq \pm 1 \longrightarrow s_\beta = \pm \sqrt{1 - c_\beta^2} = \pm 1 \longrightarrow \beta = \text{atan2}(\pm 1, 0) = \begin{cases} \frac{\pi}{2} \\ -\frac{\pi}{2} \end{cases}$$

Da cui:

$$\begin{aligned} \begin{cases} c_\alpha s_\beta = 1 \\ s_\alpha s_\beta = 0 \end{cases} &\longrightarrow \begin{cases} \pm c_\alpha = 1 \longrightarrow c_\alpha = \pm 1 \\ \pm s_\alpha = 0 \longrightarrow s_\alpha = 0 \end{cases} \longrightarrow \alpha = \text{atan2}(0, \pm 1) = \begin{cases} 0 \\ \pi \end{cases} \\ \begin{cases} -s_\beta c_\gamma = 1 \\ s_\beta s_\gamma = 0 \end{cases} &\longrightarrow \begin{cases} \mp c_\gamma = 1 \longrightarrow c_\gamma = \mp 1 \\ \pm s_\gamma = 0 \longrightarrow s_\gamma = 0 \end{cases} \longrightarrow \gamma = \text{atan2}(0, \mp 1) = \begin{cases} \pi \\ 0 \end{cases} \end{aligned}$$

Riassumendo:

$$\begin{pmatrix} 0 \\ \frac{\pi}{2} \\ \pi \end{pmatrix}, \begin{pmatrix} \pi \\ -\frac{\pi}{2} \\ 0 \end{pmatrix}$$

2. Robot Cilindrico

La matrice di rotazione nella cinematica diretta è:

$$R = \begin{pmatrix} c_1 & 0 & -s_1 \\ s_1 & 0 & c_1 \\ 0 & -1 & 0 \end{pmatrix}$$

Scegliamo la terna $\{y, x, y\}$

$$R_{\{y,x,y\}}(\phi) = R_y(\gamma)R_x(\beta)R_y(\alpha) = \begin{pmatrix} c_\alpha c_\gamma - s_\alpha c_\beta s_\gamma & s_\beta s_\gamma & c_\alpha c_\beta s_\gamma + s_\alpha c_\gamma \\ s_\alpha s_\beta & c_\beta & -c_\alpha s_\beta \\ -c_\alpha s_\gamma - s_\alpha c_\beta c_\gamma & s_\beta c_\gamma & c_\alpha c_\beta c_\gamma - s_\alpha s_\gamma \end{pmatrix}$$

Notiamo che la terna scelta non è mai singolare. Difatti:

$$c_\beta = 0 \neq \pm 1 \longrightarrow s_\beta = \pm \sqrt{1 - c_\beta^2} = \pm 1 \longrightarrow \beta = \text{atan2}(\pm 1, 0) = \begin{cases} \frac{\pi}{2} \\ -\frac{\pi}{2} \end{cases}$$

Da cui:

$$\begin{cases} s_\gamma s_\beta = 0 \\ c_\gamma s_\beta = -1 \end{cases} \longrightarrow \begin{cases} \pm s_\gamma = 0 \longrightarrow s_\gamma = 0 \\ \pm c_\gamma = -1 \longrightarrow c_\gamma = \mp 1 \end{cases} \longrightarrow \gamma = \text{atan2}(0, \mp 1) = \begin{cases} \pi \\ 0 \end{cases}$$

$$\begin{cases} s_\beta s_\alpha = s_1 \\ -s_\beta c_\alpha = c_1 \end{cases} \longrightarrow \begin{cases} \pm s_\alpha = s_1 \longrightarrow s_\alpha = \pm s_1 \\ \mp c_\alpha = c_1 \longrightarrow c_\alpha = \mp c_1 \end{cases} \longrightarrow \alpha = \text{atan2}(\pm s_1, \mp c_1) = \begin{cases} \pi - q_1 \\ -q_1 \end{cases}$$

Riassumendo:

$$\begin{pmatrix} \pi - q_1 \\ \frac{\pi}{2} \\ \pi \end{pmatrix}, \begin{pmatrix} -q_1 \\ -\frac{\pi}{2} \\ 0 \end{pmatrix}$$

3. Robot SCARA

Dalla cinematica diretta abbiamo:

$$R = \begin{pmatrix} c_{12} & -s_{12} & 0 \\ s_{12} & c_{12} & 0 \\ 0 & 0 & 1 \end{pmatrix}$$

Scegliamo la terna $\{x, z, x\}$

$$R_{\{x,z,x\}}(\phi) = R_x(\gamma)R_z(\beta)R_x(\alpha) = \begin{pmatrix} c_\beta & -s_\beta c_\gamma & s_\beta s_\gamma \\ c_\alpha s_\beta & c_\alpha c_\beta c_\gamma - s_\alpha s_\gamma & -c_\alpha c_\beta s_\gamma - s_\alpha c_\gamma \\ s_\alpha s_\beta & c_\alpha s_\gamma + s_\alpha c_\beta c_\gamma & c_\alpha c_\gamma - s_\alpha c_\beta s_\gamma \end{pmatrix}$$

Notiamo che potrebbe esserci una singolarità:

$$c_\beta = c_{12} \longrightarrow s_\beta = \pm \sqrt{1 - c_\beta^2} = \pm \sqrt{1 - c_{12}^2} = \pm s_{12} \longrightarrow \beta = \text{atan2}(\pm s_{12}, c_{12}) = \begin{cases} \pi - (q_1 + q_2) \\ \pi + q_1 + q_2 \end{cases}$$

Se $c_{12} \neq \pm 1$ non siamo in condizioni singolare, pertanto la soluzione trovata è valida.

Allora:

$$\begin{cases} c_\alpha s_\beta = s_{12} \\ s_\alpha s_\beta = 0 \end{cases} \longrightarrow \begin{cases} \pm s_{12} c_\alpha = s_{12} \longrightarrow c_\alpha = \pm 1 \\ \pm s_\alpha = 0 \longrightarrow s_\alpha = 0 \end{cases} \longrightarrow \alpha = \text{atan2}(0, \pm 1) = \begin{cases} 0 \\ \pi \end{cases}$$

$$\begin{cases} -s_\beta c_\gamma = -s_{12} \\ s_\beta s_\gamma = 0 \end{cases} \longrightarrow \begin{cases} \mp s_{12} c_\gamma = -s_{12} \longrightarrow c_\gamma = \pm 1 \\ \pm s_{12} s_\gamma = 0 \longrightarrow s_\gamma = 0 \end{cases} \longrightarrow \gamma = \text{atan2}(0, \pm 1) = \begin{cases} 0 \\ \pi \end{cases}$$

Riassumendo:

$$\begin{pmatrix} 0 \\ \pi - (q_1 + q_2) \\ \pi \end{pmatrix}, \begin{pmatrix} 0 \\ \pi + q_1 + q_2 \\ \pi \end{pmatrix}$$

4. Robot Sferico di Primo Tipo

Dalla cinematica diretta abbiamo

$$R = \begin{pmatrix} c_1 c_2 & s_1 & c_1 s_2 \\ s_1 c_2 & -c_1 & s_1 s_2 \\ s_2 & 0 & -c_2 \end{pmatrix}$$

Scegliamo la terna $\{z, y, z\}$

$$R_{\{z, y, z\}}(\phi) = R_z(\gamma) R_y(\beta) R_z(\alpha) = \begin{pmatrix} c_\alpha c_\beta c_\gamma - s_\alpha s_\gamma & -c_\alpha c_\beta s_\gamma - s_\alpha c_\gamma & c_\alpha s_\beta \\ c_\alpha s_\gamma + s_\alpha c_\beta c_\gamma & c_\alpha c_\gamma - s_\alpha c_\beta s_\gamma & s_\alpha s_\beta \\ -s_\beta c_\gamma & s_\beta s_\gamma & c_\beta \end{pmatrix}$$

Questa terna potrebbe presentare una singolarità. Infatti:

$$c_\beta = -c_2 \longrightarrow s_\beta = \pm \sqrt{1 - c_\beta^2} = \pm s_2 \longrightarrow \beta = \text{atan2}(\pm s_2, -c_2) = \begin{cases} \pi - q_2 \\ \pi + q_2 \end{cases}$$

Se $c_\beta \neq \pm 1$ non siamo in condizioni singolari, pertanto la soluzione trovata è valida. Quindi:

$$\begin{cases} c_\alpha s_\beta = c_1 s_2 \\ s_\alpha s_\beta = s_1 s_2 \end{cases} \longrightarrow \begin{cases} \pm s_2 c_\alpha = c_1 s_2 \longrightarrow c_\alpha = \pm c_1 \\ \pm s_2 s_\alpha = s_1 s_2 \longrightarrow s_\alpha = \pm s_1 \end{cases} \longrightarrow \alpha = \text{atan2}(\pm s_1, \pm c_1) = \begin{cases} q_1 \\ -q_1 \end{cases}$$

$$\begin{cases} -s_\beta c_\gamma = s_2 \\ s_\beta s_\gamma = 0 \end{cases} \longrightarrow \begin{cases} \mp s_2 c_\gamma = s_2 \longrightarrow c_\gamma = \pm 1 \\ \pm s_2 s_\gamma = 0 \longrightarrow s_\gamma = 0 \end{cases} \longrightarrow \gamma = \text{atan2}(0, \pm 1) = \begin{cases} 0 \\ \pi \end{cases}$$

Riassumendo:

$$\begin{pmatrix} q_1 \\ \pi - q_2 \\ 0 \end{pmatrix}, \begin{pmatrix} -q_1 \\ \pi + q_2 \\ \pi \end{pmatrix}$$

5. Robot Sferico di II Tipo - Stanford

Dalla cinematica diretta abbiamo:

$$R = \begin{pmatrix} s_1 & c_1 c_2 & c_1 s_2 \\ -c_1 & s_1 c_2 & s_1 s_2 \\ 0 & -s_2 & c_2 \end{pmatrix}$$

Scegliamo la terna $\{z, y, z\}$

$$R_{\{z, y, z\}}(\phi) = R_z(\gamma) R_y(\beta) R_z(\alpha) = \begin{pmatrix} c_\alpha c_\beta c_\gamma - s_\alpha s_\gamma & -c_\alpha c_\beta s_\gamma - s_\alpha c_\gamma & c_\alpha s_\beta \\ c_\alpha s_\gamma + s_\alpha c_\beta c_\gamma & c_\alpha c_\gamma - s_\alpha c_\beta s_\gamma & s_\alpha s_\beta \\ -s_\beta c_\gamma & s_\beta s_\gamma & c_\beta \end{pmatrix}$$

La terna scelta potrebbe presentare una singolarità. Infatti:

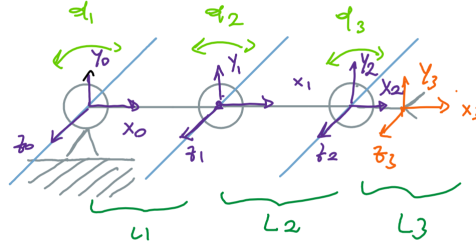
$$c_\beta = c_2 \longrightarrow s_\beta = \pm \sqrt{1 - c_\beta^2} = \pm s_2 \longrightarrow \beta = \text{atan2}(\pm s_2, c_2) = \begin{cases} q_2 \\ \pi - q_2 \end{cases}$$

Se $c_\beta \neq \pm 1$ non siamo in condizioni singolari, pertanto la soluzione trovata è valida. Allora:

$$\begin{cases} c_\alpha s_\beta = c_1 s_2 \\ s_\alpha s_\beta = s_1 s_2 \end{cases} \longrightarrow \begin{cases} \pm s_2 c_\alpha = c_1 s_2 \longrightarrow c_\alpha = \pm c_1 \\ \pm s_2 s_\alpha = s_1 s_2 \longrightarrow s_\alpha = \pm s_1 \end{cases} \longrightarrow \alpha = \text{atan2}(\pm s_1, \pm c_1) = \begin{cases} q_1 \\ -q_1 \end{cases}$$

$$\begin{cases} -s_\beta c_\gamma = 0 \\ s_\beta s_\gamma = -s_2 \end{cases} \longrightarrow \begin{cases} \mp s_2 c_\gamma = 0 \longrightarrow c_\gamma = 0 \\ \pm s_2 s_\gamma = -s_2 \longrightarrow s_\gamma = \mp 1 \end{cases} \longrightarrow \gamma = \text{atan2}(\mp 1, 0) = \begin{cases} -\frac{\pi}{2} \\ \frac{\pi}{2} \end{cases}$$

Robot 3 DoF Planare



	θ	d	α	a
1	q_1	0	0	L_1
2	q_2	0	0	L_2
3	q_3	0	0	L_3

Tabella 1. D - H per robot 3 DOF

Cinematica Diretta

```
(%i9) threeDofPlanar(q1,q2,q3,L1,L2,L3):=block(
    [Q01, Q12, Q23, Q03],
    Q01:Q(q1,0,0,L1),
    Q12:Q(q2,0,0,L2),
    Q23:Q(q3,0,0,L3),
    Q03:trigreduce(trigreduce(Q01.Q12).Q23),
    return(Q03)
)$

(%i10) DH:threeDofPlanar(q[1],q[2],q[3],L[1],L[2],L[3])

(%o10) (cos(q3+q2+q1), -sin(q3+q2+q1), 0, L3 cos(q3+q2+q1) + L2 cos(q2+q1) +
L1 cos(q1); sin(q3+q2+q1), cos(q3+q2+q1), 0, L3 sin(q3+q2+q1) + L2 sin(q2+q1) + L1 sin(q1);
0, 0, 1, 0; 0, 0, 0, 1)

(%i11) ridef(DH,q[1],q[2],q[3])

(%o11) 
$$\begin{pmatrix} c_{123} & -s_{123} & 0 & L_3 c_{123} + L_2 c_{12} + L_1 c_1 \\ s_{123} & c_{123} & 0 & L_3 s_{123} + L_2 s_{12} + L_1 s_1 \\ 0 & 0 & 1 & 0 \\ 0 & 0 & 0 & 1 \end{pmatrix}$$


(%i12)
```

Cinematica Inversa

Dalla cinematica diretta vediamo che la posizione finale dell'end-effector è:

$$P = \begin{pmatrix} x \\ y \\ z \end{pmatrix} = \begin{pmatrix} L_3 c_{123} + L_2 c_{12} + L_1 c_1 \\ L_3 s_{123} + L_2 s_{12} + L_1 s_1 \\ 0 \end{pmatrix}$$

L'orientamento è determinato da una matrice di rotazione complessiva del tipo:

$$R(\phi) = R(q_3 + q_2 + q_1) = \begin{pmatrix} c_{123} & -s_{123} & 0 \\ s_{123} & c_{123} & 0 \\ 0 & 0 & 1 \end{pmatrix}$$

Possiamo allora imporre il sistema seguente:

$$\begin{cases} x = L_3 c_{123} + L_2 c_{12} + L_1 c_1 \\ y = L_3 s_{123} + L_2 s_{12} + L_1 s_1 \\ z = 0 \\ \phi = q_1 + q_2 + q_3 \end{cases} \rightarrow \begin{cases} \begin{pmatrix} x \\ y \end{pmatrix} = R_{123} \begin{bmatrix} L_3 \\ 0 \end{bmatrix} + R_{12} \begin{bmatrix} L_2 \\ 0 \end{bmatrix} + R_1 \begin{bmatrix} L_1 \\ 0 \end{bmatrix} \\ \phi = q_1 + q_2 + q_3 \end{cases}$$

Dove con R_{123} , R_{12} e R_1 indichiamo le matrici di rotazione. Poiché conosciamo ϕ , conosciamo anche R_{123} , ovvero: $R(\phi) = R_{123}$.

Indicando allora con $\hat{P} = \begin{pmatrix} \hat{x} \\ \hat{y} \end{pmatrix} = \begin{pmatrix} x \\ y \end{pmatrix} - R_{123} \begin{bmatrix} L_3 \\ 0 \end{bmatrix}$ la posizione del “polso” del robot, trasformiamo il problema della cinematica inversa del 3DOF in quello del 2DOF, pertanto abbiamo:

$$\begin{pmatrix} \hat{x} \\ \hat{y} \end{pmatrix} = R_{12} \begin{bmatrix} L_2 \\ 0 \end{bmatrix} + R_1 \begin{bmatrix} L_1 \\ 0 \end{bmatrix} = R_1 \left(R_2 \begin{bmatrix} L_2 \\ 0 \end{bmatrix} + \begin{bmatrix} L_1 \\ 0 \end{bmatrix} \right)$$

Poiché R_1 è una matrice di rotazione è anche isometrica, pertanto mantiene la norma anche dopo il prodotto. Uguagliando le norme troviamo quindi che:

$$\hat{x} + \hat{y} = L_1^2 + L_2^2 + 2L_1L_2c_2 \quad \rightarrow \quad c_2 = \frac{\hat{x} + \hat{y} - L_1^2 - L_2^2}{2L_1L_2} \quad \rightarrow \quad s_2 = \pm \sqrt{1 - c_2^2}$$

$$q_2 = \text{atan2}(\pm s_2, c_2)$$

Poiché $\cos(q_2) \in [-1, 1]$, possiamo individuare lo spazio operativo del robot, che coincide con una corona circolare di centro $(\hat{x}, \hat{y}, 0)$ e raggi $r_1 = |L_1 - L_2|$, $r_2 = L_1 + L_2$.

Ora che R_2 è nota, possiamo riscrivere l'equazione precedente come:

$$\begin{pmatrix} \hat{x} \\ \hat{y} \end{pmatrix} = \begin{pmatrix} c_1 & -s_1 \\ s_1 & c_1 \end{pmatrix} \begin{pmatrix} c_2L_2 + L_1 \\ s_2L_2 \end{pmatrix} = \begin{pmatrix} c_2L_2 + L_1 & -s_2L_2 \\ s_2L_2 & c_2L_2 + L_1 \end{pmatrix} \begin{pmatrix} c_1 \\ s_1 \end{pmatrix} = \begin{pmatrix} A & -B \\ B & A \end{pmatrix} \begin{pmatrix} c_1 \\ s_1 \end{pmatrix}$$

Dove $A = c_2L_2 + L_1$ e $B = s_2L_2$.

Invertendo la matrice formata dai coefficienti A e B, possiamo risolvere per trovare q_1 :

$$\begin{pmatrix} c_1 \\ s_1 \end{pmatrix} = \frac{1}{A^2 + B^2} \begin{pmatrix} A & B \\ -B & A \end{pmatrix} \begin{pmatrix} \hat{x} \\ \hat{y} \end{pmatrix}$$

$$c_1 = \frac{(c_2L_2 + L_1)\hat{x} + (s_2L_2)\hat{y}}{A^2 + B^2}$$

$$s_1 = \frac{-(s_2L_2)\hat{x} + (c_2L_2 + L_1)\hat{y}}{A^2 + B^2}$$

$$q_1 = \text{atan2}(s_1, c_1)$$

Poiché il determinante della matrice è sempre diverso da zero e positivo, possiamo semplificarlo.

Per determinare q_3 , conoscendo ϕ , si ha:

$$q_3 = \phi - q_1 - q_2$$

Osserviamo che, fissata una soluzione di q_2 otteniamo una sola soluzione di q_1 e q_3 .

Riassumendo:

$$\begin{pmatrix} q_1 \\ q_2 \\ q_3 \end{pmatrix}; \begin{pmatrix} q_1 \\ -q_2 \\ q_3 \end{pmatrix}$$

Robot 3-DoF Planare in Processing e Algoritmi Numerici per la sua Cinematica Inversa

Nelle pagine successive verrà listato il codice processing per la realizzazione del robot 3 Dof Planare e della sua cinematica diretta e inversa.

E' possibile interagire con il robot nei seguenti modi:

1. Click del mouse all'interno dello spazio operativo del robot (cerchio bianco), per spostare tramite cinematica inversa il robot.
2. Aumentare il valore delle variabili di giunto con i tasti 1, 2, 3.
3. Decrementare il valore delle variabili di giunto con i tasti 7, 8, 9.
4. Cambiare il gomito scelto dalla soluzione della cinematica inversa con il tasto "G"
5. Aumentare il valore dell'angolo che stabilisce l'orientamento desiderato nella cinematica inversa tramite il tasto "F".
6. Decrementare il valore dell'angolo che stabilisce l'orientamento desiderato nella cinematica inversa tramite il tasto "V".
7. Riportare il valore di tutte le variabili del robot ad un valore di default (zero), tramite il tasto "ENTER".

Osservazioni sull'Algoritmo di Newton

Il funzionamento dell'algoritmo si basa sulla riduzione dell'errore di stima con una dinamica d'errore a decrescita esponenziale.

La funzione di stima è soddisfatta dallo Jacobiano delle velocità del robot.

La versione implementata qui è ovviamente una sua versione discretizzata.

Vantaggi:

1. L'algoritmo è molto buono da un punto di vista numerico, con il vantaggio di avere una convergenza esponenziale e veloce.
2. E' inoltre poco affetto da disturbi come rumori ed incertezze.

Svantaggi:

1. Nella teoria funziona se non ci troviamo sopra una singolarità, ma nella pratica l'algoritmo ha problemi man mano che ci si avvicina ad una possibile posizione singolare

Questo è dovuto al fatto che se il $\det(J) \cong 0$, J^{-1} diventa molto grande e l'algoritmo è mal condizionato

2. Nella pratica risolvere le equazioni della stima delle variabili di giunto può essere molto complicato in quanto vi sono n soluzioni per n DOF, con termini trigonometrici.

Nota 1. Poiché risolvere le equazioni di stima è complesso, viene confusa la derivata con il rapporto incrementale.

Nota 2. Inizializzando in ambiente virtuale le variabili a zero, si pone l'algoritmo già in una situazione di singolarità, ed è pertanto necessario correggere manualmente il valore di q_2 ad un valore prossimo a zero.

Nota 3. Il robot in singolarità tende a "sbracciare", muovendosi a scatti nel tentativo di raggiungere una soluzione stabile.

Nota 4. (extra) CAMBIO DI GOMITO DELL'ALGORITMO DI NEWTON

Per avere un controllo sulla scelta del gomito selezionato dall'algoritmo, bisogna agire sul valore della soluzione del secondo giunto del robot. Inoltre, è importante mantenere il robot al di fuori dalle singolarità e muoverlo forzatamente verso la seconda soluzione possibile della cinematica inversa. Questo viene fatto sommando ad esso un angolo pari a π , con un opportuno segno che stabilisce quale delle due soluzioni è quella desiderata.

Osservazioni sull'algoritmo del Gradiente

Il funzionamento dell'algoritmo si basa sul concetto di "discesa del gradiente", nel senso che si vuole ripercorrere l'andamento della funzione gradiente in cerca dei suoi minimi locali, scegliendo di volta in volta la direzione verso la quale si percorre tale funzione per ottenere il minimo assoluto della funzione che descrive l'andamento del parametro da stimare.

La funzione di stima è soddisfatta dal trasposto dello Jacobiano delle velocità del robot.

Vantaggi:

1. A differenza dell'algoritmo di Newton, non soffre di problemi di mal condizionamento in prossimità delle singolarità.
2. Non essendoci delle divisioni all'interno della funzione di stima, ci sono meno problematiche dovute a divisioni per zero.

Svantaggi:

1. La stima è di tipo asintotico e non esponenziale, in quanto gli autovalori di $J \cdot J^T$ dipendono dalla funzione di stima, quindi la stima è di tipo asintotico e non esponenziale, in quanto gli autovalori di $J \cdot J^T$ dipendono dalla funzione di stima, quindi non possiamo essere certi sulla velocità con cui l'errore di stima tende a zero.
2. I parametri di aggiornamento della stima delle variabili di giunto influenzano pesantemente l'andamento della discesa. Se non calibrati accuratamente, l'algoritmo converge verso uno dei minimi locali della funzione, arrestando la stima.

Nota 5. Per avere stabilità asintotica, dovremmo avere che tutti gli autovalori di $J \cdot J^T$ siano a parte reale strettamente positiva. E' dimostrabile che ciò è vero se solo se il determinante di J è diverso da zero. In quel caso, la funzione di stima è definita negativa e quindi non si è mai in condizione singolare.

Se il $\det(J) = 0$, il nucleo di J contiene altri vettori oltre a quello nullo, ma che non possono quindi stare nel nucleo di J^T . Questo implica che in singolarità, potrebbero esserci errori di stima che appartengono al $\ker(J^T)$ e che danno luogo a stima nulla, provocando l'arresto dell'algoritmo prima di aver raggiunto un minimo assoluto.

Per evitare questo problema, è necessario spostare dalla singolarità il robot tramite assegnazione manuale delle variabili di giunto, dopo la quale l'algoritmo torna a stimare correttamente.

Nota 6. Riguardo ai parametri di aggiornamento della stima, relativamente all'esempio implementato da me, è stato trovato che per i primi due gradi di libertà non si ha una convergenza al minimo assoluto al di sotto di 10^{-5} , mentre per il parametro di stima dell'orientamento è necessario un valore dell'ordine di 10^{-10} .

Se andiamo verso ordini più bassi, la discesa diventa troppo lenta per essere accettabile.

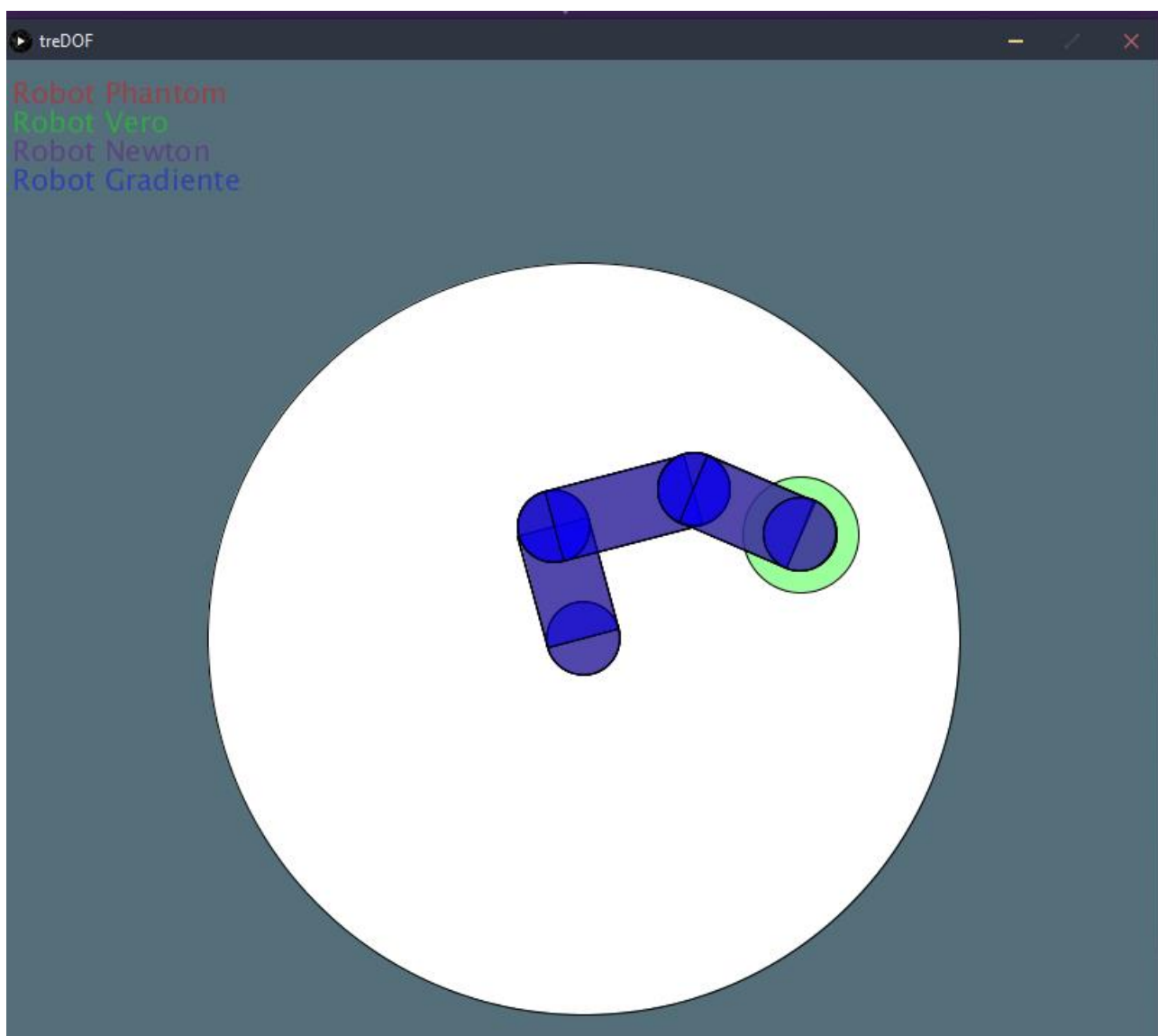


Figura 1 Gomito Alto

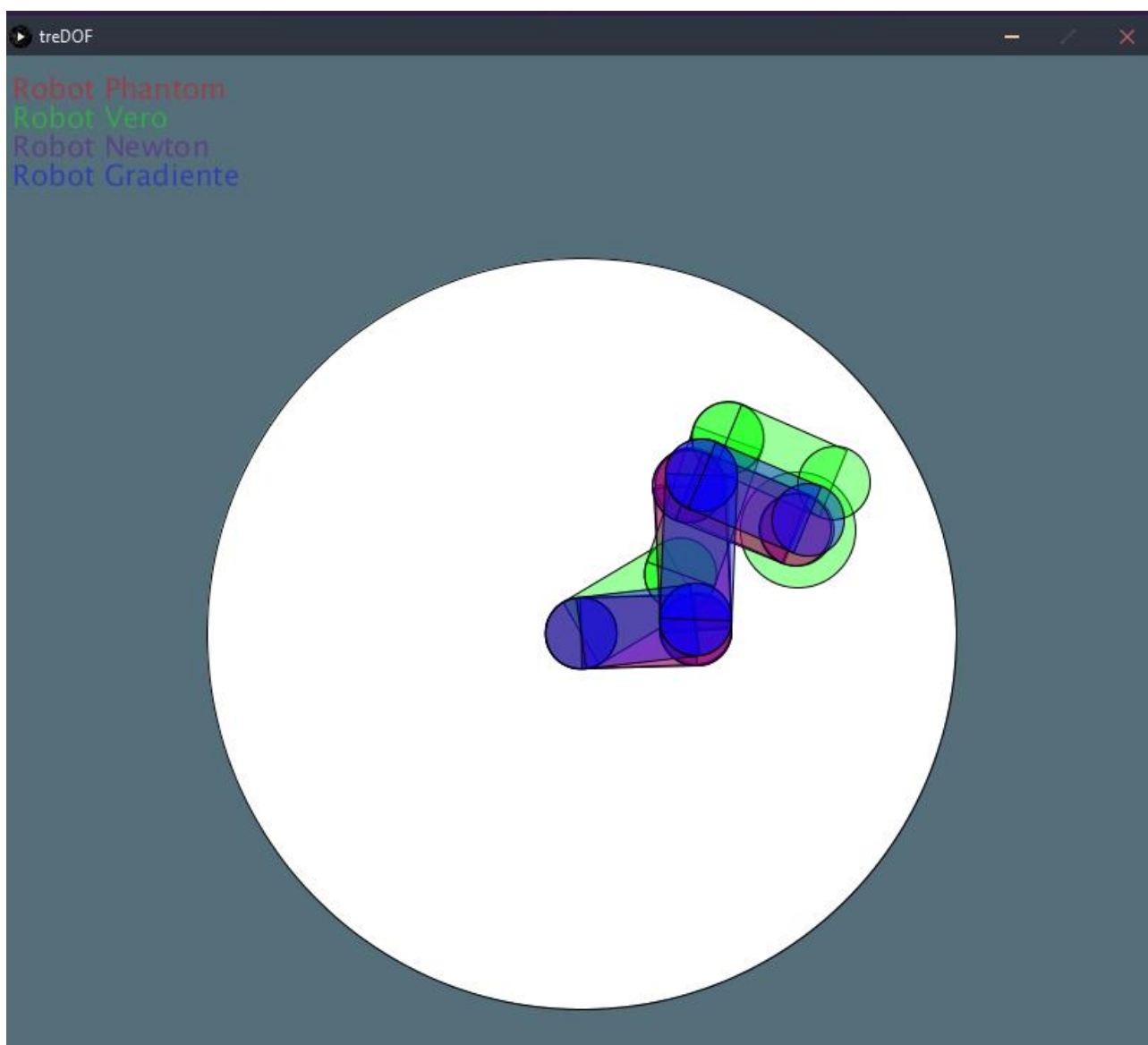


Figura 2 Cambio Gomito

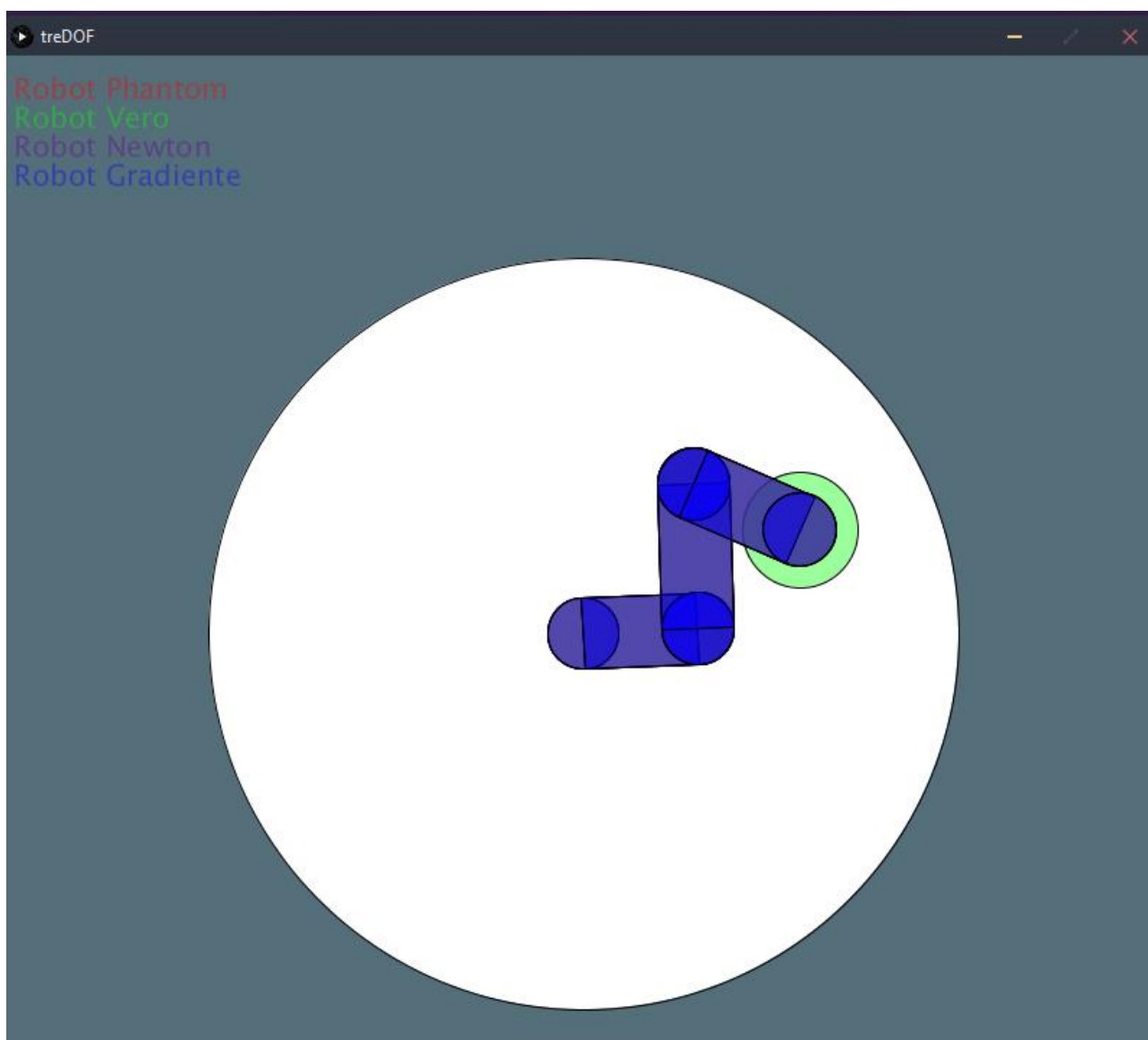


Figura 3 Gomito Basso

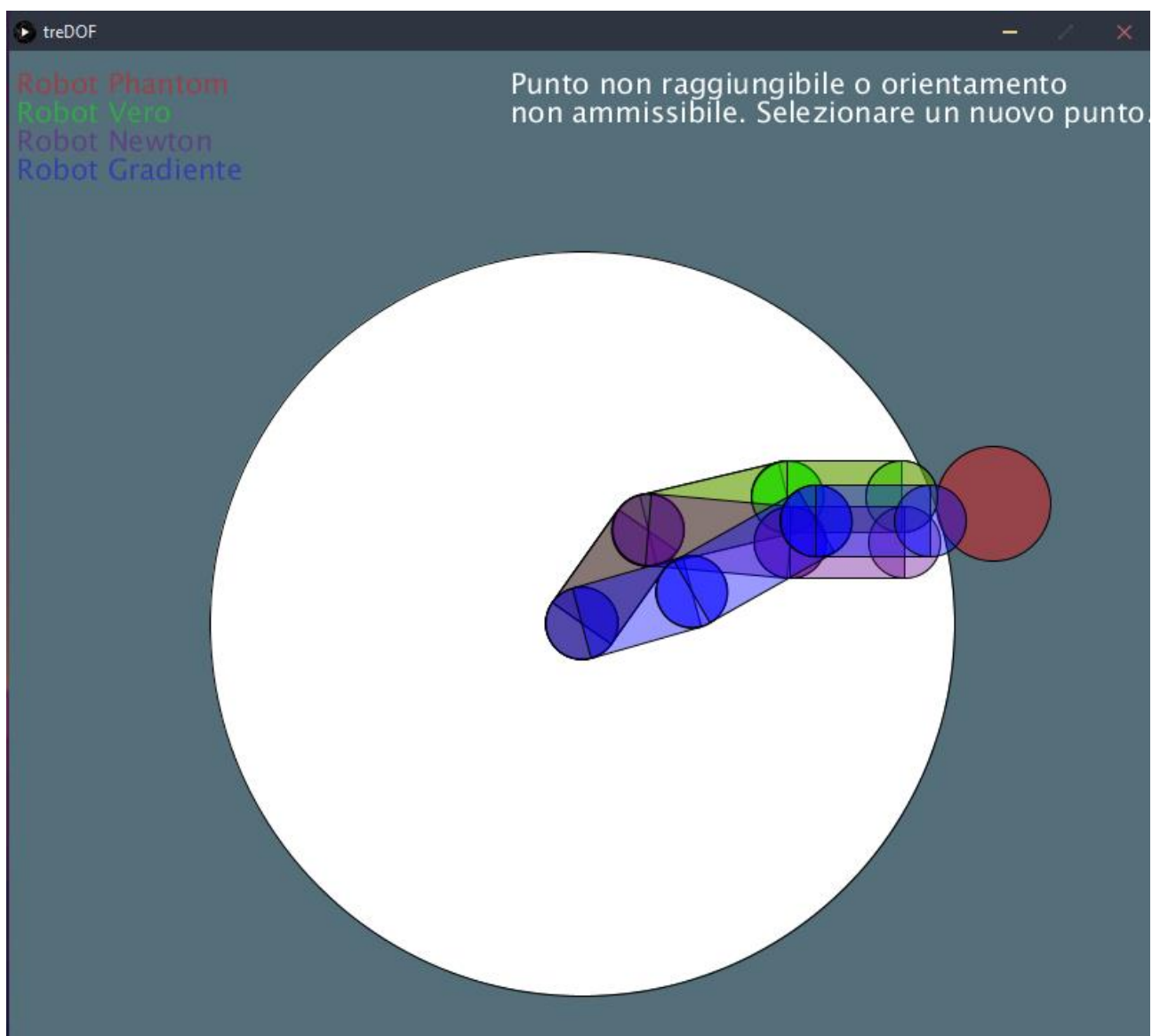


Figura 4 Punto Non Raggiungibile

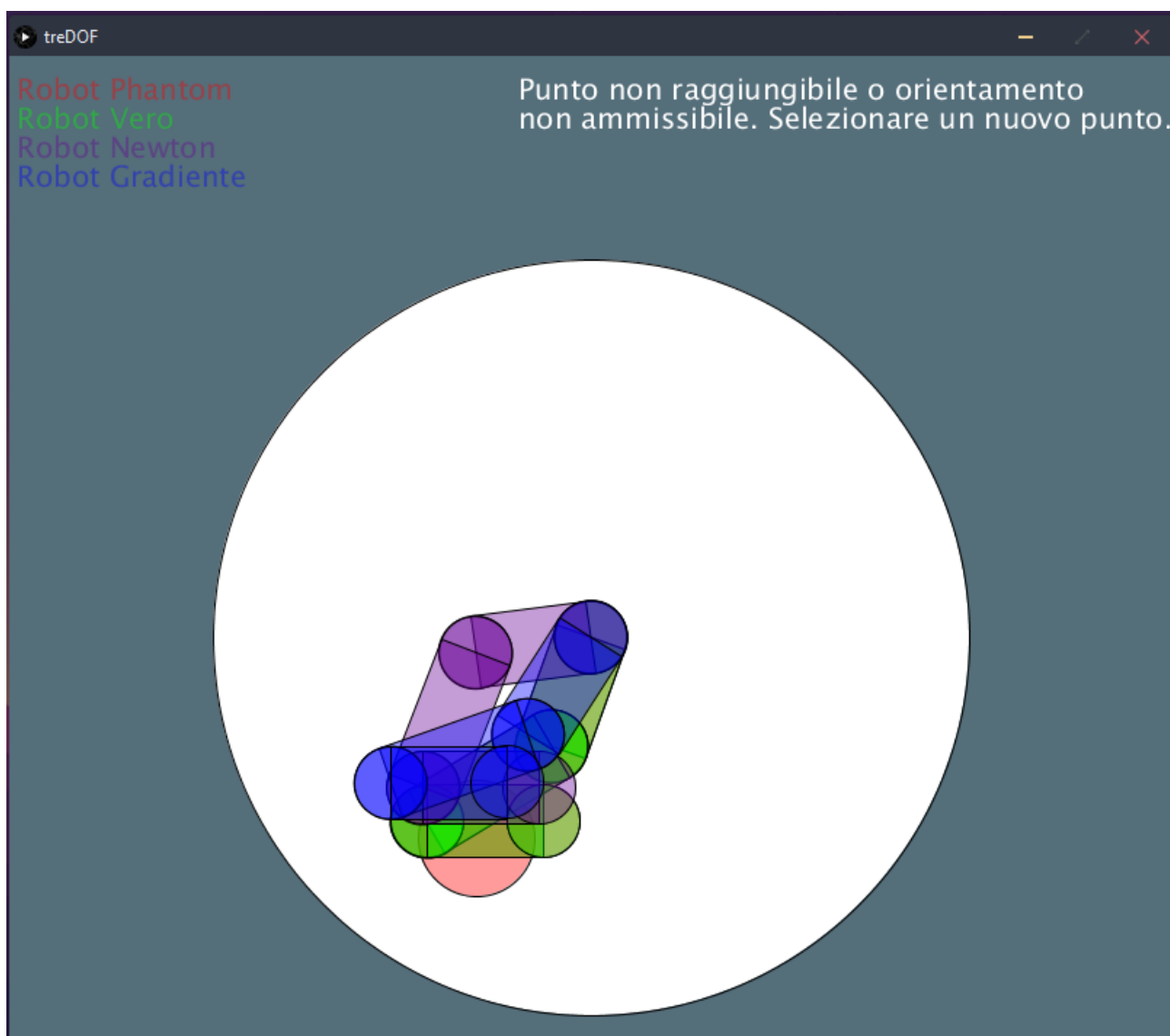


Figura 5 Punto non raggiungibile con orientamento dato

```

1 // definisco dimensioni link
2 int L1 = 80;
3 int L2 = 100;
4 int L3 = 80;
5 int larg = 50;
6 int ray = 50;
7
8 // variabili del robot phantom
9 color rgb = color(255,0,0,100);
10 float q1 = 0.0;
11 float q2 = 0.0;
12 float q3 = 0.0;
13
14 // le variabili del robot effettivo.
15 color rgbV = color(0,255,0,100);
16 float q1v = 0.0;
17 float q2v = 0.0;
18 float q3v = 0.0;
19
20 // guadagno della legge di controllo proporzionale
21 float K = 0.05;
22
23 // posizione desiderata per cinematica inversa
24 float x = 0.0;
25 float y = L1 + L2 + L3;
26
27 // controllo del gomito
28 float g = 1.0; // gomito
29
30 // posizione del polso del tre dof
31 float xh = 0.0;
32 float yh = 0.0;
33 color target_color = color(255,0);
34
35 // orientamento desiderato
36 float phi = 0.0;
37
38 void setup() {
39     size(800, 800);
40     background(#546e7a);
41 }
42
43 void draw() {
44     background(#546e7a);
45     pushMatrix(); // salvo s.d.r.
46     translate(width / 2, height / 2); // traslo
47     opSpace(L1, L2, L3); // disegno limite dello spazio operativo
48     target(ray);
49     treDoF(ray, L1, L2, L3, larg, q1, q2, q3, rgb); // disegno robot phantom.
50     popMatrix(); // elimino s.d.r.
51     controllo(K); // inserisco legge di controllo
52     pushMatrix(); // risalvo s.d.r.
53     translate(width / 2, height / 2); // traslo
54     treDoF(ray, L1, L2, L3, larg, q1v, q2v, q3v, rgbV); // disegno robot vero.
55     popMatrix(); // elimino s.d.r.
56
57     newton();
58     pushMatrix(); // risalvo s.d.r.
59     translate(width / 2, height / 2); // traslo
60     treDoF(ray, L1, L2, L3, larg, q_1 - PI / 2, q_2, q_3, rgbN); // disegno robot vero.
61     popMatrix(); // elimino s.d.r.
62
63     gradient();
64     // adam();
65     pushMatrix(); // risalvo s.d.r.
66     translate(width / 2, height / 2); // traslo

```



```

67 treDoF(ray, L1, L2, L3, larg, q_1g - PI / 2, q_2g, q_3g, rgbG); // disegno robot vero.
68 popMatrix(); // elimino s.d.r.
69
70 textSize(20);
71 textLeading(20);
72 fill(rgb);
73 text("Robot Phantom", 5, 30);
74 fill(rgbV);
75 text("Robot Vero", 5, 50);
76 fill(rgbN);
77 text("Robot Newton", 5, 70);
78 fill(rgbG);
79 text("Robot Gradiente", 5, 90);
80 fill(255);
81 if (target_color == rgb)
82     text("Punto non raggiungibile o orientamento \nnon ammissibile. Selezionare un nuovo punto.", width / 2 - 50, 30);
83 fill(0);
84 text("Guadagno Q1 = " + kg1 + " Q2 gradiente = " + kg2, 0, height - 50);
85 text("Guadagno Q3 gradiente = " + kPhi, 0, height - 30);
86 pushMatrix();
87 translate(width / 2, height / 2); // traslo
88 popMatrix();
89 }
90
91 // definisco legge di controllo
92 void controllo(float K) {
93     q1v = q1v + K * (q1 - q1v);
94     q2v = q2v + K * (q2 - q2v);
95     q3v = q3v + K * (q3 - q3v);
96 }
97
98 void treDoF(int ray, int L1, int L2, int L3, int larg, float q1, float q2, float q3, color rgb) {
99     rotate(q1);
100     link(ray,L1, larg, rgb);
101     translate(0 ,L1);
102     rotate(q2);
103     link(ray,L2, larg, rgb);
104     translate(0, L2);
105     rotate(q3);
106     link(ray,L3, larg, rgb);
107 }
108
109 void link(int R, int lung, int larg, color rgb) {
110     fill(rgb);
111     circle(0,0,R);
112     rect( - R / 2, 0, larg, lung);
113     circle(0, lung, R);
114 }
115
116 void keyPressed() {
117     // istruzione di home
118     if (keyCode == ENTER) {
119         q1 = 0.0;
120         q2 = 0.0;
121         q3 = 0.0;
122         q_1 = 0.0;
123         q_2 = 0.0;
124         q_3 = 0.0;
125         phi = 0.0;
126         phig = 0.0;
127         y = L1 + L2 + L3;
128         x = 0.0;
129         yh = 0.0;
130         xh = 0.0;
131         target(ray);
132     }
133     // Controllo sulle variabili di giunto.

```

```

134     if (keyCode == '1') q1 = q1 + 0.1;
135     if (keyCode == '2') q2 = q2 + 0.1;
136     if (keyCode == '3') q3 = q3 + 0.1;
137
138     if (keyCode == '9') q1 = q1 - 0.1;
139     if (keyCode == '8') q2 = q2 - 0.1;
140     if (keyCode == '7') q3 = q3 - 0.1;
141
142     // cambio il gomito
143     if (keyCode == 'G') {
144         g = - g;
145         cinInv();
146         q_2 = q_2 + g * PI;
147         q_2g = q_2g + g * PI;
148     }
149
150     // cabio angolo d'orientamento desiderato
151     if (keyCode == 'F') {
152         phi = phi + 0.1;
153         phig += 0.1;
154         cinInv();
155     } else if (keyCode == 'V') {
156         phi = phi - 0.1;
157         phig -= 0.1;
158         cinInv();
159     }
160 }
161
162 void opSpace(int r1, int r2, int r3) {
163     fill(255);
164     circle(0,0, 2 * (r1 + r2 + r3)); // devo moltiplicare per due perché per circle() il terzo parametro è il raggio.
165 }
166
167 void target(int R) {
168     pushMatrix();
169     translate(x, y);
170     fill(target_color);
171     circle(0,0, R + 30);
172     popMatrix();
173 }
174
175 void mousePressed() {
176     x = mouseX - width / 2;
177     y = mouseY - height / 2;
178
179     cinInv();
180
181     if (abs(s_2g) < 0.01) {
182         println("q2 singolare");
183     }
184     if (abs(s_3g) < 0.01) {
185         println("q3 singolare");
186     }
187 }
188 }
189
190 // Variabili per la cinematica inversa
191 float A = 0.0;
192 float c2 = 0.0;
193 float s2 = 0.0;
194 float b1 = 0.0;
195 float b2 = 0.0;
196 float c1 = 0.0;
197 float s1 = 0.0;
198 float c3 = 0.0;
199 float s3 = 0.0;
200

```

```

201 void cinInv() {
202     xh = x - cos(phi) * L3;
203     yh = y - sin(phi) * L3;
204     // inserisco controllo per determinare se sto violando lo spazio operativo
205     if (xh * xh + yh * yh <= pow(L1 + L2,2) &&
206         xh * xh + yh * yh >= pow(L1 - L2,2)) {
207         target_color = rgbV;
208     } else {
209         target_color = rgb;
210     }
211     A = (xh * xh + yh * yh - L1 * L1 - L2 * L2) / (2 * L1 * L2);
212     c2 = A;
213     s2 = g * sqrt(abs(1 - A * A));
214     b1 = L1 + c2 * L2;
215     b2 = L2 * s2;
216     c1 = b1 * xh + b2 * yh;
217     s1 = - b2 * xh + b1 * yh;
218     q1 = atan2(s1, c1) - PI / 2;
219     q2 = atan2(s2, c2);
220     q3 = phi - q1 - q2 - PI / 2;
221 }
222
223 // Creo un robot phantom la cui cinematica inversa è determinata dall'algoritmo di Newton.
224 float q_1 = PI / 2; // parto da PI/2 per portare il robot verso il basso come condizione iniziale
225 float q_2 = 0.0;
226 float q_3 = 0.0;
227 color rgbN = color(104,2,151,100);
228 float s_123 = 0.0;
229 float c_123 = 0.0;
230 float s_12 = 0.0;
231 float c_12 = 0.0;
232 float s_23 = 0.0;
233 float c_23 = 0.0;
234 float c_1 = 0.0;
235 float s_1 = 0.0;
236 float c_2 = 0.0;
237 float s_2 = 0.0;
238 float c_3 = 0.0;
239 float s_3 = 0.0;
240 float Q1 = 0.0;
241 float Q2 = 0.0;
242 float Q3 = 0.0;
243
244 void newton() {
245     s_123 = sin(q_1 + q_2 + q_3);
246     c_123 = cos(q_1 + q_2 + q_3);
247     s_12 = sin(q_1 + q_2);
248     c_12 = cos(q_1 + q_2);
249     s_23 = sin(q_3 + q_2);
250     c_23 = cos(q_3 + q_2);
251     c_1 = cos(q_1);
252     s_1 = sin(q_1);
253     c_2 = cos(q_2);
254     s_2 = sin(q_2);
255     c_3 = cos(q_3);
256     s_3 = sin(q_3);
257
258     // Poiché sin(q2)=0 all'inizio, siamo già in configurazione singolare pertanto l'algoritmo non funzionerebbe
259     // Devo effettuare una verifica e, in caso positivo, effettuare una saturazione ad un valore di riferimento noto.
260     if (abs(s_2) < 0.01) s_2 = 0.01; // impedisco all'algoritmo di andare in singolarità.
261
262     Q1 = (s_12 * (y - s_123 * L3 - s_12 * L2 - s_1 * L1)) / (s_2 * L1) +
263         (c_12 * (x - c_123 * L3 - c_12 * L2 - c_1 * L1)) / (s_2 * L1) +
264         (s_3 * L3 * (phi - q_3 - q_2 - q_1)) / (s_2 * L1);
265
266     Q2 = ((- s_12 * L2 - s_1 * L1) * (y - s_123 * L3 - s_12 * L2 - s_1 * L1)) / (s_2 * L1 * L2) +
267         ((- c_12 * L2 - c_1 * L1) * (x - c_123 * L3 - c_12 * L2 - c_1 * L1)) / (s_2 * L1 * L2) +

```

```

268 ((- s_3 * L2 * L3 - s_23 * L1 * L3) * (phi - q_3 - q_2 - q_1)) / (s_2 * L1 * L2);
269
270 Q3 = (s_1 * (y - s_123 * L3 - s_12 * L2 - s_1 * L1)) / (s_2 * L2) +
271 (c_1 * (x - c_123 * L3 - c_12 * L2 - c_1 * L1)) / (s_2 * L2) +
272 ((s_23 * L1 * L3 + s_2 * L1 * L2) * (phi - q_3 - q_2 - q_1)) / (s_2 * L1 * L2);
273 // lambda/2
274 float kk = 0.2;
275 // implemento Newton tempo discreto
276 q_1 = q_1 + kk * Q1;
277 q_2 = q_2 + kk * Q2;
278 q_3 = q_3 + kk * Q3;
279 }
280
281 float q_1g = PI / 2;
282 float q_2g = 0.0;
283 float q_3g = 0.0;
284 color rgbG = color(0,0,255,100);
285 float s_123g = 0.0;
286 float c_123g = 0.0;
287 float s_12g = 0.0;
288 float c_12g = 0.0;
289 float s_23g = 0.0;
290 float c_23g = 0.0;
291 float c_1g = 0.0;
292 float s_1g = 0.0;
293 float c_2g = 0.0;
294 float s_2g = 0.0;
295 float c_3g = 0.0;
296 float s_3g = 0.0;
297 float Q1g = 0.0;
298 float Q2g = 0.0;
299 float Q3g = 0.0;
300 float phig = 0.0;
301 // Limite di convergenza 10^5
302 float kg1 = 0.00001;
303 float kg2 = 0.00001;
304 float kPhi = 0.0000000001;
305
306 void gradient() {
307     s_123g = sin(q_1g + q_2g + q_3g);
308     c_123g = cos(q_1g + q_2g + q_3g);
309     s_12g = sin(q_1g + q_2g);
310     c_12g = cos(q_1g + q_2g);
311     s_23g = sin(q_3g + q_2g);
312     c_23g = cos(q_3g + q_2g);
313     c_1g = cos(q_1g);
314     s_1g = sin(q_1g);
315     c_2g = cos(q_2g);
316     s_2g = sin(q_2g);
317     c_3g = cos(q_3g);
318     s_3g = sin(q_3g);
319
320     if (abs(s_2g) < 0.01) s_2g = 0.5;
321     if (abs(s_3g) < 0.01) s_3g = 0.5;
322
323     Q1g = (c_123g * L3 + c_12g * L2 + c_1g * L1) * (y - s_123g * L3 - s_12g * L2 - s_1g * L1) +
324 (- s_123g * L3 - s_12g * L2 - s_1g * L1) * (x - c_123g * L3 - c_12g * L2 - c_1g * L1) +
325     phig - q_3g - q_2g - q_1g;
326     Q2g = (c_123g * L3 + c_12g * L2) * (y - s_123g * L3 - s_12g * L2 - s_1g * L1) +
327 (- s_123g * L3 - s_12g * L2) * (x - c_123g * L3 - c_12g * L2 - c_1g * L1) +
328     phig - q_3g - q_2g - q_1g;
329     Q3g = c_123g * L3 * (y - s_123g * L3 - s_12g * L2 - s_1g * L1) -
330     s_123g * L3 * (x - c_123g * L3 - c_12g * L2 - c_1g * L1) + phig - q_3g - q_2g - q_1g;
331
332     phig = phig + kPhi * Q3g;
333
334     q_1g = q_1g + kg1 * Q1g;

```

```
335     q_2g = q_2g + kg2 * Q2g;  
336     q_3g = phig - q_1g - q_2g;  
337  
338     println("q1G = " + q_1g + "q2G = " + q_2g + " q3G = " + q_3g);  
339 }
```

Strutture Portanti in Processing

Nelle pagine successive verrà listato il codice processing per la realizzazione dei diversi robot visti nel corso, in ambiente virtuale 3D.

E' possibile interagire con l'ambiente creato nei seguenti modi:

1. Ciclare tra le diverse strutture implementate nel sistema con il tasto "S".
2. Ruotare la telecamera con il tasto sinistro del mouse
3. Aumentare il valore delle variabili di giunto attraverso i tasti "1-2-3" per i primi 3 gradi di libertà, "7-8-9" per gli ultimi 3.
4. Diminuire il valore delle variabili di giunto attraverso i tasti "Q,W,E" per i primi 3 gradi di libertà, "Y,U,I" per gli ultimi 3.

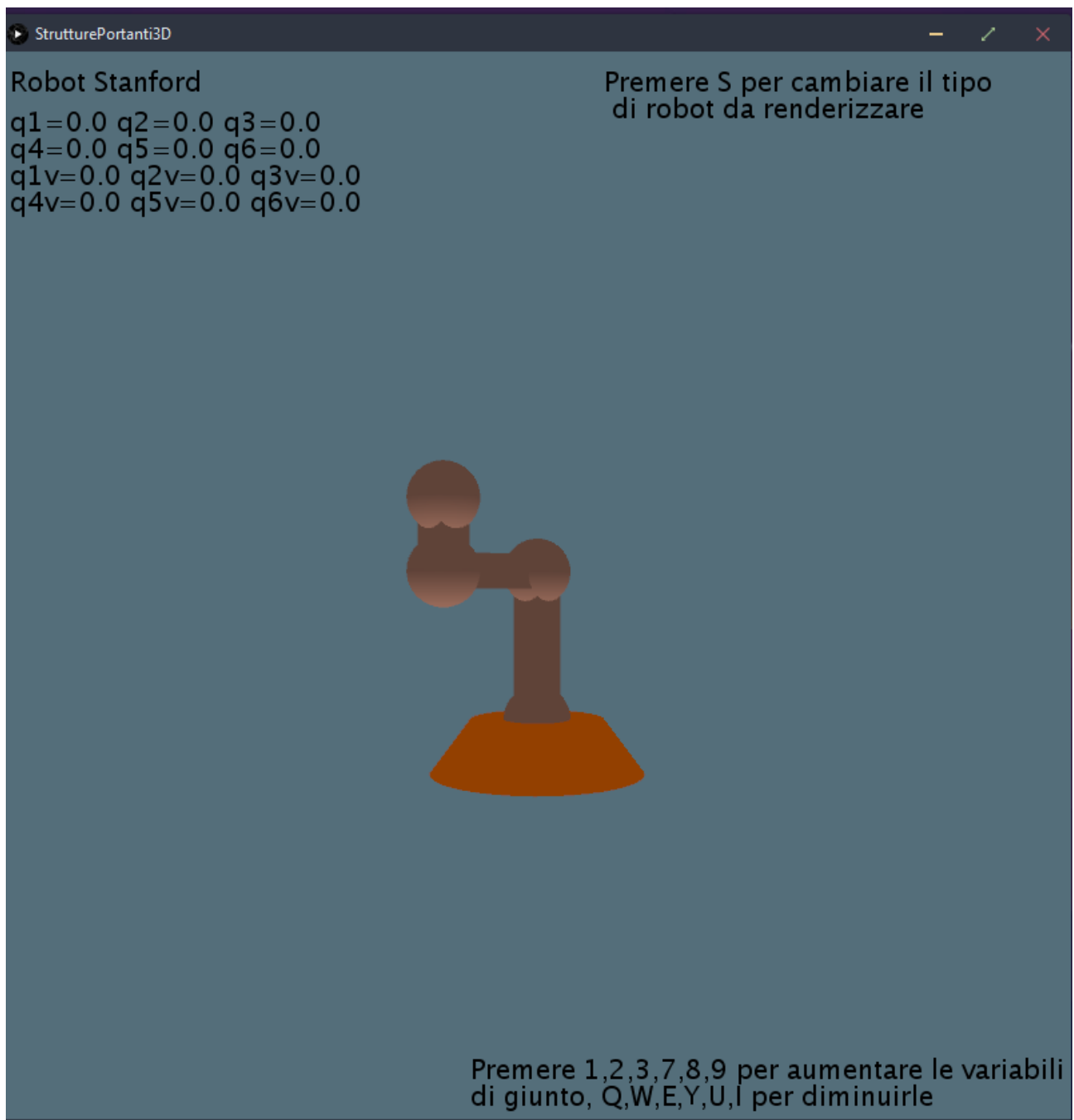


Figura 1 Robot Stanford a 3 DoF

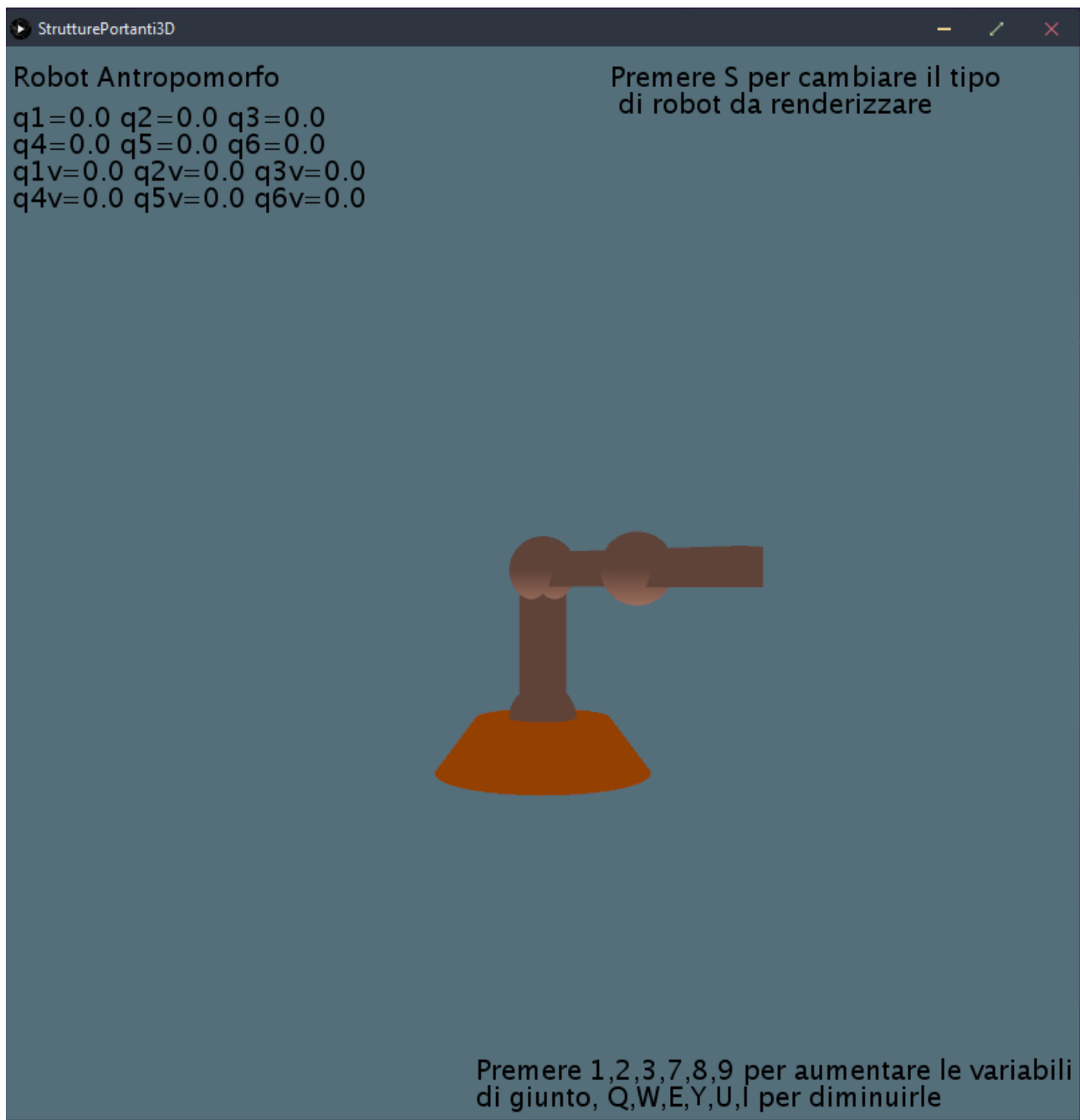


Figura 2 Robot Antropomorfo

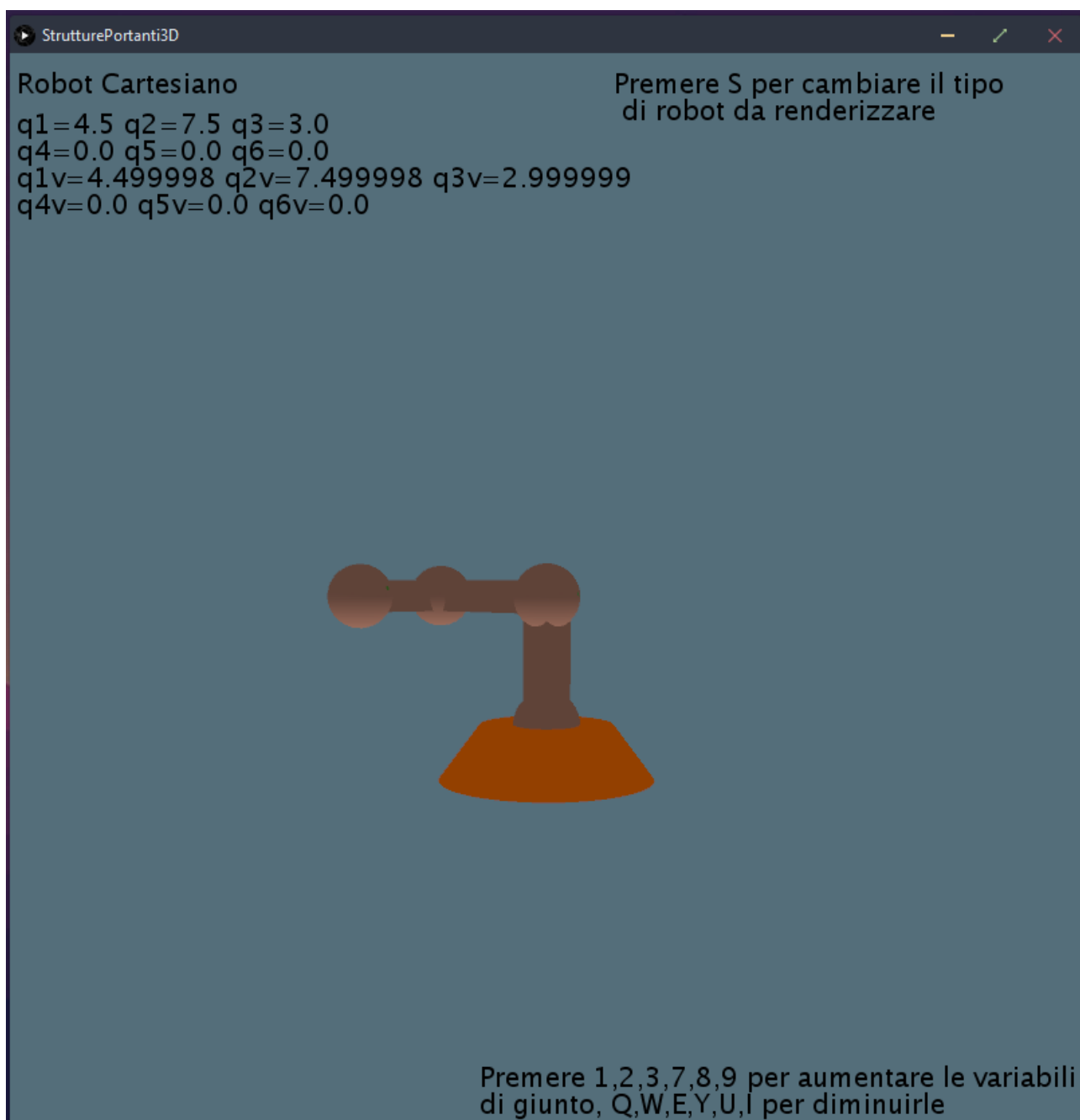


Figura 3 Robot Cartesiano

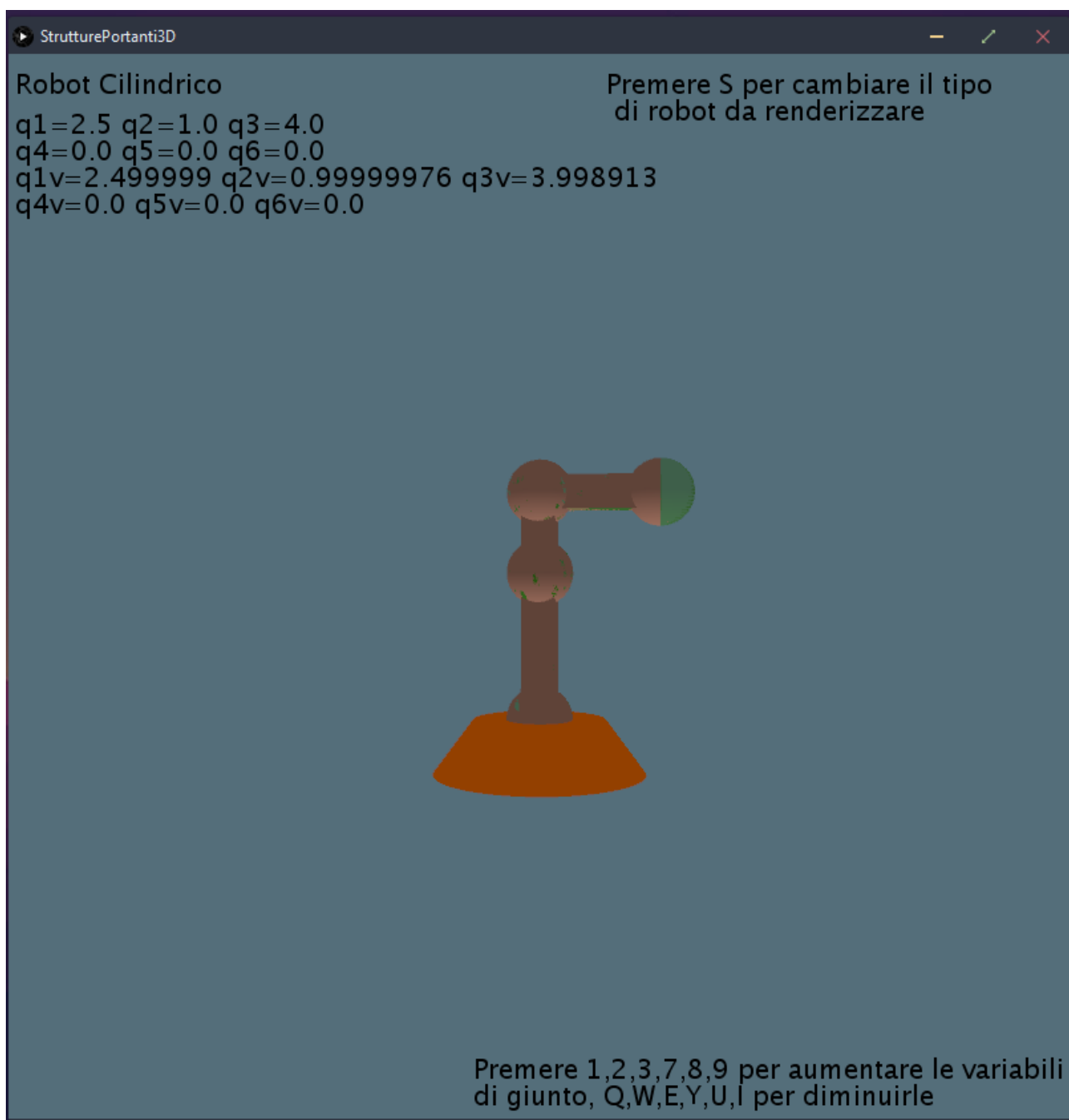


Figura 4 Robot Cilindrico

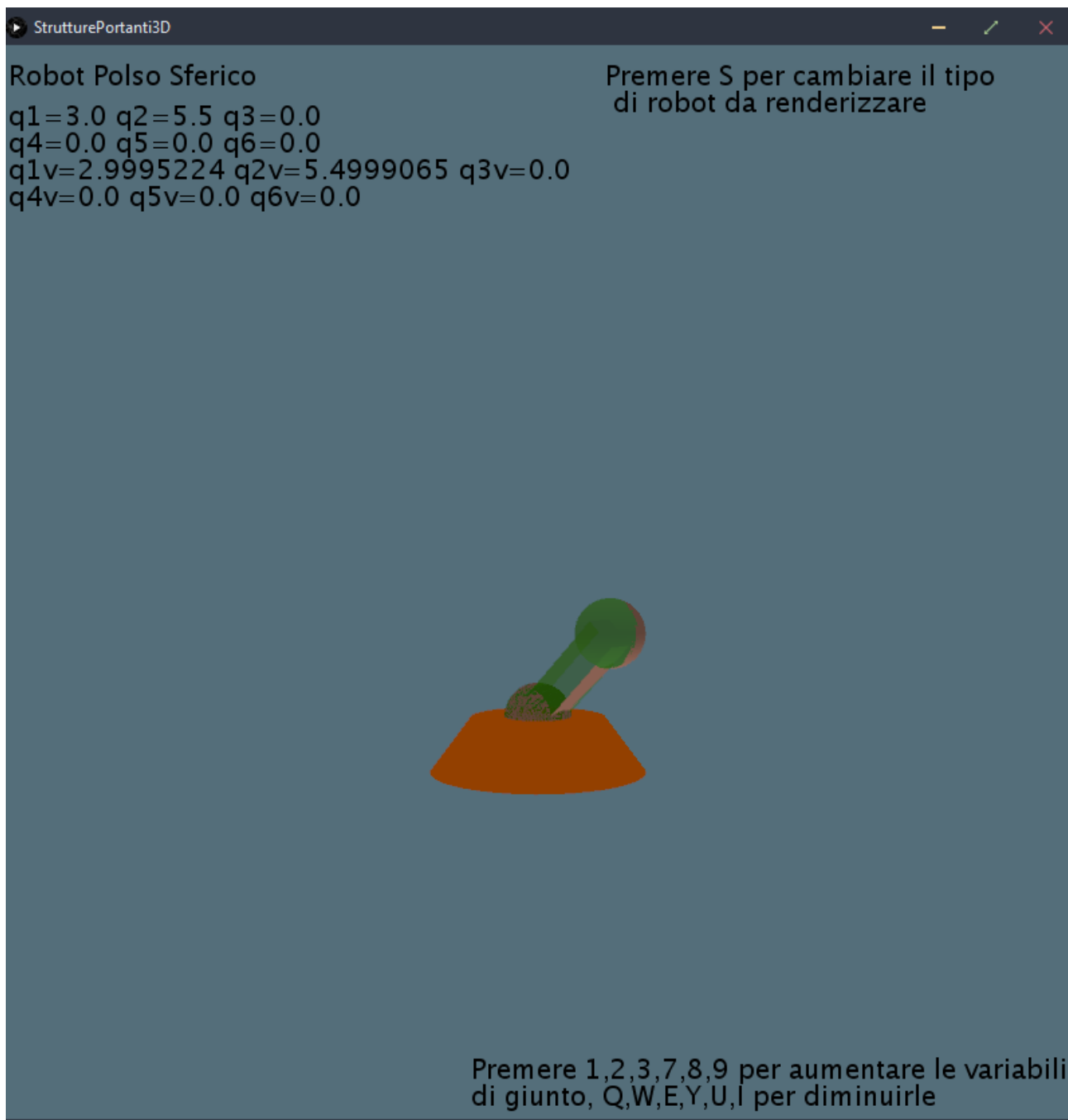


Figura 5 Polso Sferico

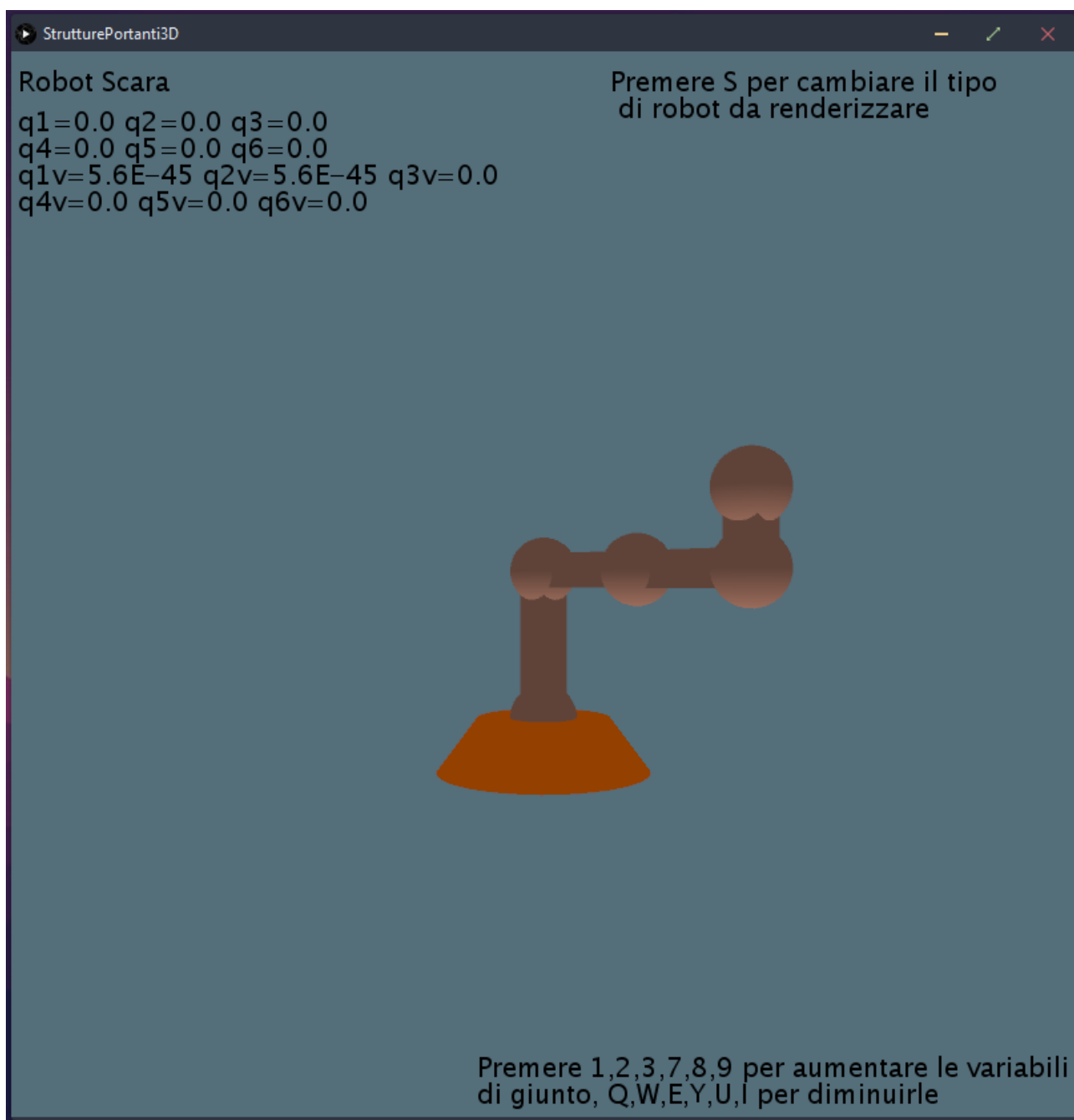


Figura 6 Robot SCARA

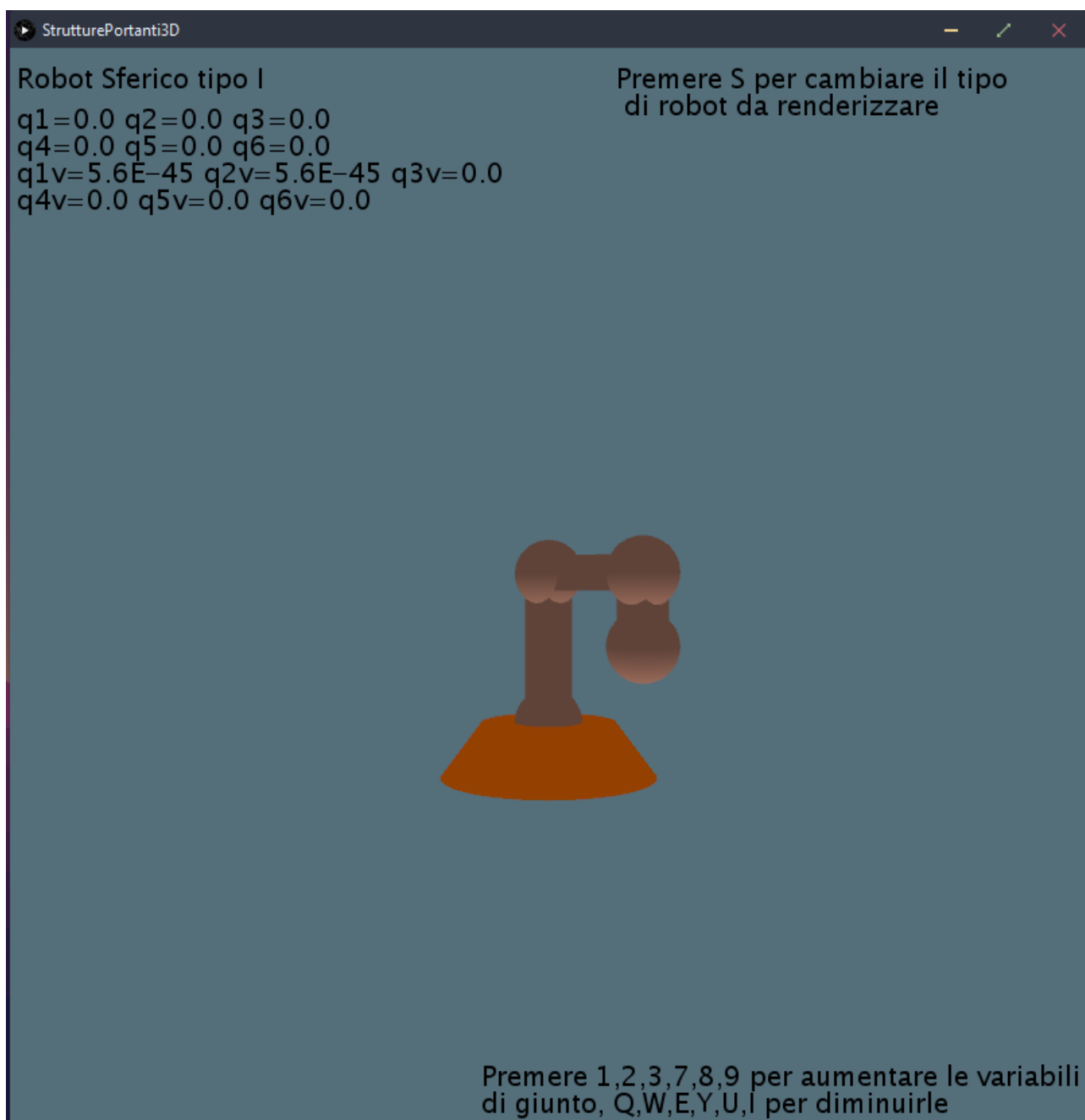


Figura 7 Robot Sferico Tipo 1

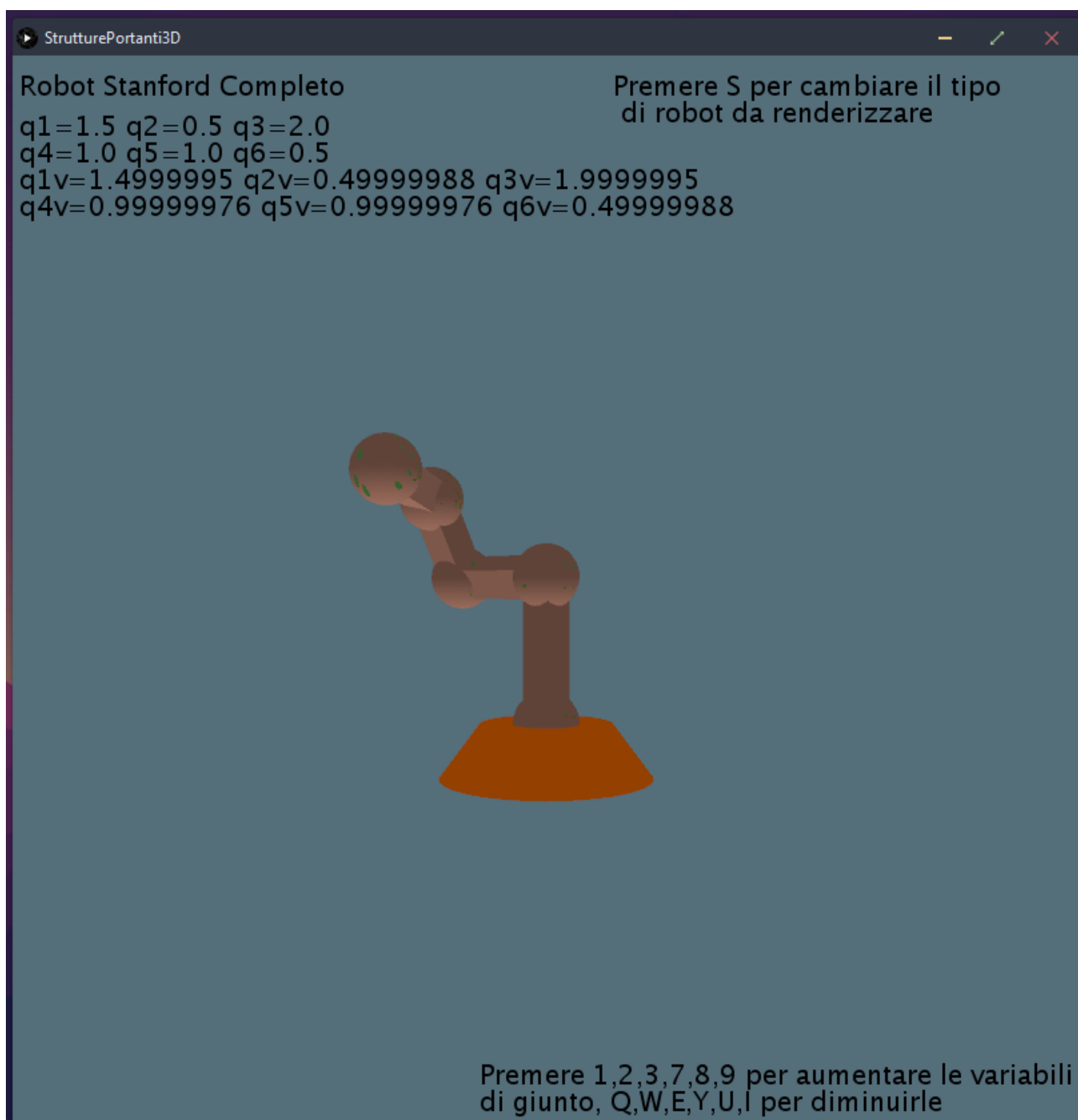


Figura 8 Robot Stanford Completo

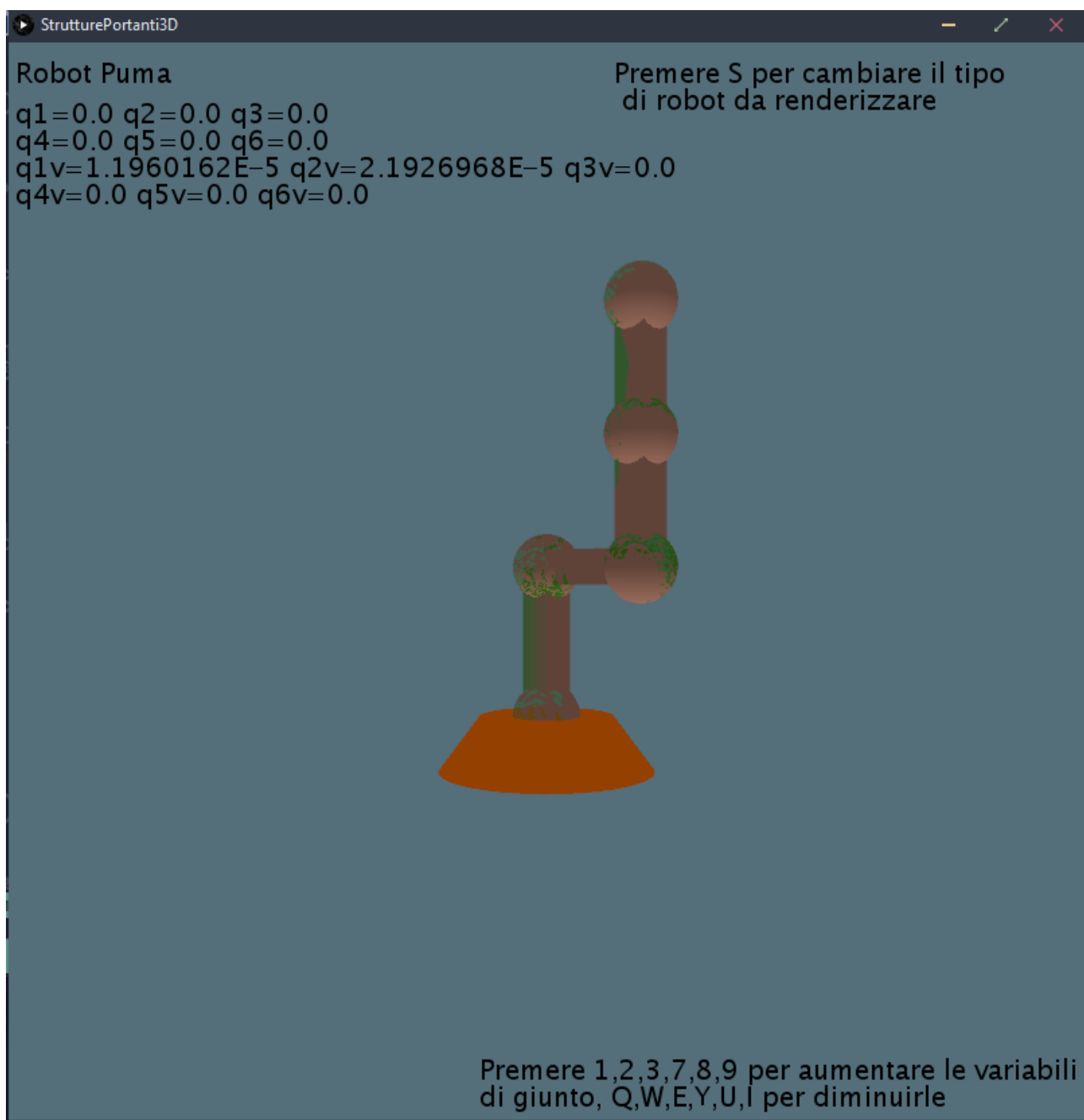


Figura 9 Robot PUMA

```

1  /*
2  Questo programma processing definisce un ambiente 3D che riceve in ingresso la tabella di
3  Denavit-Hartenberg e restituisce un robot in tre dimensioni.
4  */
5  // Definisco Variabili di Giunto fantasma.
6  float q1 = 0.0;
7  float q2 = 0.0;
8  float q3 = 0.0;
9  float q4 = 0.0;
10 float q5 = 0.0;
11 float q6 = 0.0;
12 // Definisco Variabili di Giunto per il robot effettivo.
13 float q1v = 0.0;
14 float q2v = 0.0;
15 float q3v = 0.0;
16 float q4v = 0.0;
17 float q5v = 0.0;
18 float q6v = 0.0;
19 // Definisco Variabili di visuale, per orientare la prospettiva del disegno 3D
20 float alphaZ = 0.0;
21 float alphaY = 0.0;
22 // Aggiungo angolo di partenza.
23 float alphaZp = 0.0;
24 float alphaYp = 0.0;
25 // Definisco costante di proporzionalità per il controllore
26 float K = 0.1;
27
28 // Definisco variabile per cambiare il robot selezionato.
29 int s = 0;
30 // Definisco lunghezze dei link
31 float L1 = 110;
32 float D1 = 90;
33 float D2 = 90;
34 float L4 = 90;
35 float D6 = 90;
36 float L2 = 90;
37 float D3 = 90;
38 float L3 = 90;
39 float L6 = 90;
40
41 void setup() {
42   size(800,800,P3D);
43   background(#546e7a);
44 }
45
46 // definisco legge di controllo
47 void control(float K) {
48   q1v = q1v - K * (q1v - q1);
49   q2v = q2v - K * (q2v - q2);
50   q3v = q3v - K * (q3v - q3);
51   q4v = q4v - K * (q4v - q4);
52   q5v = q5v - K * (q5v - q5);
53   q6v = q6v - K * (q6v - q6);
54 }
55 /**
56 Assemblo il robot formato da diversi link
57 */
58 void robot(int s, float a1, float a2, float a3, float a4, float a5, float a6) {
59   switch(s) {
60     case 0 : // ROBOT STANFORD
61       link(a1, L1, - PI / 2, 0);
62       link(a2, L2, PI / 2, 0);
63       link(- PI / 2, 10 * a3 + 50, 0, 0);
64       break;
65     case 1 : // ROBOT ANTROPOMORFO
66       link(a1, L1, PI / 2, 0);

```



```

67 link(a2, 0, 0, D2);
68 link(a3, 0, 0, D3);
69 break;
70
71 case 2 : // ROBOT CARTESIANO
72 link(0, 10 * a1 + 50, - PI / 2, 0);
73 link(- PI / 2, 10 * a2 + 50, - PI / 2, 0);
74 link(0, 10 * a3 + 50, 0, 0);
75 break;
76 case 3 : // ROBOT CILINDRICO
77 link(a1, L1, 0, 0);
78 link(0, 10 * a2 + 50, - PI / 2, 0);
79 link(0, 10 * a3 + 50, 0, 0);
80 break;
81 case 4 : // POLSO SFERICO
82 link(a1, 0, - PI / 2, 0);
83 link(a2, 0, PI / 2, 0);
84 link(a3, L3, 0, 0);
85 break;
86 case 5 : // ROBOT PUMA
87 link(a1, L1, - PI / 2, 0);
88 link(a2, 0, 0, D2);
89 link(a3, 0, PI / 2, 0);
90 link(a4, L4, - PI / 2, 0);
91 link(a5, 0, PI / 2, 0);
92 link(a6, L6, 0, 0);
93 break;
94 case 6 : // ROBOT SCARA
95 link(a1, L1, 0, D1);
96 link(a2, 0, 0, D2);
97 link(0, 10 * a3 + 50, 0, 0);
98 break;
99 case 7 : // ROBOT SFERICO TIPO 1
100 link(a1, L1, - PI / 2, 0);
101 link(a2, 0, - PI / 2, L2);
102 link(0, 10 * a3 + 50, 0, 0);
103 break;
104 case 8 : // ROBOT STANFORD COMPLETO
105 link(a1, L1, - PI / 2, 0);
106 link(a2, L2, PI / 2, 0);
107 link(- PI / 2, 10 * a3 + 50, 0, 0);
108 link(a4, 0, - PI / 2, 0);
109 link(a5, 0, PI / 2, 0);
110 link(a6, L6, 0, 0);
111 break;
112 default :
113 break;
114 }
115 }
116 /**
117 Costruisce il link del robot corrispondente alla riga i-esima della tabella di DH.
118 param: theta, angolo di rotazione su Z.
119 param: d, traslazione lungo Z.
120 param: alpha, angolo di rotazione su X.
121 param: a, traslazione lungo X.
122 */
123 void link(float theta, float d, float alpha, float a) {
124 rotateZ(theta);
125 sphere(25);
126 // Traslo il disegno per avere una buona giunzione tra giunto rotoidale e braccio
127 translate(0.0,0.0,d / 2);
128 box(25, 25, d);
129 // Il centro del S.d.R. Ă al centro della box. Devo traslare fino alla sua fine.
130 translate(0.0,0.0,d / 2);
131 sphere(25);
132 rotateX(alpha);
133 translate(a / 2, 0.0, 0.0);

```

```

134 box(a, 25, 25);
135 translate(a / 2, 0.0, 0.0);
136 }
137 /**
138 Costruisco la base del robot
139 Preso da: https://forum.processing.org/one/topic/draw-a-cone-cylinder-in-p3d.html
140 */
141 void base(float bottom, float top, float h, int sides) {
142     pushMatrix();
143
144     translate(0,0, - h / 2);
145     rotateX(PI / 2);
146     float angle;
147     float[] x = new float[sides + 1];
148     float[] z = new float[sides + 1];
149
150     float[] x2 = new float[sides + 1];
151     float[] z2 = new float[sides + 1];
152
153     //get the x and z position on a circle for all the sides
154     for (int i = 0; i < x.length; i++) {
155         angle = TWO_PI / (sides) * i;
156         x[i] = sin(angle) * bottom;
157         z[i] = cos(angle) * bottom;
158     }
159
160     for (int i = 0; i < x.length; i++) {
161         angle = TWO_PI / (sides) * i;
162         x2[i] = sin(angle) * top;
163         z2[i] = cos(angle) * top;
164     }
165
166     //draw the bottom of the cylinder
167     beginShape(TRIANGLE_FAN);
168
169     vertex(0, - h / 2, 0);
170
171     for (int i = 0; i < x.length; i++) {
172         vertex(x[i], - h / 2, z[i]);
173     }
174
175     endShape();
176
177     //draw the center of the cylinder
178     beginShape(QUAD_STRIP);
179
180     for (int i = 0; i < x.length; i++) {
181         vertex(x[i], - h / 2, z[i]);
182         vertex(x2[i], h / 2, z2[i]);
183     }
184
185     endShape();
186
187     //draw the top of the cylinder
188     beginShape(TRIANGLE_FAN);
189
190     vertex(0, h / 2, 0);
191
192     for (int i = 0; i < x.length; i++) {
193         vertex(x2[i], h / 2, z2[i]);
194     }
195
196     endShape();
197
198     popMatrix();
199 }
200 void draw() {

```

```

201 background(#546e7a);
202 // Aggiungo legge di controllo
203 control(K);
204 // Aggiungo HUD
205 hud();
206 // traslo al centro della schermata
207 translate(width / 2, height / 2 + 100, 0);
208
209 // aggiungo una rotazione per favorire la vista
210 rotateX(PI / 2);
211 rotateZ(PI / 4);
212 rotateY(alphaY);
213 rotateZ(alphaZ);
214 // Aggiungo degli effetti di luce direzionale
215 directionalLight(126, 126, 126, 0, 0, 0.7);
216 // Aggiungo degli effetti di luce ambientale
217 ambientLight(200, 200, 200);
218 noStroke();
219 // Disegno base
220 fill(#bc5100);
221 base(80, 50, 40, 50);
222
223 // Disegno il robot fantasma
224 fill(#255d00, 100);
225 pushMatrix();
226 robot(s, q1, q2, q3, q4, q5, q6);
227 popMatrix();
228 pushMatrix();
229 fill(#795548);
230 robot(s, q1v, q2v, q3v, q4v, q5v, q6v);
231 popMatrix();
232 }
233
234 int k = 5;
235 // intercetto azioni del mouse
236 void mousePressed() { // eseguo alla pressione
237
238     alphaYp = alphaY + mouseY * PI / (180*k);
239     alphaZp = alphaZ + mouseX * PI / (180*k);
240 }
241 void mouseDragged() { // eseguo al trascinamento
242     alphaY = alphaYp + mouseY * PI / (180*k);
243     alphaZ = alphaZp + mouseX * PI / (180*k);
244 }
245 // intercetto azioni da tastiera
246 void keyPressed() {
247     // Controllo se voglio aumentare o diminuire le variabili di giunto
248     if (keyCode == '1') {
249         q1 += 0.5;
250     } else if (keyCode == 'Q') {
251         q1 -= 0.5;
252     }
253     if (keyCode == '2') {
254         q2 += 0.5;
255     } else if (keyCode == 'W') {
256         q2 -= 0.5;
257     }
258     if (keyCode == '3') {
259         q3 += 0.5;
260     } else if (keyCode == 'E') {
261         q3 -= 0.5;
262     }
263     if (keyCode == '7') {
264         q4 += 0.5;
265     } else if (keyCode == 'Y') {
266         q4 -= 0.5;
267     }

```

```

268 if (keyCode == '8') {
269     q5 += 0.5;
270 } else if (keyCode == 'U') {
271     q5 -= 0.5;
272 }
273 if (keyCode == '9') {
274     q6 += 0.5;
275 } else if (keyCode == 'I') {
276     q6 -= 0.5;
277 }
278
279 if (keyCode == ENTER) {
280     q1 = 0;
281     q2 = 0;
282     q3 = 0;
283     q4 = 0;
284     q5 = 0;
285     q6 = 0;
286 }
287
288 if (keyCode == 'S') {
289     if (s < 8) {
290         s +=1;
291     } else {
292         s = 0;
293     }
294     println(s);
295     q1 = 0;
296     q2 = 0;
297     q3 = 0;
298     q4 = 0;
299     q5 = 0;
300     q6 = 0;
301 }
302 }
303
304 // Creo interfaccia utente
305 void hud() {
306     String joints = "q1=" + q1 + "\t q2=" + q2 + "\t q3=" + q3 + "\nq4=" + q4 + "\t q5=" + q5 + "\t q6=" + q6;
307     String jointsv = "q1v=" + q1v + "\t q2v=" + q2v + "\t q3v=" + q3v + "\nq4v=" + q4v + "\t q5v=" + q5v + "\t q6v=" + q6v;
308     String[] robotName = {"Stanford","Antropomorfo","Cartesiano","Cilindrico","Polso Sferico","Puma",
309         "Scara","Sferico tipo I","Stanford Completo"};
310     textSize(20);
311     textLeading(20);
312     fill(0);
313     text("Premere 1,2,3,7,8,9 per aumentare le variabili\n di giunto, Q,W,E,Y,U,I per diminuirle",width / 2-50,height - 30);
314     text("Robot " + robotName[s], 5, 30);
315     text(joints,5,60);
316     text(jointsv,5,100);
317     text("Premere S per cambiare il tipo\n di robot da renderizzare",width/2+50,30);
318 }

```

Singularità Cinematiche (di forza e velocità) delle Strutture Portanti

Le singularità cinematiche di posizione sono state già individuate durante i calcoli della cinematica inversa di ogni robot, pertanto per semplicità verranno omesse da questa parte del rapporto.

Per il calcolo delle singularità di velocità e forza, abbiamo bisogno di calcolare lo Jacobiano di velocità, che corrisponde alla matrice delle derivate parziali dell'end-effector di ogni robot.

Pertanto, sia:

$$P(h(q)) = \begin{pmatrix} x \\ y \\ z \end{pmatrix}$$

Allora, lo Jacobiano J sarà:

$$J = \frac{\partial h}{\partial q} = \begin{pmatrix} \frac{\partial x}{\partial q_1} & \frac{\partial x}{\partial q_2} & \frac{\partial x}{\partial q_3} \\ \frac{\partial y}{\partial q_1} & \frac{\partial y}{\partial q_2} & \frac{\partial y}{\partial q_3} \\ \frac{\partial z}{\partial q_1} & \frac{\partial z}{\partial q_2} & \frac{\partial z}{\partial q_3} \end{pmatrix}$$

Il determinante di J ci fornirà le equazioni per individuare le singularità di velocità del robot.

Per le singularità di forza, dovremo calcolare invece $\det(J^T)$.

Avremo quindi che:

$\ker(J) \longrightarrow$ Spazio di tutte le velocità che posso dare ai giunti, che danno luogo a velocità nulla in punta.

$\text{Im}(J) \longrightarrow$ Spazio di tutte le velocità che posso raggiungere in punta

```
(%i1) J(p):=block(
    [J, jq1, jq2, jq3],
    jq1:diff(p,q[1]), jq2:diff(p,q[2]), jq3:diff(p,q[3]),
    J:addcol(jq1,jq2,jq3), return(J)
)$

(%i2) ridef(M):=block(
    let(sin(q[1]), s[1]), let(cos(q[1]), c[1]),
    let(sin(q[2]), s[2]), let(cos(q[2]), c[2]),
    let(sin(q[2]+q[1]), s[12]), let(cos(q[2]+q[1]), c[12]),
    let(sin(q[2]+q[3]), s[23]), let(cos(q[2]+q[3]), c[23]),
    return(letsimp(M))
)$
```

1. Robot 2 DoF Planare

```
(%i3) p2dof:matrix([L[1]*cos(q[1])+L[2]*cos(q[1]+q[2])],
    [L[1]*sin(q[1])+L[2]*sin(q[1]+q[2])])
```

```
(%o3) ( L2 cos (q2 + q1) + L1 cos (q1)
    L2 sin (q2 + q1) + L1 sin (q1) )
```

```
(%i4) J2dof:submatrix(J(p2dof),3)
```

```
(%o4) ( -L2 sin (q2 + q1) - L1 sin (q1)  -L2 sin (q2 + q1)
    L2 cos (q2 + q1) + L1 cos (q1)  L2 cos (q2 + q1) )
```

```
(%i5) dJ2dof:trigreduce(expand(determinant(J2dof)))
```

```
(%o5) L1 L2 sin (q2)
```

Singularità di Velocità

Vediamo quindi che

$$\det(J) = L_1 L_2 \sin(q_2) = 0 \iff q_2 = \begin{cases} 0 \\ \pi \end{cases}$$

Che corrispondono ad una posizione completamente allungata o sovrapposta del secondo link.

Vediamo ora le velocità che non possiamo raggiungere, cercando il nucleo di J quando siamo in singularità.

```
(%i6) Jq2:factor(subst(q[2]=0,J2dof))
```

```
(%o6)  $\begin{pmatrix} -(L_2 + L_1) \sin(q_1) & -L_2 \sin(q_1) \\ (L_2 + L_1) \cos(q_1) & L_2 \cos(q_1) \end{pmatrix}$ 
```

```
(%i7) nullspace(Jq2)
```

Proviso: $\text{notequal}(-L_2 \sin(q_1), 0)$

```
(%o7) span( $\begin{pmatrix} -L_2 \sin(q_1) \\ (L_2 + L_1) \sin(q_1) \end{pmatrix}$ )
```

Abbiamo quindi che:

$$\ker(J_{q_2=0}) = \text{span}\left(\begin{pmatrix} -L_2 \\ L_2 + L_1 \end{pmatrix}\right)$$

Per quanto riguarda le velocità che l'end-effector non può raggiungere, per il teorema di nullità più rango sappiamo che l'immagine avrà dimensione 1. Pertanto:

```
(%i8) columnspace(subst(q[1]=0,Jq2))
```

Proviso: $\text{notequal}(L_2 + L_1, 0)$

```
(%o8) span( $\begin{pmatrix} 0 \\ L_2 + L_1 \end{pmatrix}$ )
```

E possiamo quindi vedere che

$$\text{Im}(J_{q_2=0}) = \text{span}\left(\begin{pmatrix} 0 \\ 1 \end{pmatrix}\right)$$

In conclusione, in punta ci troviamo ad avere velocità nulle lungo l'asse x ed arbitrarie lungo y .

Singularità di Forza

Le singularità di forza sono date dal trasposto dello jacobiano.

```
(%i9) Jt2dof:-transpose(J2dof)
```

```
(%o9)  $\begin{pmatrix} L_2 \sin(q_2 + q_1) + L_1 \sin(q_1) & -L_2 \cos(q_2 + q_1) - L_1 \cos(q_1) \\ L_2 \sin(q_2 + q_1) & -L_2 \cos(q_2 + q_1) \end{pmatrix}$ 
```

```
(%i10) dJt2dof:trigreduce(expand(determinant(Jt2dof)))
```

```
(%o10)  $L_1 L_2 \sin(q_2)$ 
```

Vediamo quindi che

$$\det(J^T) = L_1 L_2 \sin(q_2) = 0 \iff q_2 = \begin{cases} 0 \\ \pi \end{cases}$$

```
(%i11) Jtq2:factor(subst(q[2]=0,Jt2dof))
```

```
(%o11)  $\begin{pmatrix} (L_2 + L_1) \sin(q_1) & -(L_2 + L_1) \cos(q_1) \\ L_2 \sin(q_1) & -L_2 \cos(q_1) \end{pmatrix}$ 
```

```
(%i12) nullspace(Jtq2)
```

Proviso: $\text{notequal}((L_2 + L_1) \sin(q_1), 0)$

```
(%o12) span( $\begin{pmatrix} (L_2 + L_1) \cos(q_1) \\ (L_2 + L_1) \sin(q_1) \end{pmatrix}$ )
```

Di conseguenza:

$$\ker(J_{q_2=0}^T) = \text{span}\left(\begin{pmatrix} \cos(q_1) \\ \sin(q_1) \end{pmatrix}\right)$$

Abbiamo quindi individuato il sottospazio delle forze che possiamo applicare sui giunti che danno forza nulla in punta.

Per le forze che non possiamo sprigionare in punta dobbiamo calcolare l'immagine, che deve avere dimensione pari ad uno.

Supponendo $q_1 \neq 0$:

```
(%i13) columnspace(subst(q[1]=%pi/2,Jtq2))
```

Proviso: notequal($L_2, 0$)

```
(%o13) span(( ( L2 + L1 ) ) )
```

Di conseguenza

$$\text{Im}(J_{q_2=0}^T) = \begin{pmatrix} -(L_2 + L_1) \\ -L_2 \end{pmatrix}$$

Capiamo quindi che le forze sui giunti dipendono dalle lunghezze dei link.

2. Robot Cilindrico

```
(%i14) pCilindrico:matrix([-q[3]*sin(q[1]), [q[3]*cos(q[1]), [q[2]+L[1]]])
```

```
(%o14) ( ( -q3 sin(q1) ) )
```

```
(%i15) JCil:J(pCilindrico)
```

```
(%o15) ( ( -q3 cos(q1) 0 -sin(q1) ) )
```

```
(%i16) dJCil:trigsimp(determinant(JCil))
```

```
(%o16) q3
```

Singularità di Velocità

Vediamo quindi che

$$\det(J) = 0 \iff q_3 = 0$$

Ovvero, la condizione singolare è quella per la quale la punta del robot si trova sull'asse z .

```
(%i17) Jq3cil:subst(q[3]=0,JCil)
```

```
(%o17) ( ( 0 0 -sin(q1) ) )
```

Si vede subito quindi che il nucleo è identificato dal vettore e_x

$$\ker(J_{q_3=0}) = \begin{pmatrix} 1 \\ 0 \\ 0 \end{pmatrix}$$

Per il teorema di nullità più rango, l'immagine deve avere dimensione 2.

```
(%i18) columnspace(Jq3cil)
```

Proviso: notequal($\cos(q_1), 0$)

```
(%o18) span(( ( 0 ) , ( -sin(q1) ) ) )
```

Singularità di Forza

```
(%i19) JtCil:-transpose(JCil)
```

```
(%o19) 
$$\begin{pmatrix} q_3 \cos(q_1) & q_3 \sin(q_1) & 0 \\ 0 & 0 & -1 \\ \sin(q_1) & -\cos(q_1) & 0 \end{pmatrix}$$

```

```
(%i20) dJtCil:trigsimp(determinant(JtCil))
```

```
(%o20)  $-q_3$ 
```

Abbiamo singularità per $q_3 = 0$

```
(%i21) subst(q[3]=0,JtCil)
```

```
(%o21) 
$$\begin{pmatrix} 0 & 0 & 0 \\ 0 & 0 & -1 \\ \sin(q_1) & -\cos(q_1) & 0 \end{pmatrix}$$

```

```
(%i22) nullspace(subst(q[3]=0,JtCil))
```

Proviso: $\text{notequal}(\cos(q_1), 0)$

```
(%o22) 
$$\text{span}\left(\begin{pmatrix} \cos(q_1) \\ \sin(q_1) \\ 0 \end{pmatrix}\right)$$

```

```
(%i23) columnSpace(subst(q[3]=0,JtCil))
```

Proviso: $\text{notequal}(\sin(q_1), 0) \wedge \text{notequal}(-\sin(q_1), 0)$

```
(%o23) 
$$\text{span}\left(\begin{pmatrix} 0 \\ -1 \\ 0 \end{pmatrix}, \begin{pmatrix} 0 \\ 0 \\ \sin(q_1) \end{pmatrix}\right)$$

```

3. Robot Cartesiano

```
(%i24) pCart:matrix([q[3]], [q[2]], [q[1]])
```

```
(%o24) 
$$\begin{pmatrix} q_3 \\ q_2 \\ q_1 \end{pmatrix}$$

```

```
(%i25) Jcart:J(pCart)
```

```
(%o25) 
$$\begin{pmatrix} 0 & 0 & 1 \\ 0 & 1 & 0 \\ 1 & 0 & 0 \end{pmatrix}$$

```

```
(%i26) dJcart:determinant(Jcart)
```

```
(%o26)  $-1$ 
```

Singularità di Velocità

Vediamo quindi che il determinante non si annulla mai per ogni valore delle variabili di giunto. Questo significa che il nucleo di J è formato dal solo vettore nullo.

Pertanto non abbiamo singularità di velocità, il che ci porta a concludere che:

1. Non ci sono velocità che possiamo dare ai giunti che portano a velocità nulle in punta.
2. Se il nucleo è uguale al solo vettore nullo, significa che l'immagine ha rango pieno. Pertanto possiamo raggiungere qualsiasi velocità in punta.

Singularità di Forza


```
(%i27) Jtcart:-transpose(Jcart)
```

```
(%o27) 
$$\begin{pmatrix} 0 & 0 & -1 \\ 0 & -1 & 0 \\ -1 & 0 & 0 \end{pmatrix}$$

```

```
(%i28) dJtcart:determinant(Jtcart)
```

```
(%o28) 1
```

Tale determinante non si annulla mai e possiamo quindi trarre le medesime conclusioni per le forze che abbiamo trattato sulle velocità.

4. Robot Scara

```
(%i29) pscara:matrix([D[2]*cos(q[1]+q[2])+D[1]*cos(q[1])],  
                     [D[2]*sin(q[1]+q[2])+D[1]*sin(q[1])],  
                     [q[3]+L[1]])
```

```
(%o29) 
$$\begin{pmatrix} D_2 \cos(q_2 + q_1) + D_1 \cos(q_1) \\ D_2 \sin(q_2 + q_1) + D_1 \sin(q_1) \\ q_3 + L_1 \end{pmatrix}$$

```

```
(%i30) Jscara:J(pscara)
```

```
(%o30) 
$$\begin{pmatrix} -D_2 \sin(q_2 + q_1) - D_1 \sin(q_1) & -D_2 \sin(q_2 + q_1) & 0 \\ D_2 \cos(q_2 + q_1) + D_1 \cos(q_1) & D_2 \cos(q_2 + q_1) & 0 \\ 0 & 0 & 1 \end{pmatrix}$$

```

```
(%i31) dJscara:trigsimp(trigexpand(determinant(Jscara)))
```

```
(%o31) D_1 D_2 \sin(q_2)
```

Singularità di Velocità

Vediamo che:

$$\det(J) = 0 \iff q_2 = \begin{cases} 0 \\ \pi \end{cases}$$

Che corrisponde ad avere il secondo link sovrapposto al primo.

```
(%i32) Jq2scara:subst(q[2]=0,Jscara)
```

```
(%o32) 
$$\begin{pmatrix} -D_2 \sin(q_1) - D_1 \sin(q_1) & -D_2 \sin(q_1) & 0 \\ D_2 \cos(q_1) + D_1 \cos(q_1) & D_2 \cos(q_1) & 0 \\ 0 & 0 & 1 \end{pmatrix}$$

```

```
(%i33) nullspace(Jq2scara)
```

Proviso: $\text{notequal}(-D_2 \sin(q_1), 0) \wedge \text{notequal}(-D_2 \sin(q_1), 0)$

```
(%o33) 
$$\text{span}\left(\begin{pmatrix} -D_2 \sin(q_1) \\ (D_2 + D_1) \sin(q_1) \\ 0 \end{pmatrix}\right)$$

```

Capiamo quindi che per $q_1 \neq \begin{cases} 0 \\ \pi \end{cases}$ il nucleo ha la seguente espressione:

$$\ker(J_{q_2=0}) = \text{span}\left(\begin{pmatrix} -D_2 \\ D_2 + D_1 \\ 0 \end{pmatrix}\right)$$

Questo significa che le velocità nulle in punta dipendono dai primi due giunti e dalla lunghezza dei loro link.

```
(%i34) factor(columnspace(Jq2scara))
```

Proviso: $\text{notequal}((-D_2 - D_1) \sin(q_1), 0) \wedge \text{notequal}((-D_2 - D_1) \sin(q_1), 0)$

$$(\%o34) \text{ span}\left(\begin{pmatrix} 0 \\ 0 \\ 1 \end{pmatrix}, \begin{pmatrix} -(D_2 + D_1) \sin(q_1) \\ (D_2 + D_1) \cos(q_1) \\ 0 \end{pmatrix}\right)$$

Vediamo che per $q_1 = 0$, l'immagine diventa:

$$\text{Im}(J_{q_2=0}) = \text{span}\left(\begin{pmatrix} 0 \\ 0 \\ 1 \end{pmatrix}, \begin{pmatrix} 0 \\ D_2 + D_1 \\ 0 \end{pmatrix}\right)$$

Singularità di Forza

(%i35) `Jtscara:-transpose(Jscara)`

$$(\%o35) \begin{pmatrix} D_2 \sin(q_2 + q_1) + D_1 \sin(q_1) & -D_2 \cos(q_2 + q_1) - D_1 \cos(q_1) & 0 \\ D_2 \sin(q_2 + q_1) & -D_2 \cos(q_2 + q_1) & 0 \\ 0 & 0 & -1 \end{pmatrix}$$

(%i36) `dJtscara:trigreduce(expand(determinant(Jtscara)))`

$$(\%o36) -D_1 D_2 \sin(q_2)$$

Vediamo che il determinante si annulla per

$$\det(J) = 0 \iff q_2 = \begin{cases} 0 \\ \pi \end{cases}$$

(%i37) `Jtq2scara:factor(subst(q[2]=0,Jtscara))`

$$(\%o37) \begin{pmatrix} (D_2 + D_1) \sin(q_1) & -(D_2 + D_1) \cos(q_1) & 0 \\ D_2 \sin(q_1) & -D_2 \cos(q_1) & 0 \\ 0 & 0 & -1 \end{pmatrix}$$

(%i38) `nullspace(Jtq2scara)`

Proviso: $\text{notequal}((D_2 + D_1) \sin(q_1), 0) \wedge \text{notequal}((-D_2 - D_1) \sin(q_1), 0)$

$$(\%o38) \text{ span}\left(\begin{pmatrix} (-D_2 - D_1) \cos(q_1) \\ (-D_2 - D_1) \sin(q_1) \\ 0 \end{pmatrix}\right)$$

Quindi per $q_1 = 0$ otteniamo che

$$\ker(J_{q_1=0}) = \text{span}\left(\begin{pmatrix} -(D_2 + D_1) \\ 0 \\ 0 \end{pmatrix}\right)$$

(%i39) `columnspace(Jtq2scara)`

Proviso: $\text{notequal}(D_2 \sin(q_1), 0) \wedge \text{notequal}(-D_2 \sin(q_1), 0)$

$$(\%o39) \text{ span}\left(\begin{pmatrix} 0 \\ 0 \\ -1 \end{pmatrix}, \begin{pmatrix} (D_2 + D_1) \sin(q_1) \\ D_2 \sin(q_1) \\ 0 \end{pmatrix}\right)$$

5. Robot Sferico di Primo Tipo

(%i40) `psferico:matrix([q[3]*cos(q[1])*sin(q[2])+L[2]*cos(q[1])*cos(q[2])],
[q[3]*sin(q[1])*sin(q[2])+L[2]*sin(q[1])*cos(q[2])],
[L[2]*sin(q[2])-q[3]*cos(q[2])+L[1]])`

$$(\%o40) \begin{pmatrix} q_3 \cos(q_1) \sin(q_2) + L_2 \cos(q_1) \cos(q_2) \\ q_3 \sin(q_1) \sin(q_2) + L_2 \sin(q_1) \cos(q_2) \\ L_2 \sin(q_2) - q_3 \cos(q_2) + L_1 \end{pmatrix}$$

(%i41) `Jsferico:J(psferico)$`

(%i42) rdef(Jsferico)

(%o42)
$$\begin{pmatrix} -s_1 s_2 q_3 - s_1 L_2 c_2 & c_1 c_2 q_3 - c_1 L_2 s_2 & c_1 s_2 \\ c_1 s_2 q_3 + c_1 L_2 c_2 & s_1 c_2 q_3 - s_1 L_2 s_2 & s_1 s_2 \\ 0 & s_2 q_3 + L_2 c_2 & -c_2 \end{pmatrix}$$

(%i43) dJsferico:factor(trigsimp(trigreduce((determinant(Jsferico)))))

(%o43) $q_3 (q_3 \sin(q_2) + L_2 \cos(q_2))$

Vediamo che il determinante is annulla per due condizioni:

$$q_3 = 0$$

$$q_3 \sin(q_2) + L_2 \cos(q_2) = 0$$

Consideriamo la prima condizione.

Singularità di Velocità

(%i44) Jq3sferico:subst(q[3]=0, Jsferico)

(%o44)
$$\begin{pmatrix} -L_2 \sin(q_1) \cos(q_2) & -L_2 \cos(q_1) \sin(q_2) & \cos(q_1) \sin(q_2) \\ L_2 \cos(q_1) \cos(q_2) & -L_2 \sin(q_1) \sin(q_2) & \sin(q_1) \sin(q_2) \\ 0 & L_2 \cos(q_2) & -\cos(q_2) \end{pmatrix}$$

(%i45) trigsimp(nullspace(Jq3sferico))

Proviso: $\text{notequal}(\cos(q_1) \sin(q_2), 0) \wedge \text{notequal}((L_2 \sin(q_1)^2 + L_2 \cos(q_1)^2) \cos(q_2) \sin(q_2), 0)$

(%o45)
$$\text{span}\left(\begin{pmatrix} 0 \\ L_2 \cos(q_2) \sin(q_2) \\ L_2^2 \cos(q_2) \sin(q_2) \end{pmatrix}\right)$$

Vediamo che per $q_2 \neq \{0, \pi, \pm \frac{\pi}{2}\}$

$$\ker(J_{q_3=0}) = \text{span}\begin{pmatrix} 0 \\ 1 \\ L_2 \end{pmatrix}$$

(%i46) columnspace(Jq3sferico)

Proviso: $\text{notequal}(-L_2 \sin(q_1) \cos(q_2), 0) \wedge \text{notequal}(-L_2^2 \sin(q_1) \cos(q_2)^2, 0)$

(%o46)
$$\text{span}\left(\begin{pmatrix} -L_2 \sin(q_1) \cos(q_2) \\ L_2 \cos(q_1) \cos(q_2) \\ 0 \end{pmatrix}, \begin{pmatrix} -L_2 \cos(q_1) \sin(q_2) \\ -L_2 \sin(q_1) \sin(q_2) \\ L_2 \cos(q_2) \end{pmatrix}\right)$$

Consideriamo ora la seconda condizione.

$$\begin{aligned} q_3 \sin(q_2) + L_2 \cos(q_2) = 0 &\longrightarrow s_2 = \frac{-L_2 c_2}{q_3} \\ \begin{cases} s_2 = \frac{-L_2 c_2}{q_3} \\ c_2^2 + s_2^2 = 1 \end{cases} &\longrightarrow \left(\frac{L_2 c_2}{q_3}\right)^2 + c_2^2 = 1 \longrightarrow c_2 = \pm \frac{q_3}{\sqrt{L_2^2 + q_3^2}} \longrightarrow s_2 = \mp \frac{L_2}{\sqrt{L_2^2 + q_3^2}} \\ q_2 &= \text{atan2}(\mp L_2, \pm q_3) \quad \text{con } \sqrt{L_2^2 + q_3^2} > 0 \end{aligned}$$

(%i47) Jq2sferico:subst(q[3]*sin(q[2])+L[2]*cos(q[2])=0, factor(Jsferico))\$

(%i48) rdef(Jq2sferico)

(%o48)
$$\begin{pmatrix} 0 & c_1 c_2 q_3 - c_1 L_2 s_2 & c_1 s_2 \\ 0 & s_1 c_2 q_3 - s_1 L_2 s_2 & s_1 s_2 \\ 0 & 0 & -c_2 \end{pmatrix}$$

(%i49) factor(nullspace(Jq2sferico))

Proviso: $\text{notequal}(\cos(q_1) \sin(q_2), 0) \wedge \text{notequal}(q_3 \cos(q_1) \cos(q_2)^2 - L_2 \cos(q_1) \cos(q_2) \sin(q_2), 0)$

$$(\%o49) \text{ span} \left(\begin{pmatrix} -\cos(q_1) \cos(q_2) (L_2 \sin(q_2) - q_3 \cos(q_2)) \\ 0 \\ 0 \end{pmatrix} \right)$$

Per $q_1=0$, $q_2=0$, otteniamo che

$$\ker(J_{q_3 s_2 + L_2 c_2 = 0}) = \text{span} \begin{pmatrix} 1 \\ 0 \\ 0 \end{pmatrix}$$

(%i50) `columnspace(Jq2sferico)`

Proviso: $\text{notequal}(q_3 \cos(q_1) \cos(q_2) - L_2 \cos(q_1) \sin(q_2), 0) \wedge$
 $\text{notequal}(L_2 \cos(q_1) \cos(q_2) \sin(q_2) - q_3 \cos(q_1) \cos(q_2)^2, 0)$

$$(\%o50) \text{ span} \left(\begin{pmatrix} \cos(q_1) \sin(q_2) \\ \sin(q_1) \sin(q_2) \\ -\cos(q_2) \end{pmatrix}, \begin{pmatrix} -\cos(q_1) (L_2 \sin(q_2) - q_3 \cos(q_2)) \\ -\sin(q_1) (L_2 \sin(q_2) - q_3 \cos(q_2)) \\ 0 \end{pmatrix} \right)$$

Singularità di Forza

(%i51) `Jtsferico:-transpose(Jsferico)$`

(%i52) `factor(ridef(Jtsferico))`

$$(\%o52) \begin{pmatrix} s_1 (s_2 q_3 + L_2 c_2) & -c_1 (s_2 q_3 + L_2 c_2) & 0 \\ -c_1 (c_2 q_3 - L_2 s_2) & -s_1 (c_2 q_3 - L_2 s_2) & -(s_2 q_3 + L_2 c_2) \\ -c_1 s_2 & -s_1 s_2 & c_2 \end{pmatrix}$$

(%i53) `dJtsferico:factor(trigsimp(trigreduce((determinant(Jtsferico)))))`

$$(\%o53) -q_3 (q_3 \sin(q_2) + L_2 \cos(q_2))$$

Valgono le stesse considerazioni fatte per le cinematiche di velocità per l'annullamento del determinante. Pertanto:

(%i54) `Jtq3sferico:subst(q[3]=0,Jtsferico)$`

(%i55) `ridef(Jtq3sferico)`

$$(\%o55) \begin{pmatrix} s_1 L_2 c_2 & -c_1 L_2 c_2 & 0 \\ c_1 L_2 s_2 & s_1 L_2 s_2 & -L_2 c_2 \\ -c_1 s_2 & -s_1 s_2 & c_2 \end{pmatrix}$$

(%i56) `factor(trigsimp(nullspace(Jtq3sferico)))`

Proviso: $\text{notequal}(L_2 \sin(q_1) \cos(q_2), 0) \wedge \text{notequal}(-L_2^2 \sin(q_1) \cos(q_2)^2, 0)$

$$(\%o56) \text{ span} \left(\begin{pmatrix} -L_2^2 \cos(q_1) \cos(q_2)^2 \\ -L_2^2 \sin(q_1) \cos(q_2)^2 \\ -L_2^2 \cos(q_2) \sin(q_2) \end{pmatrix} \right)$$

Possiamo quindi concludere che per $q_2 \neq \pm \frac{\pi}{2}$

$$\ker(J_{q_3=0}^T) = \text{span} \begin{pmatrix} c_1 c_2 \\ s_1 c_2 \\ s_2 \end{pmatrix}$$

(%i57) `columnspace(Jtq3sferico)`

Proviso: $\text{notequal}(-\cos(q_1) \sin(q_2), 0) \wedge \text{notequal}((L_2 \sin(q_1))^2 + L_2 \cos(q_1)^2 \cos(q_2) \sin(q_2), 0)$

$$(\%o57) \text{ span} \left(\begin{pmatrix} -L_2 \cos(q_1) \cos(q_2) \\ L_2 \sin(q_1) \sin(q_2) \\ -\sin(q_1) \sin(q_2) \end{pmatrix}, \begin{pmatrix} L_2 \sin(q_1) \cos(q_2) \\ L_2 \cos(q_1) \sin(q_2) \\ -\cos(q_1) \sin(q_2) \end{pmatrix} \right)$$

Consideriamo la seconda condizione.

(%i58) `Jtq2sferico:subst(q[3]*sin(q[2])+L[2]*cos(q[2])=0,factor(Jtsferico))$`

(%i59) factor(ridef(Jtq2sferico))

(%o59)
$$\begin{pmatrix} 0 & 0 & 0 \\ -c_1(c_2 q_3 - L_2 s_2) & -s_1(c_2 q_3 - L_2 s_2) & 0 \\ -c_1 s_2 & -s_1 s_2 & c_2 \end{pmatrix}$$

(%i60) factor(nullspace(Jtq2sferico))

Proviso: $\text{notequal}(L_2 \cos(q_1) \sin(q_2) - q_3 \cos(q_1) \cos(q_2), 0) \wedge$
 $\text{notequal}(L_2 \cos(q_1) \cos(q_2) \sin(q_2) - q_3 \cos(q_1) \cos(q_2)^2, 0)$

(%o60)
$$\text{span}\left(\begin{pmatrix} -\sin(q_1) \cos(q_2) (L_2 \sin(q_2) - q_3 \cos(q_2)) \\ \cos(q_1) \cos(q_2) (L_2 \sin(q_2) - q_3 \cos(q_2)) \\ 0 \end{pmatrix}\right)$$

Vediamo che per $q_2 = 0$ si ha

$$\ker(J_{q_3 s_2 + L_2 c_2 = 0}) = \text{span}\begin{pmatrix} s_1 \\ -c_1 \\ 0 \end{pmatrix}$$

(%i61) columnspace(Jtq2sferico)

Proviso: $\text{notequal}(-\cos(q_1) \sin(q_2), 0) \wedge \text{notequal}(q_3 \cos(q_1) \cos(q_2)^2 - L_2 \cos(q_1) \cos(q_2) \sin(q_2), 0)$

(%o61)
$$\text{span}\left(\begin{pmatrix} 0 \\ 0 \\ \cos(q_2) \end{pmatrix}, \begin{pmatrix} 0 \\ \cos(q_1) (L_2 \sin(q_2) - q_3 \cos(q_2)) \\ -\cos(q_1) \sin(q_2) \end{pmatrix}\right)$$

6. Robot Sferico di Tipo 2 (Stanford)

(%i62) p:matrix([q[3]*cos(q[1])*sin(q[2])-L[2]*sin(q[1])],
[q[3]*sin(q[1])*sin(q[2])+L[2]*cos(q[1])],
[q[3]]*cos(q[2])+L[1])

(%o62)
$$\begin{pmatrix} q_3 \cos(q_1) \sin(q_2) - L_2 \sin(q_1) \\ q_3 \sin(q_1) \sin(q_2) + L_2 \cos(q_1) \\ q_3 \cos(q_2) + L_1 \end{pmatrix}$$

(%i63) Jstanford:J(p)

(%o63)
$$\begin{pmatrix} -q_3 \sin(q_1) \sin(q_2) - L_2 \cos(q_1) & q_3 \cos(q_1) \cos(q_2) & \cos(q_1) \sin(q_2) \\ q_3 \cos(q_1) \sin(q_2) - L_2 \sin(q_1) & q_3 \sin(q_1) \cos(q_2) & \sin(q_1) \sin(q_2) \\ 0 & -q_3 \sin(q_2) & \cos(q_2) \end{pmatrix}$$

(%i64) dJstanford:trigsimp(determinant(Jstanford))

(%o64) $-q_3^2 \sin(q_2)$

Vediamo che il determinante si annulla per

$$q_3 = 0, q_2 = \begin{cases} 0 \\ \pi \end{cases}$$

(%i65) Jq3stanford:subst(q[3]=0,Jstanford)

(%o65)
$$\begin{pmatrix} -L_2 \cos(q_1) & 0 & \cos(q_1) \sin(q_2) \\ -L_2 \sin(q_1) & 0 & \sin(q_1) \sin(q_2) \\ 0 & 0 & \cos(q_2) \end{pmatrix}$$

Singularità di Velocità

(%i66) nullspace(Jq3stanford)

Proviso: $\text{notequal}(-L_2 \cos(q_1), 0) \wedge \text{notequal}(-L_2 \cos(q_1) \cos(q_2), 0)$

(%o66) $\text{span}\left(\begin{pmatrix} 0 \\ -L_2 \cos(q_1) \cos(q_2) \\ 0 \end{pmatrix}\right)$

Si vede quindi che

$$\ker(J_{q_3=0}) = \text{span}\begin{pmatrix} 0 \\ 1 \\ 0 \end{pmatrix}$$

(%i67) `columnspace(Jq3stanford)`

Proviso: $\text{notequal}(-L_2 \cos(q_1), 0) \wedge \text{notequal}(-L_2 \cos(q_1) \cos(q_2), 0)$

(%o67) $\text{span}\left(\begin{pmatrix} -L_2 \cos(q_1) \\ -L_2 \sin(q_1) \\ 0 \end{pmatrix}, \begin{pmatrix} \cos(q_1) \sin(q_2) \\ \sin(q_1) \sin(q_2) \\ \cos(q_2) \end{pmatrix}\right)$

(%i68) `Jq2stanford:subst(q[2]=0,Jstanford)`

(%o68) $\begin{pmatrix} -L_2 \cos(q_1) & q_3 \cos(q_1) & 0 \\ -L_2 \sin(q_1) & q_3 \sin(q_1) & 0 \\ 0 & 0 & 1 \end{pmatrix}$

(%i69) `nullspace(Jq2stanford)`

Proviso: $\text{notequal}(-L_2 \cos(q_1), 0) \wedge \text{notequal}(-L_2 \cos(q_1), 0)$

(%o69) $\text{span}\left(\begin{pmatrix} -q_3 \cos(q_1) \\ -L_2 \cos(q_1) \\ 0 \end{pmatrix}\right)$

(%i70) `columnspace(Jq2stanford)`

Proviso: $\text{notequal}(-L_2 \cos(q_1), 0) \wedge \text{notequal}(-L_2 \cos(q_1), 0)$

(%o70) $\text{span}\left(\begin{pmatrix} 0 \\ 0 \\ 1 \end{pmatrix}, \begin{pmatrix} -L_2 \cos(q_1) \\ -L_2 \sin(q_1) \\ 0 \end{pmatrix}\right)$

Singularità di Forza

(%i71) `Jtstanford:-transpose(Jstanford)`

(%o71) $\begin{pmatrix} q_3 \sin(q_1) \sin(q_2) + L_2 \cos(q_1) & L_2 \sin(q_1) - q_3 \cos(q_1) \sin(q_2) & 0 \\ -q_3 \cos(q_1) \cos(q_2) & -q_3 \sin(q_1) \cos(q_2) & q_3 \sin(q_2) \\ -\cos(q_1) \sin(q_2) & -\sin(q_1) \sin(q_2) & -\cos(q_2) \end{pmatrix}$

(%i72) `dJstanford:trigsimp(determinant(Jtstanford))`

(%o72) $q_3^2 \sin(q_2)$

Valgono le stesse considerazioni sul determinante. Quindi:

(%i73) `Jtq3stanford:subst(q[3]=0,Jtstanford)`

(%o73) $\begin{pmatrix} L_2 \cos(q_1) & L_2 \sin(q_1) & 0 \\ 0 & 0 & 0 \\ -\cos(q_1) \sin(q_2) & -\sin(q_1) \sin(q_2) & -\cos(q_2) \end{pmatrix}$

(%i74) `nullspace(Jtq3stanford)`

Proviso: $\text{notequal}(L_2 \cos(q_1), 0) \wedge \text{notequal}(-L_2 \cos(q_1) \cos(q_2), 0)$

(%o74) $\text{span}\left(\begin{pmatrix} L_2 \sin(q_1) \cos(q_2) \\ -L_2 \cos(q_1) \cos(q_2) \\ 0 \end{pmatrix}\right)$

(%i75) `columnspace(Jtq3stanford)`

Proviso: $\text{notequal}(L_2 \cos(q_1), 0) \wedge \text{notequal}(-L_2 \cos(q_1) \cos(q_2), 0)$

(%o75) $\text{span}\left(\begin{pmatrix} 0 \\ 0 \\ -\cos(q_2) \end{pmatrix}, \begin{pmatrix} L_2 \cos(q_1) \\ 0 \\ -\cos(q_1) \sin(q_2) \end{pmatrix}\right)$

(%i76) `Jtq2stanford:subst(q[2]=0,Jtstanford)`

(%o76) $\begin{pmatrix} L_2 \cos(q_1) & L_2 \sin(q_1) & 0 \\ -q_3 \cos(q_1) & -q_3 \sin(q_1) & 0 \\ 0 & 0 & -1 \end{pmatrix}$

(%i77) `nullspace(Jtq2stanford)`

Proviso: $\text{notequal}(L_2 \cos(q_1), 0) \wedge \text{notequal}(-L_2 \cos(q_1), 0)$

(%o77) $\text{span}\left(\begin{pmatrix} L_2 \sin(q_1) \\ -L_2 \cos(q_1) \\ 0 \end{pmatrix}\right)$

(%i78) `columnspace(Jtq2stanford)`

Proviso: $\text{notequal}(L_2 \cos(q_1), 0) \wedge \text{notequal}(-L_2 \cos(q_1), 0)$

(%o78) $\text{span}\left(\begin{pmatrix} 0 \\ 0 \\ -1 \end{pmatrix}, \begin{pmatrix} L_2 \cos(q_1) \\ -q_3 \cos(q_1) \\ 0 \end{pmatrix}\right)$

7. Robot Antropomorfo

(%i79) `pantro:matrix([D[3]*cos(q[1])*cos(q[2]+q[3])+D[2]*cos(q[1])*cos(q[2])],
[D[3]*sin(q[1])*cos(q[2]+q[3])+D[2]*sin(q[1])*cos(q[2])],
[D[3]*sin(q[2]+q[3])+D[2]*sin(q[2])+L[1]])`

(%o79) $\begin{pmatrix} D_3 \cos(q_1) \cos(q_3 + q_2) + D_2 \cos(q_1) \cos(q_2) \\ D_3 \sin(q_1) \cos(q_3 + q_2) + D_2 \sin(q_1) \cos(q_2) \\ D_3 \sin(q_3 + q_2) + D_2 \sin(q_2) + L_1 \end{pmatrix}$

(%i80) `Jantro:J(pantro)$`

(%i81) `factor(ridef(Jantro))`

(%o81) $\begin{pmatrix} -s_1(D_3 c_{23} + D_2 c_2) & -c_1(D_3 s_{23} + D_2 s_2) & -c_1 D_3 s_{23} \\ c_1(D_3 c_{23} + D_2 c_2) & -s_1(D_3 s_{23} + D_2 s_2) & -s_1 D_3 s_{23} \\ 0 & D_3 c_{23} + D_2 c_2 & D_3 c_{23} \end{pmatrix}$

(%i82) `dJantro:factor(trigsimp(factor(determinant(Jantro))))`

(%o82) $-D_2 D_3 (D_3 \cos(q_3 + q_2) + D_2 \cos(q_2)) (\cos(q_2) \sin(q_3 + q_2) - \sin(q_2) \cos(q_3 + q_2))$

(%i83) `factor(ridef(dJantro))`

(%o83) $-D_2 D_3 (D_3 c_{23} + D_2 c_2) (c_2 s_{23} - s_2 c_{23})$

vediamo che il determinante si annulla se solo se una tra le seguenti due equazioni è zero:

$$D_3 c_{23} + D_2 c_2 = 0$$

$$c_2 s_{23} - s_2 c_{23} = 0$$

Si può vedere che la prima equazione si azzerà per

$$\begin{cases} q_3 = 0 \\ q_2 = \pm \frac{\pi}{2} \end{cases} \quad \text{se } D_2 \neq D_3$$

$$q_2 = q_3 = \pi \quad \text{se } D_2 = D_3$$

La seconda equazione invece si azzerava per

$$q_3 = \begin{cases} 0 \\ \pi \end{cases}$$

Singularità di Velocità

Prima Condizione:

$$\begin{cases} q_3 = 0 \\ q_2 = \pm \frac{\pi}{2} \end{cases} \quad \text{se } D_2 \neq D_3$$

(%i84) Jq3q2antro:subst([q[3]=0,q[2]=%pi/2],Jantro)\$

(%i85) factor(ridef(Jq3q2antro))

(%o85)
$$\begin{pmatrix} 0 & -c_1(D_3 + D_2) & -c_1 D_3 \\ 0 & -s_1(D_3 + D_2) & -s_1 D_3 \\ 0 & 0 & 0 \end{pmatrix}$$

(%i86) trigsimp(nullspace(Jq3q2antro))

Proviso: notequal($-D_3 \cos(q_1)$, 0)

(%o86)
$$\text{span}\left(\begin{pmatrix} 0 \\ -D_3 \cos(q_1) \\ (D_3 + D_2) \cos(q_1) \end{pmatrix}, \begin{pmatrix} -D_3 \cos(q_1) \\ 0 \\ 0 \end{pmatrix}\right)$$

(%i87) factor(columnspace(Jq3q2antro))

Proviso: notequal($(-D_3 - D_2) \cos(q_1)$, 0)

(%o87)
$$\text{span}\left(\begin{pmatrix} -(D_3 + D_2) \cos(q_1) \\ -(D_3 + D_2) \sin(q_1) \\ 0 \end{pmatrix}\right)$$

Seconda Condizione:

$$q_2 = q_3 = \pi \quad \text{se } D_2 = D_3$$

(%i88) Jq3q2antro1:factor(subst([q[3]=%pi,q[2]=%pi,D[2]=D[3]],Jantro))

(%o88)
$$\begin{pmatrix} 0 & 0 & 0 \\ 0 & 0 & 0 \\ 0 & 0 & D_3 \end{pmatrix}$$

(%i89) nullspace(Jq3q2antro1)

Proviso: notequal(D_3 , 0)

(%o89)
$$\text{span}\left(\begin{pmatrix} 0 \\ D_3 \\ 0 \end{pmatrix}, \begin{pmatrix} D_3 \\ 0 \\ 0 \end{pmatrix}\right)$$

(%i90) columnspace(Jq3q2antro1)

Proviso: notequal(D_3 , 0)

(%o90)
$$\text{span}\left(\begin{pmatrix} 0 \\ 0 \\ D_3 \end{pmatrix}\right)$$

Terza Condizione

$$q_3 = \begin{cases} 0 \\ \pi \end{cases}$$

(%i91) Jq3antro:subst(q[3]=0,Jantro)\$

(%i92) factor(ridef(Jq3antro))

$$(\%o92) \begin{pmatrix} -s_1 c_2 (D_3 + D_2) & -c_1 s_2 (D_3 + D_2) & -c_1 s_2 D_3 \\ c_1 c_2 (D_3 + D_2) & -s_1 s_2 (D_3 + D_2) & -s_1 s_2 D_3 \\ 0 & c_2 (D_3 + D_2) & c_2 D_3 \end{pmatrix}$$

(%i93) factor(trigsimp(factor(nullspace(Jq3antro))))

Proviso: notequal($-D_3 \cos(q_1) \sin(q_2), 0$) \wedge notequal($((-D_3^2 - D_2 D_3) \sin(q_1)^2 + (-D_3^2 - D_2 D_3) \cos(q_1)^2) \cos(q_2) \sin(q_2), 0$)

$$(\%o93) \text{span} \left(\begin{pmatrix} 0 \\ -D_3 (D_3 + D_2) \cos(q_2) \sin(q_2) \\ (D_3^2 + 2 D_2 D_3 + D_2^2) \cos(q_2) \sin(q_2) \end{pmatrix} \right)$$

(%i94) factor(columnspace(Jq3antro))

Proviso: notequal($(-D_3 - D_2) \sin(q_1) \cos(q_2), 0$) \wedge notequal($(-D_3^2 - 2 D_2 D_3 - D_2^2) \sin(q_1) \cos(q_2)^2, 0$)

$$(\%o94) \text{span} \left(\begin{pmatrix} -(D_3 + D_2) \sin(q_1) \cos(q_2) \\ (D_3 + D_2) \cos(q_1) \cos(q_2) \\ 0 \end{pmatrix}, \begin{pmatrix} -(D_3 + D_2) \cos(q_1) \sin(q_2) \\ -(D_3 + D_2) \sin(q_1) \sin(q_2) \\ (D_3 + D_2) \cos(q_2) \end{pmatrix} \right)$$

Singularità di Forza

(%i95) Jtantro:-transpose(Jantro)\$

(%i96) factor(ridef(Jtantro))

$$(\%o96) \begin{pmatrix} s_1 (D_3 c_{23} + D_2 c_2) & -c_1 (D_3 c_{23} + D_2 c_2) & 0 \\ c_1 (D_3 s_{23} + D_2 s_2) & s_1 (D_3 s_{23} + D_2 s_2) & -(D_3 c_{23} + D_2 c_2) \\ c_1 D_3 s_{23} & s_1 D_3 s_{23} & -D_3 c_{23} \end{pmatrix}$$

(%i97) dJtantro:factor(trigsimp(factor(determinant(Jtantro))))\$

(%i98) factor(ridef(dJtantro))

(%o98) $D_2 D_3 (D_3 c_{23} + D_2 c_2) (c_2 s_{23} - s_2 c_{23})$

Valgono le stesse considerazioni della cinematica di velocità, quindi:

Prima Condizione:

$$\begin{cases} q_3 = 0 \\ q_2 = \pm \frac{\pi}{2} \end{cases} \quad \text{se } D_2 \neq D_3$$

(%i99) Jtq3q2antro:subst([q[3]=0,q[2]=%pi/2],Jtantro)\$

(%i100) factor(ridef(Jtq3q2antro))

$$(\%o100) \begin{pmatrix} 0 & 0 & 0 \\ c_1 (D_3 + D_2) & s_1 (D_3 + D_2) & 0 \\ c_1 D_3 & s_1 D_3 & 0 \end{pmatrix}$$

(%i101) trigsimp(nullspace(Jtq3q2antro))

Proviso: notequal($(D_3 + D_2) \cos(q_1), 0$)

$$(\%o101) \text{span} \left(\begin{pmatrix} 0 \\ 0 \\ (-D_3 - D_2) \sin(q_1) \end{pmatrix}, \begin{pmatrix} (-D_3 - D_2) \sin(q_1) \\ (D_3 + D_2) \cos(q_1) \\ 0 \end{pmatrix} \right)$$

(%i102) factor(columnspace(Jtq3q2antro))

Proviso: notequal($D_3 \cos(q_1), 0$)

$$(\%o102) \text{ span}\left(\left(\begin{pmatrix} 0 \\ (D_3 + D_2) \cos(q_1) \\ D_3 \cos(q_1) \end{pmatrix}\right)\right)$$

Seconda Condizione:

$$q_2 = q_3 = \pi \quad \text{se } D_2 = D_3$$

(%i103) Jtq3q2antro1:factor(subst([q[3]=%pi,q[2]=%pi,D[2]=D[3]],Jtantro))

$$(\%o103) \begin{pmatrix} 0 & 0 & 0 \\ 0 & 0 & 0 \\ 0 & 0 & -D_3 \end{pmatrix}$$

(%i104) nullspace(Jtq3q2antro1)

Proviso: notequal(-D3, 0)

$$(\%o104) \text{ span}\left(\left(\begin{pmatrix} 0 \\ -D_3 \\ 0 \end{pmatrix}, \begin{pmatrix} -D_3 \\ 0 \\ 0 \end{pmatrix}\right)\right)$$

(%i105) columnspace(Jtq3q2antro1)

Proviso: notequal(-D3, 0)

$$(\%o105) \text{ span}\left(\left(\begin{pmatrix} 0 \\ 0 \\ -D_3 \end{pmatrix}\right)\right)$$

Terza Condizione

$$q_3 = \begin{cases} 0 \\ \pi \end{cases}$$

(%i106) Jtq3antro:subst(q[3]=0,Jtantro)\$

(%i107) factor(ridef(Jtq3antro))

$$(\%o107) \begin{pmatrix} s_1 c_2 (D_3 + D_2) & -c_1 c_2 (D_3 + D_2) & 0 \\ c_1 s_2 (D_3 + D_2) & s_1 s_2 (D_3 + D_2) & -c_2 (D_3 + D_2) \\ c_1 s_2 D_3 & s_1 s_2 D_3 & -c_2 D_3 \end{pmatrix}$$

(%i108) factor(trigsimp(factor(nullspace(Jtq3antro))))

Proviso: notequal((D3 + D2) sin(q1) cos(q2), 0) ∧ notequal((-D3² - 2 D2 D3 - D2²) sin(q1) cos(q2)², 0)

$$(\%o108) \text{ span}\left(\left(\begin{pmatrix} -(D_3^2 + 2 D_2 D_3 + D_2^2) \cos(q_1) \cos(q_2)^2 \\ -(D_3^2 + 2 D_2 D_3 + D_2^2) \sin(q_1) \cos(q_2)^2 \\ -(D_3^2 + 2 D_2 D_3 + D_2^2) \cos(q_2) \sin(q_2) \end{pmatrix}\right)\right)$$

(%i109) factor(columnspace(Jtq3antro))

Proviso: notequal(D3 cos(q1) sin(q2), 0) ∧ notequal(((−D3² − D2 D3) sin(q1)² + (−D3² − D2 D3) cos(q1)²) cos(q2) sin(q2), 0)

$$(\%o109) \text{ span}\left(\left(\begin{pmatrix} -(D_3 + D_2) \cos(q_1) \cos(q_2) \\ (D_3 + D_2) \sin(q_1) \sin(q_2) \\ D_3 \sin(q_1) \sin(q_2) \end{pmatrix}, \begin{pmatrix} (D_3 + D_2) \sin(q_1) \cos(q_2) \\ (D_3 + D_2) \cos(q_1) \sin(q_2) \\ D_3 \cos(q_1) \sin(q_2) \end{pmatrix}\right)\right)$$

Energia Cinetica e Potenziale di Strutture Portanti

Funzioni di utility

1) Determinare le dimensioni di una matrice.

```
(%i1) size(M):=[length(M), length(transpose(M))]
```

2) Calcolare la matrice antisimmetrica dato un vettore di \mathbb{R}^3

```
(%i2) S(v):=block([s1,s2,s3,S],  
    s1:matrix([0],[v[3,1]],[-v[2,1]]),  
    s2:matrix([-v[3,1]],[0],[v[1,1]]),  
    s3:matrix([v[2,1]],[-v[1,1]],[0]),  
    S:s1, S:addcol(S,s2), S:addcol(S,s3),  
    return(S))
```

3) Calcolare la matrice di rotazione $R_v(\theta)$ attorno un asse v di un angolo ϑ , in \mathbb{R}^3

```
(%i3) rodrigues(v,theta):=block([S,I,S2],  
    S:S(v), I:ident(size(v)[1]), S2:S.S,  
    rodr:I+S2*(1-cos(theta))+S*sin(theta),  
    return(trigsimp(trigexpand(trigreduce(rodr)))))
```

4) Calcolare la matrice di rotazione $R_x(\theta)$ in \mathbb{R}^2

```
(%i4) rot2(theta):=block([rot2],  
    rot2:matrix([cos(theta), -sin(theta)], [sin(theta), cos(theta)]),  
    return(rot2))
```

5) Calcolare matrice di rotazione tramite esponenziale di matrice.

```
(%i5) expLaplace(M, theta):=block(
    [dim, I, sAi, sAiT],
    dim:size(M),
    if(dim[1]#dim[2]) then error("Matrix not Square"),
    I:ident(dim[1]),
    sAi:invert(s*I-M),
    sAiT:sAi,
    for i:1 thru dim[1] do(
        for j:1 thru dim[2] do(
            sAiT[i,j]:ilt(sAi[i,j],s,theta)
        )
    ),
    return(expand(trigreduce(trigsimp(sAiT))))
)$
```

6) Matrice di Avvitamento dati asse v , angolo ϑ e spostamento d : $Av(v, \theta, d) = \begin{pmatrix} e^{S_v(\theta)} & dv \\ 0 & 1 \end{pmatrix}$

```
(%i6) Av(v, theta, d):=block(
    [exp, S, dv, row, T],
    S:S(v),
    exp:expLaplace(S, theta),
    row:matrix([0,0,0,1]),
    dv:d*v,
    T:addcol(exp, dv),
    T:addrow(T,row),
    return(trigsimp(trigrat(trigreduce(trigexpand(T)))))
)$
```

7) Matrice della trasformazione completa: $Q_{i-1,i} = Av(z, \theta_i, d_i)Av(x, \alpha_i, a_i)$

```
(%i7) Q(thetai,di,alphai,ai):=block(
    [Avz, Avx, x, z, Q], z:matrix([0],[0],[1]), x:matrix([1],[0],[0]),
    Avz:Av(z,thetai,di),
    Avx:Av(x,alphai,ai),
    Q:Avz.Avx,
    return(Q)
)$
```

8) Nelle procedure è stato inserito come argomento la lunghezza dei link dei robot, indicando con L le lunghezze dei link che vengono orientati lungo l'asse Z e con D quelle dei link orientati lungo l'asse X

Determino la posizione del baricentro di un link data la corrispondente riga di Denavit-Hartenberg.

```
(%i8) baricentro(row):=block(
    [bc],
    bc:addrow(addcol(ident(3),transpose(row)),[0,0,0,1]),
    return(bc)
)$
```

Creo una matrice di inerzia in forma simbolica.

```
(%i9) inerzia(j):=block(
    [II],
    II:matrix([I[xx[i]],I[xy[i]],I[xz[i]]],
               [I[xy[i]],I[yy[i]],I[yz[i]]],
               [I[xz[i]],I[yz[i]],I[zz[i]]]),
    II:subst(j, i, II),
    return(II)
)$
```

Estendo la funzione diff() per la derivata di una funzione composta (secondo specifiche del manuale)

```
(%i10) derivata(f, n):=block(
    [df],
    df:0,
    for i:1 thru n do(
        df: df+diff(f,q[i])*v[i]
    ),
    return(df)
)$
```

Definisco procedura per estrarre la forma quadratica di una funzione.

```
(%i11) formaQuad(func, n) := block(
    [B],
    B: zeromatrix(n,n),
    /*Derivo due volte: ottengo i termini quadratici nelle velocità*/
    for k:1 thru n do(
        B[k, k]: diff(func, v[k], 2)),
    /*Derivo i termini misti:*/
    /*ottengo i termini sopra e sotto la diagonale principale.*/
    for i:1 thru n do(
        for j:i+1 thru n do(
            B[i, j]: 1/2*diff( diff( func, v[j] ), v[i] ),
            B[j, i]: B[i, j]
        )
    ),
    return (B)
)$
```

Definisco procedura per il calcolo dell'energia cinetica di un link, data la corrispondente matrice di DH traslata nel baricentro.

```
(%i12) Tlink(Qh, dof, M):=block(
    [Tr, Tt, w, wt, II, R, Rt, Rd, Sw, result],
    R:submatrix(4,Qh,4),
    d:submatrix(4,Qh,1,2,3),
    Rd:derivata(R, dof),
    dd:derivata(d, dof),
    Sw:trigsimp(Rd.transpose(R)),
    w:matrix([Sw[3][2]], [Sw[1][3]], [Sw[2][1]]),
    wt:transpose(w),
    dd:trigsimp(trigreduce(trigexpand(dd))),
    ddt:transpose(dd),
    II:inerzia(dof),
    Tt:1/2*M*trigsimp(trigreduce(trigexpand(ddt.dd))),
    Tr:1/2*trigsimp(trigreduce(trigexpand(wt.R.II.transpose(R).w))),
    result:[Tr, Tt, II],
    return(result)
)$
```

Definisco procedura per il calcolo dell'energia potenziale di un link, data la corrispondente matrice di DH traslata nel baricentro.

```
(%i13) Ulink(Qh, M):=block(
    [g, U, d],
    /*Approssimo accelerazione gravitazionale a 10 m/s^2*/
    g:[0,0,10],
    d:submatrix(4,Qh,1,2,3),
    U:-M*g.d,
    return(U)
)$
```

Definisco funzione per la stampa delle quantità calcolate. E' commentata nella prossima funzione.

```

(%i14) stampa(T,U,dof):=block(
/*T[i]:[EkR, EkT, Mat Inerzia], T[4]:Ek totale*/
let(cos(q[1]),c[1]),let(cos(q[2]),c[2]),let(cos(q[3]),c[3]),
    let(sin(q[1]),s[1]),let(sin(q[2]),s[2]),let(sin(q[3]),s[3]),
    let(cos(q[1]+q[2]),c[12]),let(sin(q[1]+q[2]),s[12]),
    let(cos(q[3]+q[2]),c[23]),let(sin(q[3]+q[2]),s[23]),
if(dof = 2) then(
    print("Energia Cinetica di Rotazione Link 1: ", letsimp(T[1][1])),
    print("Energia Cinetica di Traslazione Link 1: ", letsimp(T[1][2])),
    print("Matrice di Inerzia Link 1: ", T[1][3]),
    print("Energia Potenziale Link 1: ", letsimp(U[1])),
    print("Energia Cinetica di Rotazione Link 2: ", letsimp(T[2][1])),
    print("Energia Cinetica di Traslazione Link 2: ", letsimp(T[2][2])),
    print("Matrice di Inerzia Link 2: ", T[2][3]),
    print("Energia Potenziale Link 2: ", letsimp(U[2])),
    print("Energia Cinetica complessiva: ",
        1/2,matrix([v[1],v[2]]),letsimp(T[4]),
        transpose(matrix([v[1],v[2]]))),
    print("Energia Potenziale Complessiva: ", letsimp(U[1]+U[2]))
),
if (dof = 3) then(
    print("Energia Cinetica di Rotazione Link1: ", letsimp(T[1][1])),
    print("Energia Cinetica di Traslazione Link 1: ", letsimp(T[1][2])),
    print("Matrice di Inerzia Link 1: ", T[1][3]),
    print("Energia Potenziale Link 1: ", letsimp(U[1])),
    print("Energia Cinetica di Rotazione Link 2: ", letsimp(T[2][1])),
    print("Energia Cinetica di Traslazione Link 2: ", letsimp(T[2][2])),
    print("Matrice di Inerzia Link 2: ", T[2][3]),
    print("Energia Potenziale Link 2: ", letsimp(U[2])),
    print("Energia Cinetica di Rotazione Link 3: ", letsimp(T[3][1])),
    print("Energia Cinetica di Traslazione Link 3: ", letsimp(T[3][2])),
    print("Energia Potenziale Link 3: ", letsimp(U[3])),
    print("Matrice di Inerzia Link 3: ", T[3][3]),
    print("Energia Cinetica complessiva: ",
        1/2,matrix([v[1],v[2],v[3]]),letsimp(T[4]),
        transpose(matrix([v[1],v[2],v[3]]))),
    print("Energia Potenziale Complessiva: ", letsimp(U[1]+U[2]+U[3]))
)$

```

Calcolo l'energia di un robot, fornendo la Massa dei link in forma di lista ($[M_1, M_2, M_3]$) e la relativa tabella di Denavit-Hartenberg.

```

(%i15) energia(DH, M, Trsz):=block(
  [T, U, E1, E2, E3, Q, i, row, rowList, dof, M1, M2, M3,
   Q01, Q12, Q23, Q03, Q01h, Q12h, Q23h, Q03h, g, U1, U2, U3],
  let(cos(q[1]),c[1]),let(cos(q[2]),c[2]),let(cos(q[3]),c[3]),
    let(sin(q[1]),s[1]),let(sin(q[2]),s[2]),let(sin(q[3]),s[3]),
    let(cos(q[1]+q[2]),c[12]),let(sin(q[1]+q[2]),s[12]),
    let(cos(q[3]+q[2]),c[23]),let(sin(q[3]+q[2]),s[23]),
    dof: size(DH)[1],
    M1:M[1], M2:M[2], M3:M[3],
    rowList:[], Q:[], Qh:[],
  /*Carico la tabella di DH per eseguire in modo atomico i calcoli*/
    for i:1 thru dof do(
      rowList:append(rowList,[DH[i]]),
      row:rowList[i],
      Q:append(Q,[Q(row[1],row[2],row[3],row[4])]),
  /*Controllo quanti gradi di libertà ha il robot e calcolo l'energia*/
      if (dof = 2) then(
        Q01:Q[1], Q12:Q[2], Q01h:Q01.baricentro(Trsz[1]),
        Q02:trigreduce(Q01.Q12), Q02h:Q02.baricentro(Trsz[2]),
        T1: factor(Tlink(Q01h, 1, M1)), U1: Ulink(Q01h,M1),
        T2: factor(Tlink(Q02h, 2, M2)), U2: Ulink(Q02h,M2),
        T:letsimp(formaQuad(T1[1]+T1[2]+T2[1]+T2[2],2)), U:letsimp(U1+U2)
      ),
      if (dof = 3) then(
        Q01:Q[1], Q12:Q[2], Q23:Q[3],
        Q01h:Q01.baricentro(Trsz[1]),
        Q02:trigreduce(Q01.Q12), Q02h:Q02.baricentro(Trsz[2]),
        Q03:trigreduce(Q02.Q23), Q03h:Q03.baricentro(Trsz[3]),
        T1: factor(Tlink(Q01h, 1, M1)), U1: Ulink(Q01h,M1),
        T2: factor(Tlink(Q02h, 2, M2)), U2: Ulink(Q02h,M2),
        T3: factor(Tlink(Q03h, 3, M3)), U3: Ulink(Q03h,M3),
        T:letsimp(formaQuad(T1[1]+T1[2]+T2[1]+T2[2]+T3[1]+T3[2],3)),
        U:letsimp(U1+U2+U3)
      ),
  /*Funzione di Stampa commentata per migliorare la leggibilità*/
  /*stampa([T1,T2,T3,T],[U1,U2,U3],dof),*/
  return([T,U])
)$

```

Definisco vettore delle masse.

```
(%i16) M: [M[1],M[2],M[3]]$
```

Definisco le tabelle di DH sottoforma di matrici. In ordine troviamo:

1. Due DOF
2. Cartesiano
3. Cilindrico
4. Scara
5. Sferico Tipo 1
6. Sferico Tipo 2 (Stanford)
7. Antropomorfo

```
(%i17) DH:[matrix([q[1],0,0,L[1]],[q[2],0,0,L[2]]),
matrix([0,q[1],-%pi/2,0],[-%pi/2,q[2],-%pi/2,0],[0,q[3],0,0]),
matrix([q[1],L[1],0,0],[0,q[2],-%pi/2,0],[0,q[3],0,0]),
matrix([q[1],L[1],0,D[1]],[q[2],0,0,D[2]],[0,q[3],0,L[3]]),
matrix([q[1],L[1],%pi/2,0],[q[2],0,%pi/2,D[2]],[0,q[3],0,0]),
matrix([q[1],L[1],-%pi/2,0],[q[2],L[2],%pi/2,0],[0,q[3],0,0]),
matrix([q[1],L[1],%pi/2,0],[q[2],0,0,D[2]],[q[3],0,0,D[3]])]
```

$$(\%o17) \left[\begin{pmatrix} q_1 & 0 & 0 & L_1 \\ q_2 & 0 & 0 & L_2 \end{pmatrix}, \begin{pmatrix} 0 & q_1 & -\frac{\pi}{2} & 0 \\ -\frac{\pi}{2} & q_2 & -\frac{\pi}{2} & 0 \\ 0 & q_3 & 0 & 0 \end{pmatrix}, \begin{pmatrix} q_1 & L_1 & 0 & 0 \\ 0 & q_2 & -\frac{\pi}{2} & 0 \\ 0 & q_3 & 0 & 0 \end{pmatrix}, \begin{pmatrix} q_1 & L_1 & 0 & D_1 \\ q_2 & 0 & 0 & D_2 \\ 0 & q_3 & 0 & L_3 \end{pmatrix}, \right.$$

$$\left. \begin{pmatrix} q_1 & L_1 & \frac{\pi}{2} & 0 \\ q_2 & 0 & \frac{\pi}{2} & D_2 \\ 0 & q_3 & 0 & 0 \end{pmatrix}, \begin{pmatrix} q_1 & L_1 & -\frac{\pi}{2} & 0 \\ q_2 & L_2 & \frac{\pi}{2} & 0 \\ 0 & q_3 & 0 & 0 \end{pmatrix}, \begin{pmatrix} q_1 & L_1 & \frac{\pi}{2} & 0 \\ q_2 & 0 & 0 & D_2 \\ q_3 & 0 & 0 & D_3 \end{pmatrix} \right]$$

Definisco matrici di traslazione. Ogni riga di una matrice rappresenta la traslazione da applicare alla matrice di trasformazione del link i-esimo per raggiungere il suo baricentro.

L'ordine con cui sono scritte combacia con quello delle tabelle di DH scritte sopra per semplicità.

```
(%i18) Trsz:[matrix([-L[1]/2,0,0],[-L[2]/2,0,0]),
matrix([0,L[1]/2,0],[0,L[2]/2,0],[0,0,-L[3]/2]),
matrix([0,0,-L[1]/2],[0,L[2]/2,0],[0,0,-L[3]/2]),
matrix([-D[1]/2,0,-L[1]/2],[-D[2]/2,0,0],[0,0,L[3]/2]),
matrix([0,-L[1]/2,0],[-D[2]/2,0,0],[0,0,-L[3]/2]),
matrix([0,L[1]/2,0],[0,-L[2]/2,0],[0,0,-L[3]/2]),
matrix([0,-L[1]/2,0],[-D[2]/2,0,0],[-D[3]/2,0,0])]
```

$$(\%o18) \left[\begin{pmatrix} -\frac{L_1}{2} & 0 & 0 \\ -\frac{L_2}{2} & 0 & 0 \end{pmatrix}, \begin{pmatrix} 0 & \frac{L_1}{2} & 0 \\ 0 & \frac{L_2}{2} & 0 \\ 0 & 0 & -\frac{L_3}{2} \end{pmatrix}, \begin{pmatrix} 0 & 0 & -\frac{L_1}{2} \\ 0 & \frac{L_2}{2} & 0 \\ 0 & 0 & -\frac{L_3}{2} \end{pmatrix}, \begin{pmatrix} -\frac{D_1}{2} & 0 & -\frac{L_1}{2} \\ -\frac{D_2}{2} & 0 & 0 \\ 0 & 0 & \frac{L_3}{2} \end{pmatrix}, \right.$$

$$\left. \begin{pmatrix} 0 & -\frac{L_1}{2} & 0 \\ -\frac{D_2}{2} & 0 & 0 \\ 0 & 0 & -\frac{L_3}{2} \end{pmatrix}, \begin{pmatrix} 0 & \frac{L_1}{2} & 0 \\ 0 & -\frac{L_2}{2} & 0 \\ 0 & 0 & -\frac{L_3}{2} \end{pmatrix}, \begin{pmatrix} 0 & -\frac{L_1}{2} & 0 \\ -\frac{D_2}{2} & 0 & 0 \\ -\frac{D_3}{2} & 0 & 0 \end{pmatrix} \right]$$

Robot Due Dof

```
(%i19) energia(DH[1],M,Trsz[1])
```

$$(\%o19) \left[\begin{pmatrix} I_{zz2} + \frac{M_2(8L_1L_2\cos(q_2) + 2L_2^2 + 8L_1^2)}{8} + I_{zz1} + \frac{L_1^2M_1}{4} & \frac{I_{zz2} + \frac{M_2(4L_1L_2\cos(q_2) + 2L_2^2)}{8}}{2} \\ \frac{I_{zz2} + \frac{M_2(4L_1L_2\cos(q_2) + 2L_2^2)}{8}}{2} & I_{zz2} + \frac{L_2^2M_2}{4} \end{pmatrix}, 0 \right]$$

Robot Cartesiano

```
(%i20) energia(DH[2],M,Trsz[2])
```

$$(\%o20) \left[\begin{pmatrix} M_3 + M_2 + M_1 & 0 & 0 \\ 0 & M_3 + M_2 & 0 \\ 0 & 0 & M_3 \end{pmatrix}, -10q_1M_3 - 10q_1M_2 - 10M_1q_1 + 5L_1M_1 \right]$$

Robot Cilindrico

```
(%i21) energia(DH[3],M,Trsz[3])
```


$$\begin{aligned}
& \left(\begin{array}{ccc} I_{yy3} + I_{yy2} + I_{zz1} + \frac{M_3(8q_3^2 - 8L_3q_3 + 2L_3^2)}{8} & 0 & 0 \\ 0 & M_3 + M_2 & 0 \\ 0 & 0 & M_3 \end{array} \right), -10q_2M_3 - \\
& \left[\begin{array}{c} 10L_1M_3 - 10M_2q_2 + 5L_2M_2 - 10L_1M_2 - 5L_1M_1 \end{array} \right]
\end{aligned}$$

Robot SCARA

(%i22) `trigreduce(energia(DH[4],M,Trsz[4]))`

$$\begin{aligned}
& \left[\left(I_{zz3} + I_{zz2} + \frac{4D_1D_2M_2\cos(q_2) + (D_2^2 + 4D_1^2)M_2}{4} + (2D_1L_3 + 2D_1D_2)M_3\cos(q_2) + I_{zz1} + \right. \right. \\
& (L_3^2 + 2D_2L_3 + D_2^2 + D_1^2)M_3 + \frac{D_1^2M_1}{4}, (4I_{zz3} + 4I_{zz2} + ((4D_1L_3 + 4D_1D_2)M_3 + \\
& 2D_1D_2M_2)\cos(q_2) + (4L_3^2 + 8D_2L_3 + 4D_2^2)M_3 + D_2^2M_2)/8, 0; (4I_{zz3} + 4I_{zz2} + ((4D_1L_3 + \\
& 4D_1D_2)M_3 + 2D_1D_2M_2)\cos(q_2) + (4L_3^2 + 8D_2L_3 + 4D_2^2)M_3 + D_2^2M_2)/8, I_{zz3} + I_{zz2} + (L_3^2 + \\
& 2D_2L_3 + D_2^2)M_3 + \frac{D_2^2M_2}{4}, 0; 0, 0, M_3 \left. \right), -10M_3q_3 - 5L_3M_3 - 10L_1M_3 - 10L_1M_2 - 5L_1M_1 \left. \right]
\end{aligned}$$

Robot Sferico Tipo 1

(%i23) `trigsimp(factor(energia(DH[5],M,Trsz[5])))`

$$\begin{aligned}
& \left[\left(((4\cos(2q_2) + 4)I_{zz3} - 8\sin(2q_2)I_{xz3} + (4 - 4\cos(2q_2))I_{xx3} + (4\cos(2q_2) + \right. \right. \\
& 4I_{zz2} - 8\sin(2q_2)I_{xz2} + (4 - 4\cos(2q_2))I_{xx2} + D_2(8M_3q_3\sin(2q_2) - 4L_3M_3\sin(2q_2)) + \\
& D_2^2((4M_3 + M_2)\cos(2q_2) + 4M_3 + M_2) + q_3(4L_3M_3\cos(2q_2) - 4L_3M_3) + q_3^2(4M_3 - \\
& 4M_3\cos(2q_2)) - L_3^2M_3\cos(2q_2) + 8I_{yy1} + L_3^2M_3)/8, \\
& -\frac{\cos(q_2)I_{yz3} - \sin(q_2)I_{xy3} + \cos(q_2)I_{yz2} - \sin(q_2)I_{xy2}}{2}, 0; \\
& -\frac{\cos(q_2)I_{yz3} - \sin(q_2)I_{xy3} + \cos(q_2)I_{yz2} - \sin(q_2)I_{xy2}}{2}, \\
& \frac{4I_{yy3} + 4I_{yy2} + 4M_3q_3^2 - 4L_3M_3q_3 + D_2^2(4M_3 + M_2) + L_3^2M_3}{4}, -\frac{D_2M_3}{2}; 0, -\frac{D_2M_3}{2}, M_3 \left. \right), 10c_2M_3q_3 + \\
& D_2(-10s_2M_3 - 5M_2s_2) - 5c_2L_3M_3 + L_1(-10M_3 - 10M_2 - 5M_1) \left. \right]
\end{aligned}$$

Robot Sferico Tipo 2 (Stanford)

(%i24) `trigsimp(factor(energia(DH[6],M,Trsz[6])))`

$$\begin{aligned}
& \left[\left(((4\cos(2q_2) + 4)I_{zz3} - 8\sin(2q_2)I_{xz3} + (4 - 4\cos(2q_2))I_{xx3} + (4\cos(2q_2) + \right. \right. \\
& 4I_{zz2} - 8\sin(2q_2)I_{xz2} + (4 - 4\cos(2q_2))I_{xx2} + q_3(4L_3M_3\cos(2q_2) - 4L_3M_3) + q_3^2(4M_3 - \\
& 4M_3\cos(2q_2)) - L_3^2M_3\cos(2q_2) + 8I_{yy1} + L_2^2(8M_3 + 2M_2) + L_3^2M_3)/8, -(-2\cos(q_2)I_{yz3} + \\
& 2\sin(q_2)I_{xy3} - 2\cos(q_2)I_{yz2} + 2\sin(q_2)I_{xy2} + L_2(2M_3q_3\cos(q_2) - L_3M_3\cos(q_2)))/4, \\
& -\frac{L_2s_2M_3}{2}; -(-2\cos(q_2)I_{yz3} + 2\sin(q_2)I_{xy3} - 2\cos(q_2)I_{yz2} + 2\sin(q_2)I_{xy2} + \\
& L_2(2M_3q_3\cos(q_2) - L_3M_3\cos(q_2)))/4, \frac{4I_{yy3} + 4I_{yy2} + 4M_3q_3^2 - 4L_3M_3q_3 + L_3^2M_3}{4}, 0; -\frac{L_2s_2M_3}{2}, 0, \\
& M_3 \left. \right), -10c_2M_3q_3 + 5c_2L_3M_3 + L_1(-10M_3 - 10M_2 - 5M_1) \left. \right]
\end{aligned}$$

Robot Antropomorfo

(%i25) `trigsimp(factor(energia(DH[7],M,Trsz[7])))`

$$\begin{aligned}
& \left[\left(((4\cos(2q_3 + 2q_2) + 4)I_{yy3} + 8\sin(2q_3 + 2q_2)I_{xy3} + (4 - 4\cos(2q_3 + 2q_2))I_{xx3} + \right. \right. \\
& D_3^2(M_3\cos(2q_3 + 2q_2) + M_3) + D_2D_3(4M_3\cos(q_3 + 2q_2) + 4M_3\cos(q_3)) + (4\cos(2q_2) + \\
& 4)I_{yy2} + 8\sin(2q_2)I_{xy2} + (4 - 4\cos(2q_2))I_{xx2} + D_2^2((4M_3 + M_2)\cos(2q_2) + 4M_3 + M_2) + \\
& 8I_{yy1})/8, \frac{\cos(q_3 + q_2)I_{yz3} + \sin(q_3 + q_2)I_{xz3} + \cos(q_2)I_{yz2} + \sin(q_2)I_{xz2}}{2}, \frac{\cos(q_3 + q_2)I_{yz3} + \sin(q_3 + q_2)I_{xz3}}{2}, \\
& \frac{\cos(q_3 + q_2)I_{yz3} + \sin(q_3 + q_2)I_{xz3} + \cos(q_2)I_{yz2} + \sin(q_2)I_{xz2}}{2},
\end{aligned}$$

$$\begin{aligned}
& \frac{4 I_{zz3} + 4 D_2 D_3 M_3 \cos(q_3) + 4 I_{zz2} + D_2^2 (4 M_3 + M_2) + D_3^2 M_3}{4}, \frac{4 I_{zz3} + 2 D_2 D_3 M_3 \cos(q_3) + D_3^2 M_3}{8}; \\
& \frac{\cos(q_3 + q_2) I_{yz3} + \sin(q_3 + q_2) I_{xz3}}{2}, \frac{4 I_{zz3} + 2 D_2 D_3 M_3 \cos(q_3) + D_3^2 M_3}{8}, \frac{4 I_{zz3} + D_3^2 M_3}{4} \Bigg), -5 D_3 M_3 s_{23} + \\
& D_2 (-10 s_2 M_3 - 5 M_2 s_2) + L_1 (-10 M_3 - 10 M_2 - 5 M_1) \Bigg]
\end{aligned}$$

(%i26)

Matrici di Inerzia di Corpi Solidi

La matrice di inerzia di un solido a tre dimensioni è descritta dal seguente integrale triplo:

$$\mathbb{I} = \rho \int_V S^T(\hat{p}) S(\hat{p}) dV$$

Dove \hat{p} è il vettore delle coordinate del baricentro del solido rispetto al sistema di riferimento inerziale, mentre $S(p)$ è la matrice antisimmetrica seguente:

$$S(\hat{p}) = \begin{pmatrix} 0 & -z & y \\ z & 0 & -x \\ -y & x & 0 \end{pmatrix}, \quad \hat{p} = \begin{pmatrix} x \\ y \\ z \end{pmatrix}$$

Da cui segue:

$$S^T(\hat{p}) S(\hat{p}) = \begin{pmatrix} z^2 + y^2 & -xy & -xz \\ -xy & x^2 + z^2 & -yz \\ -xz & -yz & x^2 + y^2 \end{pmatrix}$$

Consideriamo i seguenti corpi solidi di massa M , sia pieni che cavi:

1. Parallelepipedo di lati A, B, C .
2. Cilindro di raggio R ed altezza H .
3. Sfera di Raggio R .

Per la cavità, consideriamo sia il caso in cui sia completa (diremo senza tappi), sia parziale (con tappi).

```
(%i1) p:matrix([x],[y],[z])
```

```
(%o1)  $\begin{pmatrix} x \\ y \\ z \end{pmatrix}$ 
```

1. **Parallelepipedo.**

Lati A, B, C

```
(%i2) a:[-A/2,A/2]
```

```
(%o2)  $\left[-\frac{A}{2}, \frac{A}{2}\right]$ 
```

```
(%i3) b:[-B/2,B/2]
```

```
(%o3)  $\left[-\frac{B}{2}, \frac{B}{2}\right]$ 
```

```
(%i4) c:[-C/2,C/2]
```

```
(%o4)  $\left[-\frac{C}{2}, \frac{C}{2}\right]$ 
```

Densità del parallelepipedo.

```
(%i5) rhoP:M/(A*B*C)
```

```
(%o5)  $\frac{M}{ABC}$ 
```

```
(%i6) parallelepipedo(p,a,b,c):=block(
[s, sTs, II],
  s:matrix([0,-p[3][1],p[2][1]],
            [p[3][1],0,-p[1][1]],
            [-p[2][1],p[1][1],0]),
  sTs:transpose(s).s,
  II:factor(expand(integrate(integrate(integrate(
sTs,x,a[1],a[2]),y,b[1],b[2]),z,c[1],c[2]))),
  return(II)
)$
```

```
(%i7) rhoP*parallelepipedo(p,a,b,c)
```

$$(\%o7) \begin{pmatrix} \frac{(C^2+B^2)M}{12} & 0 & 0 \\ 0 & \frac{(C^2+A^2)M}{12} & 0 \\ 0 & 0 & \frac{(B^2+A^2)M}{12} \end{pmatrix}$$

1.1 Parallelepipedo cavo con tappi.

La cavità è un secondo parallelepipedo posizionato al centro del primo, di lati A_{vt} , B_{vt} , C_{vt} dove $A_{vt} < A$, $B_{vt} < B$, $C_{vt} < C$.

(%i8) `avt:[-(A[vt])/2,(A[vt])/2]`

$$(\%o8) \left[-\frac{A_{vt}}{2}, \frac{A_{vt}}{2} \right]$$

(%i9) `bvt:[-(B[vt])/2,(B[vt])/2]`

$$(\%o9) \left[-\frac{B_{vt}}{2}, \frac{B_{vt}}{2} \right]$$

(%i10) `cvt:[-(C[vt])/2,(C[vt])/2]`

$$(\%o10) \left[-\frac{C_{vt}}{2}, \frac{C_{vt}}{2} \right]$$

(%i11) `rhovt:M/((A*B*C)-(A[vt]*B[vt]*C[vt]))`

(%o11)
$$\frac{M}{ABC - A_{vt} B_{vt} C_{vt}}$$

(%i12) `paraCavoT(p,a,b,c,avt,bvt,cvt):=block(
[IIcavo, II, cavo, s, sTs],
s:matrix([0,-p[3][1],p[2][1]],
[p[3][1],0,-p[1][1]],
[-p[2][1],p[1][1],0]),
sTs:transpose(s).s,
II:factor(expand(integrate(integrate(integrate(
sTs,x,a[1],a[2]),y,b[1],b[2]),z,c[1],c[2]))),
cavo:factor(expand(integrate(integrate(integrate(
sTs,x,avt[1],avt[2]),y,bvt[1],bvt[2]),z,cvt[1],cvt[2]))),
IIcavo:(II-cavo),
return(IIcavo)`

)\$

(%i13) `Ic:factor(expand(rhovt*paraCavoT(p,a,b,c,avt,bvt,cvt)))`

(%o13)
$$\left(\frac{M(A_{vt}B_{vt}C_{vt}^3 + A_{vt}B_{vt}^3C_{vt} - ABC^3 - AB^3C)}{12(A_{vt}B_{vt}C_{vt} - ABC)}, 0, 0; 0, \frac{M(A_{vt}B_{vt}C_{vt}^3 + A_{vt}^3B_{vt}C_{vt} - ABC^3 - A^3BC)}{12(A_{vt}B_{vt}C_{vt} - ABC)}, 0; 0, 0, \frac{M(A_{vt}B_{vt}^3C_{vt} + A_{vt}^3B_{vt}C_{vt} - AB^3C - A^3BC)}{12(A_{vt}B_{vt}C_{vt} - ABC)} \right)$$

1.2 Parallelepipedo cavo senza tappi

La cavità è un secondo parallelepipedo posizionato al centro del primo, di lati A_v , B_v , C_v dove $A_v = A$, $B_v < B$, $C_v < C$.

(%i14) `av: [-A/2,A/2]`

$$(\%o14) \left[-\frac{A}{2}, \frac{A}{2} \right]$$

(%i15) `bv: [-B[v]/2,B[v]/2]`

$$(\%o15) \left[-\frac{B_v}{2}, \frac{B_v}{2} \right]$$

```

(%i16) cv: [-C[v]/2, C[v]/2]
(%o16)  $\left[-\frac{C_v}{2}, \frac{C_v}{2}\right]$ 
(%i17) rhov: M/(A*B*C-A*B[v]*C[v])
(%o17)  $\frac{M}{ABC - AB_v C_v}$ 
(%i18) paraCavo(p,a,b,c,bv,cv):=block(
  [IIcavoT, II, cavoT, s, sTs],
  s:matrix([0,-p[3][1],p[2][1]],
    [p[3][1],0,-p[1][1]],
    [-p[2][1],p[1][1],0]),
  sTs:transpose(s).s,
  II:factor(expand(integrate(integrate(integrate(
    sTs,x,a[1],a[2]),y,b[1],b[2]),z,c[1],c[2]))),
  cavoT:factor(expand(integrate(integrate(integrate(
    sTs,x,a[1],a[2]),y,bv[1],bv[2]),z,cv[1],cv[2]))),
  IIcavoT:(II-cavoT),
  return(IIcavoT)
)$
(%i19) Ic:factor(expand(rhov*paraCavo(p,a,b,c,bv,cv)))
(%o19)  $\left(\frac{M(B_v C_v^3 + B_v^3 C_v - B C^3 - B^3 C)}{12(B_v C_v - B C)}, 0, 0, 0, \frac{M(B_v C_v^3 + A^2 B_v C_v - B C^3 - A^2 B C)}{12(B_v C_v - B C)}, 0, 0, 0, \frac{M(B_v^3 C_v + A^2 B_v C_v - B^3 C - A^2 B C)}{12(B_v C_v - B C)}\right)$ 

```

2. Cilindro

Di raggio R ed altezza H

Eseguo cambiamento di coordinate da cartesiane a cilindriche.

$$\begin{cases} x = \rho \cos(\theta) & \rho \in [0, R] \\ y = \rho \sin(\theta) & \theta \in [0, 2\pi] \\ z = h & h \in [0, H] \end{cases}$$

```

(%i20) assume(R>0)$
(%i21) rhoC: [0,R]$
(%i22) hC: [0,H]$
(%i23) dens:M/(%pi*R^2*H)
(%o23)  $\frac{M}{\pi H R^2}$ 
(%i24) cilindro(rhoC,hC):=block(
  [I, s, sTs, p, x, y, z, J, thetaC],
  thetaC:[0, 2*%pi],
  x:rho*cos(theta),
  y:rho*sin(theta),
  z:h,
  p:matrix([x],[y],[z]),
  s:matrix([0,-p[3][1],p[2][1]],
    [p[3][1],0,-p[1][1]],
    [-p[2][1],p[1][1],0]),
  sTs:transpose(s).s,
  J:abs(trigsimp(determinant(
    addcol(diff(p,rho),diff(p,theta),diff(p,h))))),
  I:integrate(integrate(integrate(
    J*sTs,theta,thetaC[1],thetaC[2]),rho,rhoC[1],rhoC[2]),h,hC[1],hC[2]),
  return(I)
)$

```

```
(%i25) factor(dens*cilindro(rhoC,hC))
```

```
(%o25) 
$$\begin{pmatrix} \frac{M(3R^2+4H^2)}{12} & 0 & 0 \\ 0 & \frac{M(3R^2+4H^2)}{12} & 0 \\ 0 & 0 & \frac{MR^2}{2} \end{pmatrix}$$

```

2.1 Cilindro Cavo con Tappi

La cavità è un secondo cilindro posizionato al centro del primo, di raggio R_{vt} ed altezza H_{vt} .
dove $R_{vt} < R$, $H_{vt} < H$.

Per eseguire il calcolo dell'integrale usiamo sempre lo stesso cambiamento di coordinate.

```
(%i26) assume(R[vt]>0)$
```

```
(%i27) rhoCvt:[0, R[vt]]$
```

```
(%i28) hCvt:[0, H[vt]]$
```

```
(%i29) densvt:M/((%pi*R^2*H)-(%pi*R[vt]^2*H[vt]))
```

```
(%o29) 
$$\frac{M}{\pi H R^2 - \pi H_{vt} R_{vt}^2}$$

```

```
(%i30) cilindroVT(rhoC, hC, rhoCvt, hCvt):=block(
  [I, cavo, Icavo, s, sTs, p, x, y, z, J, thetaC],
  thetaC:[0, 2*%pi],
  x:rho*cos(theta),
  y:rho*sin(theta),
  z:h,
  p:matrix([x],[y],[z]),
  s:matrix([0,-p[3][1],p[2][1]],
            [p[3][1],0,-p[1][1]],
            [-p[2][1],p[1][1],0]),
  sTs:transpose(s).s,
  J:abs(trigsimp(determinant(
    addcol(diff(p,rho),diff(p,theta),diff(p,h))))),
  I:integrate(integrate(integrate(
    J*sTs,theta,thetaC[1],thetaC[2]),rho,rhoC[1],rhoC[2]),h,hC[1],hC[2]),
  cavo:integrate(integrate(integrate(
    J*sTs,theta,thetaC[1],thetaC[2]),
    rho,rhoCvt[1],rhoCvt[2]),h,hCvt[1],hCvt[2]),
  Icavo:I-cavo,
  return(Icavo)
)$
```

```
(%i31) factor(densvt*cilindroVT(rhoC, hC, rhoCvt, hCvt))
```

```
(%o31) 
$$\left( \frac{M(3H_{vt}R_{vt}^4+4H_{vt}^3R_{vt}^2-3HR^4-4H^3R^2)}{12(H_{vt}R_{vt}^2-HR^2)}, 0, 0, 0, \frac{M(3H_{vt}R_{vt}^4+4H_{vt}^3R_{vt}^2-3HR^4-4H^3R^2)}{12(H_{vt}R_{vt}^2-HR^2)}, 0, 0, 0, \frac{M(H_{vt}R_{vt}^4-HR^4)}{2(H_{vt}R_{vt}^2-HR^2)} \right)$$

```

2.2 Cilindro Cavo senza Tappi

La cavità è un secondo cilindro posizionato al centro del primo, di raggio R_v ed altezza H_v .
dove $R_v < R$, $H_v = H$.

Per eseguire il calcolo dell'integrale usiamo sempre lo stesso cambiamento di coordinate.

```
(%i32) assume(R[v]>0)$
```

```
(%i33) rhoCv:[0, R[v]]$
```

```
(%i34) hCv:[0, H]$
```

```
(%i35) densv:M/((%pi*R^2*H)-(%pi*R[v]^2*H))
```

```
(%o35) 
$$\frac{M}{\pi H R^2 - \pi H R_v^2}$$

```

```
(%i36) cilindroV(rhoC, hC, rhoCv):=block(
  [I, cavo, Icavo, s, sTs, p, x, y, z, J, thetaC],
  thetaC:[0, 2*%pi],
  x:rho*cos(theta),
  y:rho*sin(theta),
  z:h,
  p:matrix([x],[y],[z]),
  s:matrix([0,-p[3][1],p[2][1]],
            [p[3][1],0,-p[1][1]],
            [-p[2][1],p[1][1],0]),
  sTs:transpose(s).s,
  J:abs(trigsimp(determinant(
    addcol(diff(p,rho),diff(p,theta),diff(p,h))))),
  I:integrate(integrate(integrate(
    J*sTs,theta,thetaC[1],thetaC[2]),rho,rhoC[1],rhoC[2]),h,hC[1],hC[2]),
  cavo:integrate(integrate(integrate(
    J*sTs,theta,thetaC[1],thetaC[2]),
    rho,rhoCv[1],rhoCv[2]),h,hC[1],hC[2]),
  Icavo:I-cavo,
  return(Icavo)
)$
```

```
(%i37) factor(densv*cilindroV(rhoC, hC, rhoCv))
```

```
(%o37) 
$$\begin{pmatrix} \frac{M(3R_v^2 + 3R^2 + 4H^2)}{12} & 0 & 0 \\ 0 & \frac{M(3R_v^2 + 3R^2 + 4H^2)}{12} & 0 \\ 0 & 0 & \frac{M(R_v^2 + R^2)}{2} \end{pmatrix}$$

```

3. Sfera di raggio R

Per il calcolo dell'integrale usiamo le coordinate sferiche

$$\begin{cases} x: \rho \cos(\theta) \sin(\phi) & \rho \in [0, R] \\ y: \rho \sin(\theta) \sin(\phi) & \theta \in [0, 2\pi] \\ z: \rho \cos(\phi) & \phi \in [0, \pi] \end{cases}$$

(%i41) rhoS:[0,R]\$

(%i38) densS:M/(4/3*%pi*R^3)

(%o38) $\frac{3M}{4\pi R^3}$

```
(%i56) sfera(rhoS):=block(
  [I, s, sTs, p, x, y, z, J, thetaS, phiS],
  thetaS:[0, 2*%pi], phiS:[0,%pi],
  x:rho*cos(theta)*sin(phi),
  y:rho*sin(theta)*sin(phi),
  z:rho*cos(phi),
  p:matrix([x],[y],[z]),
  s:matrix([0,-p[3][1],p[2][1]],
            [p[3][1],0,-p[1][1]],
            [-p[2][1],p[1][1],0]),
  sTs:trigsimp(transpose(s).s),
  J:abs(trigsimp(determinant(
    addcol(diff(p,rho),diff(p,theta),diff(p,phi))))),
  assume(sin(phi)>0),
  I:integrate(integrate(integrate(
    J*sTs,theta,thetaS[1],thetaS[2]),
    rho,rhoS[1],rhoS[2]),phi,phiS[1],phiS[2]),
  return(I)
)$
```

(%i57) densS*sfera(rhoS)

(%o57) $\begin{pmatrix} \frac{2MR^2}{5} & 0 & 0 \\ 0 & \frac{2MR^2}{5} & 0 \\ 0 & 0 & \frac{2MR^2}{5} \end{pmatrix}$

3.1 Sfera Cava di raggio R

La cavità è formata da una seconda sfera di raggio R_v , tale che $R_v < 0$.

(%i58) rv:[0, R[v]]\$

(%i59) densSv:M/(4/3*%pi*R^3-4/3*%pi*R[v]^3)

(%o59) $\frac{M}{\frac{4\pi R^3}{3} - \frac{4\pi R_v^3}{3}}$


```

(%i60) sferaV(rhoS, rv):=block(
  [I, cavo, Icavo, s, sTs, p, x, y, z, J, thetaS, phiS],
  thetaS:[0, 2*%pi], phiS:[0,%pi],
  x:rho*cos(theta)*sin(phi),
  y:rho*sin(theta)*sin(phi),
  z:rho*cos(phi),
  p:matrix([x],[y],[z]),
  s:matrix([0,-p[3][1],p[2][1]],
    [p[3][1],0,-p[1][1]],
    [-p[2][1],p[1][1],0]),
  sTs:trigsimp(transpose(s).s),
  J:abs(trigsimp(determinant(
    addcol(diff(p,rho),diff(p,theta),diff(p,phi))))),
  assume(sin(phi)>0),
  I:integrate(integrate(integrate(
    J*sTs,theta,thetaS[1],thetaS[2]),
    rho,rhoS[1],rhoS[2]),phi,phiS[1],phiS[2]),
  cavo:integrate(integrate(integrate(
    J*sTs,theta,thetaS[1],thetaS[2]),
    rho,rv[1],rv[2]),phi,phiS[1],phiS[2]),
  Icavo:I-cavo,
  return(Icavo)
)$

(%i64) factor(densSv*sferaV(rhoS,rv))

(%o64)  $\left( \frac{2 M (R_v^4 + R R_v^3 + R^2 R_v^2 + R^3 R_v + R^4)}{5 (R_v^2 + R R_v + R^2)}, 0, 0, 0, \frac{2 M (R_v^4 + R R_v^3 + R^2 R_v^2 + R^3 R_v + R^4)}{5 (R_v^2 + R R_v + R^2)}, 0, 0, 0, \frac{2 M (R_v^4 + R R_v^3 + R^2 R_v^2 + R^3 R_v + R^4)}{5 (R_v^2 + R R_v + R^2)} \right)$ 

(%i65)

```

Funzioni di utility

1) Determinare le dimensioni di una matrice.

```
(%i1) size(M):=[length(M), length(transpose(M))]
```

2) Calcolare la matrice antisimmetrica dato un vettore di \mathbb{R}^3

```
(%i2) S(v):=block([s1,s2,s3,S],  
    s1:matrix([0],[v[3,1]],[-v[2,1]]),  
    s2:matrix([-v[3,1]],[0],[v[1,1]]),  
    s3:matrix([v[2,1]],[-v[1,1]],[0]),  
    S:s1, S:addcol(S,s2), S:addcol(S,s3),  
    return(S))
```

3) Calcolare la matrice di rotazione $R_v(\theta)$ attorno un asse v di un angolo ϑ , in \mathbb{R}^3

```
(%i3) rodrigues(v,theta):=block([S,I,S2],
    S:S(v), I:ident(size(v)[1]), S2:S.S,
    rodr:I+S2*(1-cos(theta))+S*sin(theta),
    return(trigsimp(trigexpand(trigreduce(rodr))))$
```

4) Calcolare la matrice di rotazione $R_x(\theta)$ in \mathbb{R}^2

```
(%i4) rot2(theta):=block([rot2],
    rot2:matrix([cos(theta), -sin(theta)], [sin(theta), cos(theta)]),
    return(rot2))$
```

5) Calcolare matrice di rotazione tramite esponenziale di matrice.

```
(%i5) expLaplace(M, theta):=block(
    [dim, I, sAi, sAiT],
    dim:size(M),
    if(dim[1]#dim[2]) then error("Matrix not Square"),
    I:ident(dim[1]),
    sAi:invert(s*I-M),
    sAiT:sAi,
    for i:1 thru dim[1] do(
        for j:1 thru dim[2] do(
            sAiT[i,j]:ilt(sAi[i,j],s,theta)
        )
    ),
    return(expand(trigreduce(trigsimp(sAiT))))
)$
```

6) Matrice di Avvitamento dati asse v , angolo ϑ e spostamento d : $Av(v, \theta, d) = \begin{pmatrix} e^{S_v(\theta)} & dv \\ 0 & 1 \end{pmatrix}$

```
(%i6) Av(v, theta, d):=block(
    [exp, S, dv, row, T],
    S:S(v),
    exp:expLaplace(S, theta),
    row:matrix([0,0,0,1]),
    dv:d*v,
    T:addcol(exp, dv),
    T:addrow(T,row),
    return(trigsimp(trigrat(trigreduce(trigexpand(T))))
)$
```

7) Matrice della trasformazione completa: $Q_{i-1,i} = Av(z, \theta_i, d_i)Av(x, \alpha_i, a_i)$

```
(%i7) Q(thetai,di,alphai,ai):=block(
    [Avz, Avx, x, z, Q], z:matrix([0],[0],[1]), x:matrix([1],[0],[0]),
    Avz:Av(z,thetai,di),
    Avx:Av(x,alphai,ai),
    Q:Avz.Avx,
    return(Q)
)$
```

8) Nelle procedure, quando necessario, è stata applicata la ridefinizione della notazione seno e coseno nella forma:

$$\begin{aligned}\cos(\theta_1 + \dots + \theta_n) &= c_{1\dots n} \\ \sin(\theta_1 + \dots + \theta_n) &= s_{1\dots n}\end{aligned}$$

```
(%i8) ridef(M,q1,q2,q3):=block(let(cos(q3+q2), c[23]),let(sin(q3+q2),s[23]),
    let(cos(q1),c[1]),let(sin(q1),s[1]),let(cos(q2),c[2]),let(sin(q2),s[2]),
    let(D3*cos (q3+q2)+D2*cos (q2), D3*c[23]+D2*c[2]),return(letsimp(M)))$
```

9) Nelle procedure è stato inserito come argomento la lunghezza dei link dei robot, indicando con L le lunghezze dei link che vengono orientati lungo l'asse Z e con D quelle dei link orientati lungo l'asse X

Determino la posizione del baricentro di un link data la corrispondente riga di Denavit-Hartenberg.

```
(%i9) baricentro(row):=block(
    [bc],
    bc:addrow(addcol(ident(3),transpose(row)),[0,0,0,1]),
    return(bc)
)$
```

Creo una matrice di inerzia in forma simbolica.

```
(%i10) inerzia(j):=block(
    [II],
    II:matrix([I[xx[i]],I[xy[i]],I[xz[i]]],
    [I[xy[i]],I[yy[i]],I[yz[i]]],
    [I[xz[i]],I[yz[i]],I[zz[i]]]),
    II:subst(j, i, II),
    return(II)
)$
```

Estendo la funzione diff() per la derivata di una funzione composta (secondo specifiche del manuale)

```
(%i11) derivata(f, n):=block(
    [df],
    df:0,
    for i:1 thru n do(
        df: df+diff(f,q[i])*v[i]
    ),
    return(df)
)$
```

$$\frac{\partial L(q, \dot{q})}{\partial q}$$

```
(%i12) diffPos(f,dof):=block(
    [df, i, dfi],
    df: matrix([diff(f,q[1])]),
    for i:1 thru dof-1 do(
        dfi:diff(f,q[i+1]),
        df:addrow(df,matrix([dfi]))
    ), return(df)
)$
```

$$\frac{d}{dt} \frac{\partial L(q, \dot{q})}{\partial \dot{q}}$$

```
(%i13) diffVelT(f,dof):=block(
    [df, i, dfi],
    /*dL/dq_punto = diff(f,v),v
    d/dt q_punto = a*/
    /*Aggiungo le derivate rispetto alle posizioni per la dipendenza da q(t)*/
    df: matrix([diff(diff(f,v[1]),v[1])*a[1]+diff(diff(f,v[1]),q[1])*v[1]),
    for i:1 thru dof-1 do(
        dfi:diff(diff(f,v[i+1]),v[i+1])*a[i+1]+
        diff(diff(f,v[i+1]),q[i+1])*v[i+1],
        df:addrow(df,matrix([dfi]))
    ), return(df)
)$
```

$$\frac{\partial \mathcal{F}(\dot{q})}{\partial \dot{q}}$$

```
(%i14) diffAttr(f,dof):=block(
    [df, i, dfi],
    df: matrix([diff(f,v[1])]),
    for i:1 thru dof-1 do(
        dfi:diff(f,v[i+1]),
        df:addrow(df,matrix([dfi]))
    ), return(df)
)$
```

Definisco procedura per estrarre la forma quadratica di una funzione.

```
(%i15) formaQuad(func, n) := block(
    [B],
    B: zeromatrix(n,n),
    /*Derivo due volte: ottengo i termini quadratici nelle velocità*/
    for k:1 thru n do(
        B[k, k]: diff(func, v[k], 2)),
    /*Derivo i termini misti:*/
    /*ottengo i termini sopra e sotto la diagonale principale.*/
    for i:1 thru n do(
        for j:i+1 thru n do(
            B[i, j]: 1/2*diff( diff( func, v[j] ), v[i] ),
            B[j, i]: B[i, j]
        )
    ),
    return (B)
)$
```

Definisco procedura per il calcolo dell'energia cinetica di un link, data la corrispondente matrice di DH traslata nel baricentro.

```
(%i16) Tlink(Qh, dof, M):=block(
    [Tr, Tt, w, wt, II, R, Rt, Rd, Sw, result],
    R:submatrix(4,Qh,4),
    d:submatrix(4,Qh,1,2,3),
    Rd:derivata(R, dof),
    dd:derivata(d, dof),
    Sw:trigsimp(Rd.transpose(R)),
    w:matrix([Sw[3][2]], [Sw[1][3]], [Sw[2][1]]),
    wt:transpose(w),
    dd:trigsimp(trigreduce(trigexpand(dd))),
    ddt:transpose(dd),
    II:inerzia(dof),
    Tt:1/2*M*trigsimp(trigreduce(trigexpand(ddt.dd))),
    Tr:1/2*trigsimp(trigreduce(trigexpand(wt.R.II.transpose(R).w))),
    result:[Tr, Tt, II],
    return(result)
)$
```

Definisco procedura per il calcolo dell'energia potenziale di un link, data la corrispondente matrice di DH traslata nel baricentro.

```
(%i17) Ulink(Qh, M):=block(
    [g, U, d],
    /*Approssimo accelerazione gravitazionale a 10 m/s^2*/
    g:[0,0,10],
    d:submatrix(4,Qh,1,2,3),
    U:-M*g.d,
    return(U)
)$
```

Calcolo l'energia di un robot, fornendo la Massa dei link in forma di lista ($[M_1, M_2, M_3]$) e la relativa

tabella di Denavit-Hartenberg.

```
(%i18) energia(DH, M, Trsz):=block(
  [T, U, E1, E2, E3, Q, i, row, rowList, dof, M1, M2, M3,
   Q01, Q12, Q23, Q03, Q01h, Q12h, Q23h, Q03h, g, U1, U2, U3],
  let(cos(q[1]),c[1]),let(cos(q[2]),c[2]),let(cos(q[3]),c[3]),
    let(sin(q[1]),s[1]),let(sin(q[2]),s[2]),let(sin(q[3]),s[3]),
    let(cos(q[1]+q[2]),c[12]),let(sin(q[1]+q[2]),s[12]),
    let(cos(q[3]+q[2]),c[23]),let(sin(q[3]+q[2]),s[23]),
    dof: size(DH)[1],
    rowList:[], Q:[], Qh:[],
  /*Carico la tabella di DH per eseguire in modo atomico i calcoli*/
    for i:1 thru dof do(
      rowList:append(rowList,[DH[i]]),
      row:rowList[i],
      Q:append(Q,[Q(row[1],row[2],row[3],row[4])])),
  /*Controllo quanti gradi di libertà ha il robot e calcolo l'energia*/
    if (dof = 2) then(
      M1:M[1], M2:M[2],
      Q01:Q[1], Q12:Q[2], Q01h:Q01.baricentro(Trsz[1]),
      Q02:trigreduce(Q01.Q12), Q02h:Q02.baricentro(Trsz[2]),
      T1: factor(Tlink(Q01h, 1, M1)), U1: Ulink(Q01h,M1),
      T2: factor(Tlink(Q02h, 2, M2)), U2: Ulink(Q02h,M2),
      T:letsimp(formaQuad(T1[1]+T1[2]+T2[1]+T2[2],2)), U:letsimp(U1+U2)
    ),
    if (dof = 3) then(
      M1:M[1], M2:M[2],M3:M[3],
      Q01:Q[1], Q12:Q[2], Q23:Q[3],
      Q01h:Q01.baricentro(Trsz[1]),
      Q02:trigreduce(Q01.Q12), Q02h:Q02.baricentro(Trsz[2]),
      Q03:trigreduce(Q02.Q23), Q03h:Q03.baricentro(Trsz[3]),
      T1: factor(Tlink(Q01h, 1, M1)), U1: Ulink(Q01h,M1),
      T2: factor(Tlink(Q02h, 2, M2)), U2: Ulink(Q02h,M2),
      T3: factor(Tlink(Q03h, 3, M3)), U3: Ulink(Q03h,M3),
      T:letsimp(formaQuad(T1[1]+T1[2]+T2[1]+T2[2]+T3[1]+T3[2],3)),
      U:letsimp(U1+U2+U3)
    ),
  return([T,U])
)$
```

```
(%i19) eulerLagrange(DH,M,F,u,Trsz):=block(
  [e, T, U, L, i, dFddq, dLdq, dLddq, dq, dqT, eq:[], solEL:[]],
  /*T: energia cinetica, U: energia potenziale gravitazionale*/
  /*F: attrito statico, dLdq: derivata di L rispetto q*/
  /*dLddq: derivata di L rispetto a q punto, e: energia*/
  /*q: variabili di giunto*/
  /*EL: equazioni eulero lagrange*/
  e:energia(DH,M,Trsz),
  /*print(e),*/
  dof: size(e[1])[1],
  for i:1 thru dof do(
    solEL:append([0],solEL)
  ),
  dq:matrix([v[1]]),
  for i:1 thru dof-1 do(
    dq:addrow(dq,matrix([v[i+1]]))
  ),
  dqT:transpose(dq),
  T:1/2*dqT.e[1].dq,
  U:e[2],
  L:T-U,
  dLdq:diffPos(L,dof),
  dLddq:diffVelT(L,dof),
  dFddq:diffAttr(F, dof),
  for i:1 thru dof do(
    eq:append(eq,dLddq[i]-dLdq[i]+dFddq[i]-u[i]),
    solEL[i]:solve(eq[i],a[i])
  ),
  return(solEL)
)$
```

Funzione per la sintesi di equazioni interpretabili da MatLab per la simulazione delle equazioni di Eulero-Lagrange.

Se si vuole il risultato sottoforma di stringa, inserire 1 come secondo argomento, zero altrimenti.

```

(%i20) sintesys(solEl, bool):=block(
  [system, numSol, x:[x[1],x[2],x[3],x[4],x[5],x[6]], a:[], i],

  numSol:length(solEl),
  for i:1 thru numSol do (
    a:append([0],a)
  ),
  /*Converto soluzioni in lista semplice*/
  for i:1 thru numSol do(
    a[i]:map(rhs,solEl[i])[1]
  ),
  if(numSol = 2) then(
    system:matrix([x[3]], [x[4]], [a[1]], [a[2]]),
    system:subst([q[1]=x[1],q[2]=x[2],v[1]=x[3],v[2]=x[4]],system)
  ),
  if(numSol = 3) then(
    system:matrix([x[4]], [x[5]], [x[6]], [a[1]], [a[2]], [a[3]]),
    system:subst([q[1]=x[1],q[2]=x[2],q[3]=x[3],
                  v[1]=x[4],v[2]=x[5],v[3]=x[6]],system)
  ),
  if (bool = 1) then return(string(system)),
  return(system)

)$

```

Funzione di test per verificare corretto funzionamento delle funzioni derivata, basata sull'esempio

presentato a lezione 31.

```
(%i21) euleroLagrangeTest():=block(
  [M, T, U, L, F, dof, i, dFddq, dLdq, dLddq, eq:[], solEL:[0,0,0], u],
  /*T: energia cinetica, U: energia potenziale gravitazionale*/
  /*F: attrito statico, dLdq: derivata di L rispetto q*/
  /*dLddq: derivata di L rispetto a q punto, e: energia*/
  /*q: variabili di giunto*/
  /*eq: equazioni di eulero Lagrange*/
  /*solEL: soluzione equazioni eulero lagrange*/
  M:[M[1],M[2],M[3]],
  T: (1/2)*M[1]*v[1]^2+(1/2)*M[2]*v[2]^2+(1/2)*M[3]*v[3]^2,
  U: U:(1/2)*K[1]*(q[1])^2+(1/2)*K[2]*(q[1]-q[2])^2+
      (1/2)*K[3]*(q[2]-q[3])^2+(1/2)*K[4]*(q[3])^2+(1/2)*K[5]*(q[2])^2,
  F:(1/2)*D[1]*v[1]^2+(1/2)*D[2]*v[2]^2+(1/2)*D[3]*v[3]^2,
  L:T-U,
  u:matrix([u[1]], [u[2]], [u[3]]),
  dof:3,
  dLdq:diffPos(L,dof),
  dLddq:diffVelT(L,dof),
  dFddq:diffAttr(F, dof),
  for i:1 thru dof do(
    eq:append(eq,dLddq[i]-dLdq[i]+dFddq[i]-u[i]),
    solEL[i]:solve(eq[i],a[i])
  ),
  print("Energia Cinetica T = ",T),
  print("Energia Potenziale U = : ",U),
  print("Forze di Attrito F = ",F),
  print("L = T-U = ",L),
  print("Forze Esterne: ",u),
  print("d/dt dL/dv = ", dLddq),
  print("dL/dq = ",dLdq),
  print("dF/dv = ",dFddq),
  return(solEL)
)$
```

```
(%i22) test:euleroLagrangeTest()
```

$$\text{Energia Cinetica } T = \frac{M_3 v_3^2}{2} + \frac{M_2 v_2^2}{2} + \frac{M_1 v_1^2}{2}$$

$$\text{Energia Potenziale } U = : \frac{q_2^2 K_5}{2} + \frac{q_3^2 K_4}{2} + \frac{K_3 (q_2 - q_3)^2}{2} + \frac{K_2 (q_1 - q_2)^2}{2} + \frac{K_1 q_1^2}{2}$$

$$\text{Forze di Attrito } F = \frac{D_3 v_3^2}{2} + \frac{D_2 v_2^2}{2} + \frac{D_1 v_1^2}{2}$$

$$L = T - U = -\frac{q_2^2 K_5}{2} - \frac{q_3^2 K_4}{2} + \frac{M_3 v_3^2}{2} - \frac{K_3 (q_2 - q_3)^2}{2} + \frac{M_2 v_2^2}{2} - \frac{K_2 (q_1 - q_2)^2}{2} + \frac{M_1 v_1^2}{2} - \frac{K_1 q_1^2}{2}$$

$$\text{Forze Esterne: } \begin{pmatrix} u_1 \\ u_2 \\ u_3 \end{pmatrix}$$

$$d/dt \, dL/dv = \begin{pmatrix} M_1 a_1 \\ M_2 a_2 \\ M_3 a_3 \end{pmatrix}$$

$$dL/dq = \begin{pmatrix} -K_2 (q_1 - q_2) - K_1 q_1 \\ -q_2 K_5 - K_3 (q_2 - q_3) + K_2 (q_1 - q_2) \\ K_3 (q_2 - q_3) - q_3 K_4 \end{pmatrix}$$

$$dF/dv = \begin{pmatrix} D_1 v_1 \\ D_2 v_2 \\ D_3 v_3 \end{pmatrix}$$

$$(\%o22) \left[\left[a_1 = \frac{K_2 q_2 - q_1 K_2 - D_1 v_1 + u_1 - K_1 q_1}{M_1} \right], \left[a_2 = \frac{-q_2 K_5 - K_3 q_3 + q_2 K_3 + D_2 v_2 - u_2 + K_2 q_2 - q_1 K_2}{M_2} \right], \left[a_3 = \frac{-q_3 K_4 + D_3 v_3 - u_3 + K_3 q_3 - q_2 K_3}{M_3} \right] \right]$$

(%i23) `sintesys(test,0)`

$$(\%o23) \begin{pmatrix} x_4 \\ x_5 \\ x_6 \\ \frac{-D_1 x_4 + K_2 x_2 - x_1 K_2 - K_1 x_1 + u_1}{M_1} \\ -\frac{x_2 K_5 + D_2 x_4 - K_3 x_3 + x_2 K_3 + K_2 x_2 - u_2 - x_1 K_2}{M_2} \\ -\frac{D_3 x_6 + x_3 K_4 + K_3 x_3 - u_3 - x_2 K_3}{M_3} \end{pmatrix}$$

Definisco le tabelle di DH sottoforma di matrici. In ordine troviamo:

1. Due DOF
2. Cartesiano
3. Cilindrico
4. Scara
5. Sferico Tipo 1
6. Sferico Tipo 2 (Stanford)
7. Antropomorfo

(%i24) `DH:[matrix([q[1],0,0,L[1]],[q[2],0,0,L[2]]),
matrix([0,q[1],-%pi/2,0],[-%pi/2,q[2],-%pi/2,0],[0,q[3],0,0]),
matrix([q[1],L[1],0,0],[0,q[2],-%pi/2,0],[0,q[3],0,0]),
matrix([q[1],L[1],0,D[1]],[q[2],0,0,D[2]],[0,q[3],0,L[3]]),
matrix([q[1],L[1],%pi/2,0],[q[2],0,%pi/2,D[2]],[0,q[3],0,0]),
matrix([q[1],L[1],-%pi/2,0],[q[2],L[2],%pi/2,0],[0,q[3],0,0]),
matrix([q[1],L[1],%pi/2,0],[q[2],0,0,D[2]],[q[3],0,0,D[3]])]`

$$(\%o24) \left[\begin{pmatrix} q_1 & 0 & 0 & L_1 \\ q_2 & 0 & 0 & L_2 \end{pmatrix}, \begin{pmatrix} 0 & q_1 & -\frac{\pi}{2} & 0 \\ -\frac{\pi}{2} & q_2 & -\frac{\pi}{2} & 0 \\ 0 & q_3 & 0 & 0 \end{pmatrix}, \begin{pmatrix} q_1 & L_1 & 0 & 0 \\ 0 & q_2 & -\frac{\pi}{2} & 0 \\ 0 & q_3 & 0 & 0 \end{pmatrix}, \begin{pmatrix} q_1 & L_1 & 0 & D_1 \\ q_2 & 0 & 0 & D_2 \\ 0 & q_3 & 0 & L_3 \end{pmatrix}, \right.$$

$$\left. \begin{pmatrix} q_1 & L_1 & \frac{\pi}{2} & 0 \\ q_2 & 0 & \frac{\pi}{2} & D_2 \\ 0 & q_3 & 0 & 0 \end{pmatrix}, \begin{pmatrix} q_1 & L_1 & -\frac{\pi}{2} & 0 \\ q_2 & L_2 & \frac{\pi}{2} & 0 \\ 0 & q_3 & 0 & 0 \end{pmatrix}, \begin{pmatrix} q_1 & L_1 & \frac{\pi}{2} & 0 \\ q_2 & 0 & 0 & D_2 \\ q_3 & 0 & 0 & D_3 \end{pmatrix} \right]$$

Definisco matrici di traslazione. Ogni riga di una matrice rappresenta la traslazione da applicare alla matrice di trasformazione del link i-esimo per raggiungere il suo baricentro.

L'ordine con cui sono scritte combacia con quello delle tabelle di DH scritte sopra per semplicità.

(%i25) `Trsz:[matrix([-L[1]/2,0,0],[-L[2]/2,0,0]),
matrix([0,L[1]/2,0],[0,L[2]/2,0],[0,0,-L[3]/2]),
matrix([0,0,-L[1]/2],[0,L[2]/2,0],[0,0,-L[3]/2]),
matrix([-D[1]/2,0,-L[1]/2],[-D[2]/2,0,0],[0,0,L[3]/2]),
matrix([0,-L[1]/2,0],[-D[2]/2,0,0],[0,0,-L[3]/2]),
matrix([0,L[1]/2,0],[0,-L[2]/2,0],[0,0,-L[3]/2]),
matrix([0,-L[1]/2,0],[-D[2]/2,0,0],[-D[3]/2,0,0])]`

$$\begin{aligned}
(\%o25) & \left[\begin{pmatrix} -\frac{L_1}{2} & 0 & 0 \\ -\frac{L_2}{2} & 0 & 0 \end{pmatrix}, \begin{pmatrix} 0 & \frac{L_1}{2} & 0 \\ 0 & \frac{L_2}{2} & 0 \\ 0 & 0 & -\frac{L_3}{2} \end{pmatrix}, \begin{pmatrix} 0 & 0 & -\frac{L_1}{2} \\ 0 & \frac{L_2}{2} & 0 \\ 0 & 0 & -\frac{L_3}{2} \end{pmatrix}, \begin{pmatrix} -\frac{D_1}{2} & 0 & -\frac{L_1}{2} \\ -\frac{D_2}{2} & 0 & 0 \\ 0 & 0 & \frac{L_3}{2} \end{pmatrix}, \right. \\
& \left. \begin{pmatrix} 0 & -\frac{L_1}{2} & 0 \\ -\frac{D_2}{2} & 0 & 0 \\ 0 & 0 & -\frac{L_3}{2} \end{pmatrix}, \begin{pmatrix} 0 & \frac{L_1}{2} & 0 \\ 0 & -\frac{L_2}{2} & 0 \\ 0 & 0 & -\frac{L_3}{2} \end{pmatrix}, \begin{pmatrix} 0 & -\frac{L_1}{2} & 0 \\ -\frac{D_2}{2} & 0 & 0 \\ -\frac{D_3}{2} & 0 & 0 \end{pmatrix} \right]
\end{aligned}$$

Esempio Robot 2 DoF Planare

(%i26) dueDof:DH[1]\$

(%i27) Mdd:[M[1],M[2]]\$

(%i28) udd:matrix([u[1]], [u[2]])\$

(%i29) Fdd:(1/2)*D[1]*v[1]^2+(1/2)*D[2]*v[2]^2\$

(%i30) dd:euleroLagrange(dueDof,Mdd,Fdd,udd,Trsz[1])

$$\begin{aligned}
(\%o30) & \left[\left[a_1 = -\frac{4 D_1 v_1 - 4 u_1}{4 I_{zz2} + 4 L_1 L_2 M_2 \cos(q_2) + 4 I_{zz1} + (L_2^2 + 4 L_1^2) M_2 + L_1^2 M_1}, \left[a_2 = \right. \right. \right. \\
& \left. \left. \left. -\frac{2 L_1 v_1^2 L_2 M_2 \sin(q_2) + 4 D_2 v_2 - 4 u_2}{4 I_{zz2} + L_2^2 M_2} \right] \right] \right]
\end{aligned}$$

(%i31) sintesys(dd,0)

$$\begin{aligned}
(\%o31) & \begin{pmatrix} x_3 \\ x_4 \\ -\frac{4 D_1 x_3 - 4 u_1}{4 I_{zz2} + 4 L_1 L_2 M_2 \cos(x_2) + 4 I_{zz1} + (L_2^2 + 4 L_1^2) M_2 + L_1^2 M_1} \\ -\frac{2 L_1 L_2 M_2 x_3^2 \sin(x_2) + 4 D_2 x_4 - 4 u_2}{4 I_{zz2} + L_2^2 M_2} \end{pmatrix}
\end{aligned}$$

Esempio Robot Cilindrico

(%i32) cilin:DH[3]\$

(%i33) Mc:[M[1],M[2],M[3]]\$

(%i34) uc:matrix([u[1]], [u[2]], [u[3]])\$

(%i35) Fc:(1/2)*D[1]*v[1]^2+(1/2)*D[2]*v[2]^2+(1/2)*D[3]*v[3]^2\$

(%i36) cil:euleroLagrange(cilin,Mc,Fc,uc,Trsz[3])

$$\begin{aligned}
(\%o36) & \left[\left[a_1 = -\frac{4 D_1 v_1 - 4 u_1}{4 I_{yy3} + 4 I_{yy2} + 4 I_{zz1} + 4 M_3 q_3^2 - 4 L_3 M_3 q_3 + L_3^2 M_3}, \left[a_2 = \right. \right. \right. \\
& \left. \left. \left. \frac{10 M_3 - v_2 D_3 - D_2 v_2 + u_2 + 10 M_2}{M_3 + M_2} \right] \right], \left[a_3 = \frac{2 u_3 + 2 v_1^2 M_3 q_3 - v_1^2 L_3 M_3}{2 M_3} \right] \right]
\end{aligned}$$

(%i37) sintesys(cil,0)

$$\begin{aligned}
(\%o37) & \begin{pmatrix} x_4 \\ x_5 \\ x_6 \\ -\frac{4 D_1 x_4 - 4 u_1}{4 I_{yy3} + 4 I_{yy2} + 4 I_{zz1} + 4 M_3 x_3^2 - 4 L_3 M_3 x_3 + L_3^2 M_3} \\ \frac{-D_3 x_4 - D_2 x_4 + 10 M_3 + u_2 + 10 M_2}{M_3 + M_2} \\ \frac{2 M_3 x_3 x_4^2 - L_3 M_3 x_4^2 + 2 u_3}{2 M_3} \end{pmatrix}
\end{aligned}$$

Esempio Robot Cartesiano

(%i38) cartes:DH[2]\$

```
(%i39) Mcart:[M[1],M[2],M[3]]$
```

```
(%i40) ucart:matrix([u[1]], [u[2]], [u[3]])$
```

```
(%i41) Fcart:(1/2)*D[1]*v[1]^2+(1/2)*D[2]*v[2]^2+(1/2)*D[3]*v[2]^2$
```

```
(%i42) cart:euleroLagrange(cartes,Mcart,Fcart,ucart,Trsz[2])
```

```
(%o42) [[a1 =  $\frac{10 M_3 + 10 M_2 - D_1 v_1 + u_1 + 10 M_1}{M_3 + M_2 + M_1}$ , a2 =  $-\frac{v_2 D_3 + D_2 v_2 - u_2}{M_3 + M_2}$ , a3 =  $\frac{u_3}{M_3}$ ]]
```

```
(%i43) sintesys(cart,0)
```

```
(%o43) 
$$\begin{pmatrix} x_4 \\ x_5 \\ x_6 \\ \frac{-D_1 x_4 + 10 M_3 + 10 M_2 + u_1 + 10 M_1}{M_3 + M_2 + M_1} \\ -\frac{D_3 x_4 + D_2 x_4 - u_2}{M_3 + M_2} \\ \frac{u_3}{M_3} \end{pmatrix}$$

```

```
(%i44)
```

Visione Artificiale

La seguente procedura espone il riconoscimento di un oggetto attraverso l'elaborazione al calcolatore di un'immagine che lo contiene.

Pre-Processamento

Per effettuare il riconoscimento, vengono fatte delle operazioni pre-processamento dell'immagine, riducendone la qualità se questa è a risoluzione eccessiva rispetto all'obiettivo da perseguire, per poi trasformarla prima in scala di grigi e poi in bianco e nero.

Processamento

Successivamente, il processamento dell'immagine viene fatto eliminando il più possibile i disturbi dovuti ad eventuali riflessi ed ombre, che possono risultare in "buchi" all'interno dell'oggetto che vogliamo identificare.

Inoltre, vengono applicati operatori di Dilatazione ed Erosione per migliorare i contorni dell'oggetto.

Orientamento

L'orientamento viene calcolato prima attraverso la trasformata di Radon, ovvero, la proiezione dell'intensità dell'immagine su un piano orientato ad un angolo specifico. In particolare, è stato scelto un set di angolo che va da 0 a 179 per avere uno spettro dell'immagine completo. Nella foto mostrato sotto, l'oggetto è riconoscibile nel suo orientamento nel punto in cui l'intensità luminosa è maggiore.

Successivamente, viene identificato il massimo della matrice delle proiezioni, per identificare gli angoli delle diagonali principali dell'oggetto identificato e trovare il suo baricentro.

Infine, l'orientamento viene calcolato con riferimento all'orizzontale.

Il Riconoscimento

Il riconoscimento degli oggetti viene fatto attraverso un algoritmo che stabilisce la forma dell'oggetto in base al rapporto tra area e perimetro, secondo la seguente logica:

$$Area = \frac{perimetro \cdot apotema}{2}$$

Poiché l'apotema è un numero fisso, descritto da

$$apotema = \frac{perimetro}{\#lati}$$

Possiamo dire che:

$$apotema = \frac{2 \cdot Area}{perimetro}$$

Questo ultimo rapporto, viene confrontato con il numero fisso di figure come triangoli, quadrati, pentagoni, esagoni e cerchi. Ovviamente, il confronto è fatto inserendo una tolleranza rispetto al numero fisso, per inquadrare gli oggetti nell'intorno del numero fisso, per avere una stima accettabile.

Per i cerchi, l'algoritmo è modificato appositamente rispetto all'area del cerchio.

Immagine a Colori Compressa



Dopo Area Opening

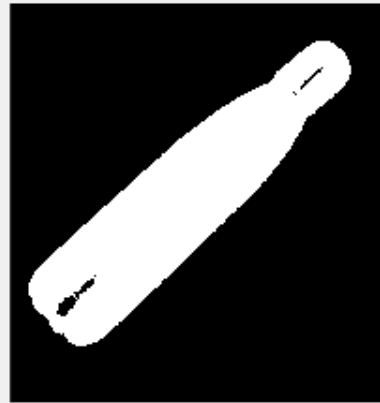


Immagine in Scala di Grigi



Dopo Dilatazione ed Erosione

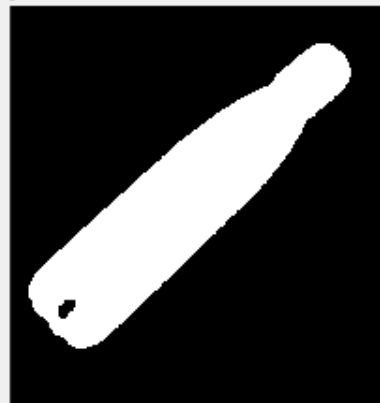
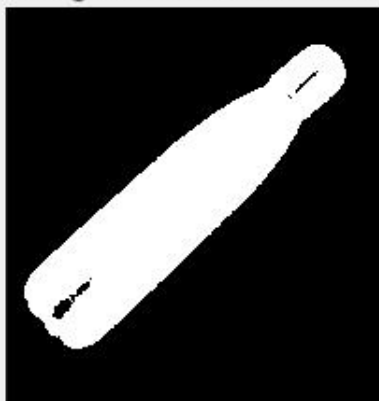
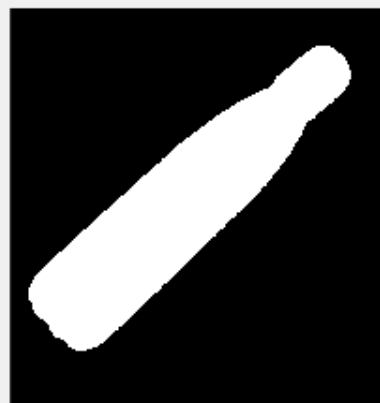


Immagine in Bianco e Nero



Dopo Eliminazione dei Disturbi/Fori



Area: 92688.000000, Perimetro: 1547.889000

Forma dell'Oggetto: Irregolare

Baricentro dell'Oggetto: X[bc] = 51.751498, Y[bc] = 95.337385

Orientamento dell'Oggetto: -46.500000°

Tempo di Processamento: 0.154444 ms

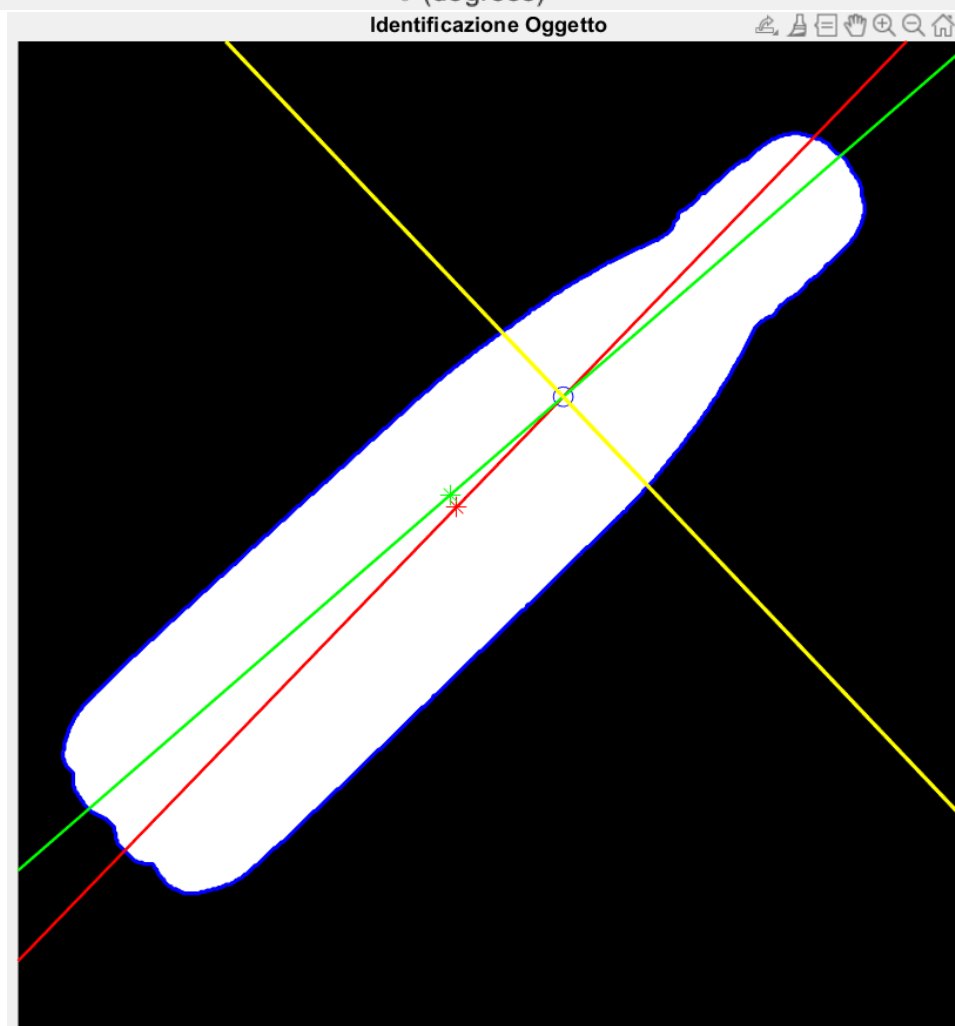
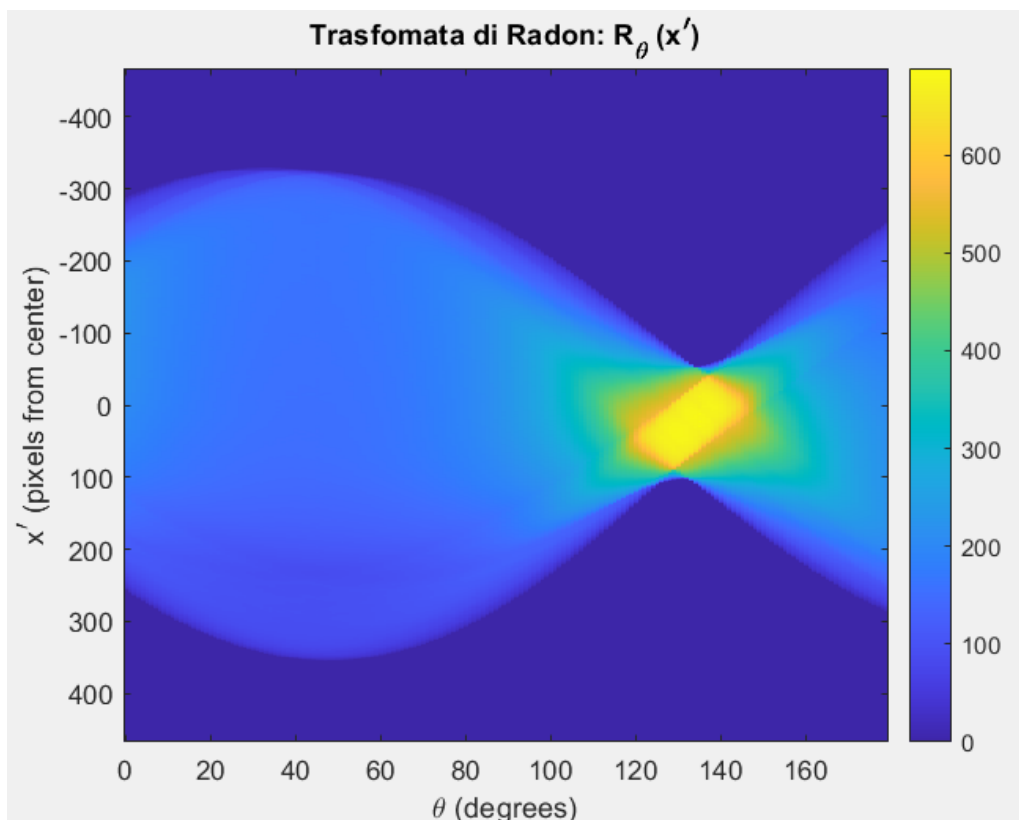


Immagine a Colori Compressa



Dopo Area Opening



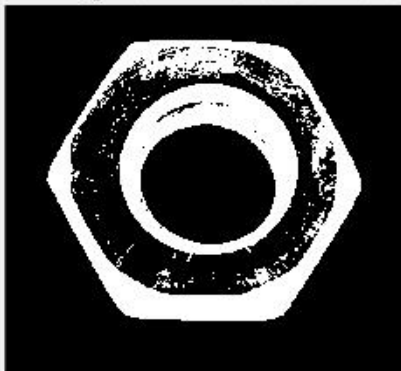
Immagine in Scala di Grigi



Dopo Dilatazione ed Erosione



Immagine in Bianco e Nero



Dopo Eliminazione dei Disturbi/Fori



Area: 111304.000000, Perimetro: 1207.590000

Forma dell'Oggetto: Esagono

Baricentro dell'Oggetto: X[bc] = 1.317034, Y[bc] = 10.000000

Orientamento dell'Oggetto: -30.500000°

Tempo di Processamento: 0.153015 ms

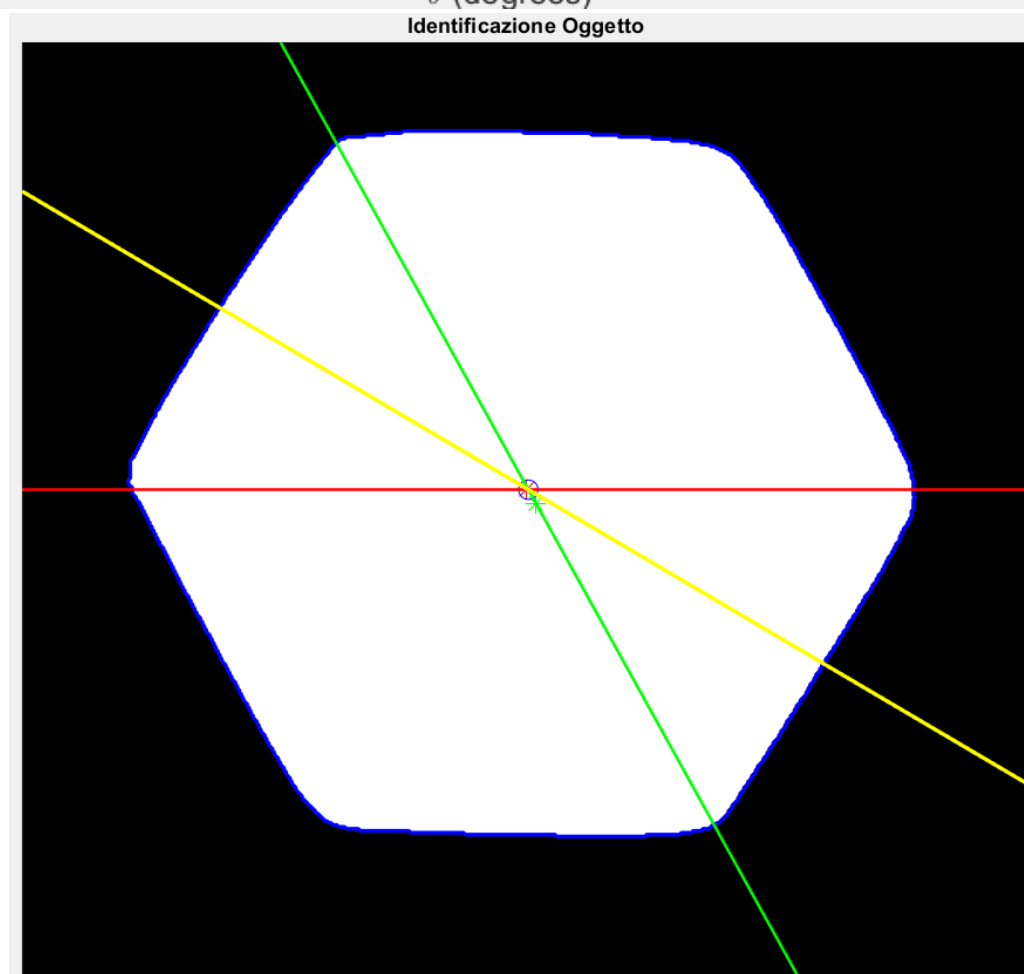
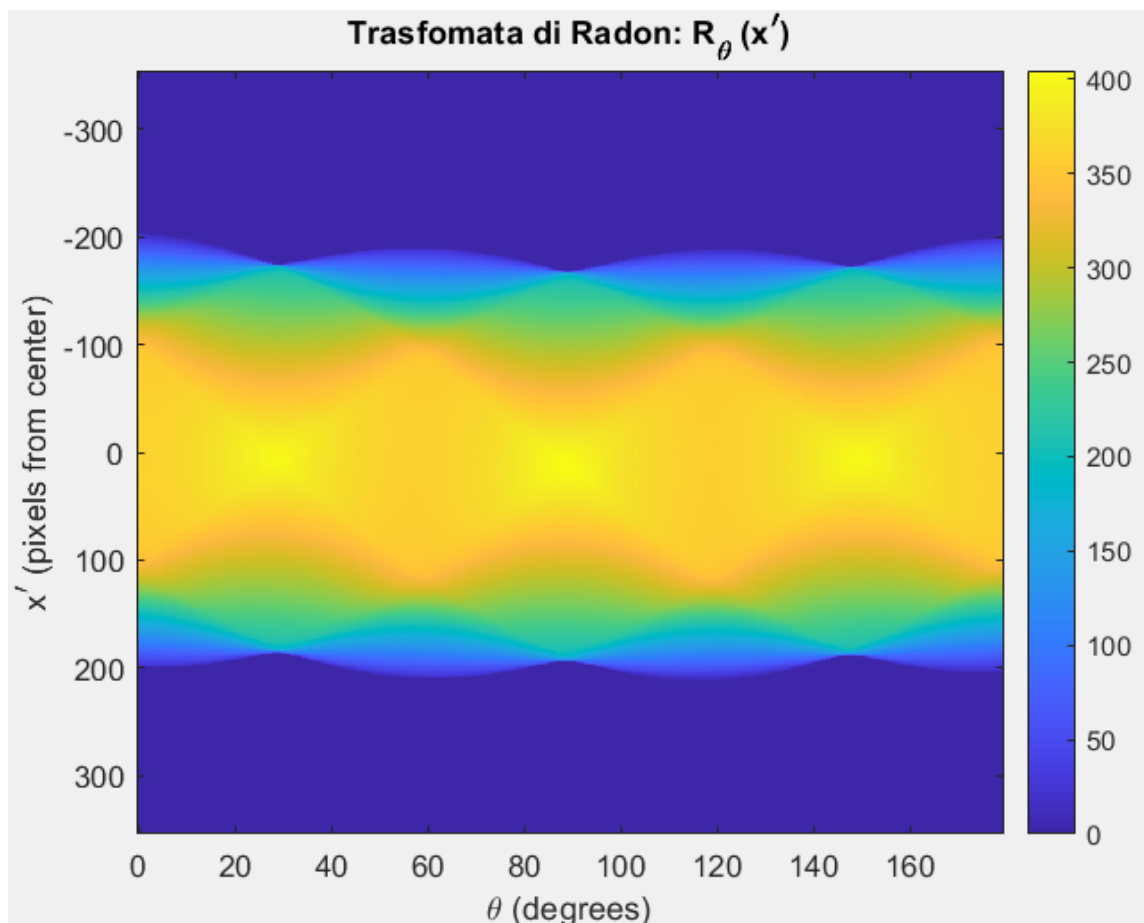


Immagine a Colori Compressa



Dopo Area Opening



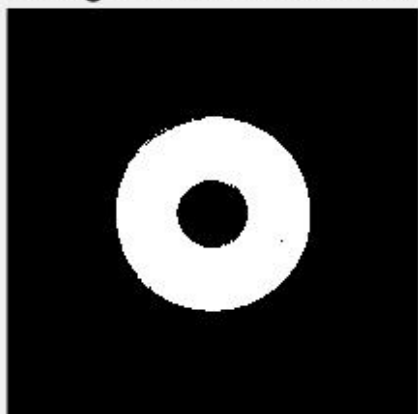
Immagine in Scala di Grigi



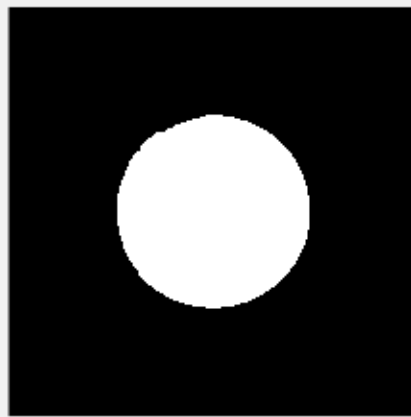
Dopo Dilatazione ed Erosione



Immagine in Bianco e Nero



Dopo Eliminazione dei Disturbi/Fori



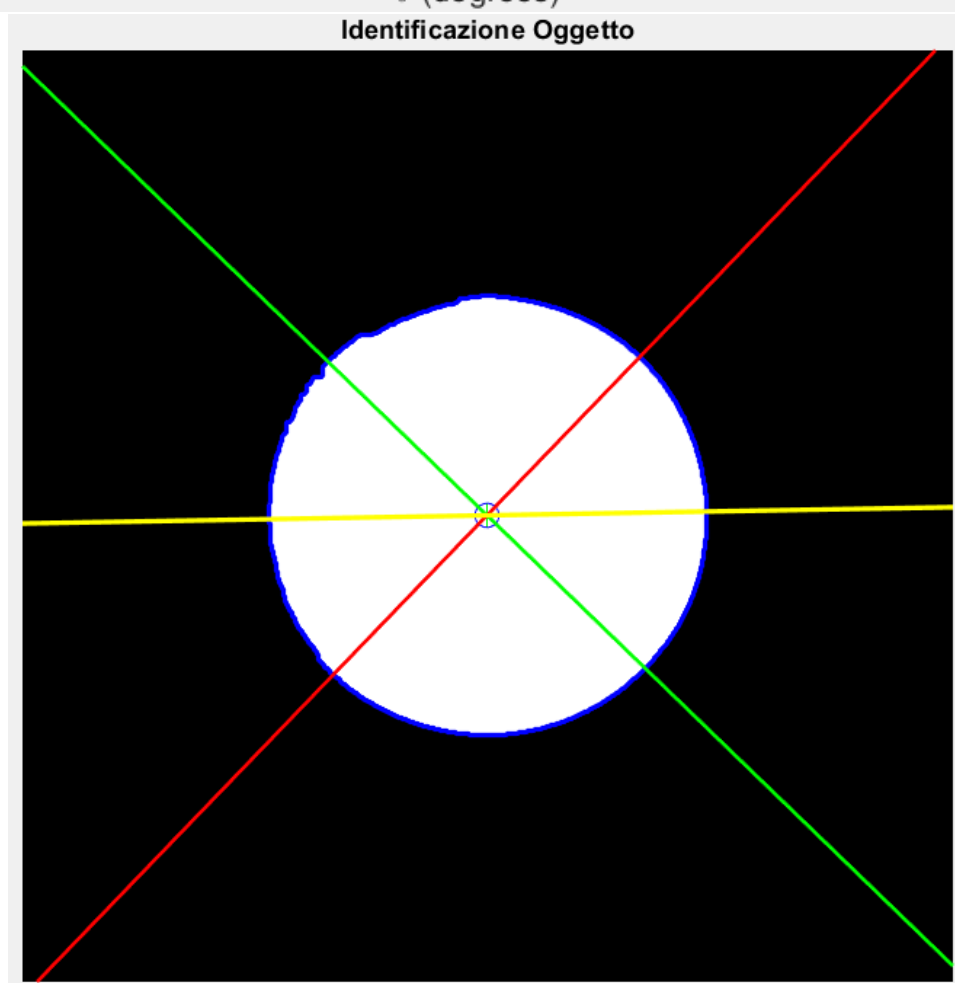
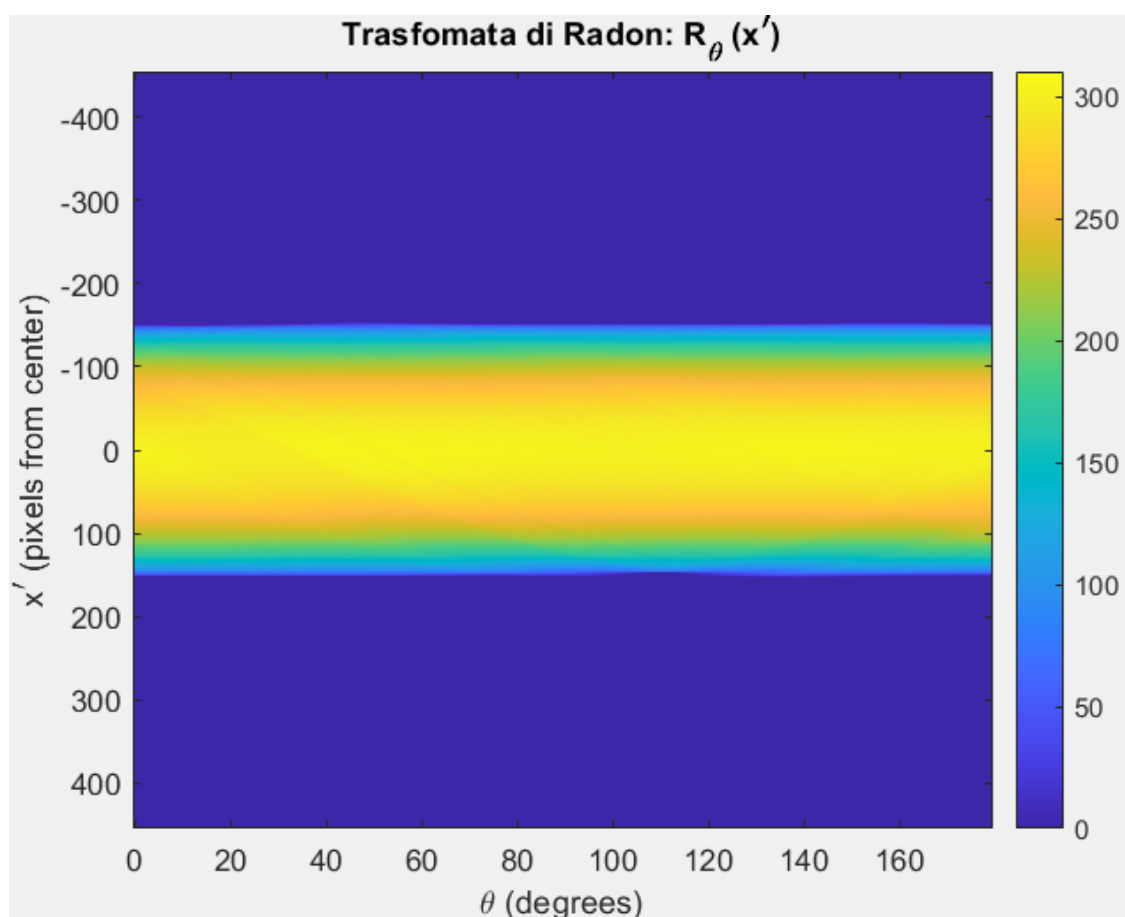
Area: 71741.000000, Perimetro: 958.739000

Forma dell'Oggetto: Circolare

Baricentro dell'Oggetto: X[bc] = 0.000000, Y[bc] = 0.000000

Orientamento dell'Oggetto: 1.000000°

Tempo di Processamento: 0.138703 ms



```

1 %% Visione Artificiale
2 % Determinare perimetro, area, forma, centro ed orientamento di un oggetto
3 % all'interno in un'immagine.
4 % Andrea Efficace 0300125
5 % In questo script verranno utilizzate funzioni dell'Image Processing
6 % Toolbox di maxima
7 clearvars
8 close all
9 clc
10 syms x diag1(x) diag2(x)
11 %% Lettura Immagini e caricamento in workspace
12 % Calcolatrice Verticale con luce diffusa -> Non Identificata
13 % filename = 'images/verticalCalc.jpg';
14 % Calcolatrice in Diagonale con sfondo bianco -> Identificata
15 % filename = 'images/rotateCalcW.jpg';
16 % Calcolatrice Orizzontale con Ombra -> Identificata con pxToDel = 40000
17 % filename = 'images/horizontalCalcShadow.jpg';
18 % Calcolatrice Orizzontale sfondo bianco -> Identificata
19 % filename = 'images/horizontalCalcW.jpg';
20 % Calcolatrice Orizzontale sfondo nero -> Identificata
21 % filename = 'images/horizontalCalcB.jpg';
22 % Rondella Circolare -> Identificata
23 % filename = 'images/rondella.jpg';
24 % Mensola Triangolare -> Identificata
25 % filename = 'images/triangolo.jpg';
26 % Dado Esagonale -> Identificato
27 % filename = 'images/dadoEsagono.jpg';
28 % Controller -> Bordi troppo diversi da loro, non identificata.
29 % -> Identificata con maschera Forte.
30 % filename = 'images/controller.jpg';
31 % Borraccia -> Identificata
32 filename = 'images/rotateBottle.jpg';
33 % Bottiglia Vetro con Disegno -> identificata
34 % filename = 'images/verticalGlass.jpg';
35
36 imgRGB = imread(filename); % Caricamento Immagine
37 %imgRGB = imrotate(imgRGB, 35, 'nearest','crop');
38
39 %% Pre-Processamento: Compressione dell'immagine
40
41 % Per mantenere un rapporto di grandezze tra l'aspetto dell'immagine in
42 % ingresso quella post compressione, una delle due dimensioni viene decisa
43 % dalla libreria in automatico.
44
45 maxRes = [480, 640]; % Risoluzione massima desiderata dell'immagine
46 width = size(imgRGB, 2); % Larghezza iniziale dell'immagine
47 height = size(imgRGB, 1); % Altezza iniziale dell'immagine
48
49 if (height > maxRes(1))
50     imgRGB = imresize(imgRGB, [maxRes(1) NaN]);
51 end
52 if (width > maxRes(2))
53     imgRGB = imresize(imgRGB, [NaN maxRes(2)]);
54 end
55
56 width = size(imgRGB, 2); % Larghezza dell'immagine post-compressione
57 height = size(imgRGB, 1); % Altezza dell'immagine post-compressione
58 res = width*height; % Risoluzione dell'immagine post-compressione
59 center = [floor((width+1)/2), floor((height+1)/2)];
60 %% Avvio Processamento dell'immagine
61 tic; % Avvio contatore del tempo di processamento
62
63 %% Converto l'immagine a scala di grigi
64 imgGRS = rgb2gray(imgRGB);
65
66 %% Converto l'immagine in B/N

```

```

67 imgBW = imbinarize(imgGRS);
68
69 %% Calcolo il negativo dell'immagine se questa è troppo chiara
70 % utile per le operazioni successive
71
72 % Prima somma per le colonne, seconda per le righe
73 nPixelW = sum(sum(imgBW));
74 if(nPixelW >= res/2)
75     imgBW_old = imgBW;
76     imgBW = imcomplement(imgBW);
77 end
78
79 %% Elimino difetti nell'immagine
80 % utile per eliminare artefatti grafici (es: ombre)
81 % pxToDel = 40;      % Soglia di pixel da considerare come rumore.
82 pxToDel = 40000;    % Soglia per Ombra
83 imgBW2 = bwareaopen(imgBW,pxToDel);
84
85 %% Applico Maschere di Dilatazione ed Erosione
86 % Definisco operatore morfologico: Applico maschere quadrate
87 mask = strel('square', 10);
88 % Maschera per il controller
89 % mask = strel('square', 250);
90 % imclose() applica operatori morfologici su immagini in b/n o greyscale
91 imgBW3 = imclose(imgBW2, mask);
92 %% Eliminazione "buchi" dall'immagine
93 % permette di eliminare artefatti grafici simili a riflessi sulla
94 % superficie dell'oggetto, o buchi nello stesso.
95 imgBW4 = imfill(imgBW3, 'holes');
96 %% Determino Area e Perimetro dell'Oggetto nell'Immagine
97
98 % bwboundaries() determina i contorni di un oggetto in un'immagine b/w
99 % il parametro 'noholes' serve per specificare all'algoritmo di cercare
100 % soltanto oggetti compatti, velocizzando il processo.
101 % Tale algoritmo può identificare più oggetti in una singola immagine.
102 [B, L] = bwboundaries(imgBW4, 'noholes');
103 % regionprops() calcola il valore effettivo di perimetro ed area.
104 % Salvo il risultato in un oggetto.
105 props = regionprops(L, 'Area', 'Perimeter');
106 % Salvo Area e Perimetro di tutti gli oggetti identificati come lista.
107 areas = [props.Area];
108 perims = [props.Perimeter];
109 % Discrimino l'oggetto da identificare da tutti quelli nell'immagine
110 objArea = max(areas);
111 objPerim = max(perims);
112 % Sapendo che Area = (perimetro * apotema)/2 e che l'apotema è pari ad un
113 % numero fisso per perimetro/numero_lati, troviamo che
114 apothem = objArea*2/objPerim;
115 epsilon = 0.05;
116 objShape = "Irregolare";
117 fixed = [0.289,0.5,0.688,0.866];
118 polig = ["Triangolo", "Quadrilatero", "Pentagono", "Esagono"];
119 for i=1:4
120     numLati = i+2;
121     if(apolthem/objPerim*numLati < fixed(i)+epsilon)
122         if(apolthem/objPerim*numLati > fixed(i)-epsilon)
123             objShape = polig(i);
124             break;
125         end
126     end
127 end
128 % Stesso discorso dei poligoni regolari, ma su una circonferenza
129 if (strcmp(objShape, "Irregolare") == 1)
130     epsilon = 0.55;
131     myPi = objPerim^2/(4*objArea);
132     if(myPi < pi+epsilon)
133         if(myPi > pi-epsilon)

```

```

134         objShape = "Circolare";
135     end
136 end
137 end
138
139 %% Eseguo Trasformata di Radon per determinare baricentro ed orientamento
140 % Calcoliamo le proiezioni, in modo tale da identificare le diagonali
141 % principali dell'oggetto da riconoscere. La loro intersezione ne
142 % determinerà il baricentro.
143
144 % Definisco Rispetto a quanti angoli effettuare la proiezione.
145 theta = 0:179;
146 % Eseguo le proiezioni.
147 % R è la trasformata, Xp l'angolo in radianti relativo alla trasformata.
148 [R, xp] = radon(imgBW4, theta);
149
150 % Determino la proiezione con altezza maggiore per determinare la diagonale
151 maxRadon = max(R);
152
153 %% Determino il massimo per identificare il punto più alto della
154 % proiezione con altezza maggiore.
155 % [pk, locs] = findpeaks() identifica il massimo locale del vettore dato in
156 % ingresso e l'indice di quel valore all'interno del vettore.
157 % SortStr specifica che i risultati andranno ordinati
158 % NPeaks specifica quanti massimi locali trovare nel vettore.
159 [pk, locs] = findpeaks(maxRadon, 'SortStr', 'descend', 'NPeaks', 2);
160
161 % Trovo angolo in radianti il cui indice corrisponde all'elemento di una
162 % delle colonne di R il cui valore è pari al picco individuato da pk
163 theta1 = locs(1);
164 offset1 = xp(R(:, locs(1))) == pk(1));
165 theta2 = locs(2);
166 offset2 = xp(R(:, locs(2))) == pk(2));
167
168 % Determino le diagonali
169 diag1(x) = tand(theta1+90) * (x - offset1*cosd(theta1)) + offset1*sind(theta1);
170 diag2(x) = tand(theta2+90) * (x - offset2*cosd(theta2)) + offset2*sind(theta2);
171
172 % Identifico il baricentro nel punto d'intersezione delle diagonali
173 x_bc = solve(diag1 == diag2);
174 y_bc = diag1(x_bc);
175
176 % Determino Orientamento a partire da due angoli identificati dalla
177 % trasformata di Radon
178
179 orient = (theta1+theta2)/2;
180 % Controllo se c'è discordanza tra i quadranti identificati dagli angoli
181 if(sign(sind(theta1)) ~= sign(sind(theta2)) || sign(cosd(theta1)) ~= sign(cosd(theta2)) )
182     orient = orient-90;
183 end
184 % Mi assicuro che l'angolo trovato sia tra -90° and 90°
185 orient = atand(sind(orient)/cosd(orient));
186 %% Fine Processamento
187 elapsedTime = toc;
188 %% Visualizzo Immagine a Colori
189 % figure
190 % imshow(imgRGB)
191 % title('Immagine a Colori');
192
193 %% Visualizzo immagine a colori compressa
194 figure
195 subplot(3,1,1)
196 imshow(imgRGB)
197 title('Immagine a Colori Compressa');
198
199 %% Visualizzo immagine in scala di grigi
200 subplot(3,1,2)

```

```

201 imshow(imgGRS)
202 title('Immagine in Scala di Grigi');
203
204 %% Visualizzo immagine in B/N
205 subplot(3,1,3)
206 imshow(imgBW)
207 title('Immagine in Bianco e Nero');
208
209 %% Visualizzo immagine senza artefatti
210 figure
211 subplot(3,1,1)
212 imshow(imgBW2)
213 title('Dopo Area Opening');
214
215 %% Visualizzo immagine dopo operatori morfologici
216 subplot(3,1,2)
217 imshow(imgBW3)
218 title('Dopo Dilatazione ed Erosione');
219
220 %% Visualizzo immagine Pre-Processata
221 subplot(3,1,3)
222 imshow(imgBW4)
223 title('Dopo Eliminazione dei Disturbi/Fori');
224
225 %% Visualizzo la Trasformata di Radon
226 figure
227 imagesc(theta, xp, R); colormap();
228 xlabel('\theta (degrees)');
229 ylabel('x^{\prime} (pixels from center)');
230 title('Trasformata di Radon: R_{\theta} (x^{\prime})');
231 colorbar
232 %% Grafico delle Diagonali
233 figure
234 imshow(imgBW4)
235 hold on
236 boundary = B{1};
237 for i = 2:length(B)
238     if(size(B{1},1) > size(boundary, 1))
239         boundary = B{1};
240     end
241 end
242
243 plot(boundary(:,2), boundary(:,1), 'b', 'LineWidth', 2);
244 title('Identificazione Oggetto');
245 hold on
246 plot(center(1) + offset1*cosd(theta1), center(2) - offset1*sind(theta1), 'r*', 'MarkerSize', 10);
247 plot(center(1) + offset2*cosd(theta2), center(2) - offset2*sind(theta2), 'g*', 'MarkerSize', 10);
248 plot(center(1) + x_bc, center(2) - y_bc, 'bo', 'MarkerSize', 10);
249 diag1Plot = center(2) - tand(theta1+90) * (x - center(1) - offset1*cosd(theta1)) - offset1*sind(theta1);
250 diag2Plot = center(2) - tand(theta2+90) * (x - center(1) - offset2*cosd(theta2)) - offset2*sind(theta2);
251 lineOrient = center(2) - tand(orient) * (x - center(1) - x_bc) - y_bc;
252 fplot(diag1Plot, 'r', 'LineWidth', 1.5);
253 fplot(diag2Plot, 'g', 'LineWidth', 1.5);
254 fplot(lineOrient, 'y', 'LineWidth', 2);
255
256 %% Report dell'Identificazione
257 fprintf("Area: %f, Perimetro: %f\n", objArea, objPerim);
258 fprintf("Forma dell'Oggetto: %s\n", objShape);
259 fprintf("Baricentro dell'Oggetto: X[bc] = %f, Y[bc] = %f\n", x_bc, y_bc);
260 fprintf("Orientamento dell'Oggetto: %f^\n", orient);
261 fprintf("Tempo di Processamento: %f ms\n", elapseTime);

```